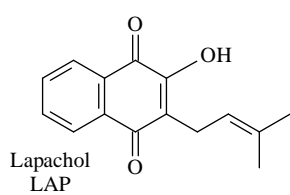


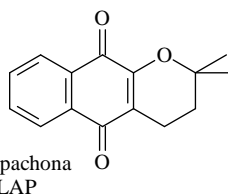
# ANEXOS

## Anexo A - Tabela de Substâncias (com códigos)

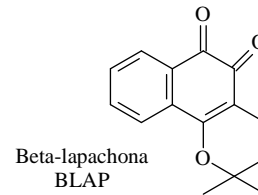
### Principais quinonas



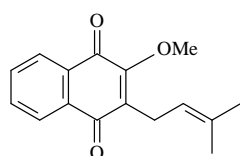
$C_{15}H_{14}O_3$   
242.27



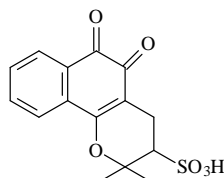
$C_{15}H_{14}O_3$   
242.27



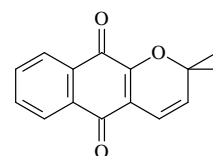
$C_{15}H_{14}O_3$   
242.27



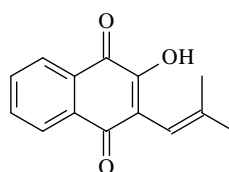
$C_{16}H_{16}O_3$   
256.30



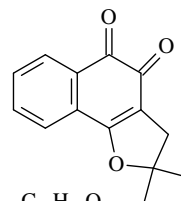
$C_{15}H_{14}O_6S$   
322.33



$C_{15}H_{12}O_3$   
240.25

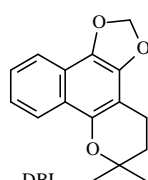


$C_{14}H_{12}O_3$   
228.24

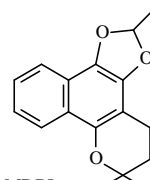


$C_{14}H_{12}O_3$   
228.24

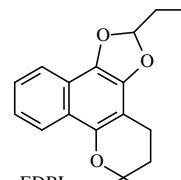
### Produtos formados nas reações com diazocompostos, nitroalcanos ou sais de fosfônio.



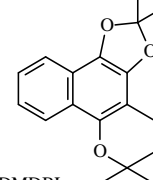
$C_{16}H_{16}O_3$   
256.30



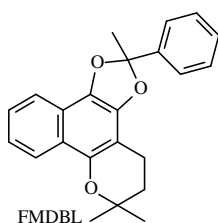
$C_{17}H_{18}O_3$   
270.125594



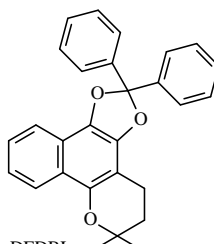
$C_{17}H_{18}O_3$   
270.125594



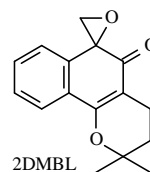
$C_{18}H_{20}O_3$   
284.141244



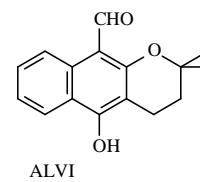
$C_{23}H_{22}O_3$   
346.42



$C_{28}H_{24}O_3$   
408.172544

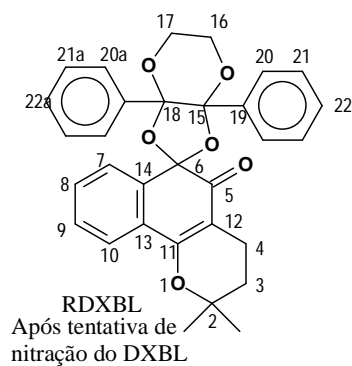
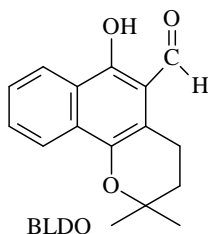
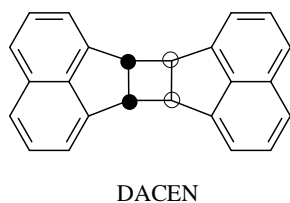
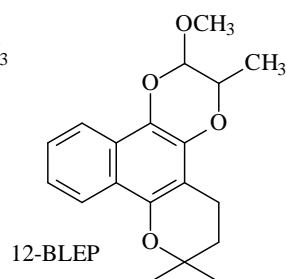
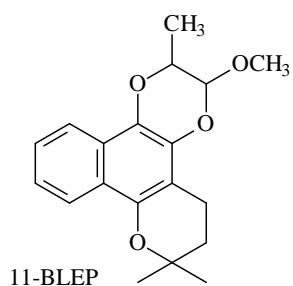
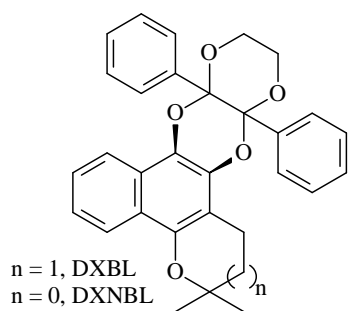


$C_{16}H_{16}O_3$   
256.109944

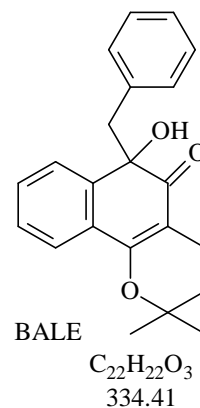
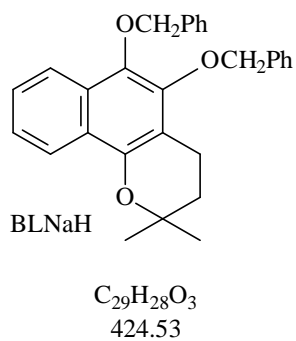
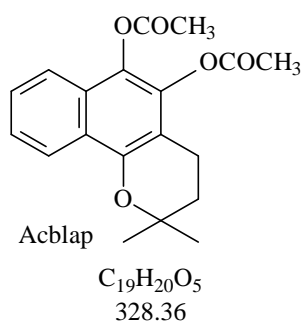
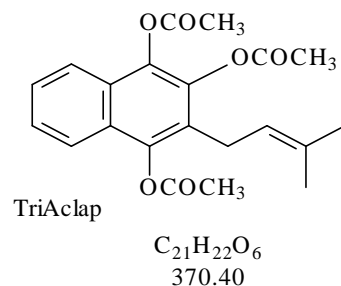
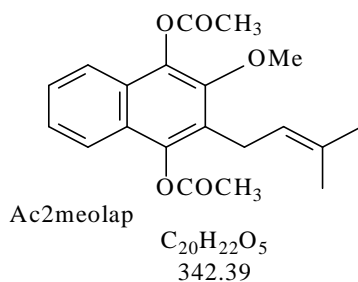
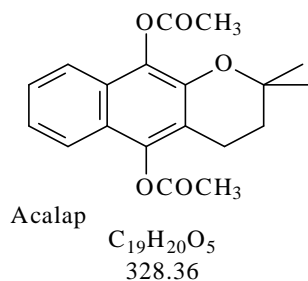


$C_{16}H_{16}O_3$   
256.109944

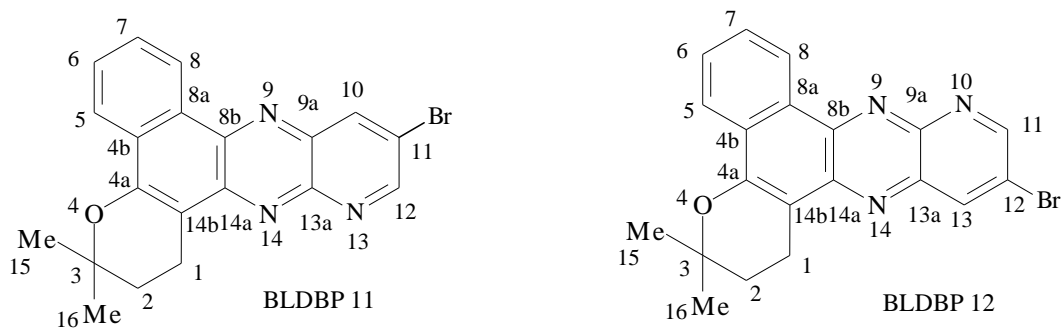
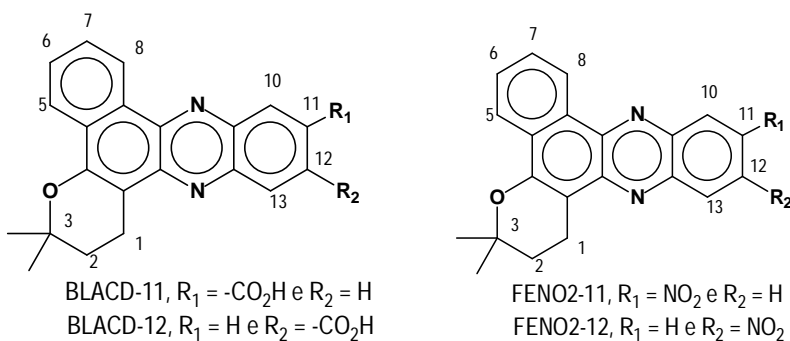
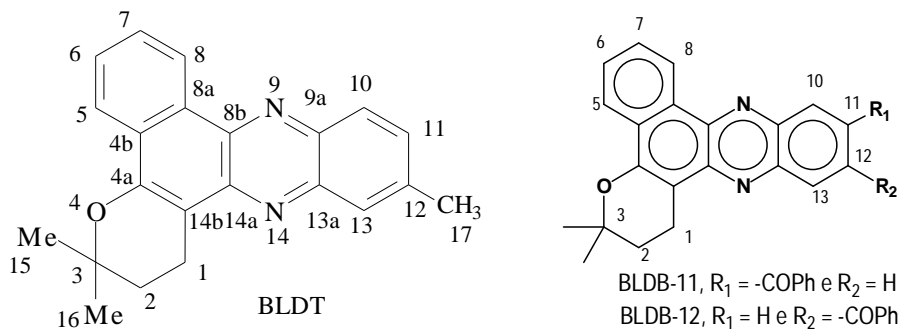
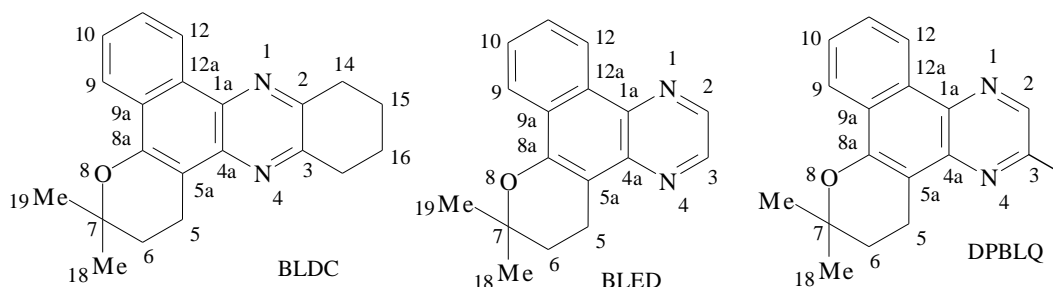
Produtos obtidos em reações fotoquímicas



Principais produtos referentes a redução.



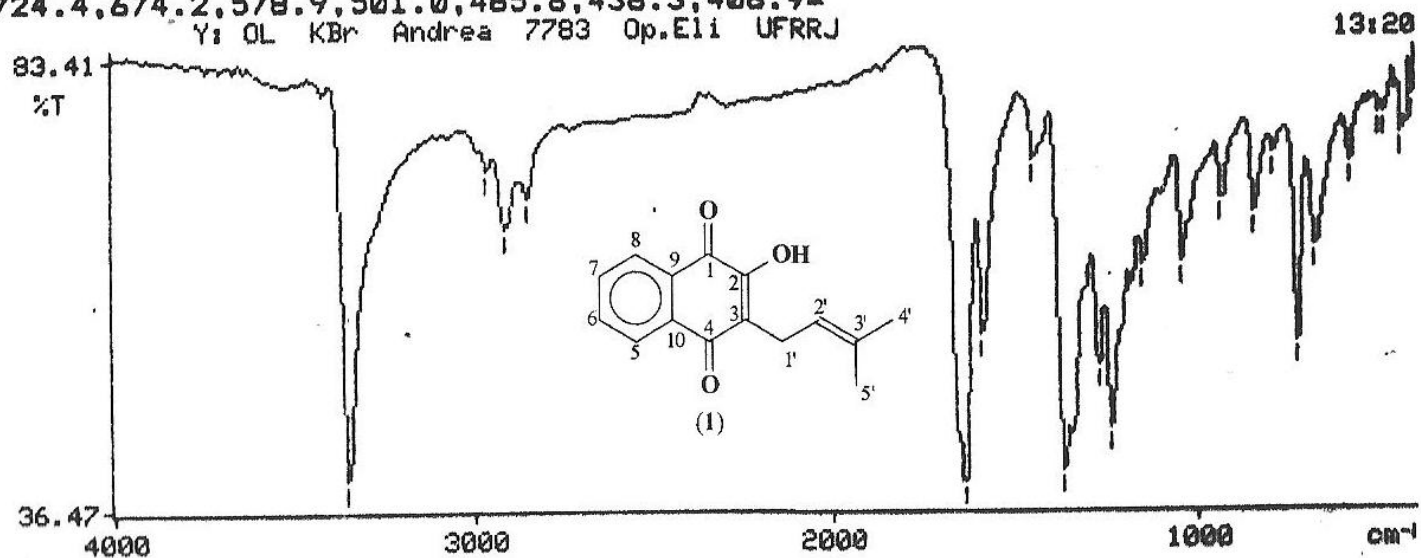
Produtos obtidos da reação com Diaminas vicinais.



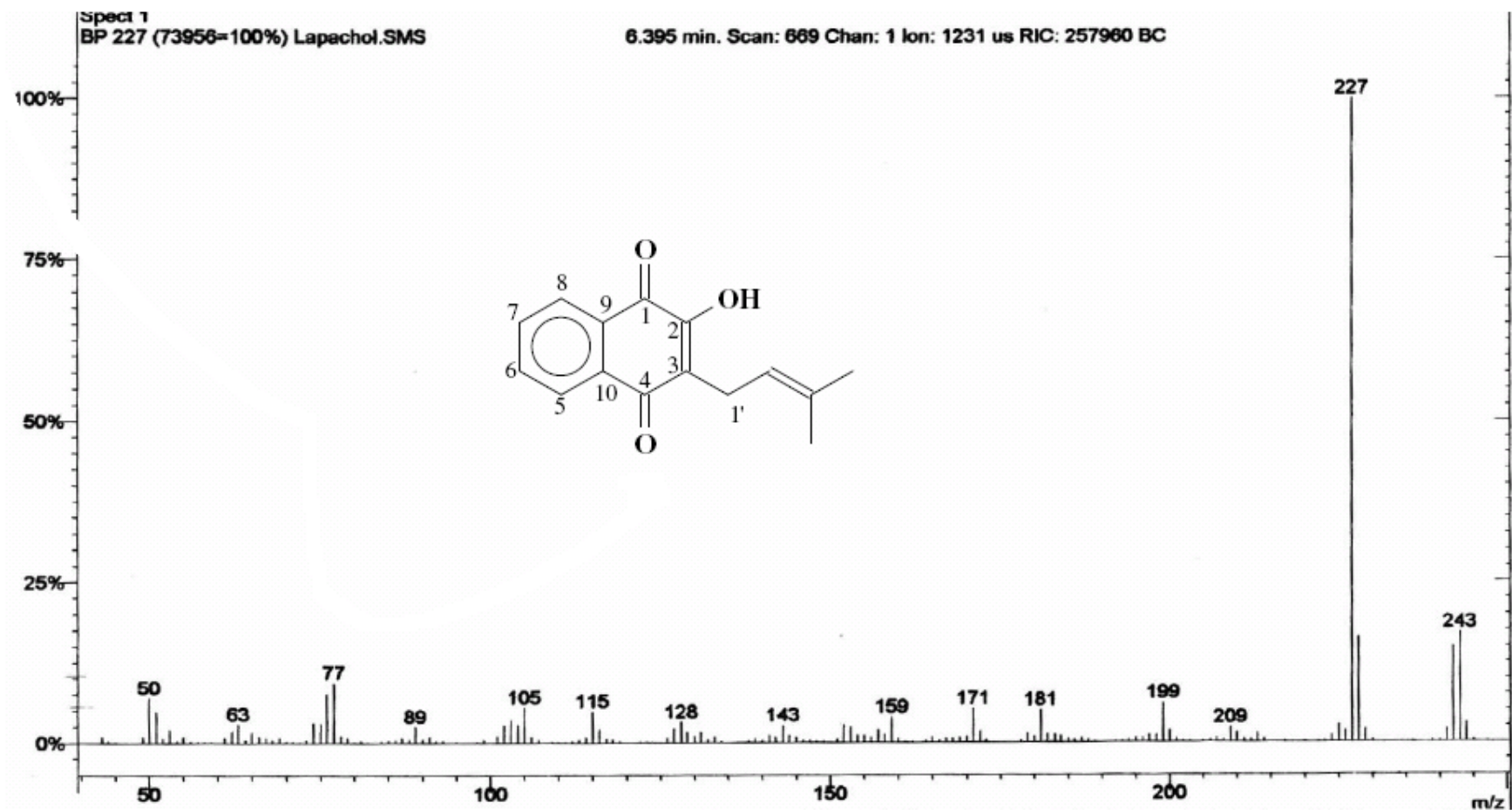


Anexo B – Caderno de Espectros

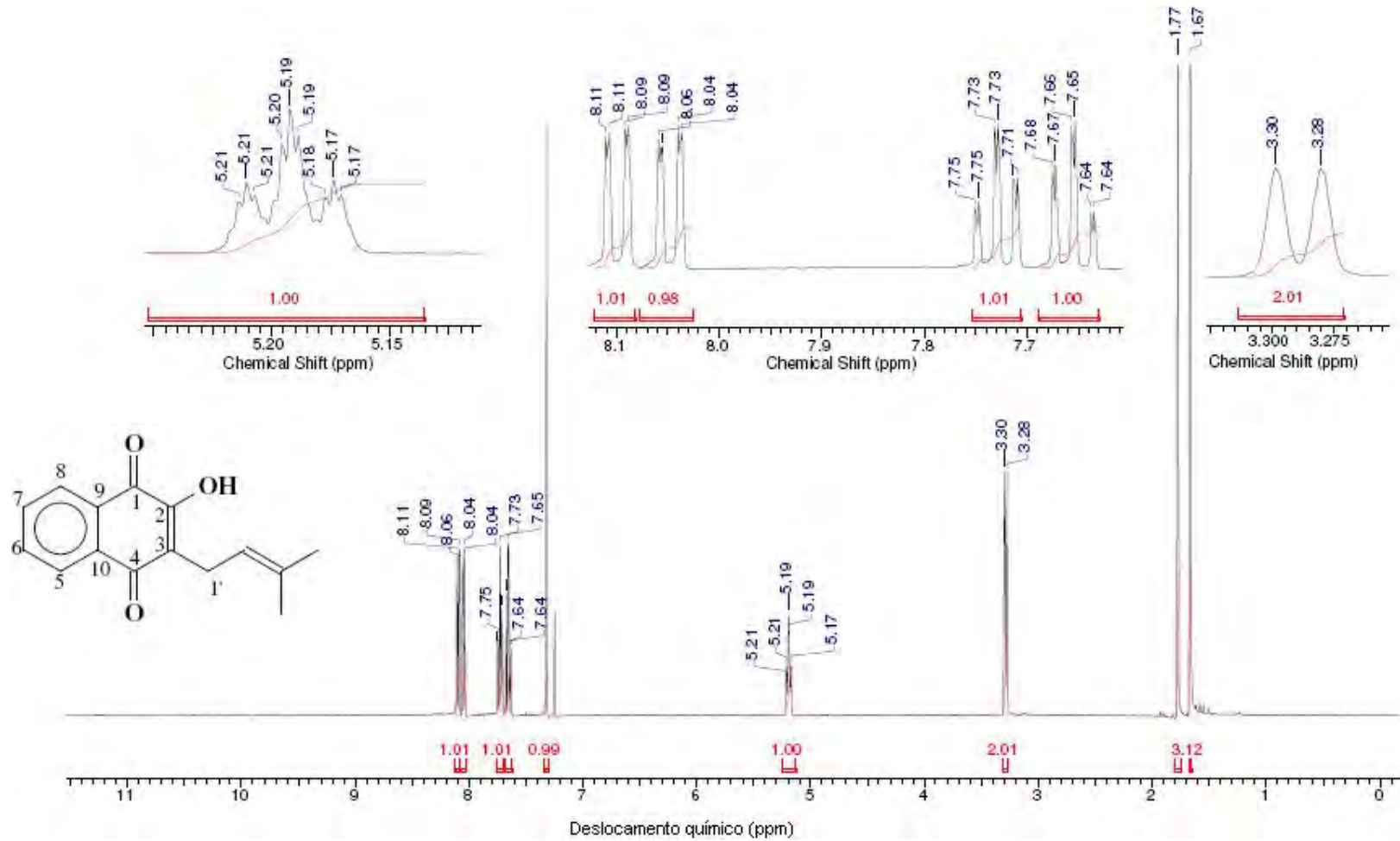
3351.6, 2967.3, 2914.4, 2853.7, 1642.1, 1589.4, 1450.8, 1368.5=  
1272.4, 1238.5, 1150.5, 1045.3, 934.6, 844.6, 791.0=  
724.4, 674.2, 578.9, 501.0, 485.6, 438.3, 408.9=  
Y: OL KBr Andrea 7783 Op.Eli UFRRJ



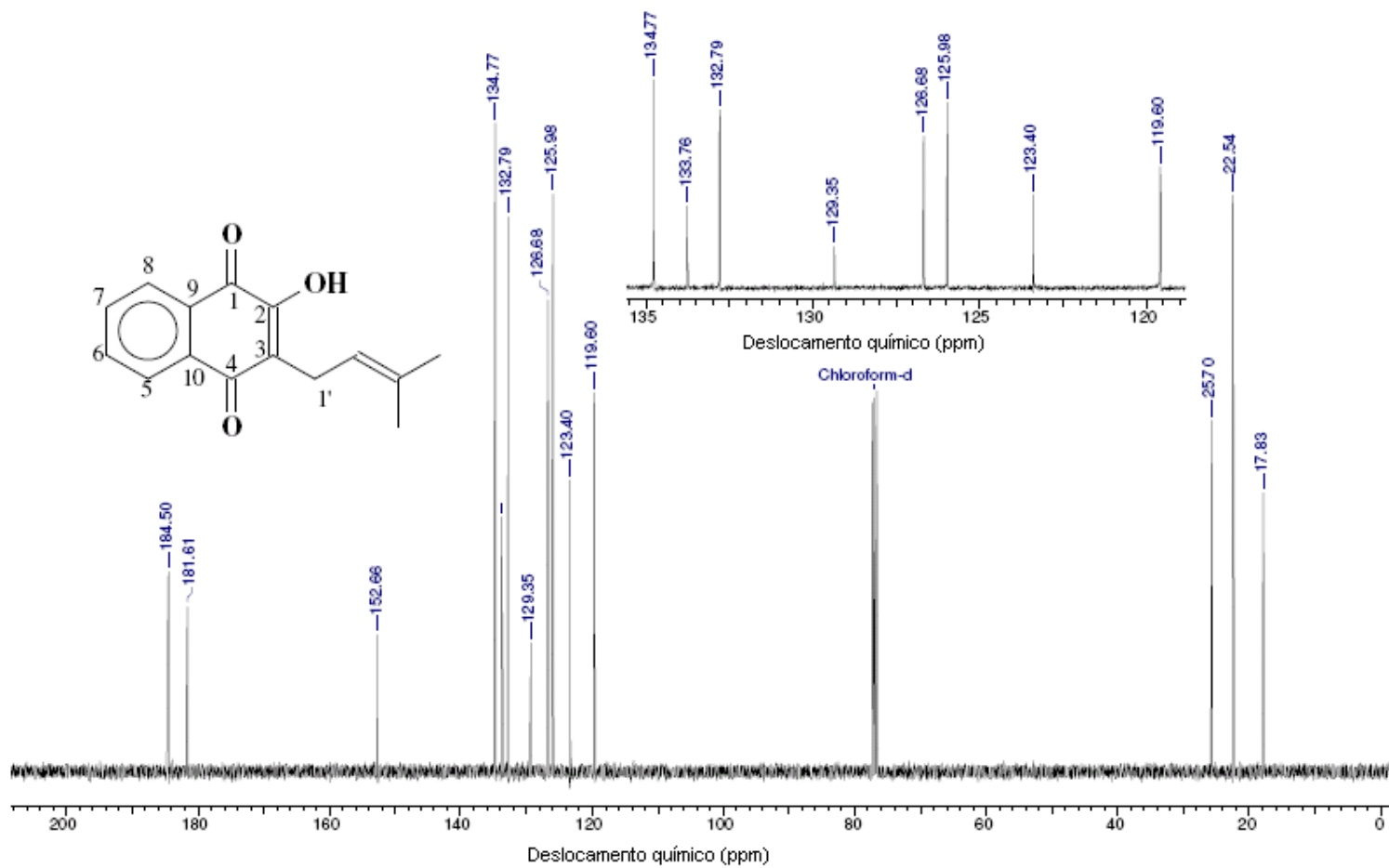
Espectro 1 – I.V. do lapachol (2-hidróxi-3-(3-metilbut-2-enil)naftaleno-1,4-diona), em pastilha de KBr.



Espectro 2 – E.M. do lapachol (2-hidróxi-3-(3-metilbut-2-enil)naftaleno-1,4-dione), ionização por impacto de elétrons 70 eV.



**Espectro 3** – RMN  $^1\text{H}$  (200 MHz) do lapachol (2-hidróxi-3-(3-metilbut-2-enil)naftaleno-1,4-diona), em  $\text{CDCl}_3$ .

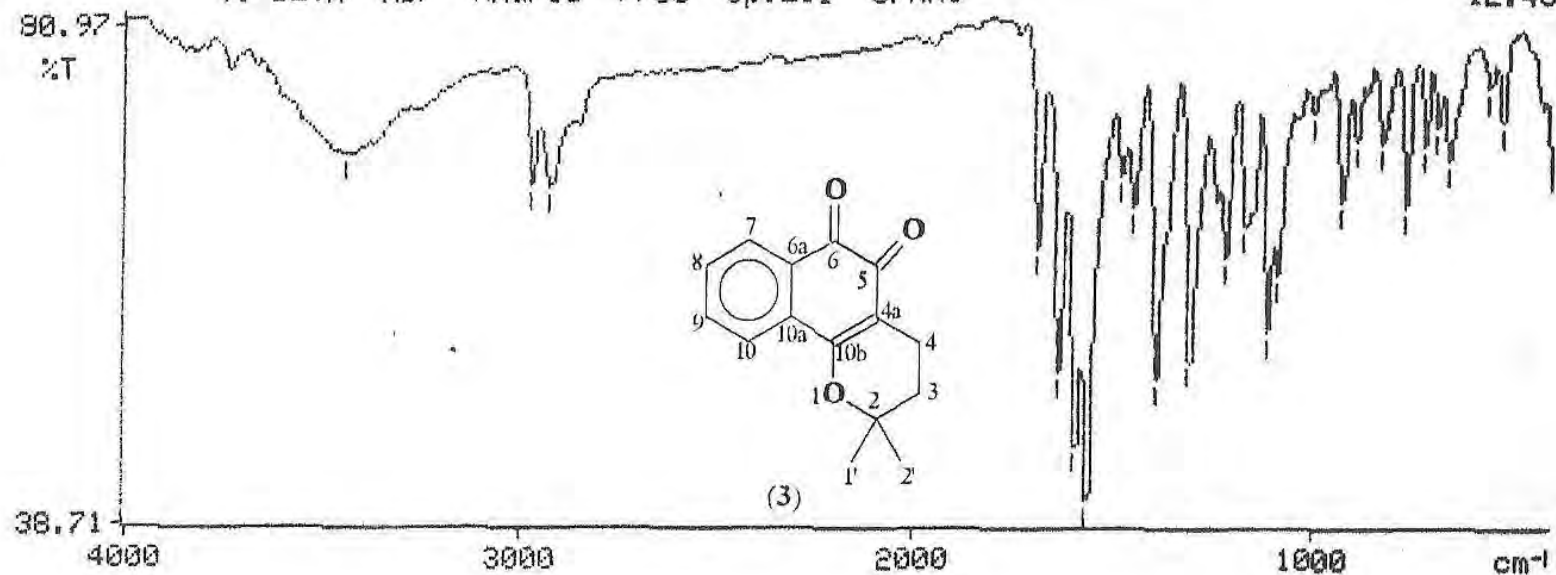


**Espectro 4** – RMN  $^{13}\text{C}$  (50,3 MHz) do lapachol (2-hidróxi-3-(3-metilbut-2-enil)naftaleno-1,4-diona).

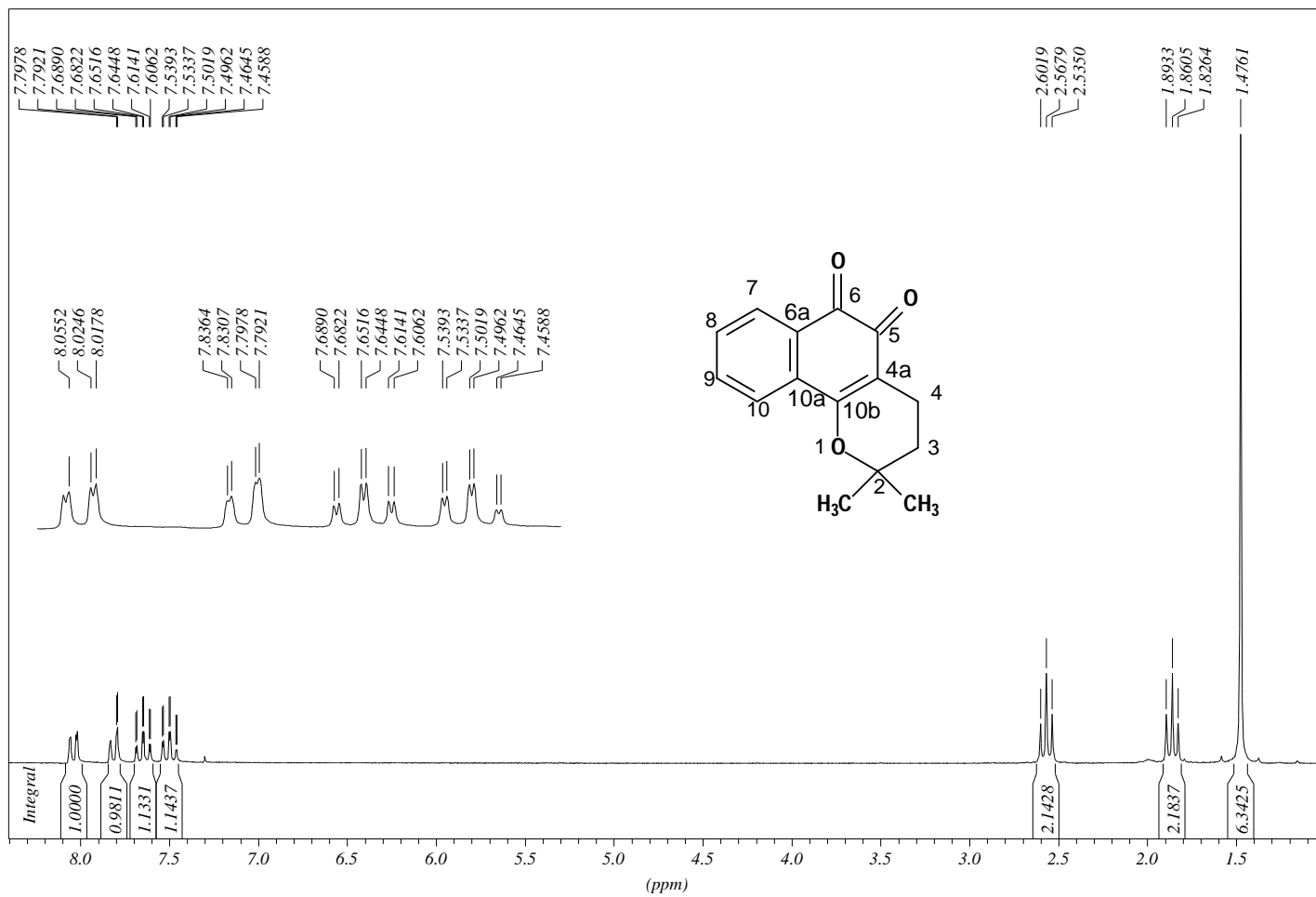


3445.0, 2975.2, 2928.9, 1694.2, 1639.0, 1596.2, 1565.7, 1485.7, 1454.6=  
 1394.0, 1311.6, 1224.4, 1173.7, 1116.5, 1092.9, 1003.8, 929.7=  
 895.4, 831.2, 769.2, 721.4, 691.1, 662.9, 558.1, 526.4=  
 Y: BETA KBr Andrea 7780 Op.Eli UFRRJ

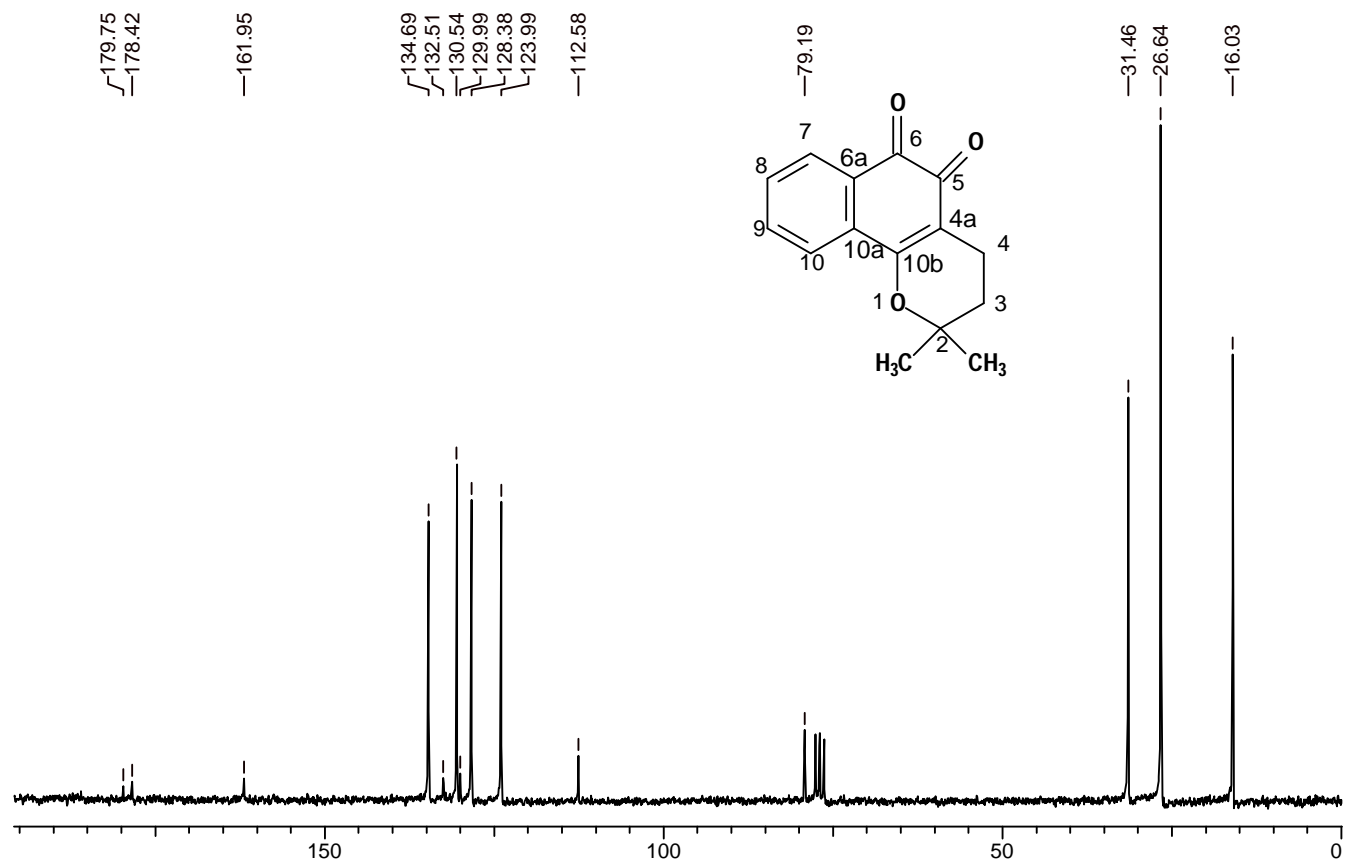
12:43



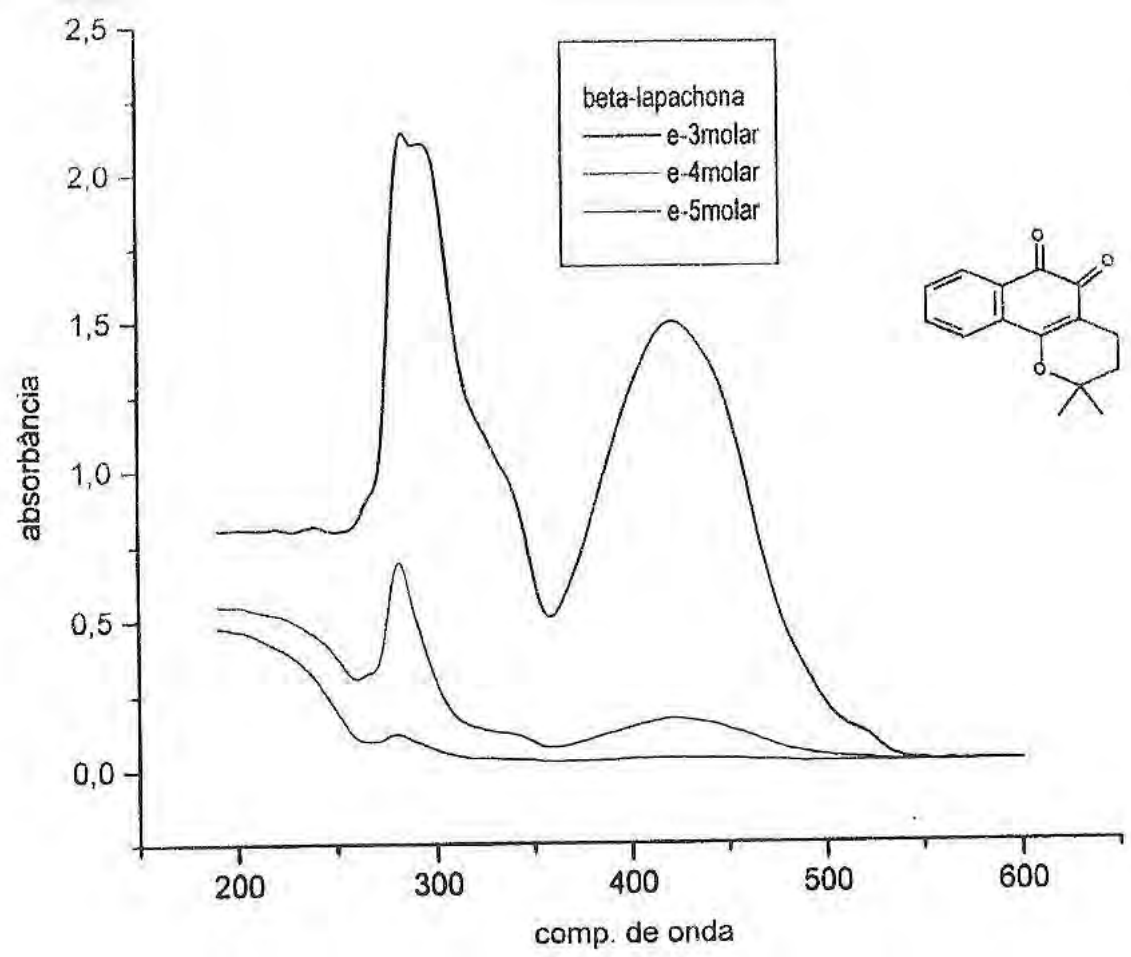
**Espectro 5** – Infravermelho da  $\beta$ -lapachona 2,2-dimetil-3,4-di-hidro-2H-benzo[h]cromeno-5,6-diona), em pastilha de KBr.



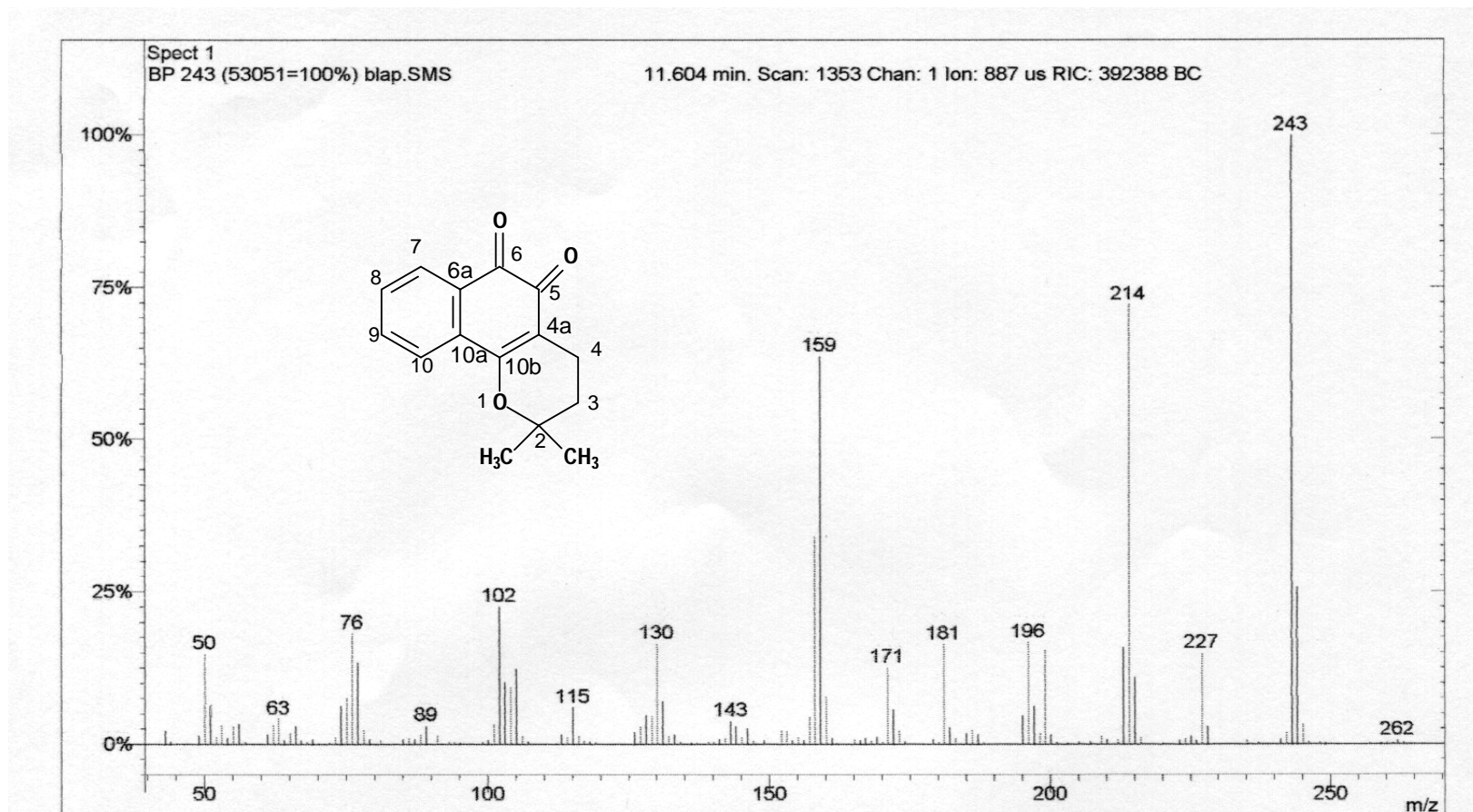
**Espectro 6** – RMN <sup>1</sup>H (200 MHz) de β-lapachona (2,2-dimetil-3,4-di-hidro-2H-benzo[h]cromeno-5,6-diona).



**Espectro 7** – RMN <sup>13</sup>C (50,3 MHz) da β-lapachona (2,2-dimetil-3,4-di-hidro-2*H*-benzo[*h*]cromeno-5,6-diona).



**Espectro 8** – UV da  $\beta$ -lapachona (2,2-dimetil-3,4-di-hidro-2*H*-benzo[*h*]cromeno-5,6-diona).

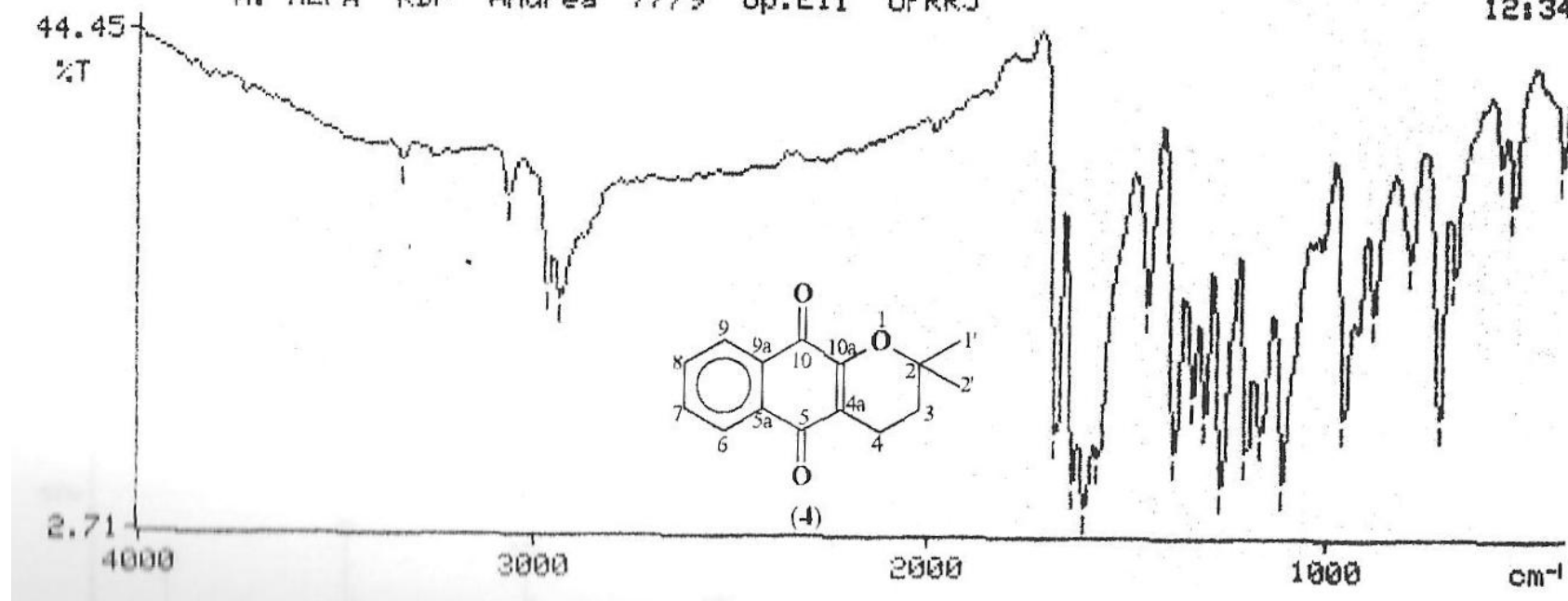


**Espectro 9** – E.M. da  $\beta$ -lapachona (2,2-dimetil-3,4-di-hidro-2H-benzo[h]cromeno-5,6-diona).

3340.3, 3071.8, 2972.5, 2938.1, 1681.2, 1638.6, 1609.4, 1573.8, 1453.8=  
1384.6, 1339.1, 1308.6, 1268.3, 1204.3, 1171.7, 1115.5, 958.7=  
885.5, 790.9, 718.2, 681.5, 569.1, 535.7, 415.2=

X: ALFA KBr Andrea 7779 Op.Eli UFRRJ

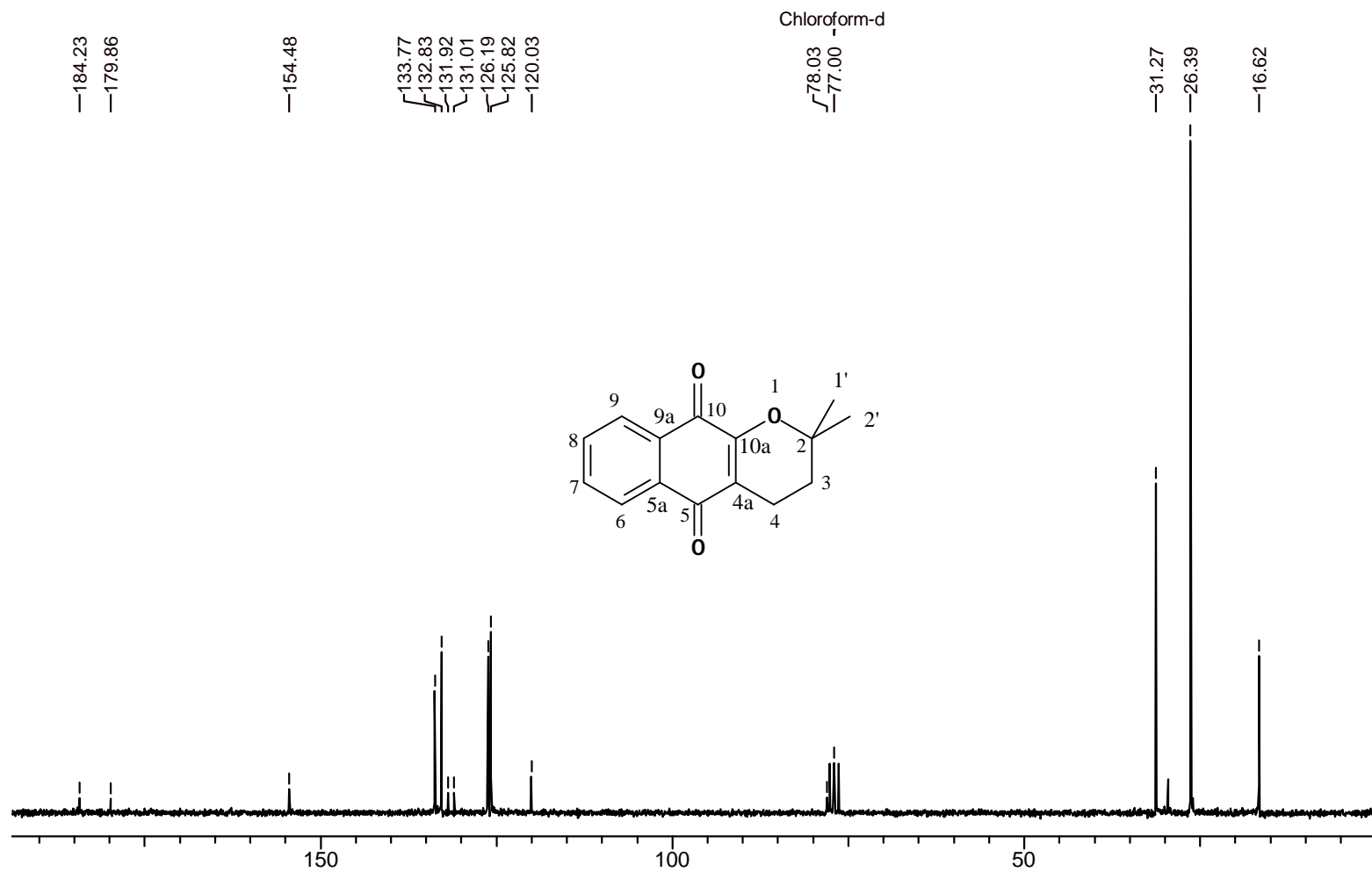
12:34



**Espectro 10** – IV da  $\alpha$ -lapachona (2,2-dimetil-3,4-di-hidro-2H-benzo[g]cromeno-5,10-diona).

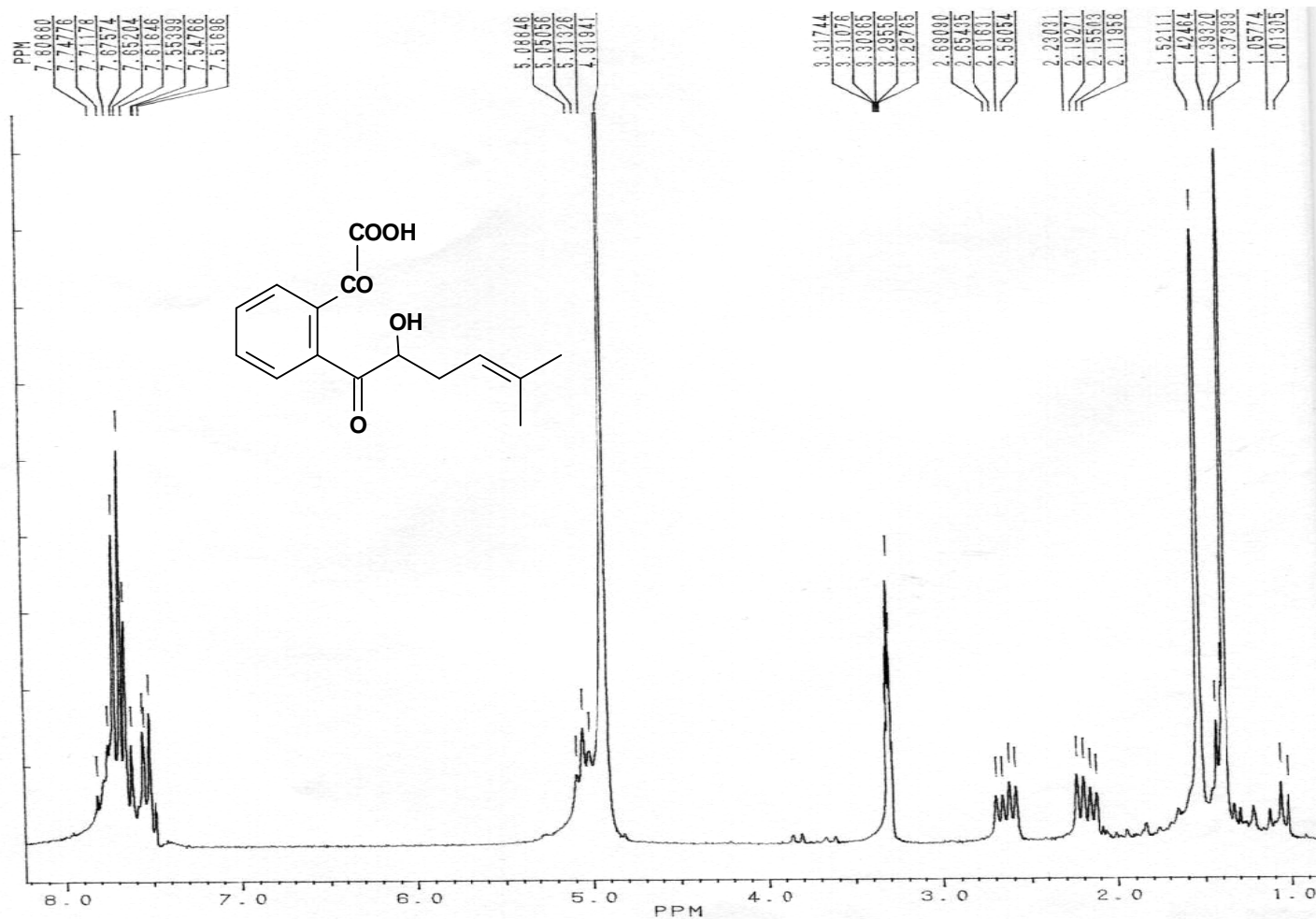


**Espectro 11** – RMN  $^1\text{H}$  (200 MHz) da  $\alpha$ -lapachona (2,2-dimetil-3,4-di-hidro-2H-benzo[g]cromeno-5,10-diona).

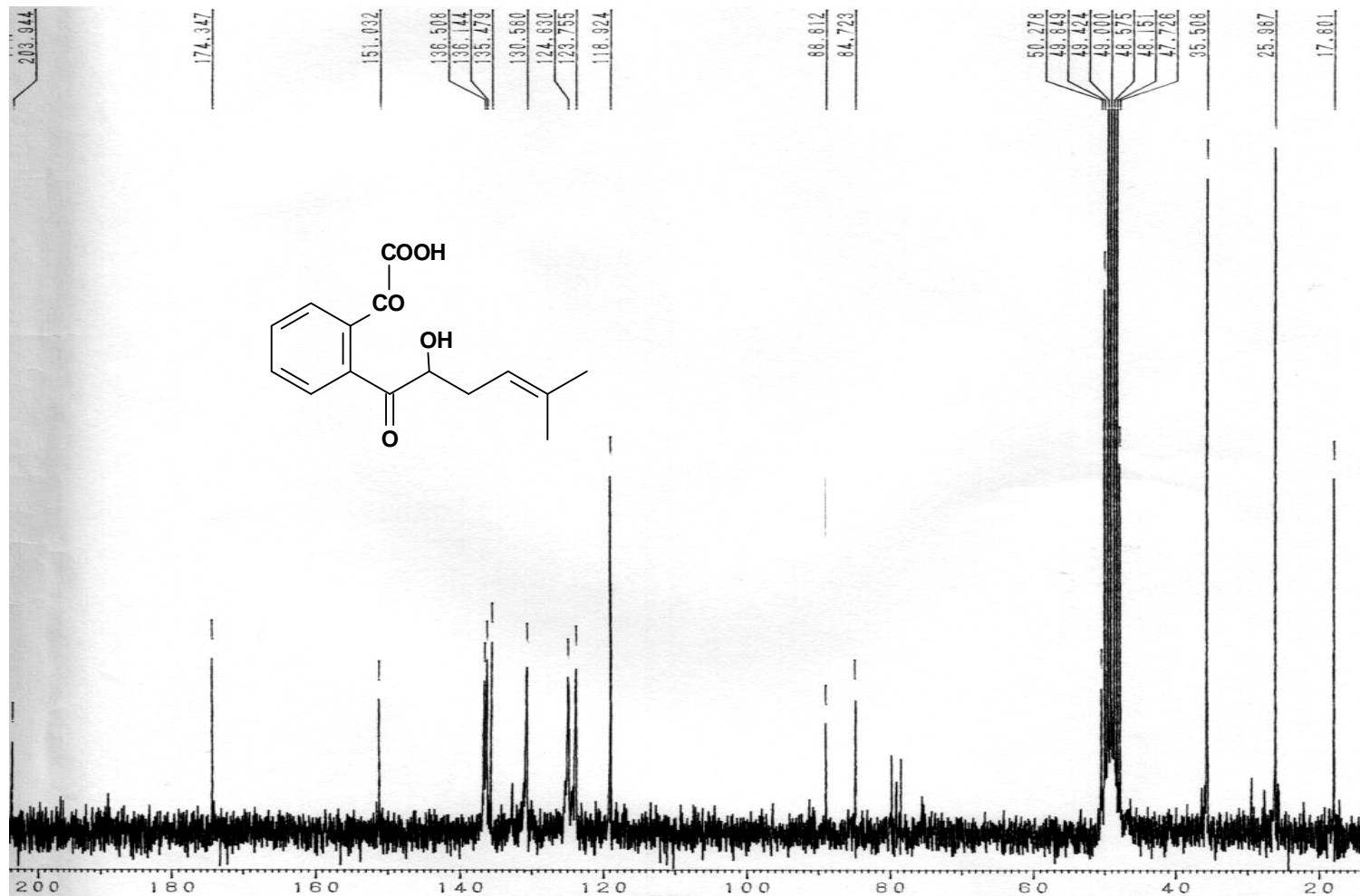


**Espectro 12** - RMN  $^{13}\text{C}$  (50,3 MHz) de  $\alpha$ -lapachona (2,2-dimetil-3,4-di-hidro-2H-benzo[g]cromeno-5,10-diona).

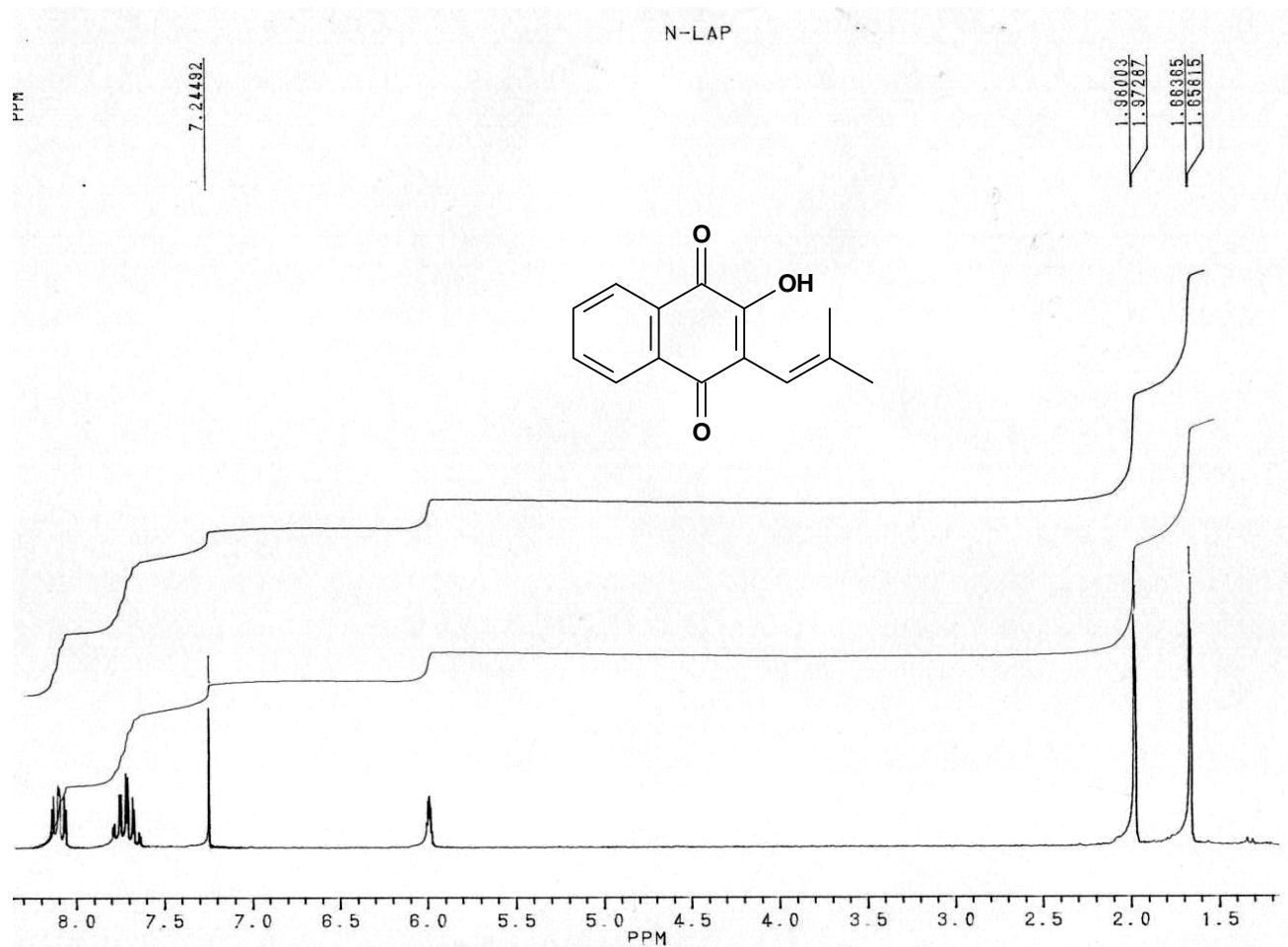




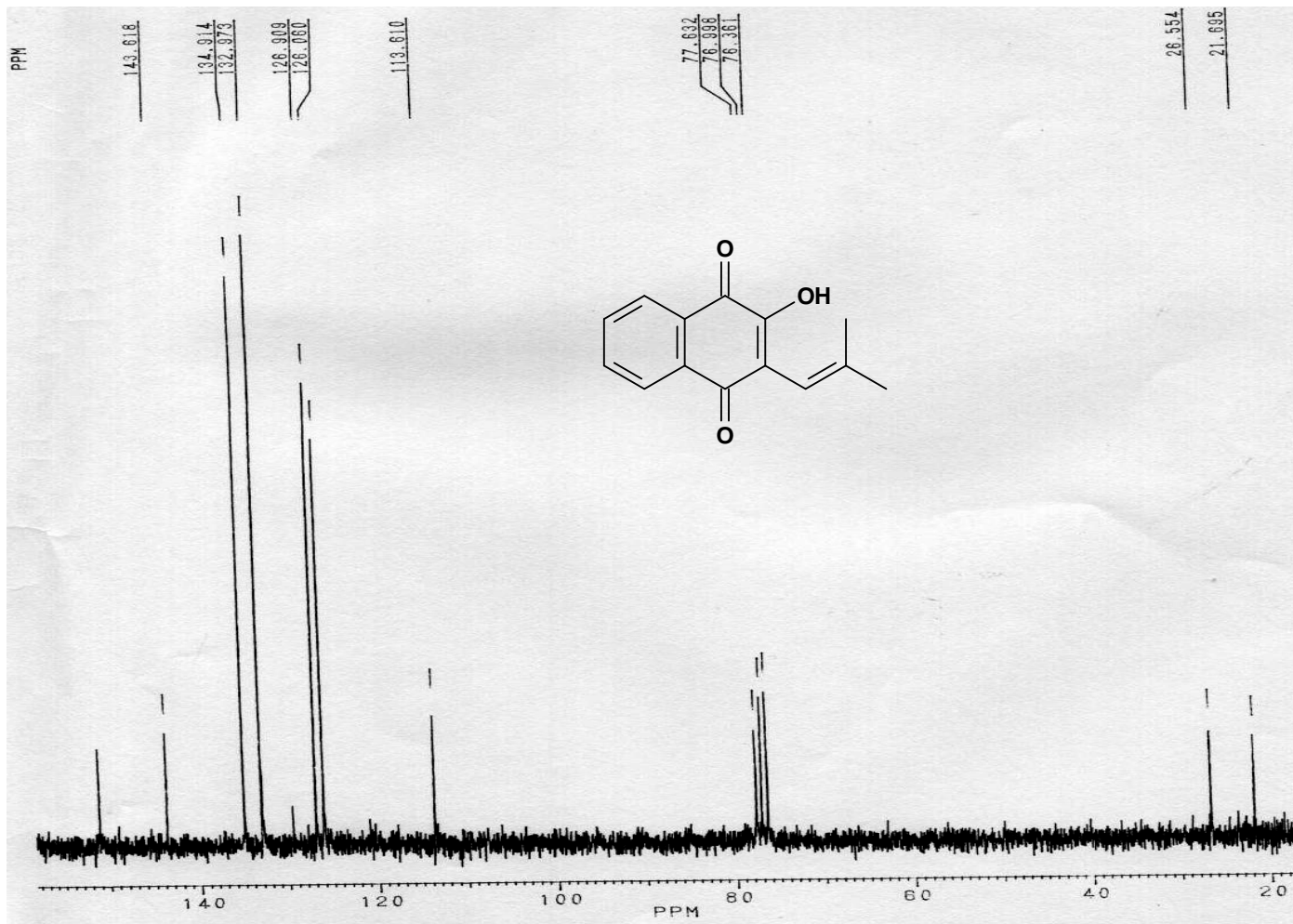
**Espectro 13** – RMN  $^1\text{H}$  (200 MHz) do cetol (Ácido 2-(2-hidroxi-5-metil-hex-4-enoila)fenil)(oxo)acético) intermediário do lapachol e nor-lapachol, , em DMSO.



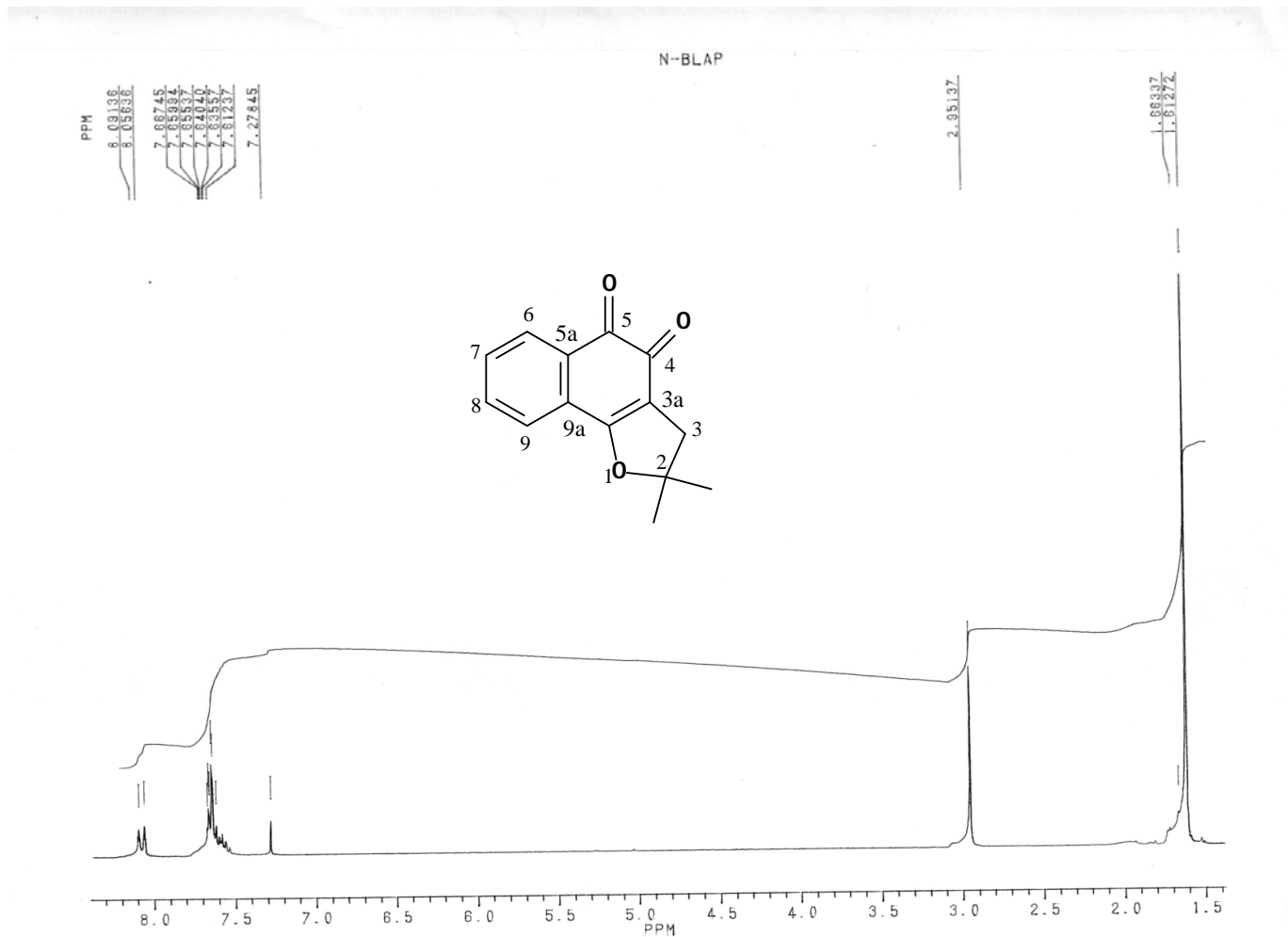
**Espectro 14** – RMN <sup>13</sup>C (50,3 MHz) do cetol (Ácido 2-(2-hidroxi-5-metil-hex-4-enoila)fenil)(oxo)acético) intermediário do lapachol e norlapachol.



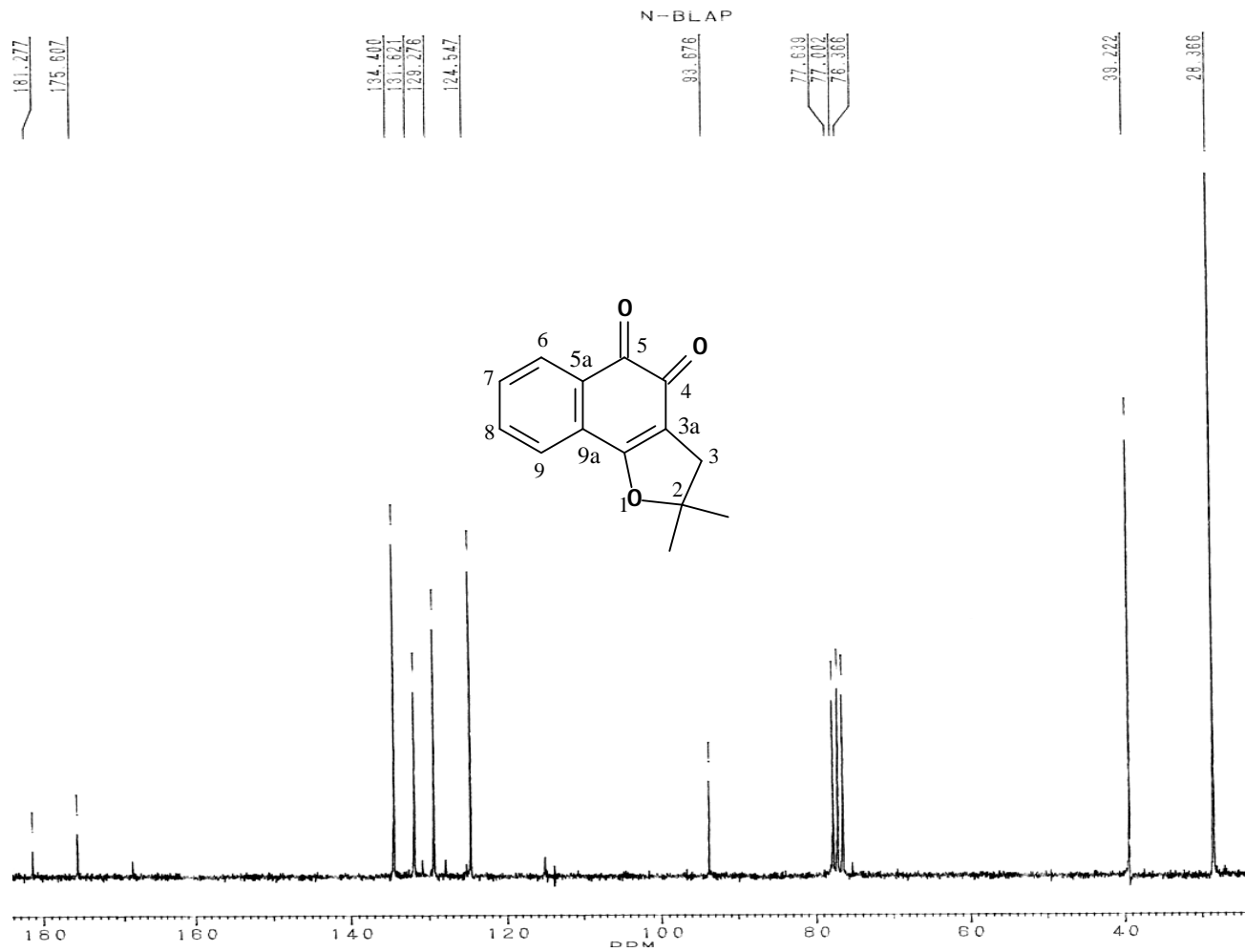
**Espectro 15** – RMN <sup>1</sup>H (200 MHz) do norlapachol (2-hidróxi-3-(2-metilprop-1-enil)naftaleno-1,4-diona).



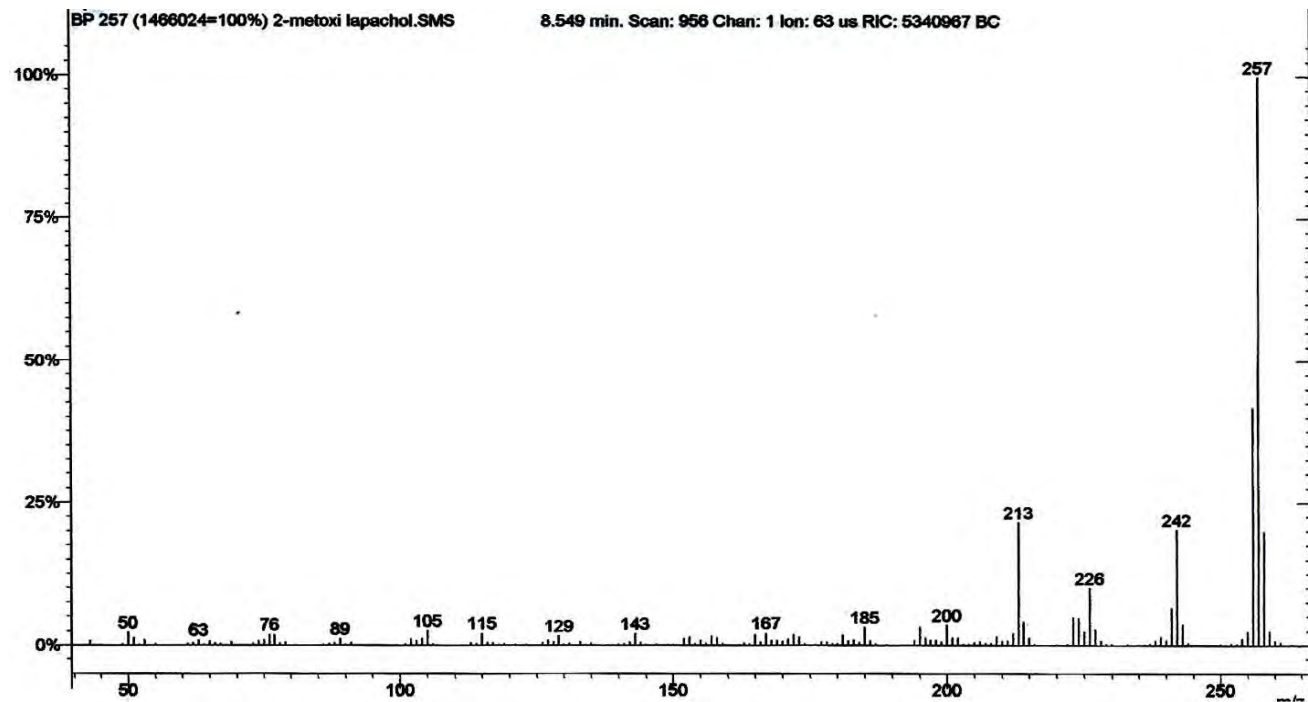
**Espectro 16** – RMN <sup>13</sup>C (50,3 MHz) do norlapachol (2-hidróxi-3-(2-metilprop-1-enil)naftaleno-1,4-diona).



**Espectro 17** – RMN <sup>1</sup>H (200 MHz) da nor-β-lapachona (2,2-dimetil-2,3-di-hidronafto[1,2-*b*]furano-4,5-diona).



**Espectro 18** – RMN <sup>13</sup>C (50,3 MHz) da nor-β-lapachona (2,2-dimetil-2,3-di-hidronafto[1,2-*b*]furano-4,5-diona).

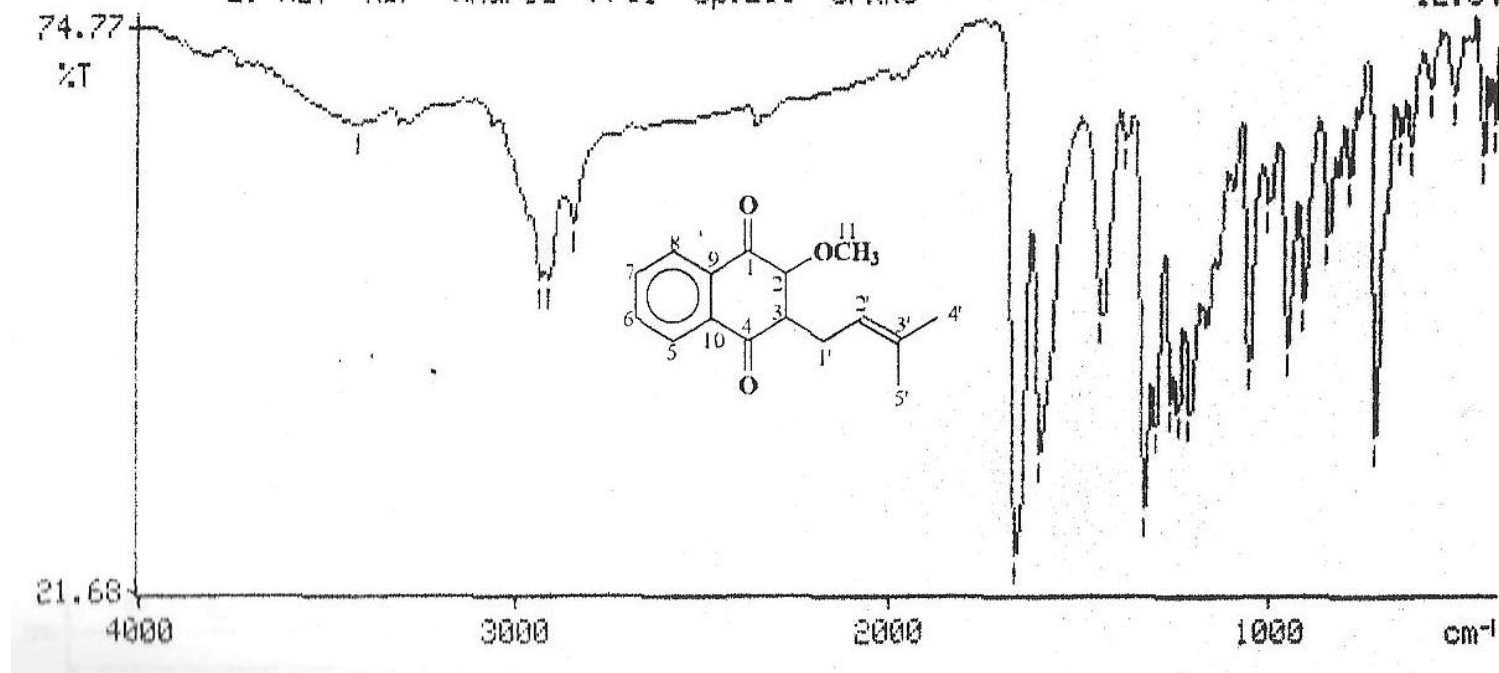


**Espectro 19** – E.M. do 2-metóxilapachol (2-(3-metillbut-2-enil)-3-(metóxi)naftaleno-1,4-diona).

3422.3, 2937.3, 2913.6, 2848.3, 1670.6, 1607.5, 1442.5, 1383.3=  
 1332.2, 1303.7, 1262.0, 1242.3, 1211.7, 1056.9, 1004.8, 955.6=  
 914.0, 850.6, 794.1, 722.1, 660.3, 632.9, 579.1, 517.3, 440.2, 409.0=

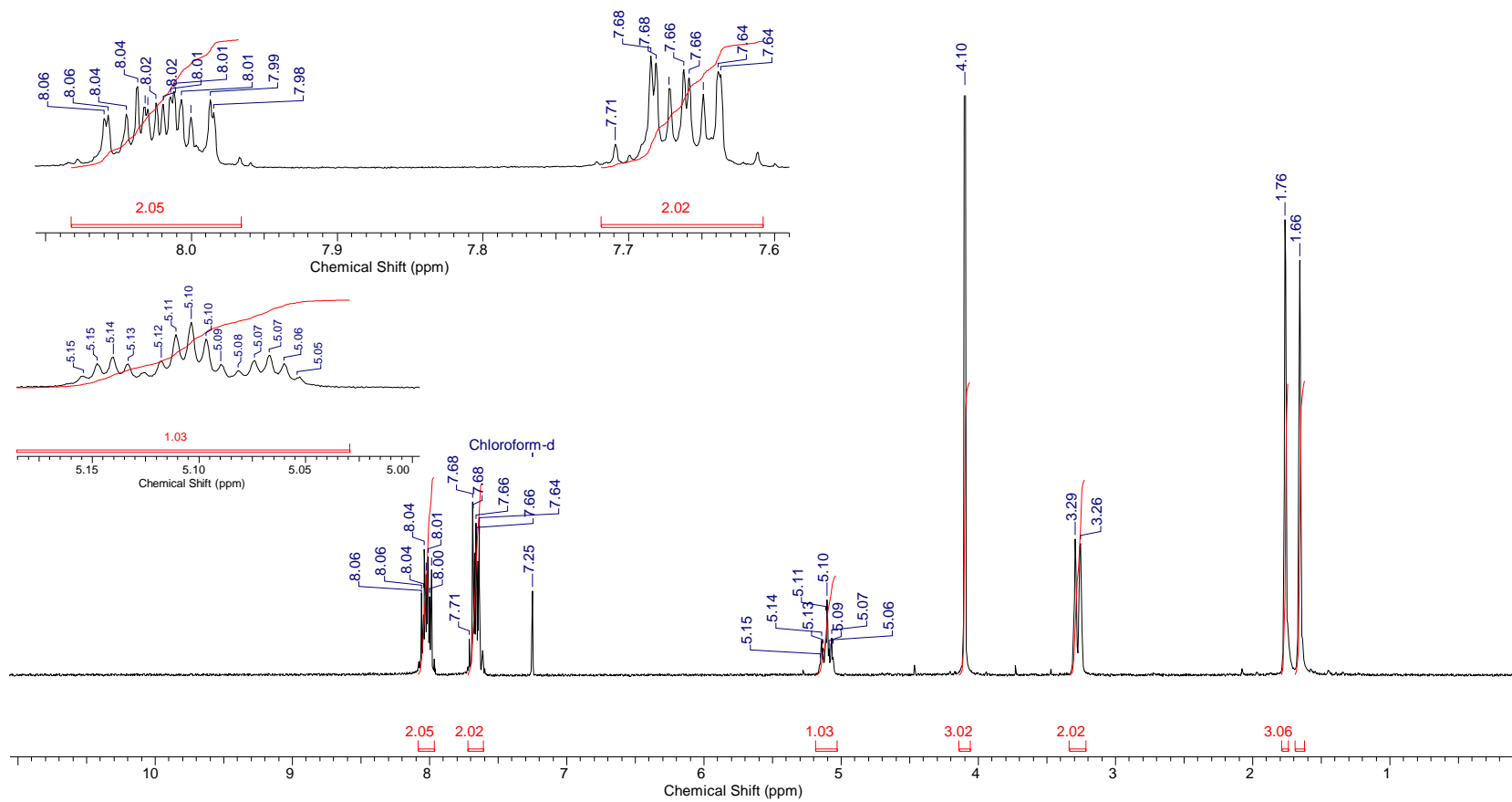
Z: MET KBr Andrea 7781 Op.Eli UFRRJ

12:54

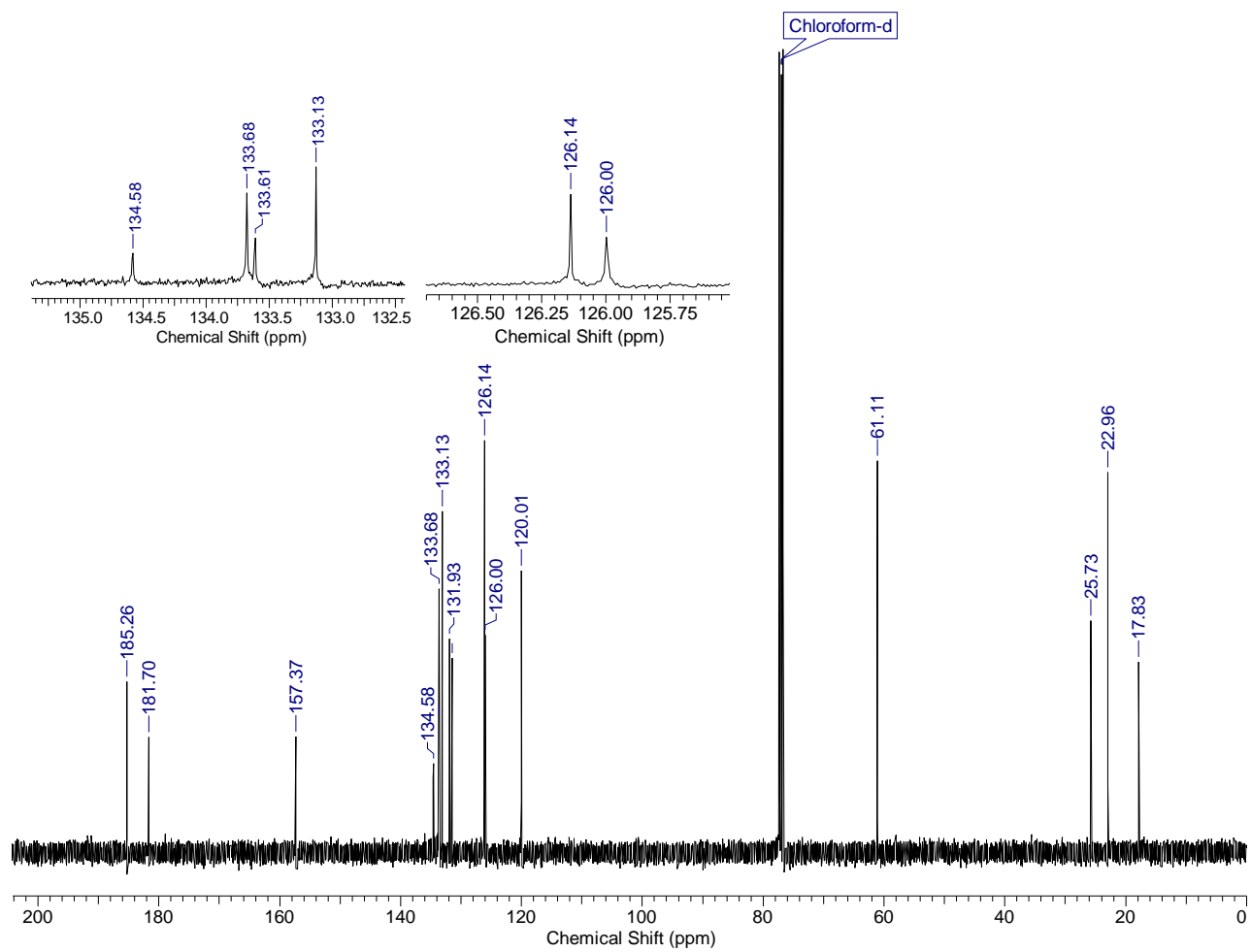


**Espectro 20** – IV do 2-metóxilapachol (2-(3-metilbut-2-enil)-3-(metóxi)naftaleno-1,4-diona).

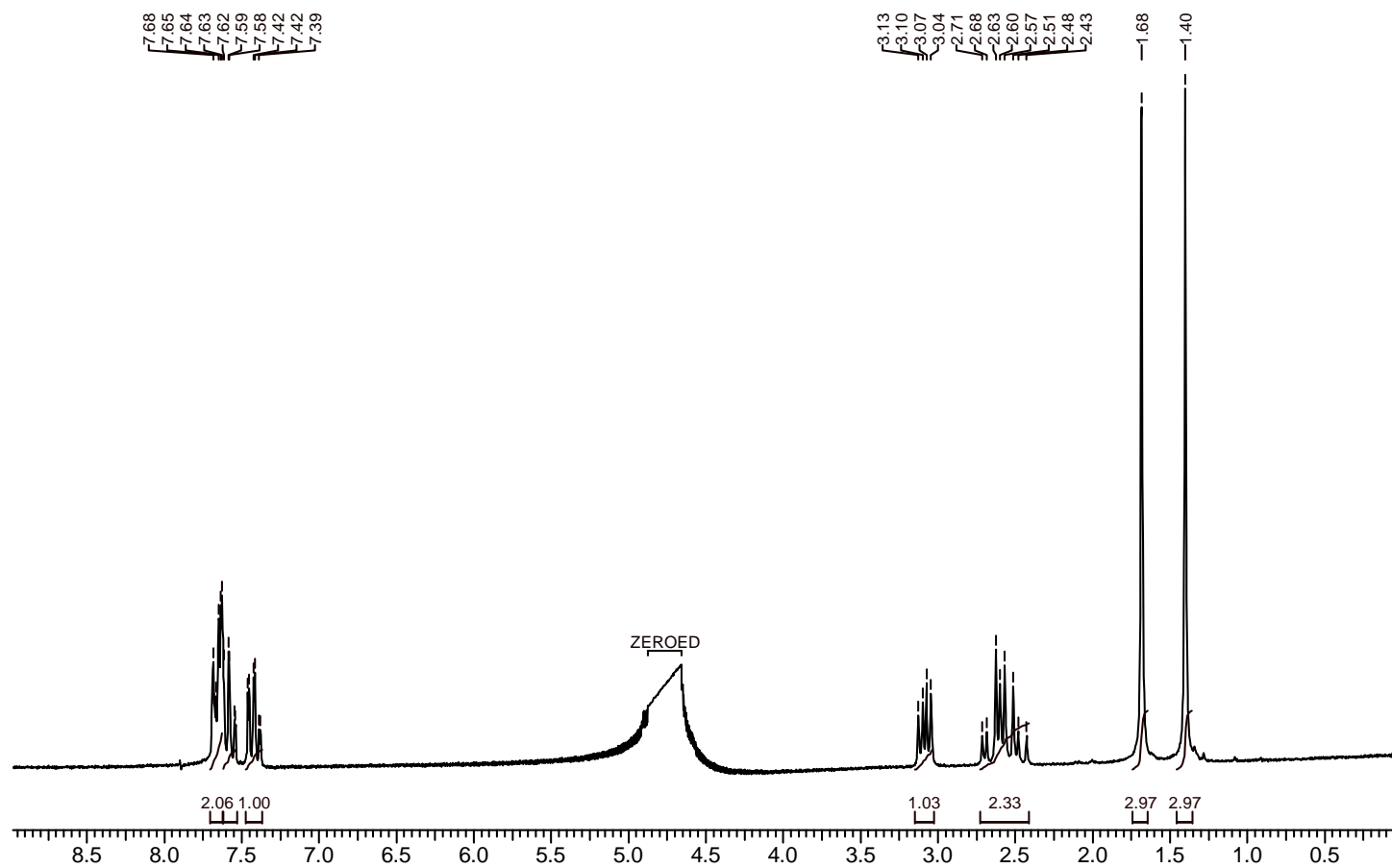




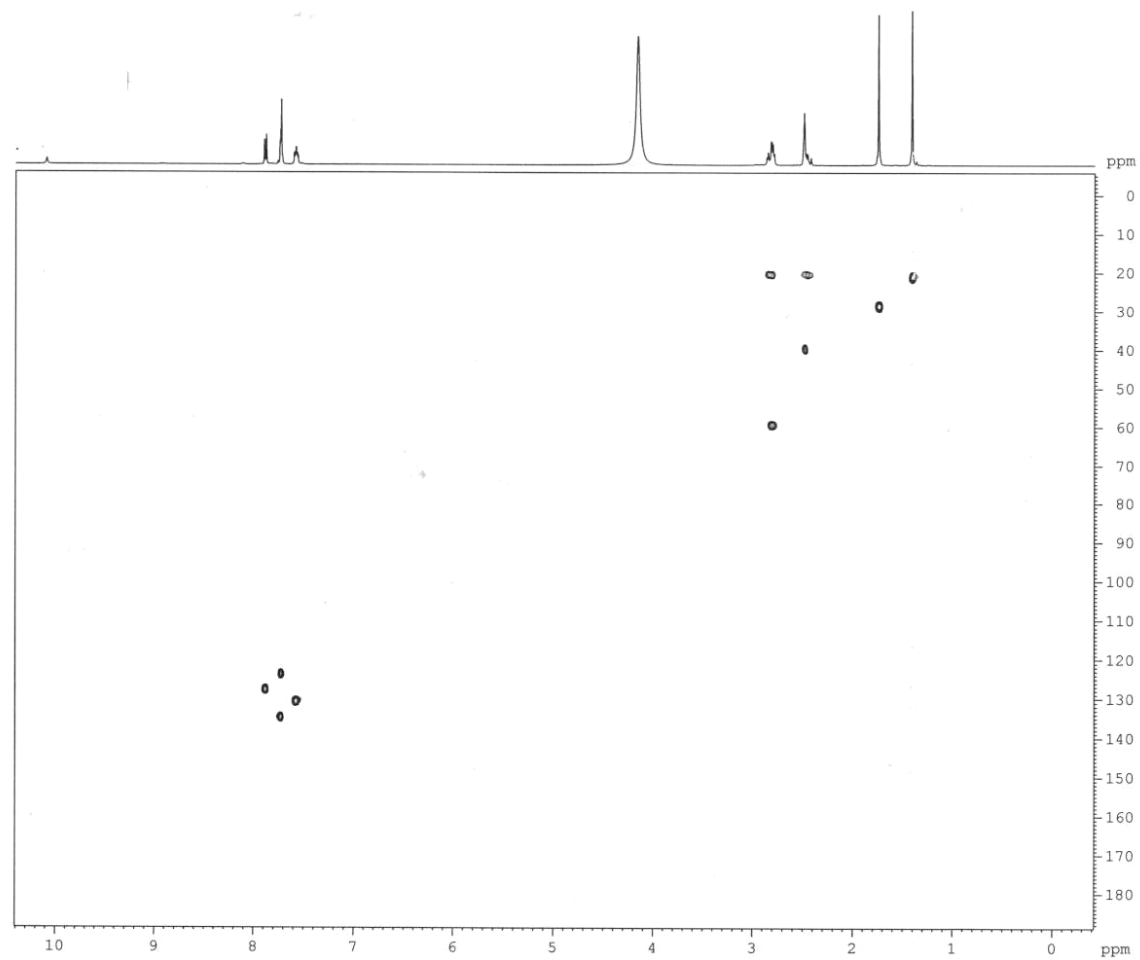
**Espectro 21** - RMN  $^1\text{H}$  (200 MHz) do2-metóxi-lapachol (2-(3-metilbut-2-enil)-3-(metóxi)naftaleno-1,4-diona).



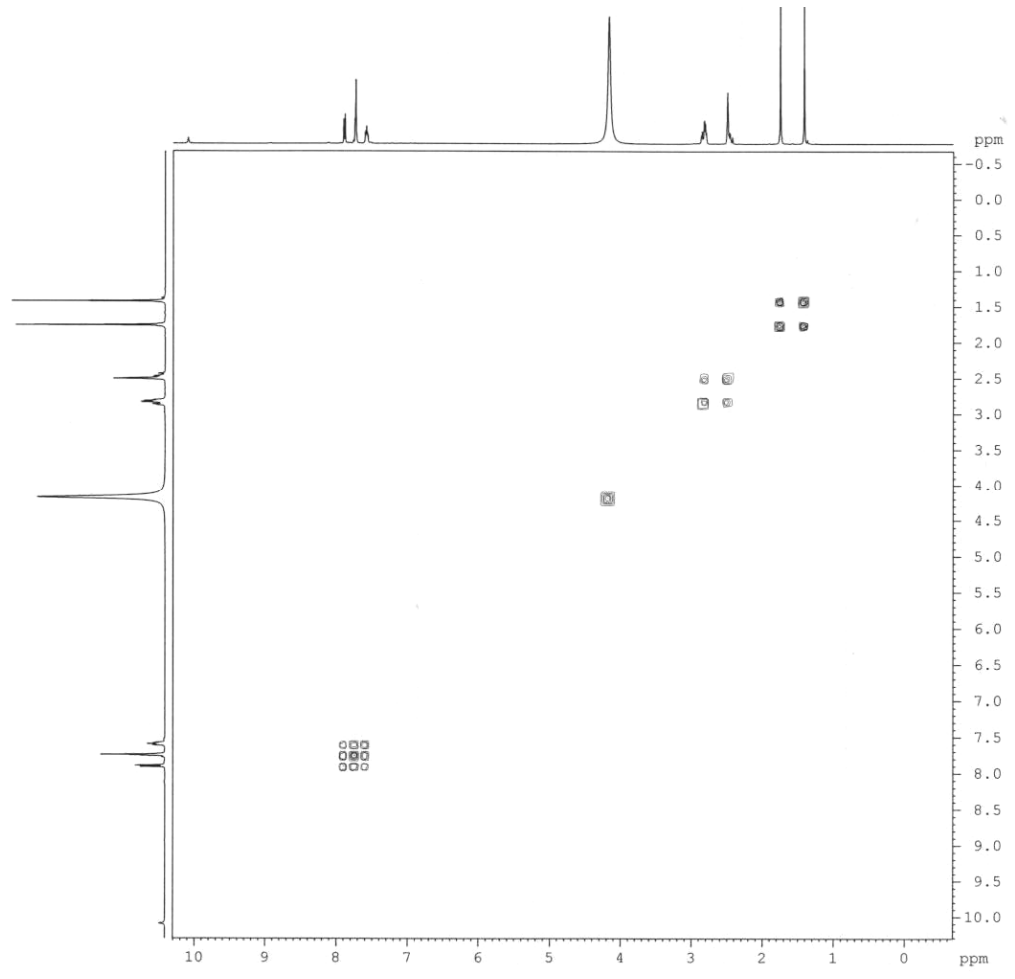
**Espectro 22** - RMN  $^{13}\text{C}$  (50,3 MHz) do 2-metóxi-lapachol (2-(3-metillbut-2-enil)-3-(metóxi)naftaleno-1,4-diona).



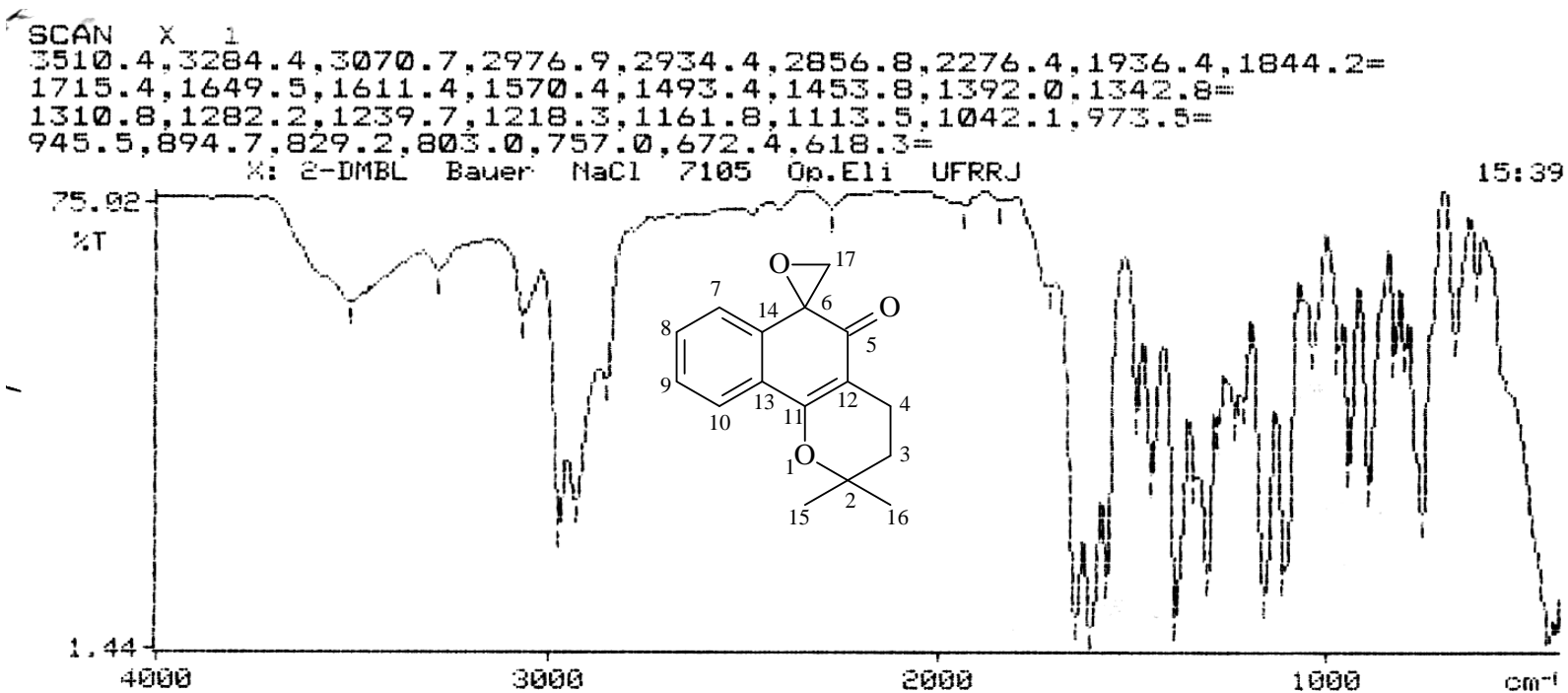
**Espectro 23** – RMN  $^1\text{H}$  (200 MHz) do ácido  $\beta$ -lapachona-3-sulfônico, em  $\text{D}_2\text{O}$ . Usou-se como padrão o sinal em 4,75 ppm para  $\text{D}_2\text{O}$  e a região correspondente a esse sinal foi suprimida para que os sinais da substância fossem vistos.



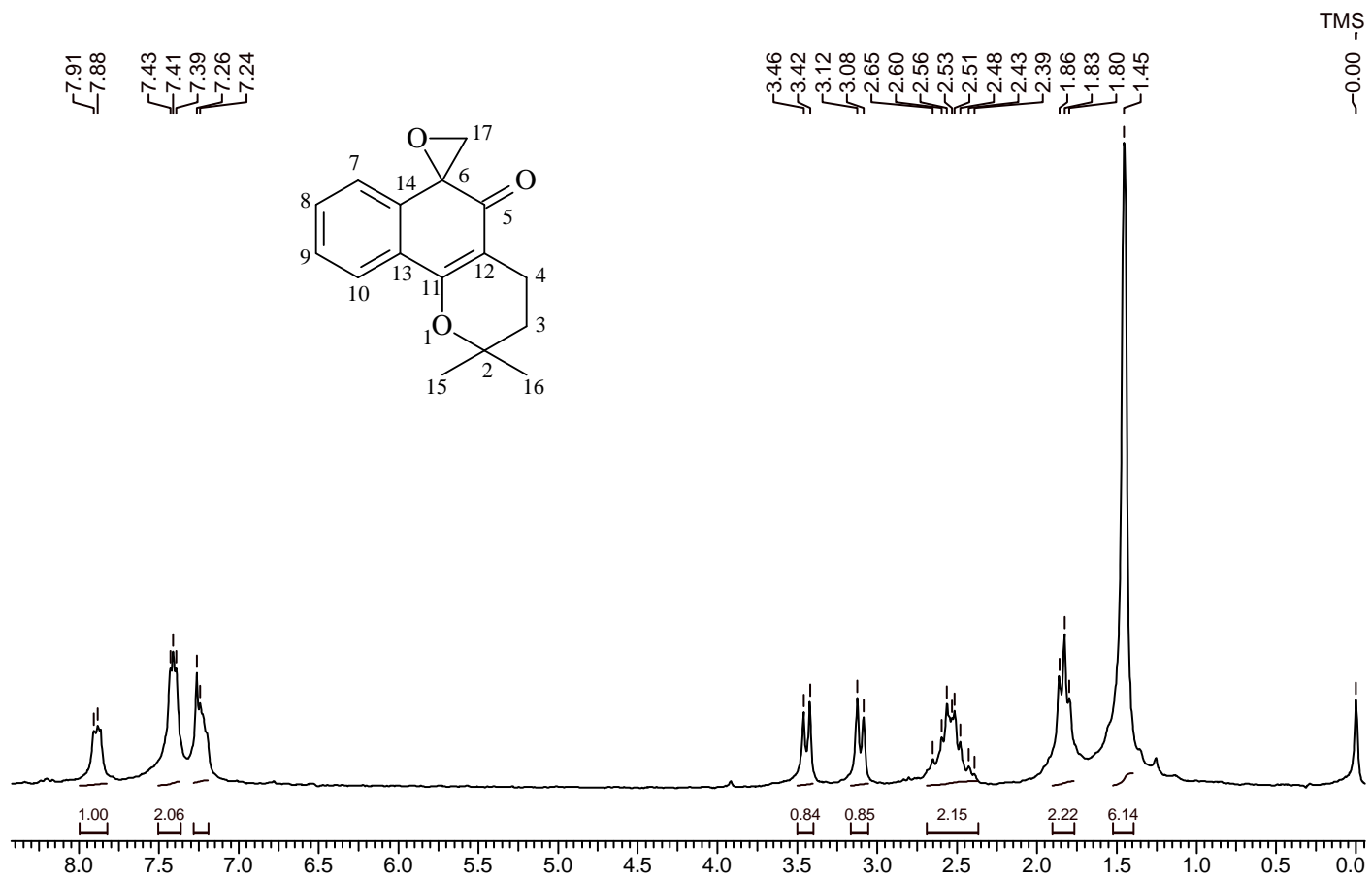
**Espectro 24** – Experimento de HSQC, correlação heteronuclear  $^{13}\text{C} \times ^1\text{H}$  (400 MHz) do ácido  $\beta$ -lapachona-3-sulfônico.



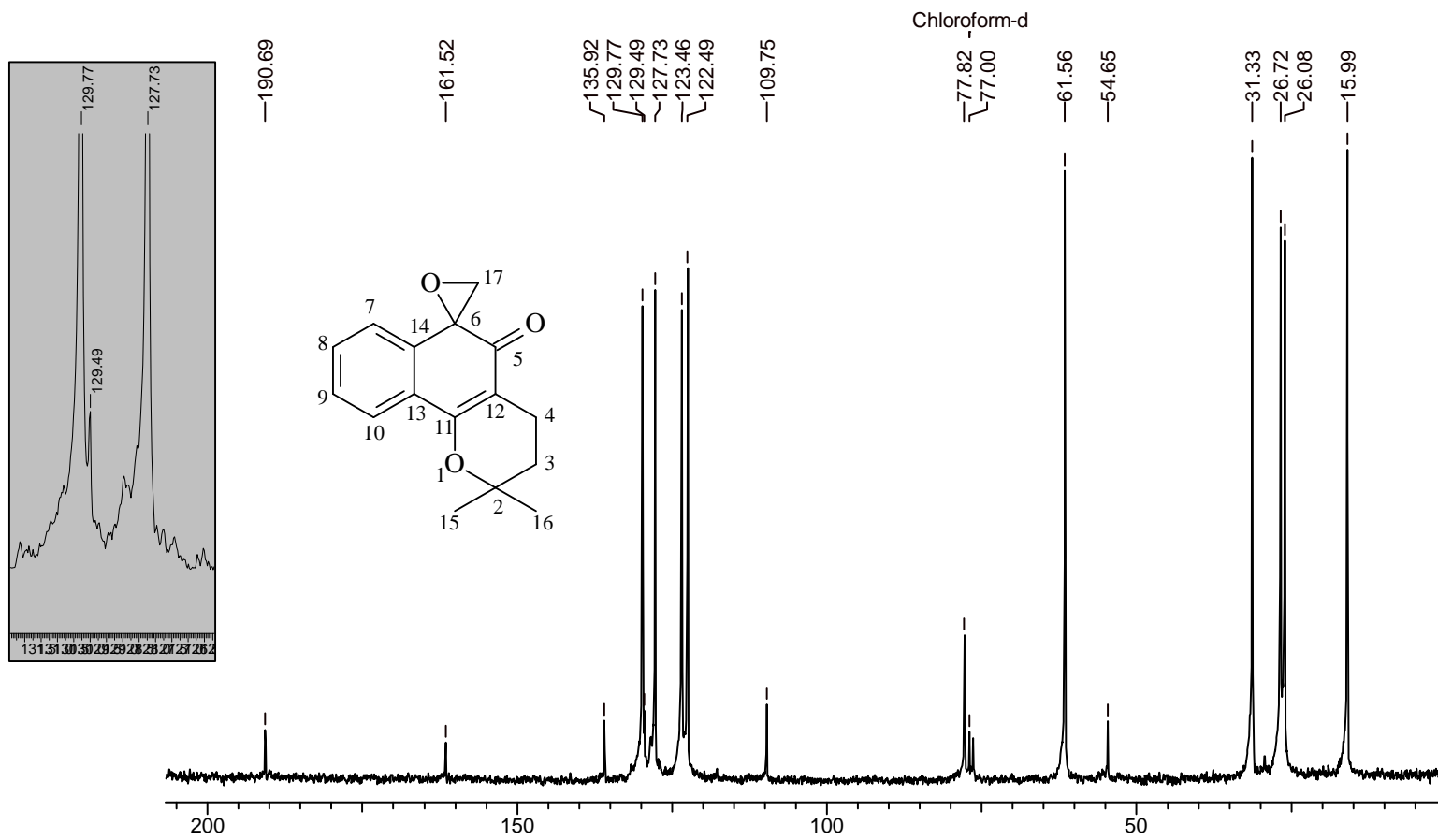
**Espectro 25** – Correlação homonuclear (Cosy <sup>1</sup>H x <sup>1</sup>H) do ácido β-lapachona-3-sulfônico.



**Espectro 26 – IV** da 2DMBL (2,2-dimetil-espiro[3,4,5,6-tetra-hidro-2*H*-benzo[*h*]cromeno-6,2'-(di-hidro-oxirana)]-5-ona).

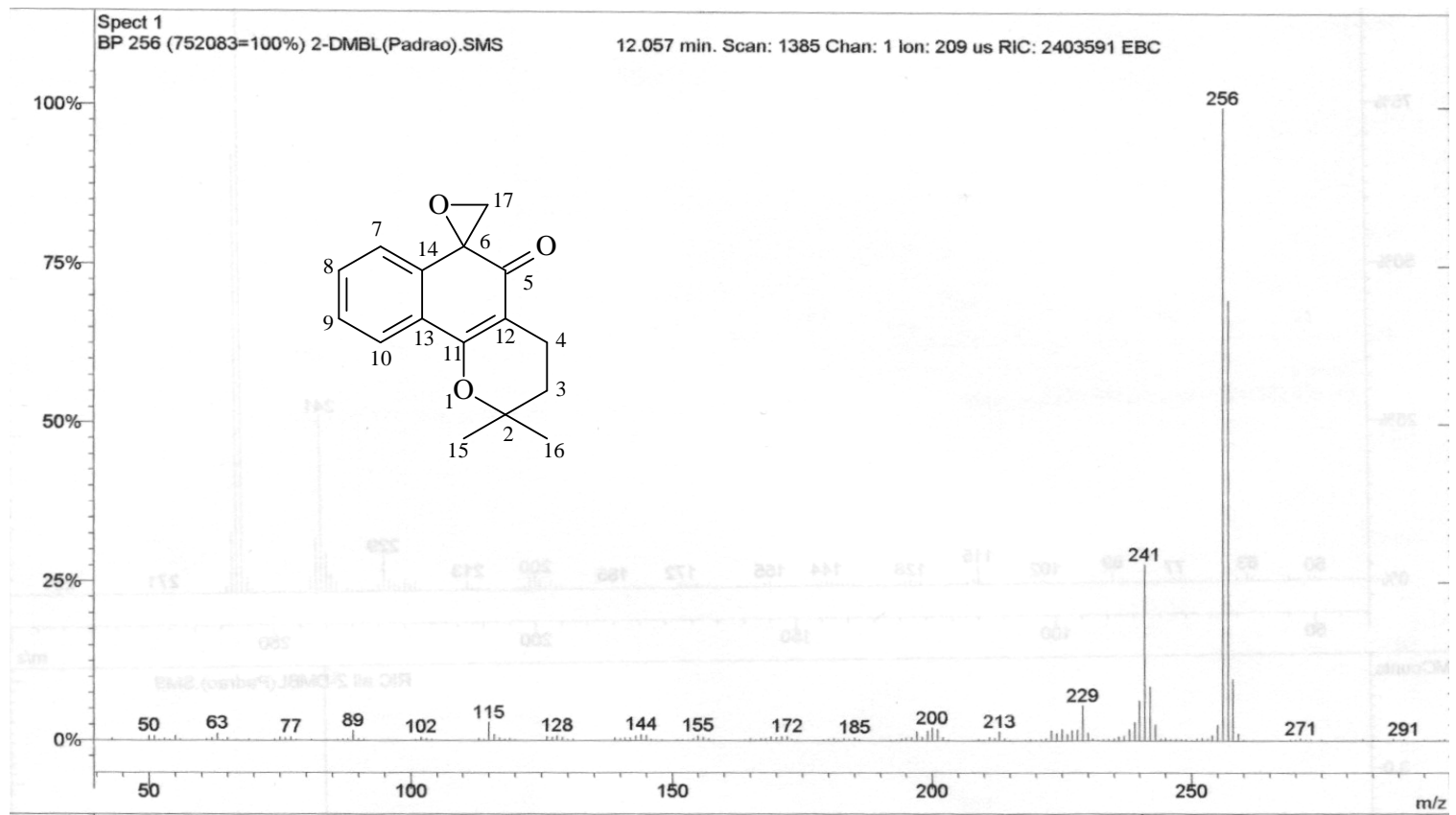


**Espectro 27** – RMN <sup>1</sup>H (200 MHz)do 2DMBL.

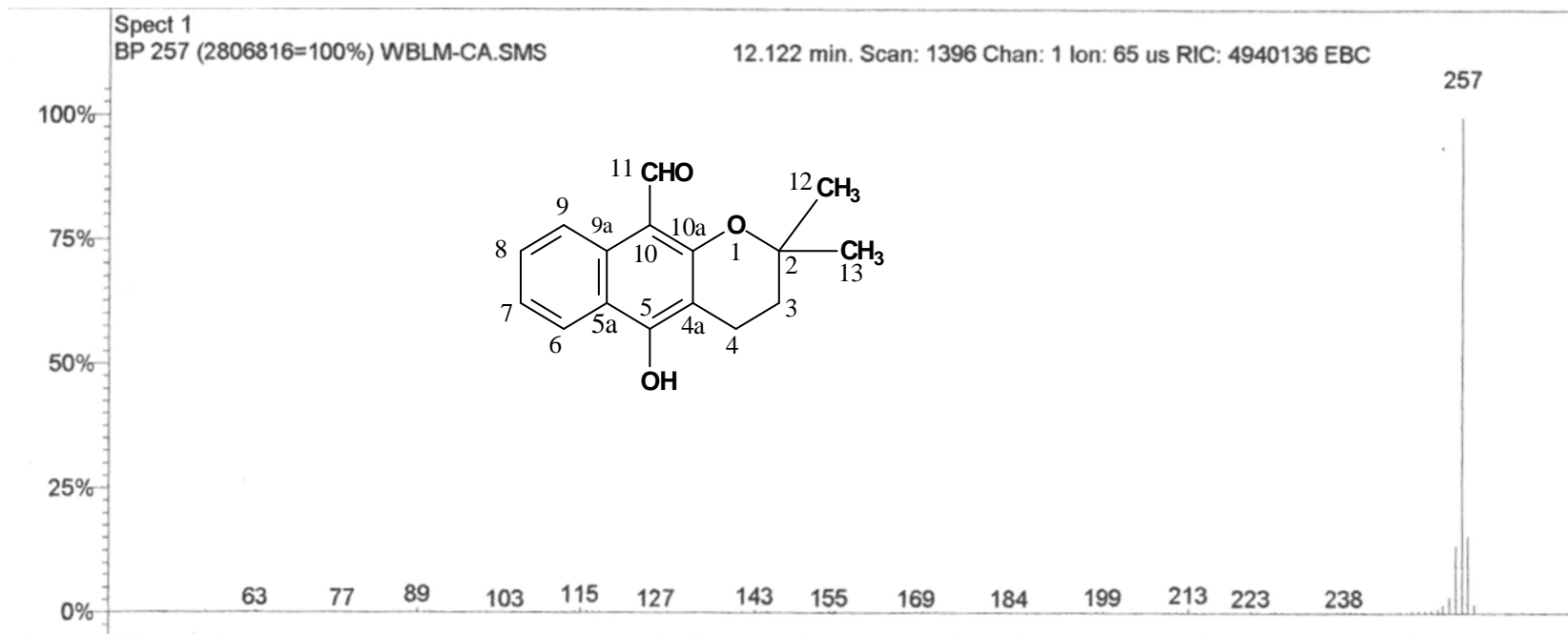


**Espectro 28 – RMN <sup>13</sup>C (50,3 MHz) do 2DMBL.**

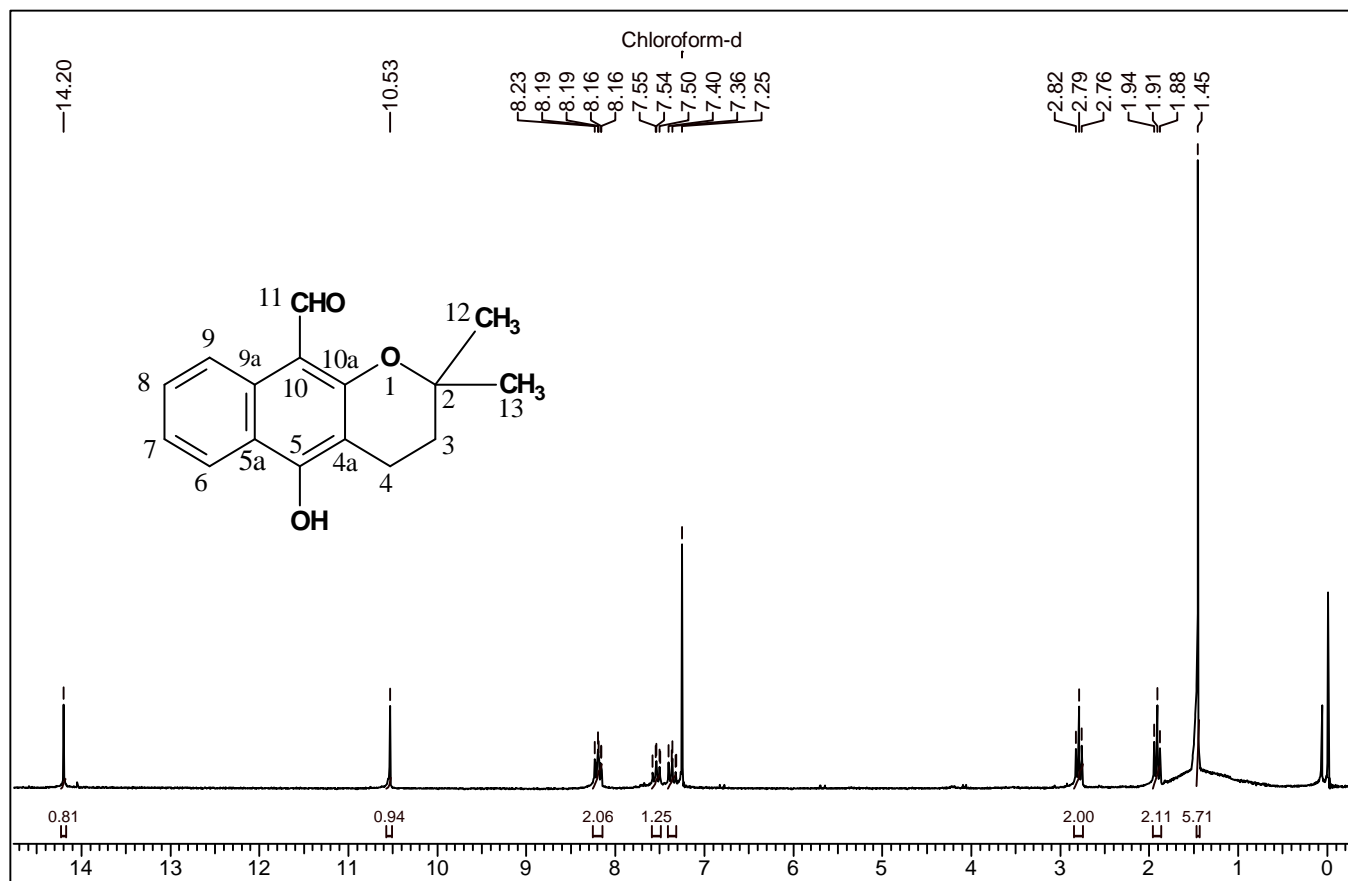




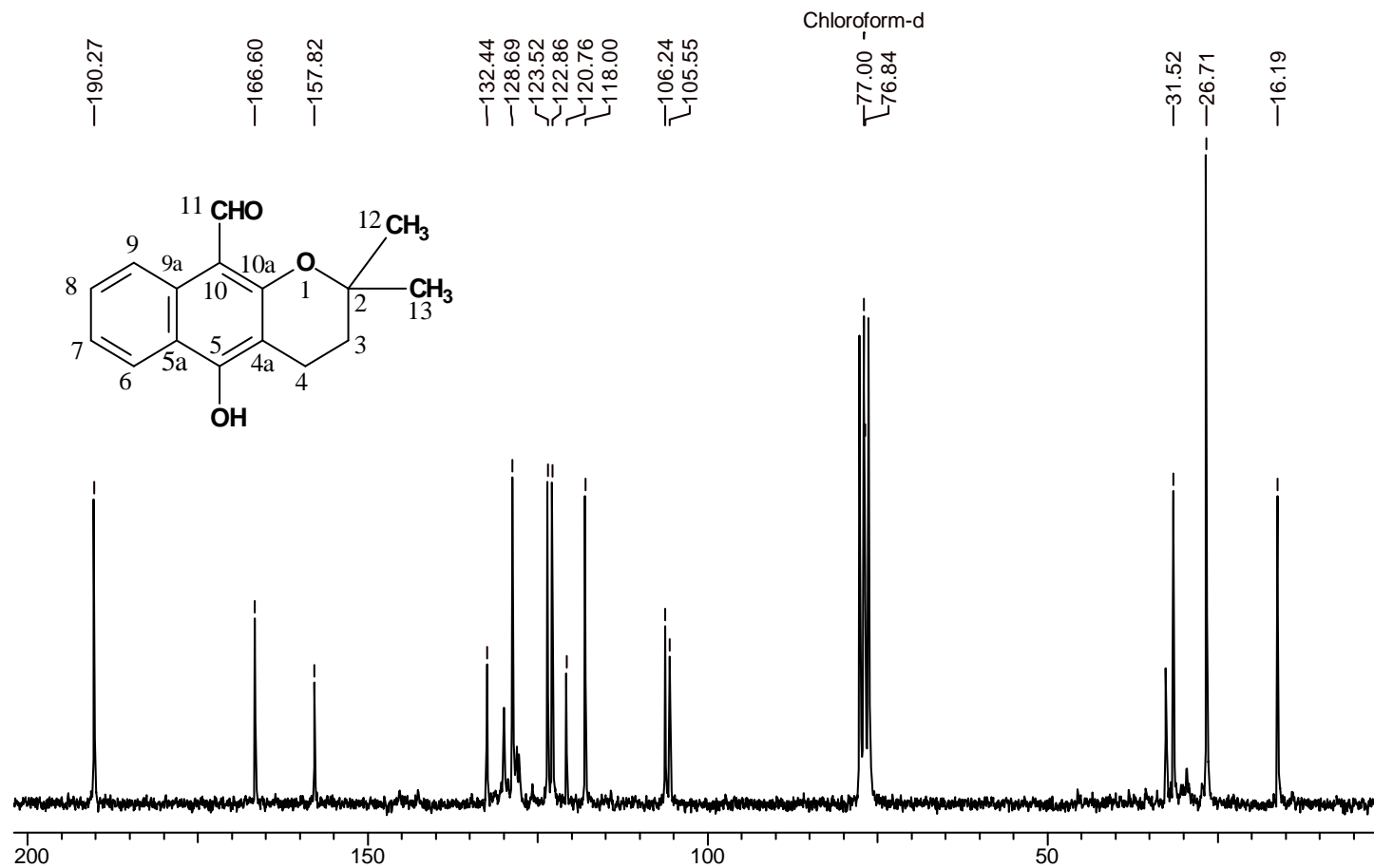
Espectro 29 – E.M. do 2DMBL.



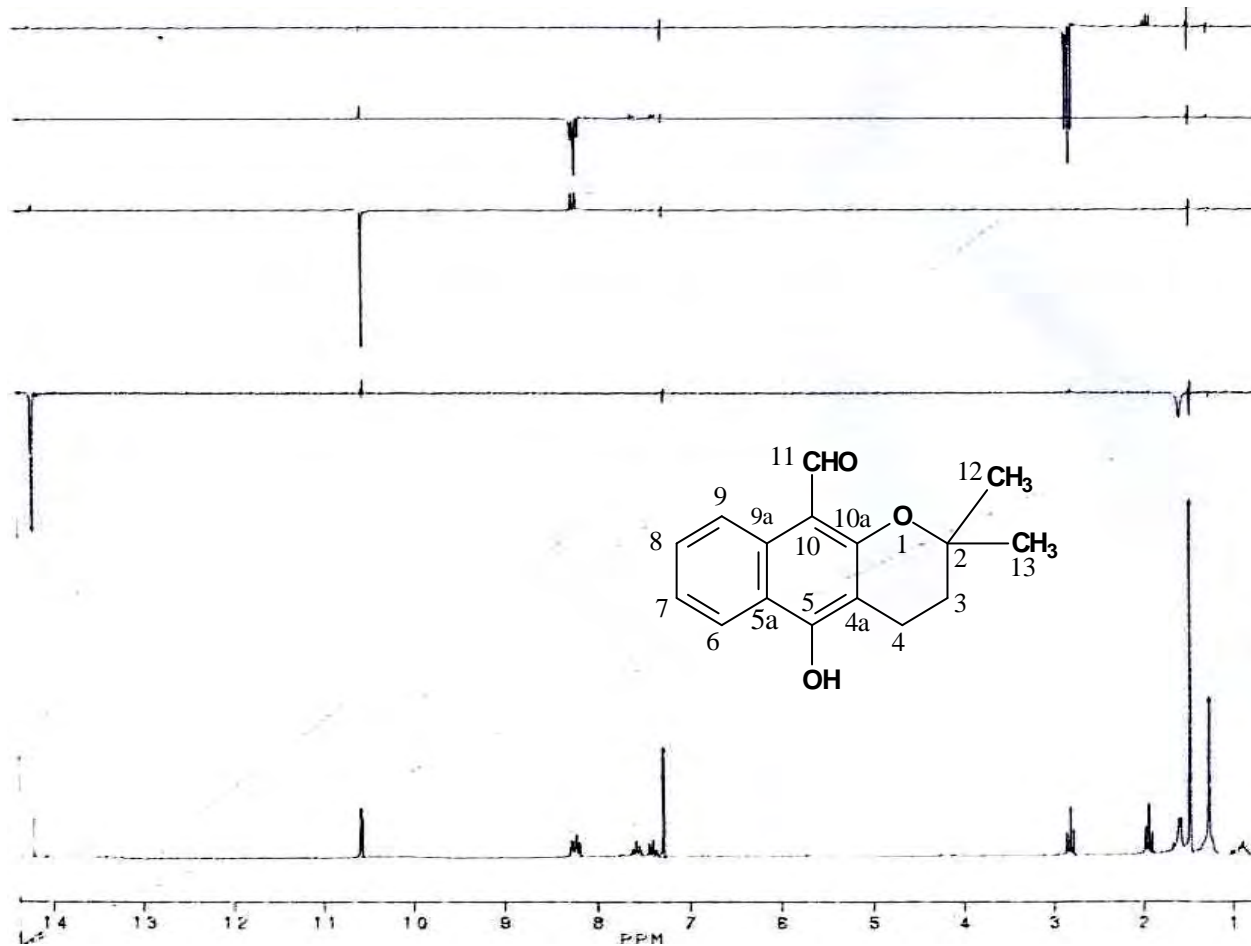
**Espectro 30** – E.M. do ALVI (5-hidróxi-2,2-dimetil-3,4-di-hidro-2*H*-benzo[*g*]cromeno-10-carbaldeído ).



**Espectro 31** – RMN <sup>1</sup>H (200 MHz) do ALVI (5-hidróxi-2,2-dimetil-3,4-di-hidro-2H-benzo[g]cromeno-10-carbaldeído).



**Espectro 32** - RMN  $^{13}\text{C}$  (50,3 MHz) do ALVI (5-hidróxi-2,2-dimetil-3,4-di-hidro-2H-benzo[g]cromeno-10-carbaldeído).

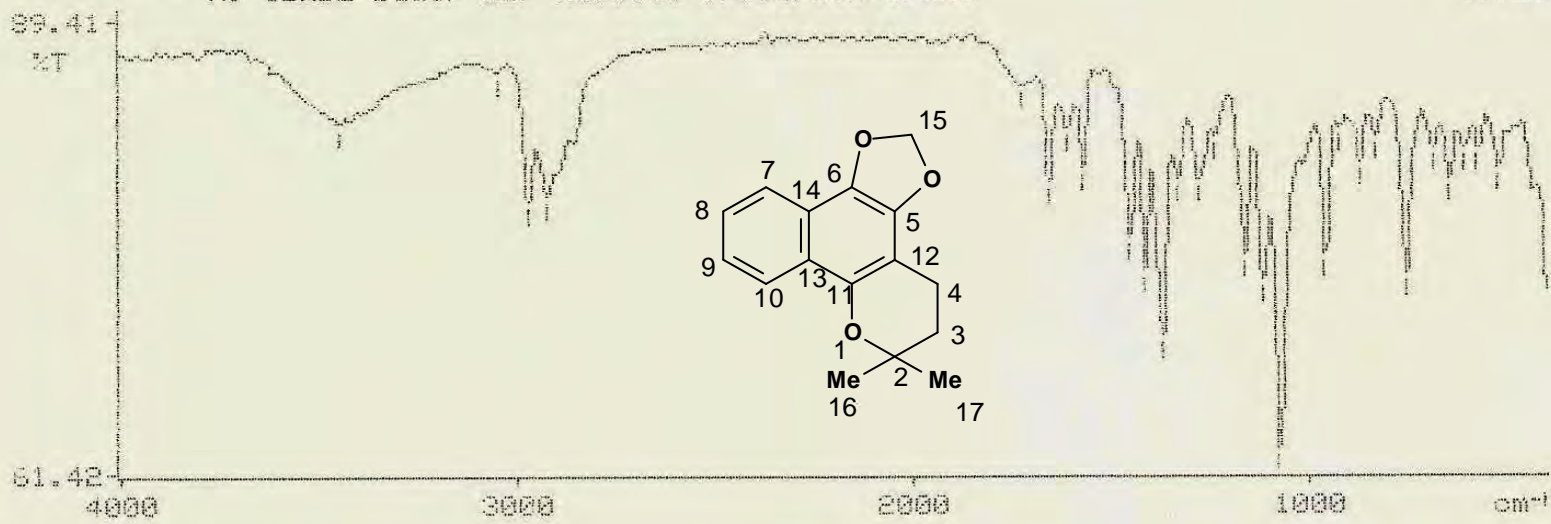


**Espectro 33** – NOE do ALVI (5-hidróxi-2,2-dimetil-3,4-di-hidro-2H-benzo[g]cromeno-10-carbaldeído).

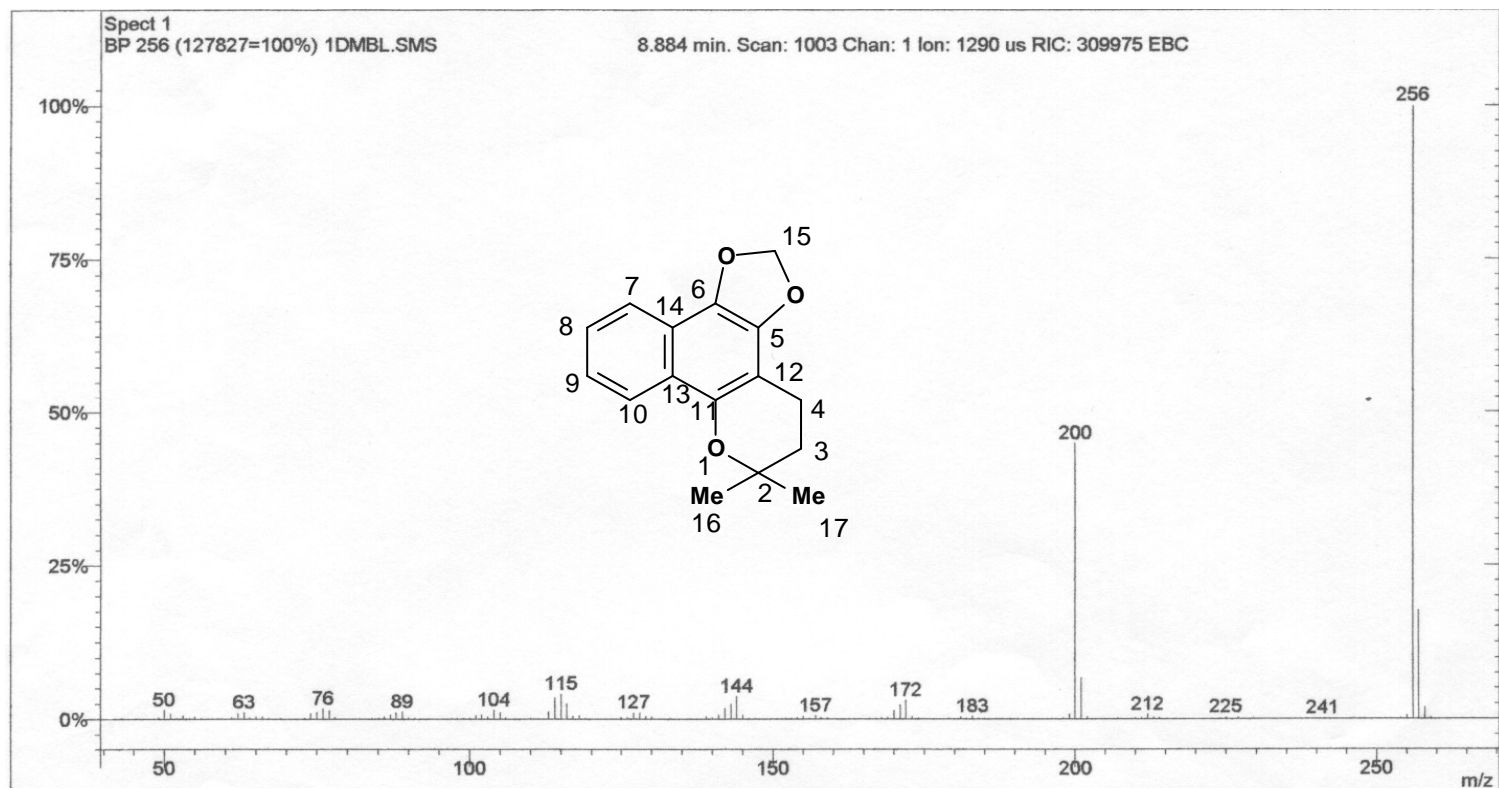
3446.1, 3048.8, 2972.8, 2924.8, 1724.8, 1657.3, 1611.5, 1570.2, 1452.2, 1415.6=  
1371.4, 1329.4, 1280.3, 1238.3, 1162.5, 1118.0, 1075.4, 958.2, 920.3, 872.4=  
832.4, 756.0, 687.1, 645.4, 609.7, 573.3, 520.2=

N: 1DMBL Bauer KBr NO: 9355 OP: Carlos UFRRJ

11:25

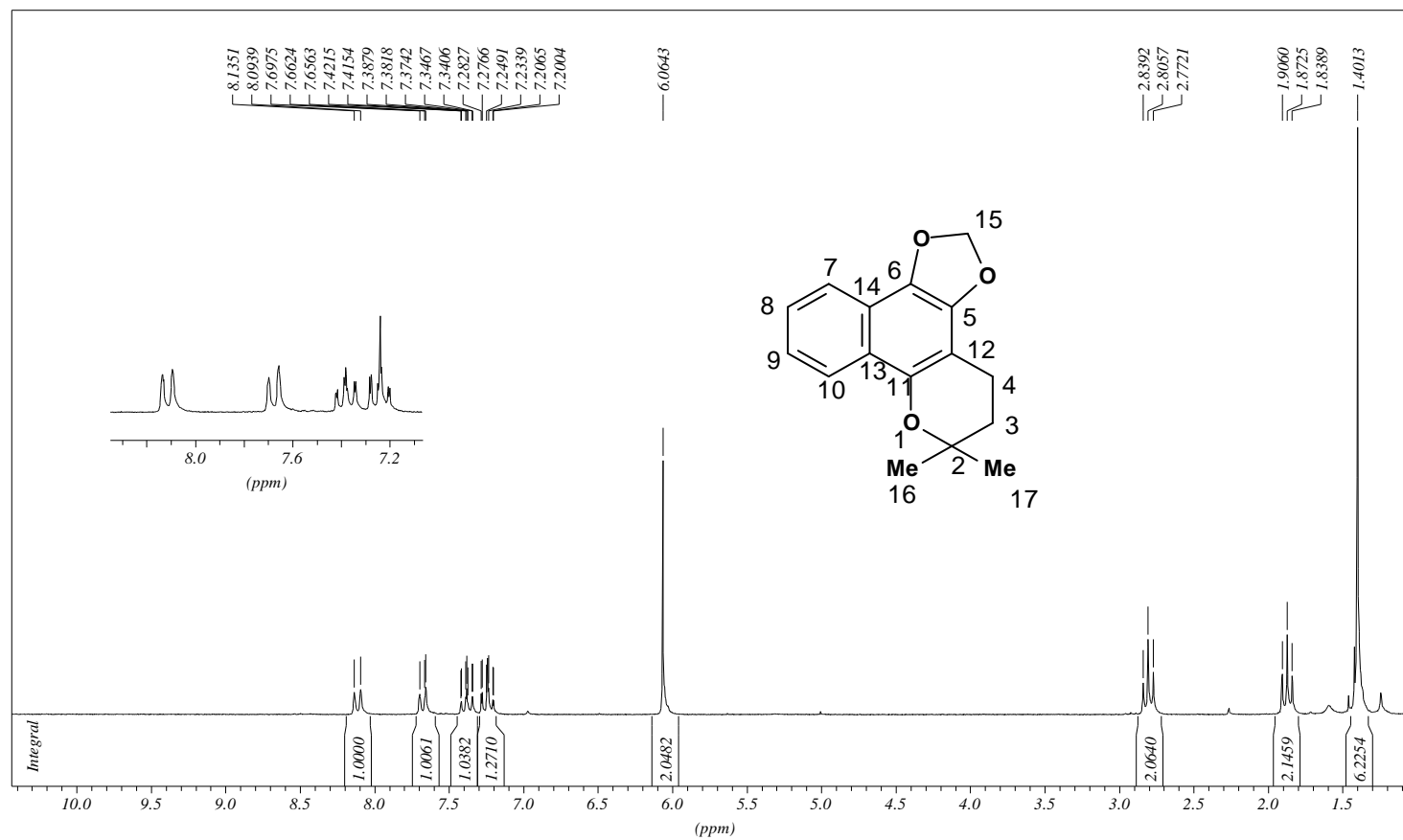


**Espectro 34** – IV do DBL (6,6-dimetil-4,5,6,11b-tetra-hidro-3aH-benzo[h][1,3]dioxolo[4,5-f]cromeno).



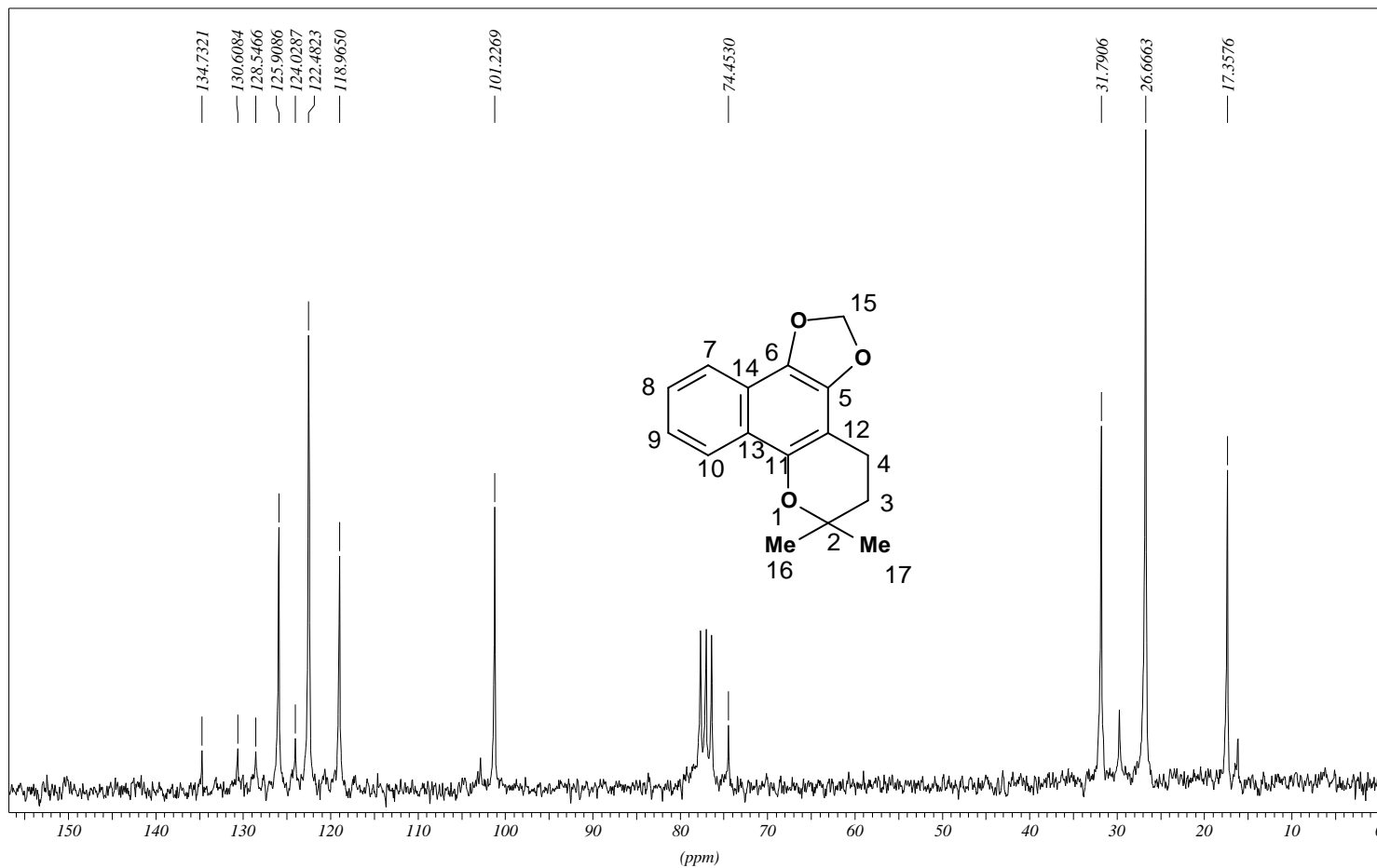
**Espectro 35** – E.M. do DBL (6,6-dimetil-4,5,6,11b-tetra-hidro-3aH-benzo[h][1,3]dioxolo[4,5-f]cromeno).

1DMBL OUT 03



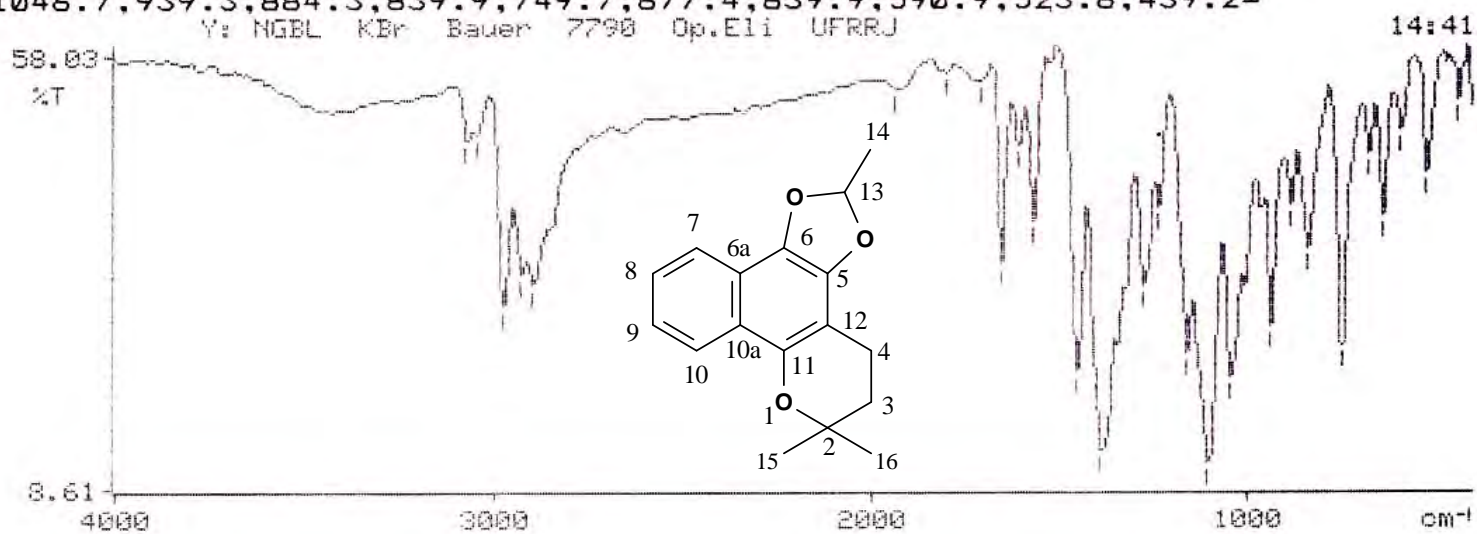
**Espectro 36** – RMN <sup>1</sup>H (200 MHz) do DBL(6,6-dimetil-4,5,6,11b-tetra-hidro-3aH-benzo[h][1,3]dioxolo[4,5-f]cromeno).



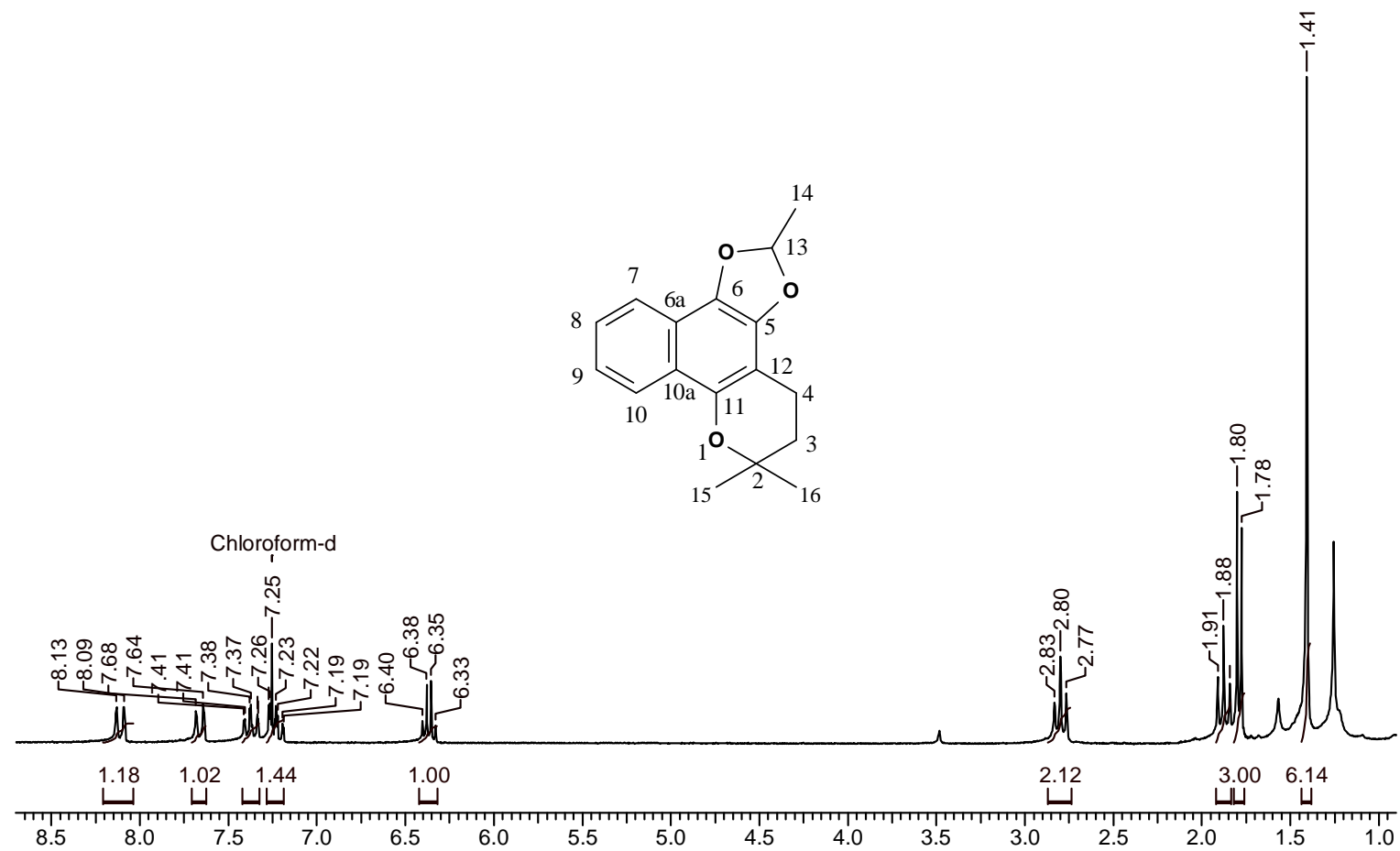


**Espectro 37** – RMN  $^{13}\text{C}$  (50,3 MHz) do DBL (6,6-dimetil-4,5,6,11b-tetra-hidro-3aH-benzo[h][1,3]dioxolo[4,5-f]cromeno).

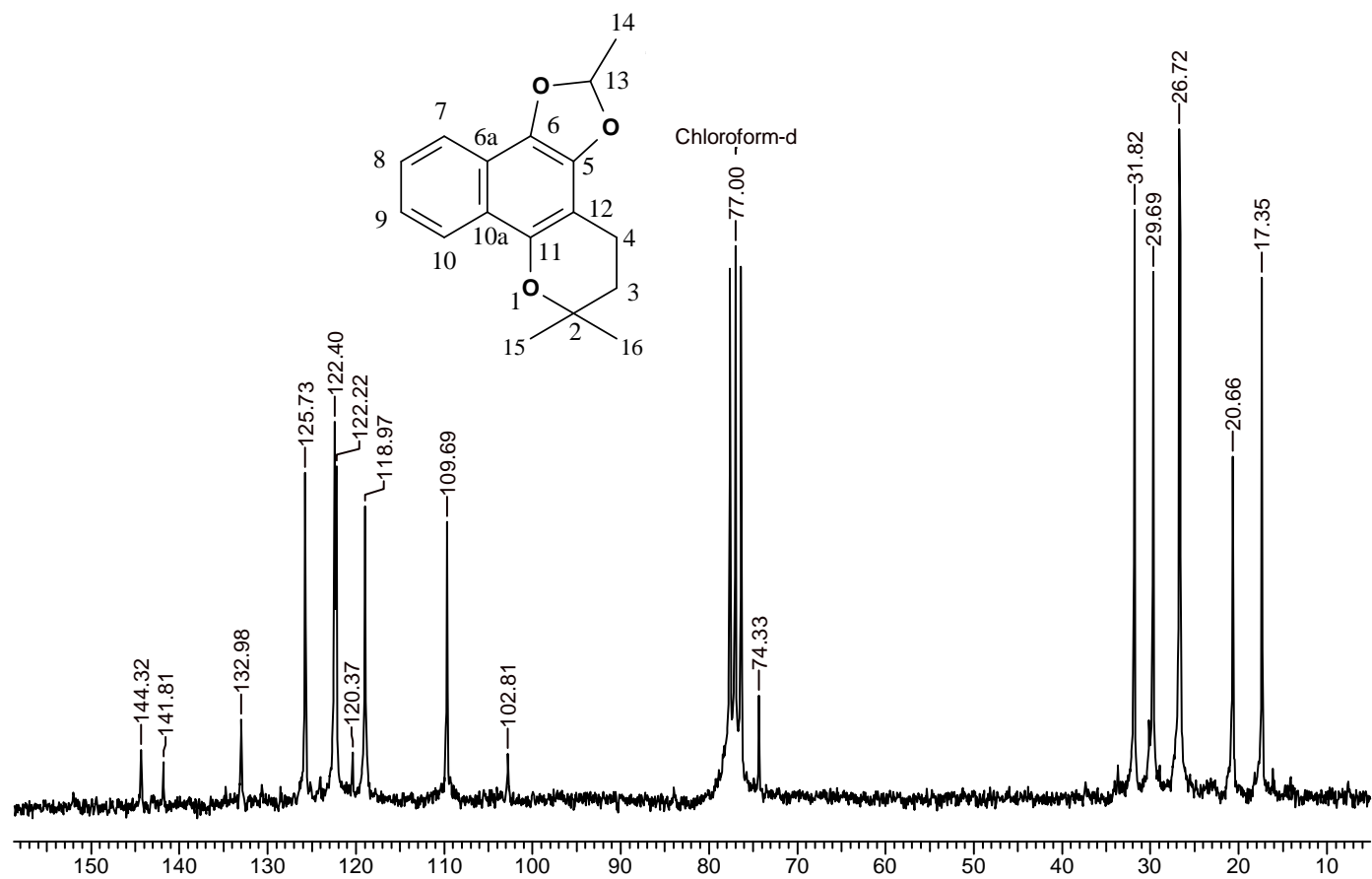
3073.4, 3048.1, 2978.1, 2929.6, 2898.3, 1936.6, 1798.7, 1705.7, 1655.6=  
 1610.8, 1569.8, 1453.9, 1389.2, 1277.9, 1237.4, 1161.4, 1104.2=  
 1046.7, 939.3, 884.3, 839.9, 749.7, 677.4, 639.9, 590.9, 523.6, 439.2=  
 Y: NGBL KBr Bauer 7798 Op.Eli UFRRJ



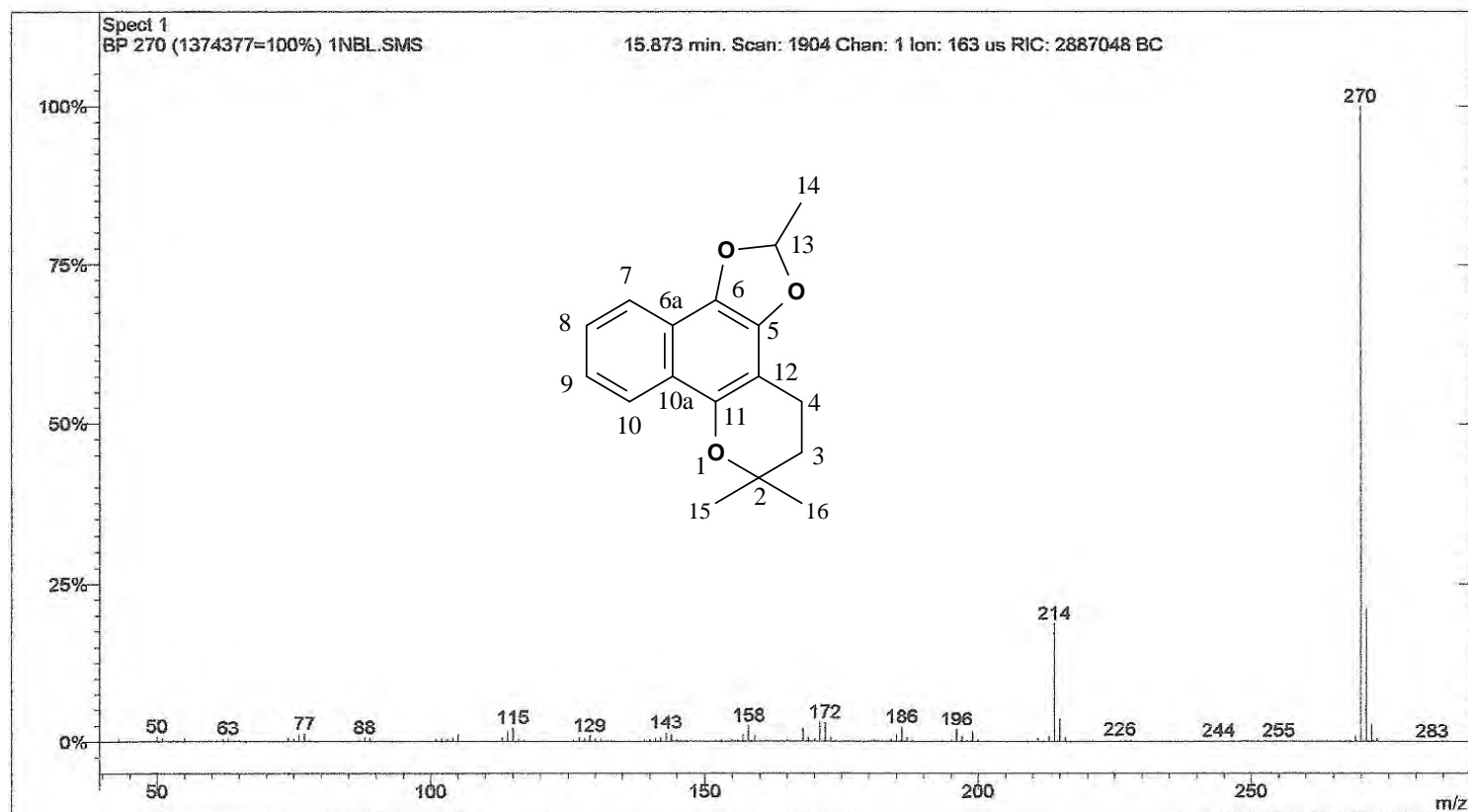
**Espectro 38** – IV do MDBL (2,6,6-trimetil-5,6-di-hidro-4H-benzo[h][1,3]dioxolo[4,5-f]cromeno).



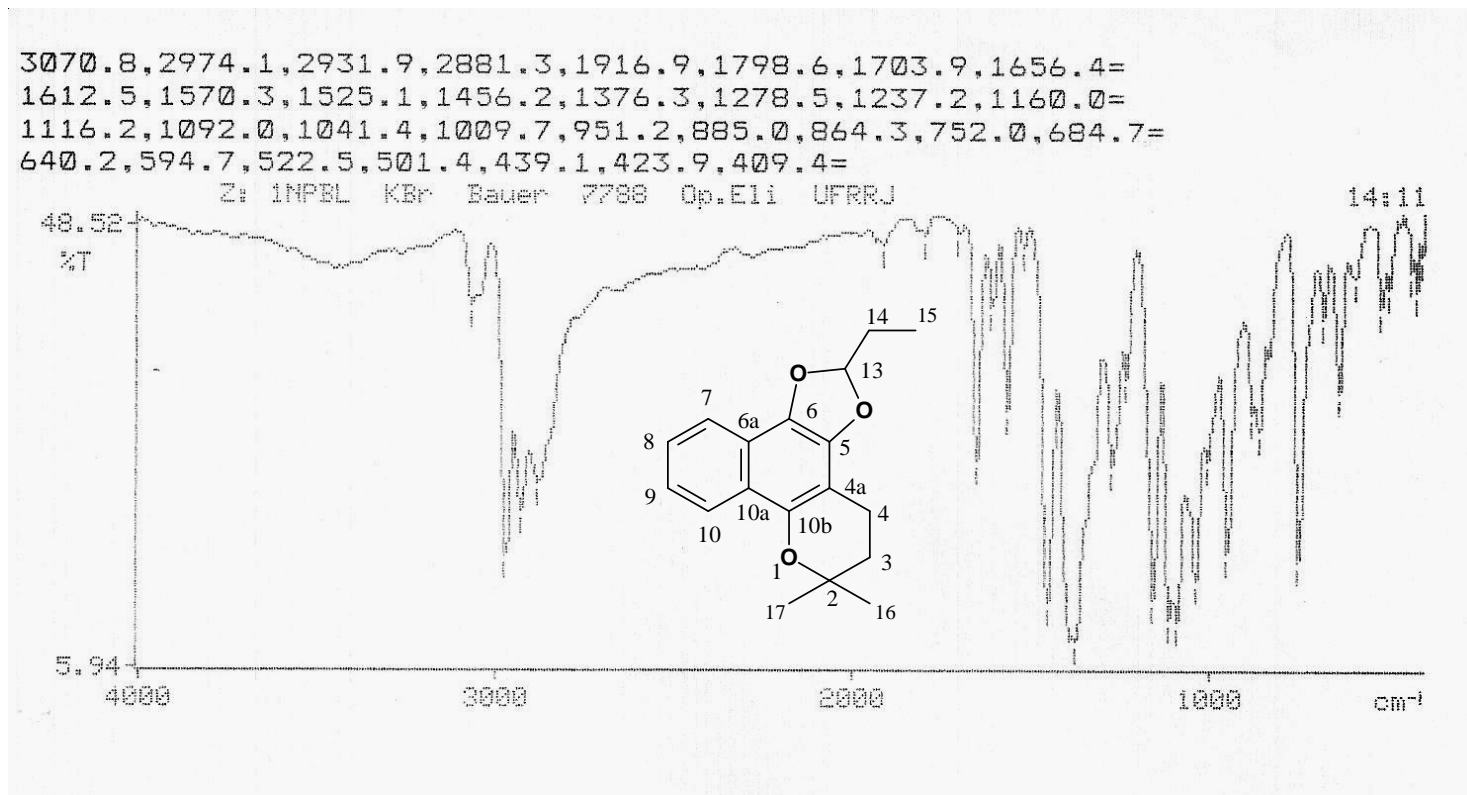
**Espetro 39** – RMN  $^1\text{H}$  (200 MHz) do MDBL(2,6,6-trimetil-5,6-di-hidro-4H-benzo[h][1,3]dioxolo[4,5-f]cromeno).



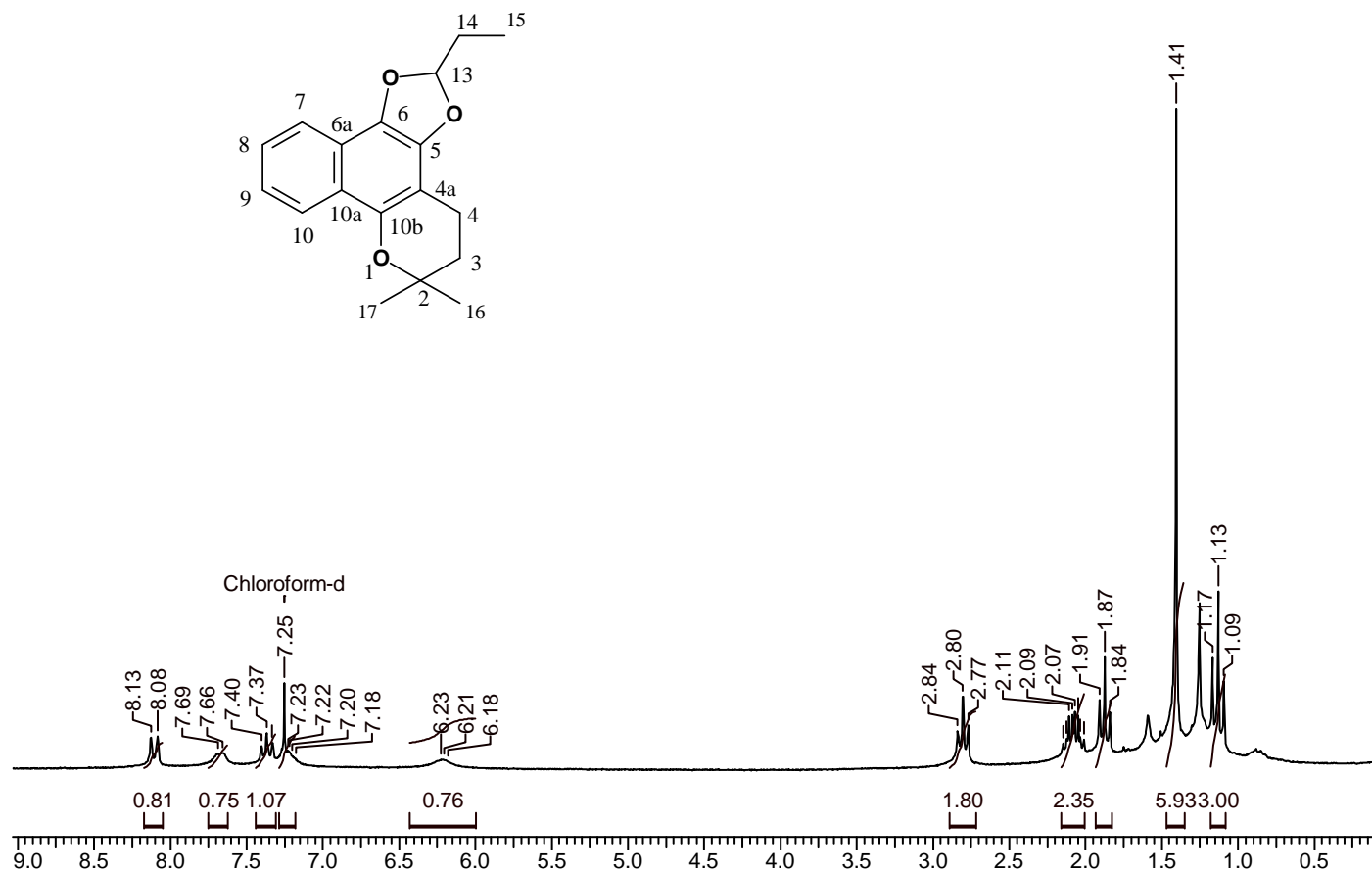
**Espectro 40** – RMN <sup>13</sup>C (50,3 MHz)do MDBL(2,6,6-trimetil-5,6-di-hidro-4H-benzo[h][1,3]dioxolo[4,5-f]cromeno).



**Espectro 41** – E.M. do MDL (2,6,6-trimetil-5,6-di-hidro-4H-benzo[h][1,3]dioxolo[4,5-f]cromeno).

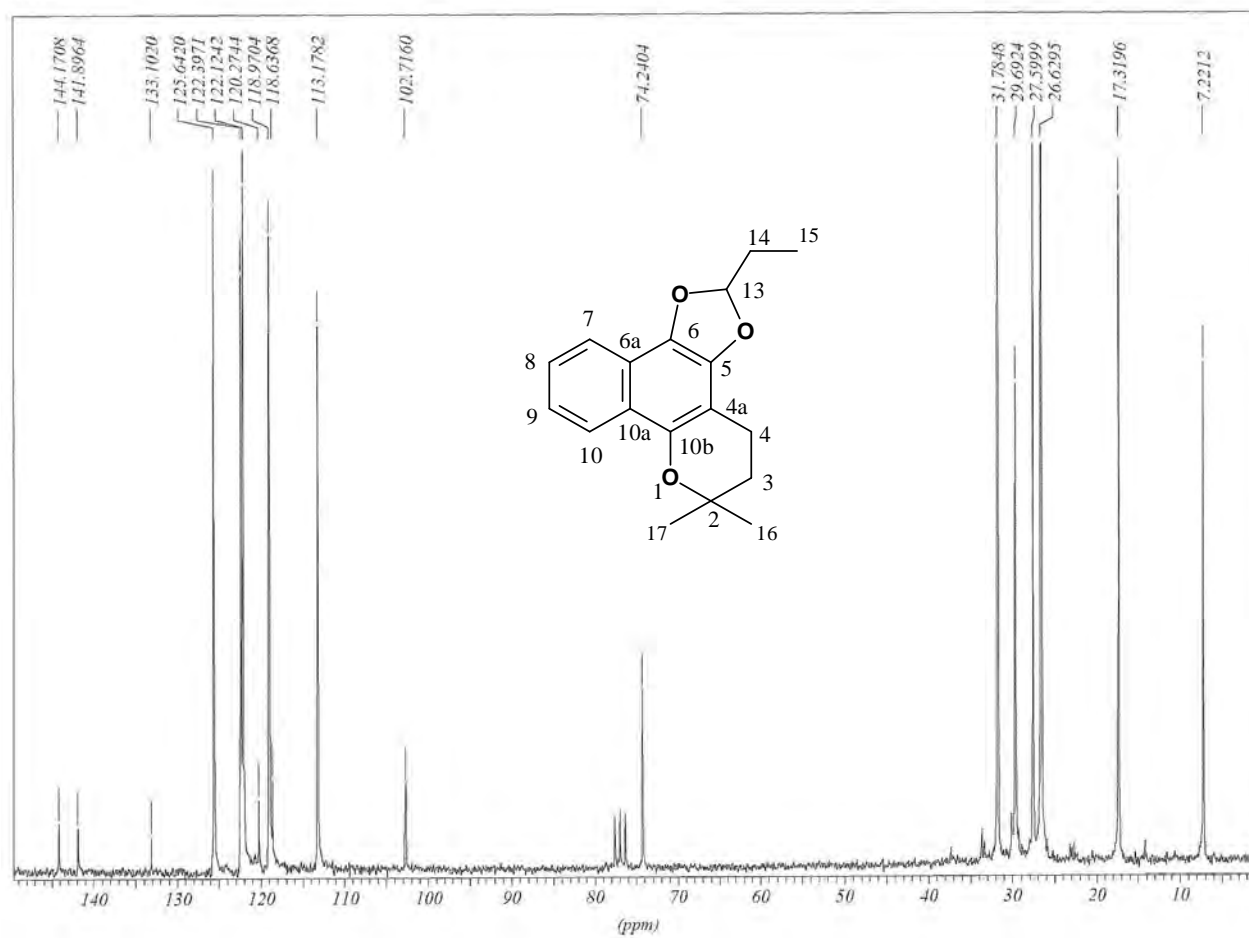


**Espectro 42 – IV** do EDBL (6,6-trimetil-2-etil-5,6-di-hidro-4H-benzo[h][1,3]dioxolo[4,5-f]cromeno).



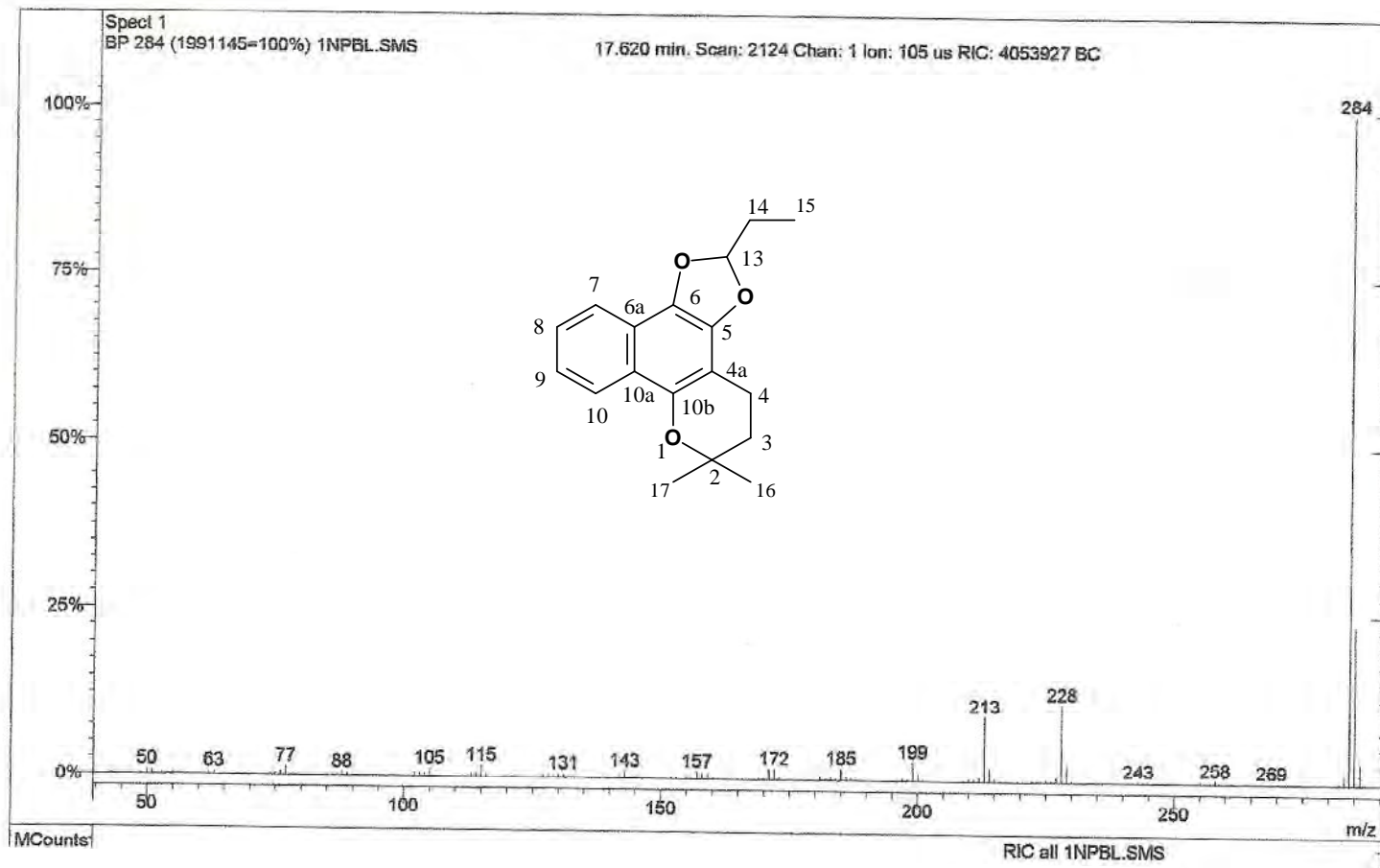
**Espectro 43** – RMN <sup>1</sup>H (200 MHz) do EDBL (6,6-trimetil-2-etil-5,6-di-hidro-4H-benzo[h][1,3]dioxolo[4,5-f]cromeno).

/NPBL2

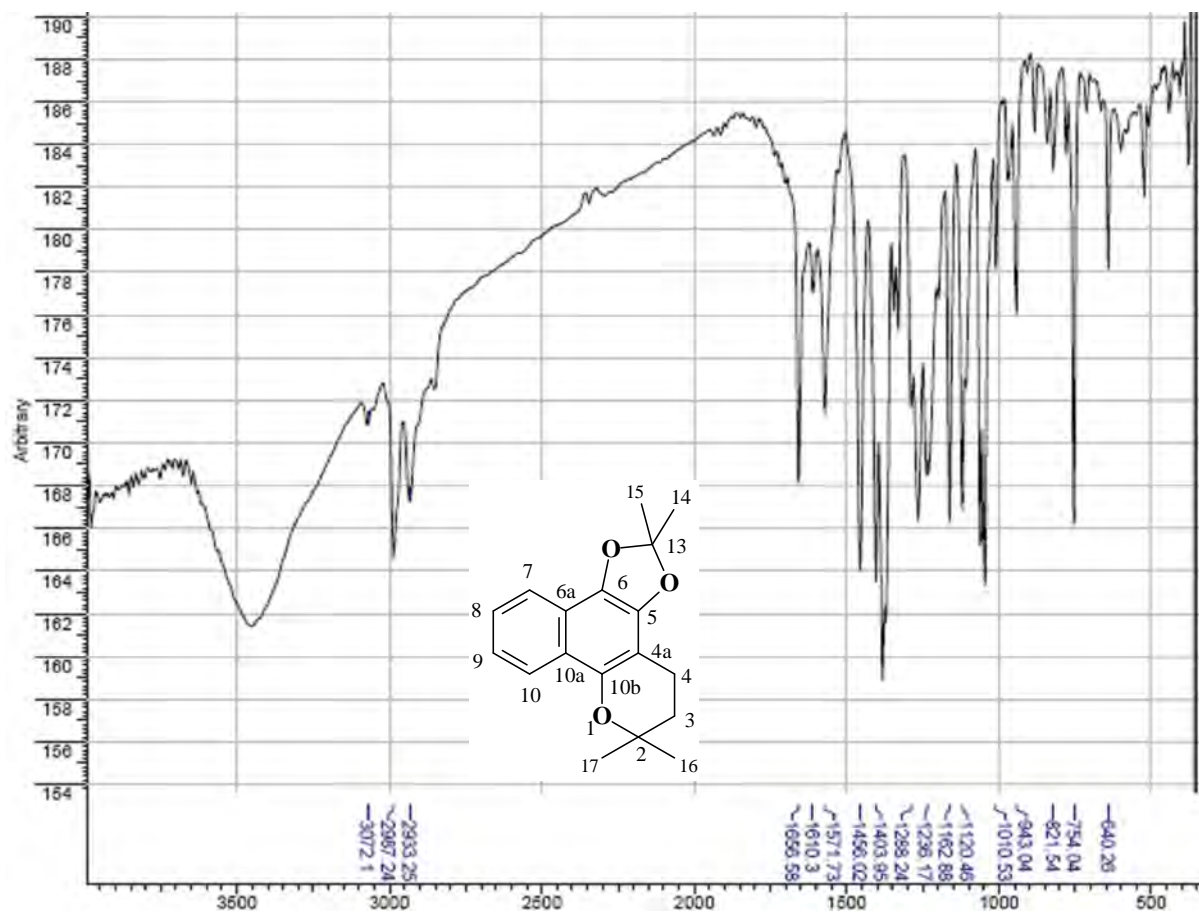


**Espectro 44** – RMN <sup>13</sup>C (50,3 MHz) do EDBL (6,6-trimetil-2-etil-5,6-di-hidro-4H-benzo[h][1,3]dioxolo[4,5-f]cromeno).

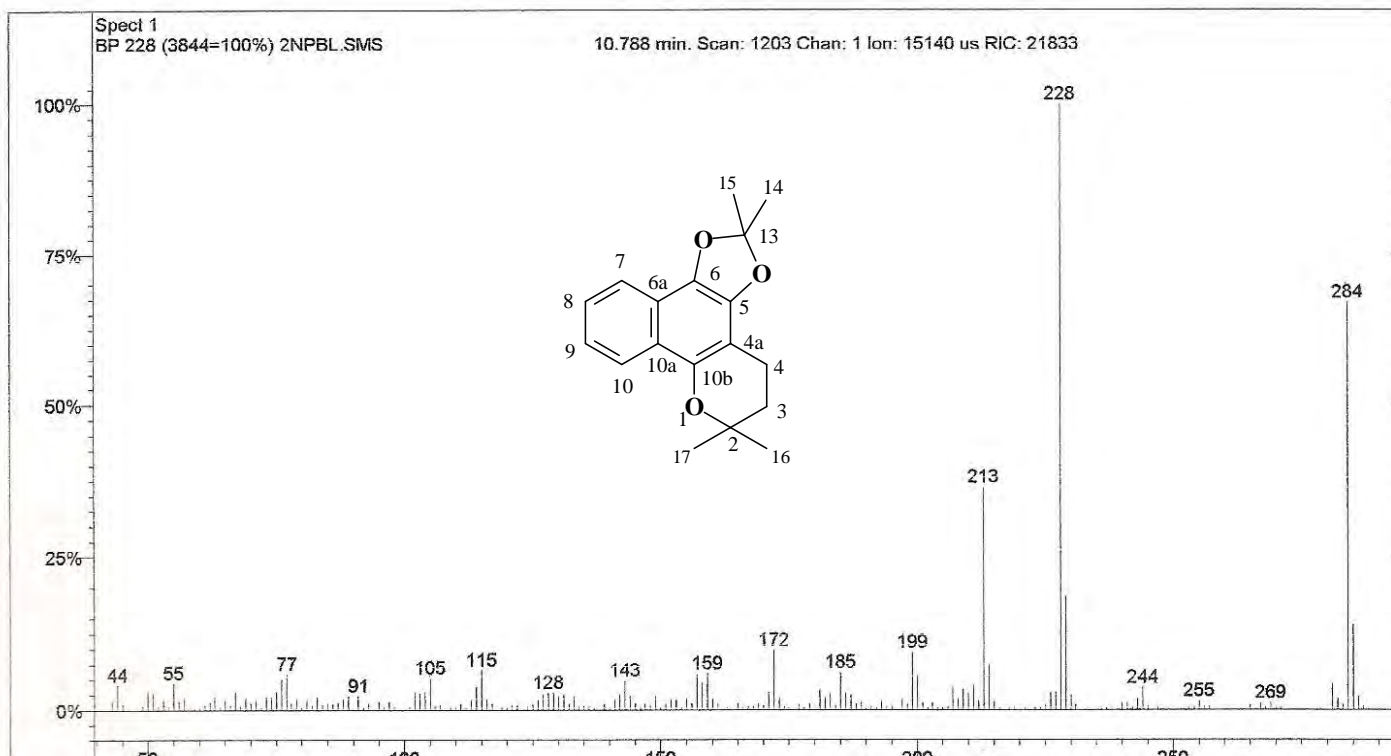




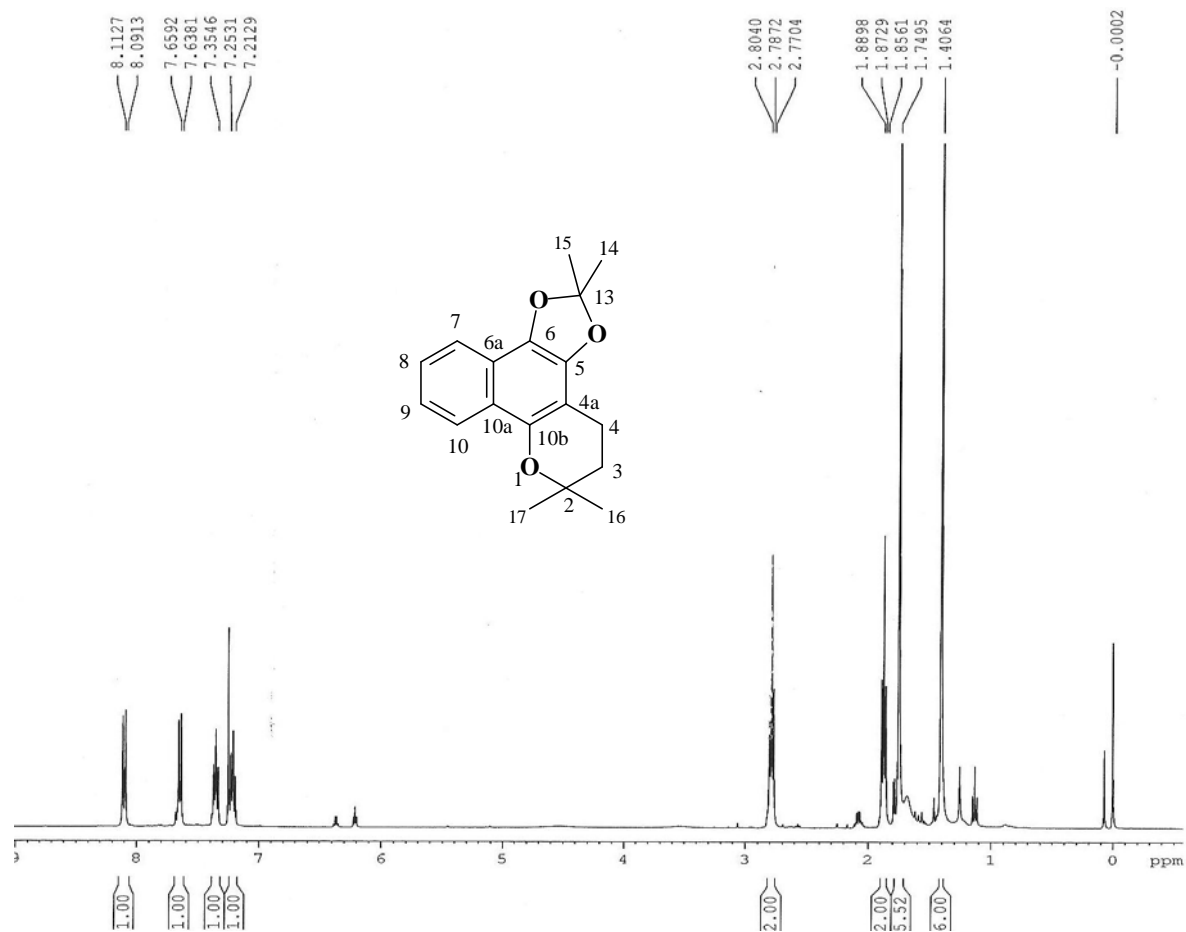
**Espectro 45** – E.M. do EDBL (6,6-trimetil-2-etil-5,6-di-hidro-4H-benzo[h][1,3]dioxolo[4,5-f]cromeno).



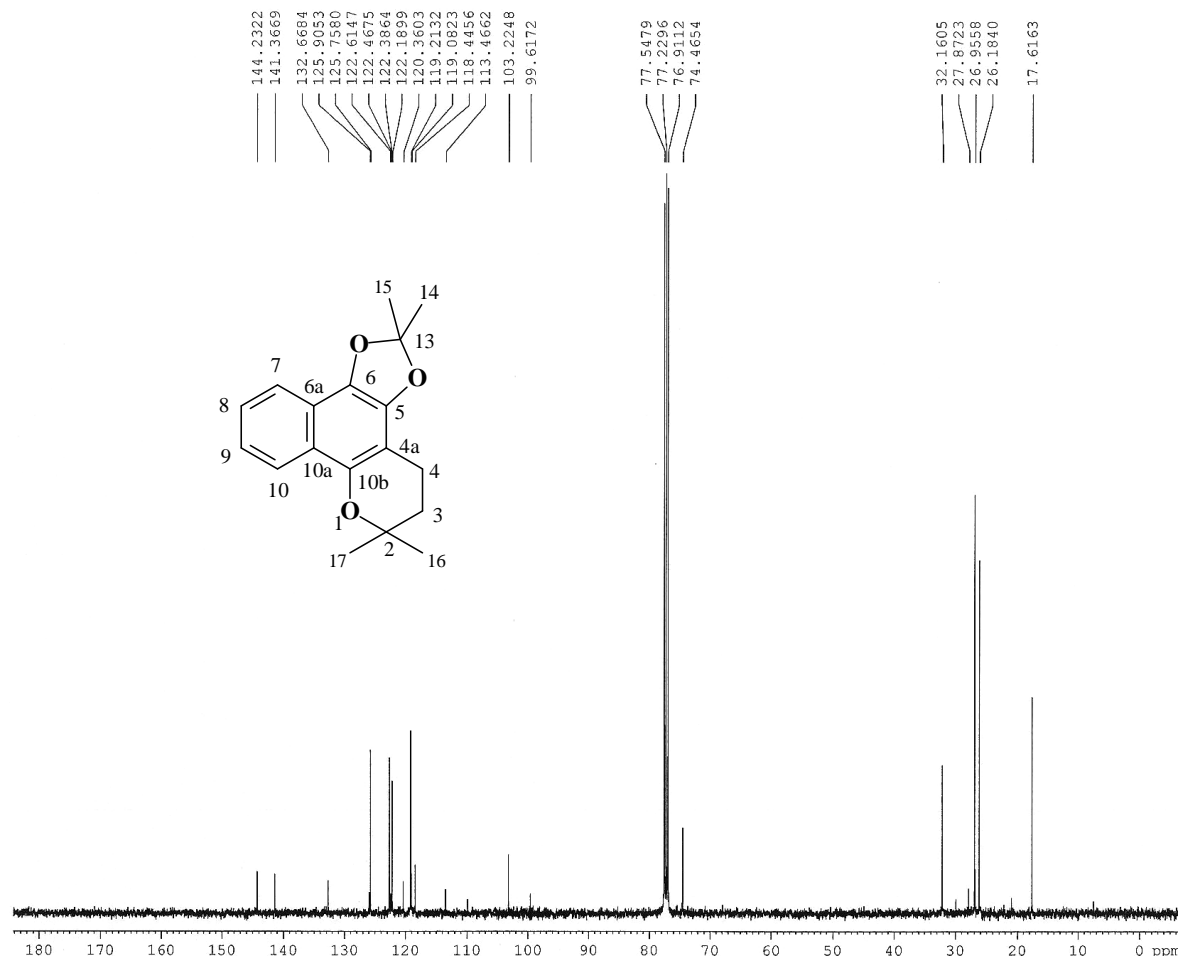
**Espectro 46** – IV do DMDBL (2,2,6,6-tetrametil-5,6-di-hidro-4H-benzo[h][1,3]dioxolo[4,5-f]cromeno), comprimento de onda em cm<sup>-1</sup>.



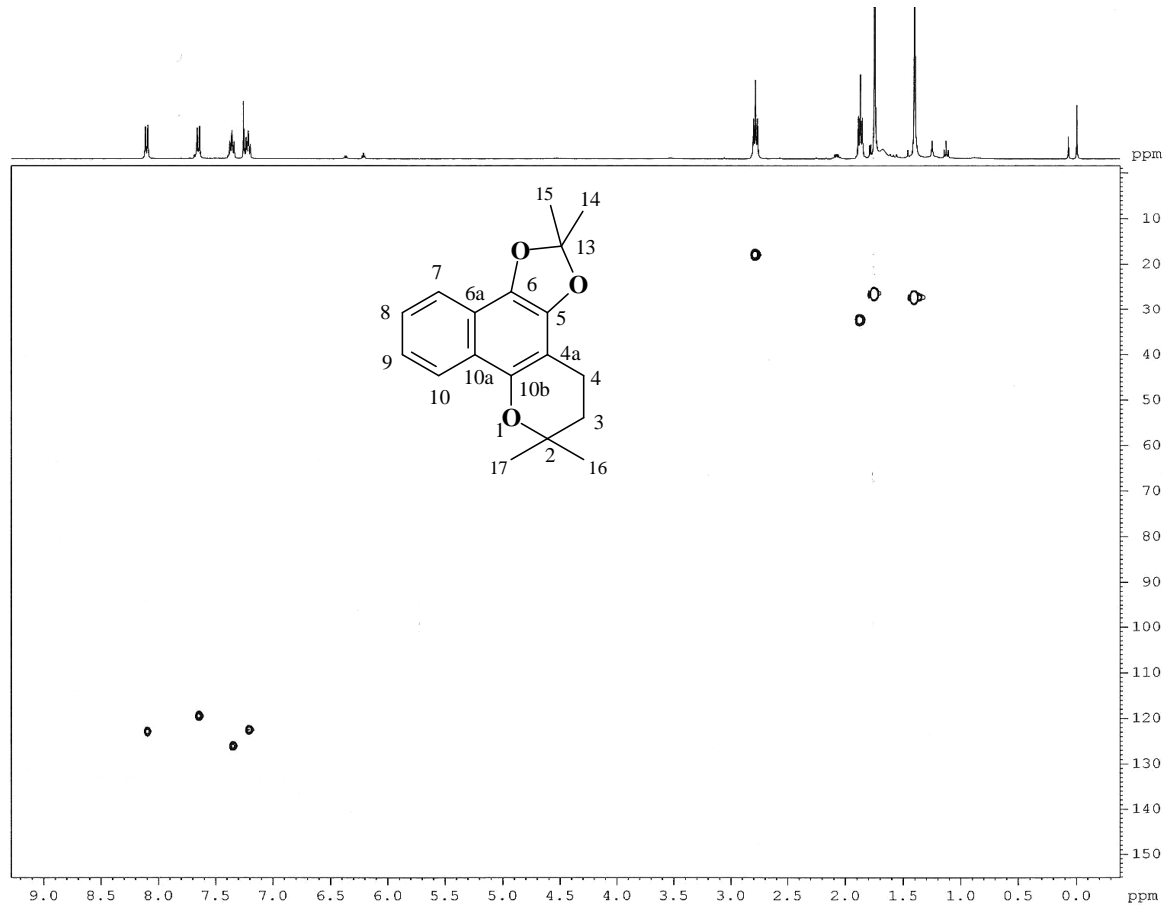
**Espetro 47** – EM do DMDBL (2,2,6,6-tetrametil-5,6-di-hidro-4H-benzo[h][1,3]dioxolo[4,5-f]cromeno).



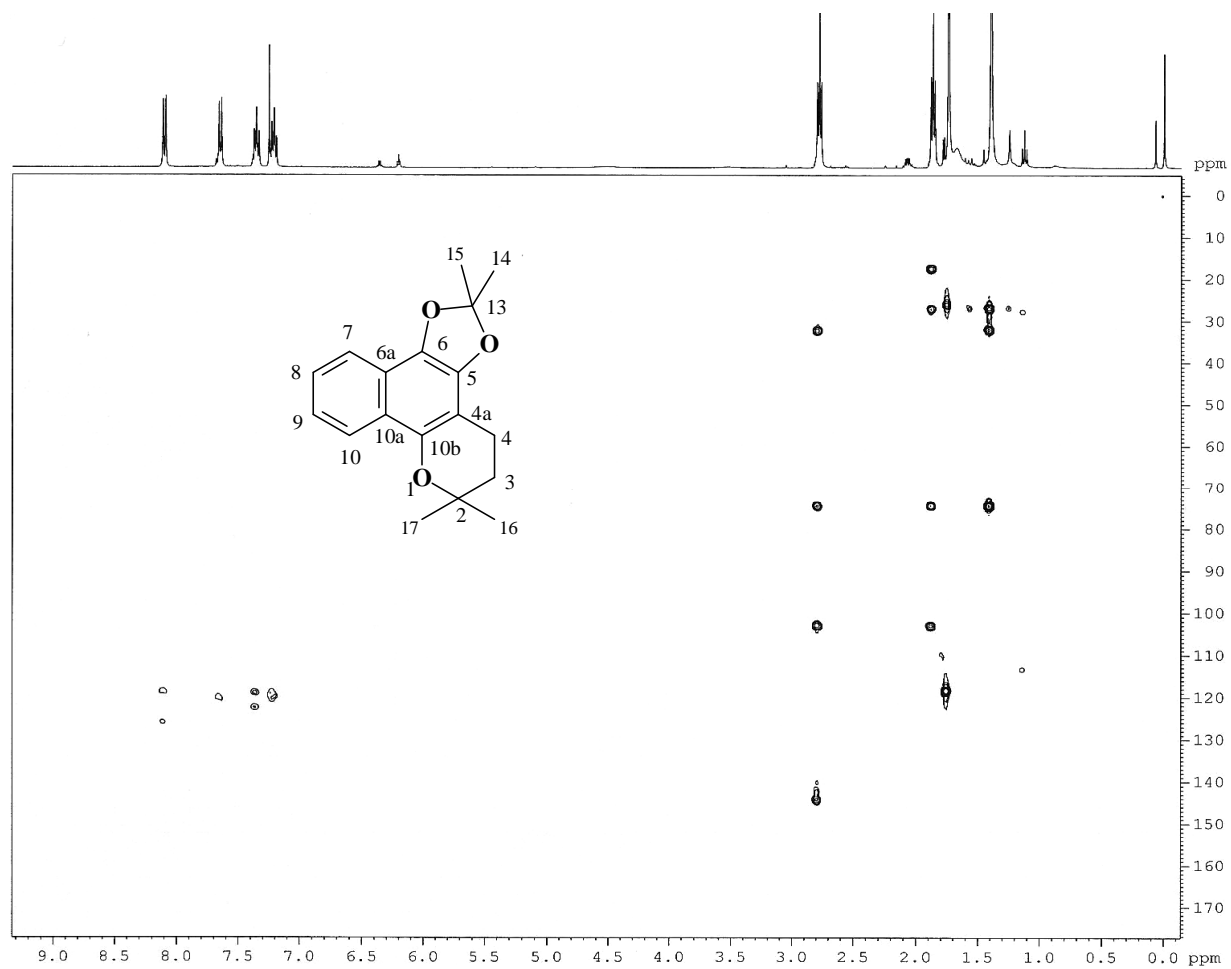
**Espectro 48** – RMN <sup>1</sup>H (200 MHz) do DMDBL (2,2,6,6-tetrametil-5,6-di-hidro-4H-benzo[h][1,3]dioxolo[4,5-f]cromeno).



**Espectro 49** – RMN <sup>13</sup>C (50,3 MHz) do DMDBL (2,2,6,6-tetrametil-5,6-di-hidro-4H-benzo[h][1,3]dioxolo[4,5-f]cromeno).



**Espectro 50** – Correlação heteronuclear Cosy  $^1\text{H} \times ^{13}\text{C}$ , J1 do DMDBL.

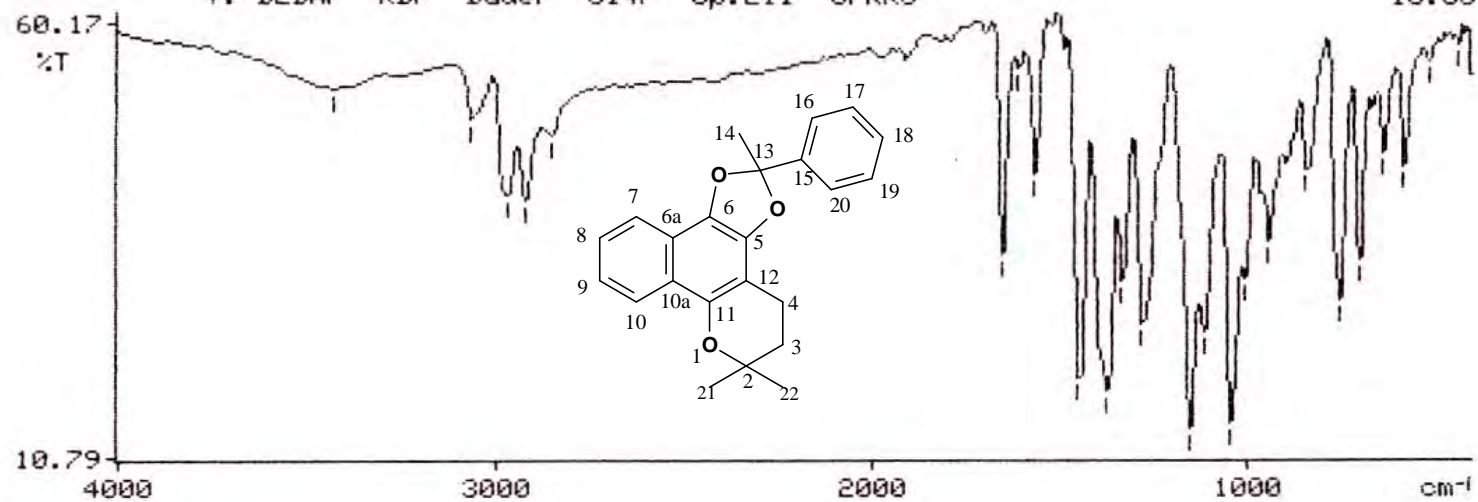


**Espectro 51** – Correlação heteronuclear,  $^1\text{H} \times ^{13}\text{C}$ , J2 e J3 de DMDBL.

3430.1, 3067.0, 2972.4, 2925.3, 2854.0, 1655.6, 1612.4, 1568.0=  
1450.1, 1376.0, 1335.8, 1281.5, 1155.8, 1118.1, 1047.2, 1009.4, 945.4=  
843.4, 755.2, 703.0, 639.0, 583.4, 518.1, 440.1=

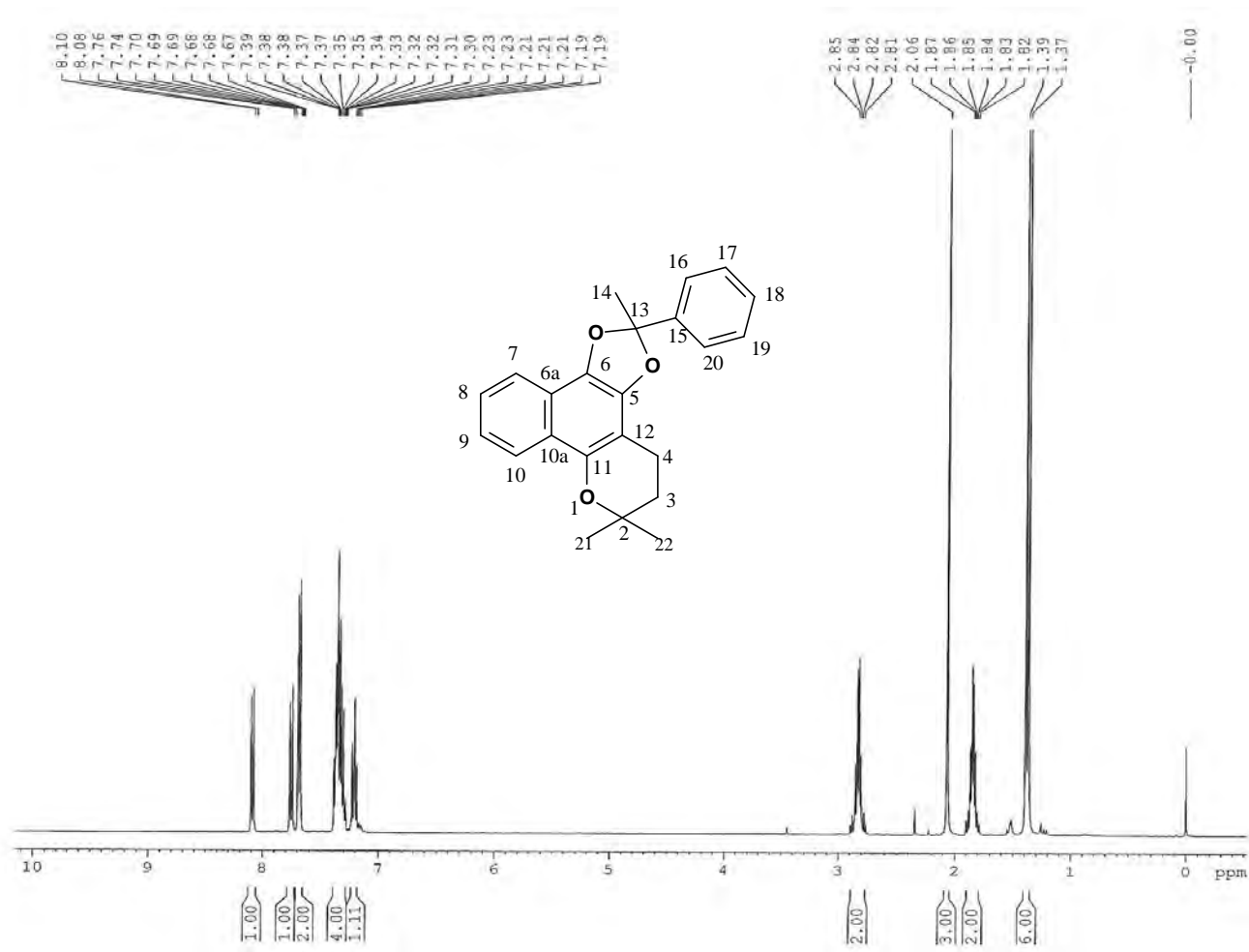
Y: BLDAF KBr Bauer 8147 Op.Eli UFRRJ

16:35

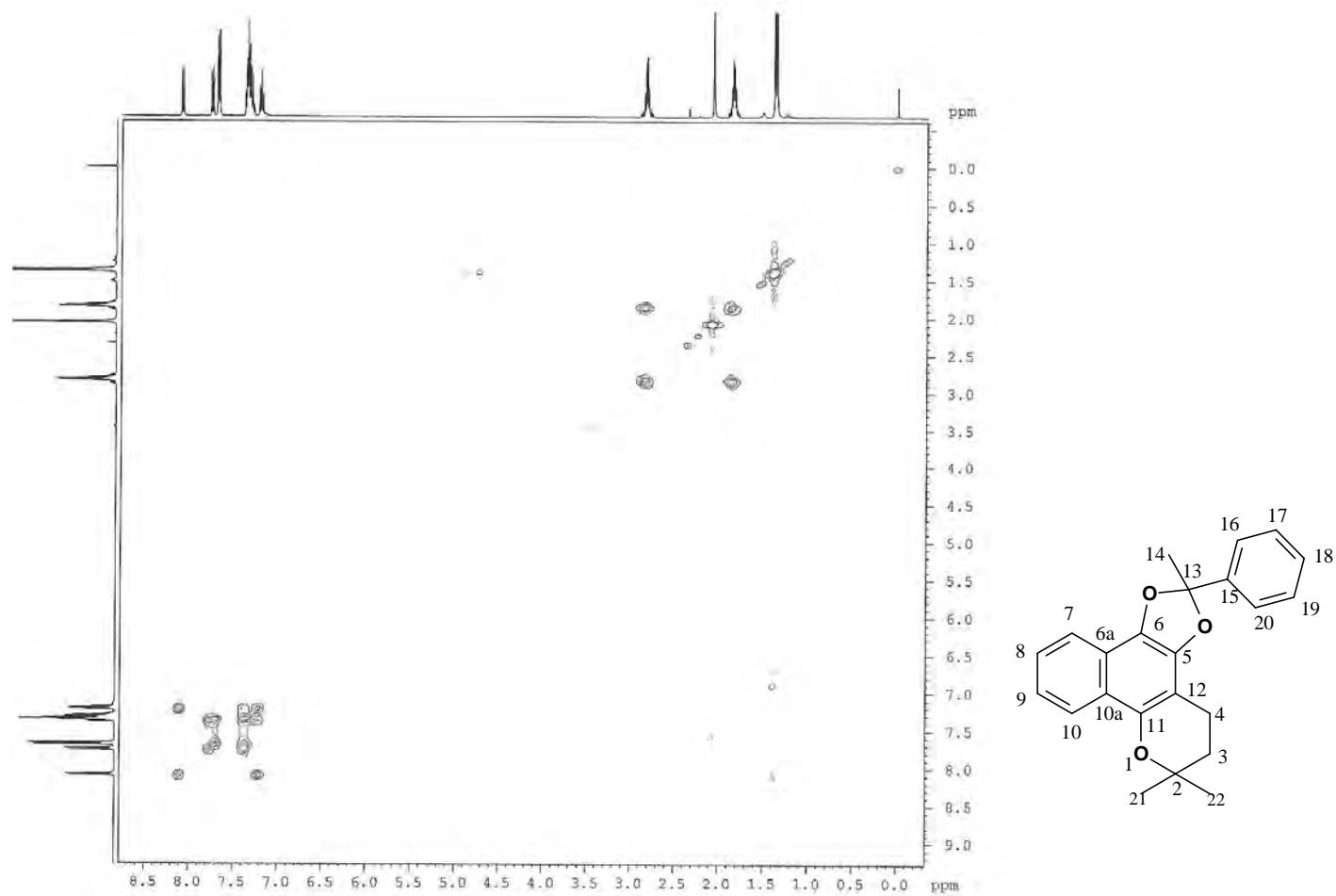


**Espectro 52 – IV** do FMDBL (2,6,6-trimetil-2-fenil-5,6-di-hidro-4H-benzo[h][1,3]dioxolo[4,5-f]cromeno).

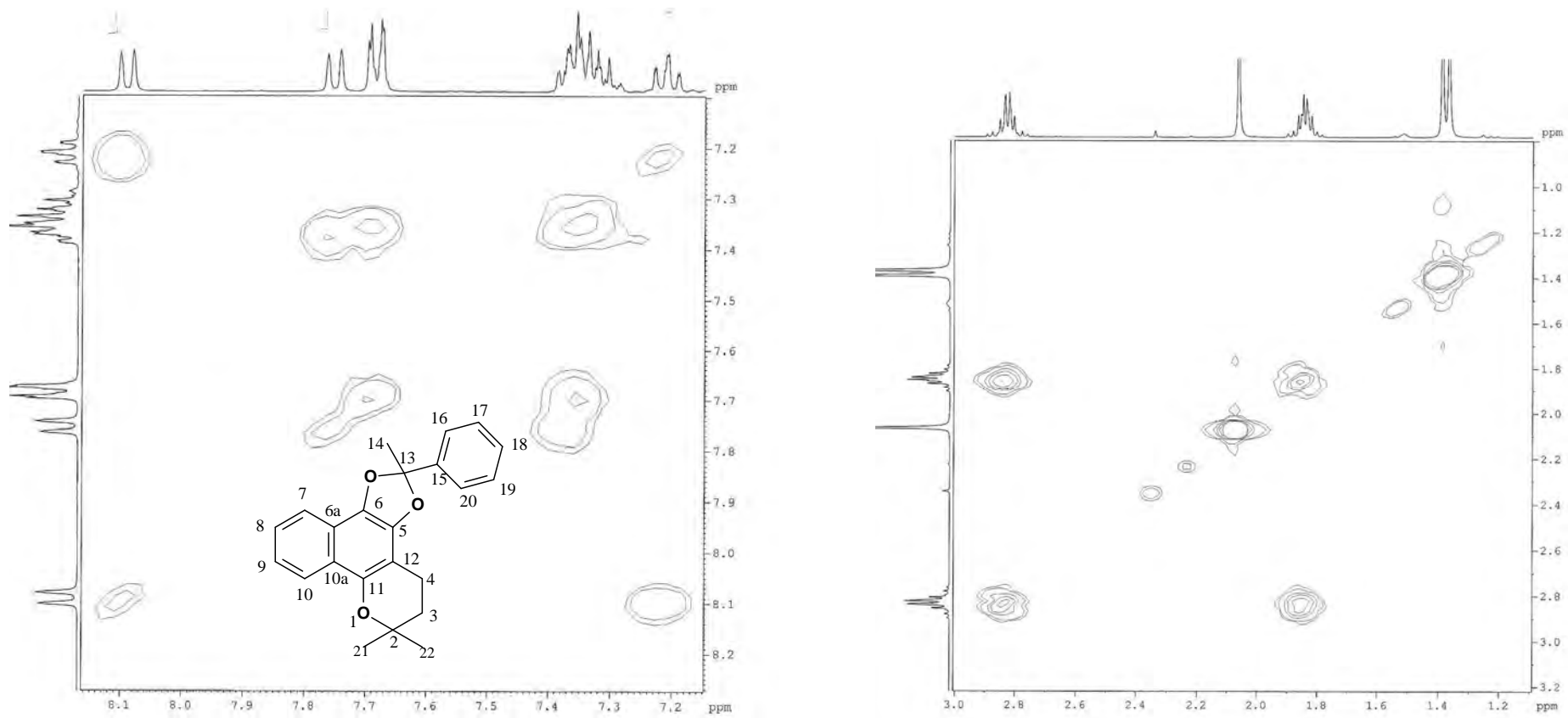




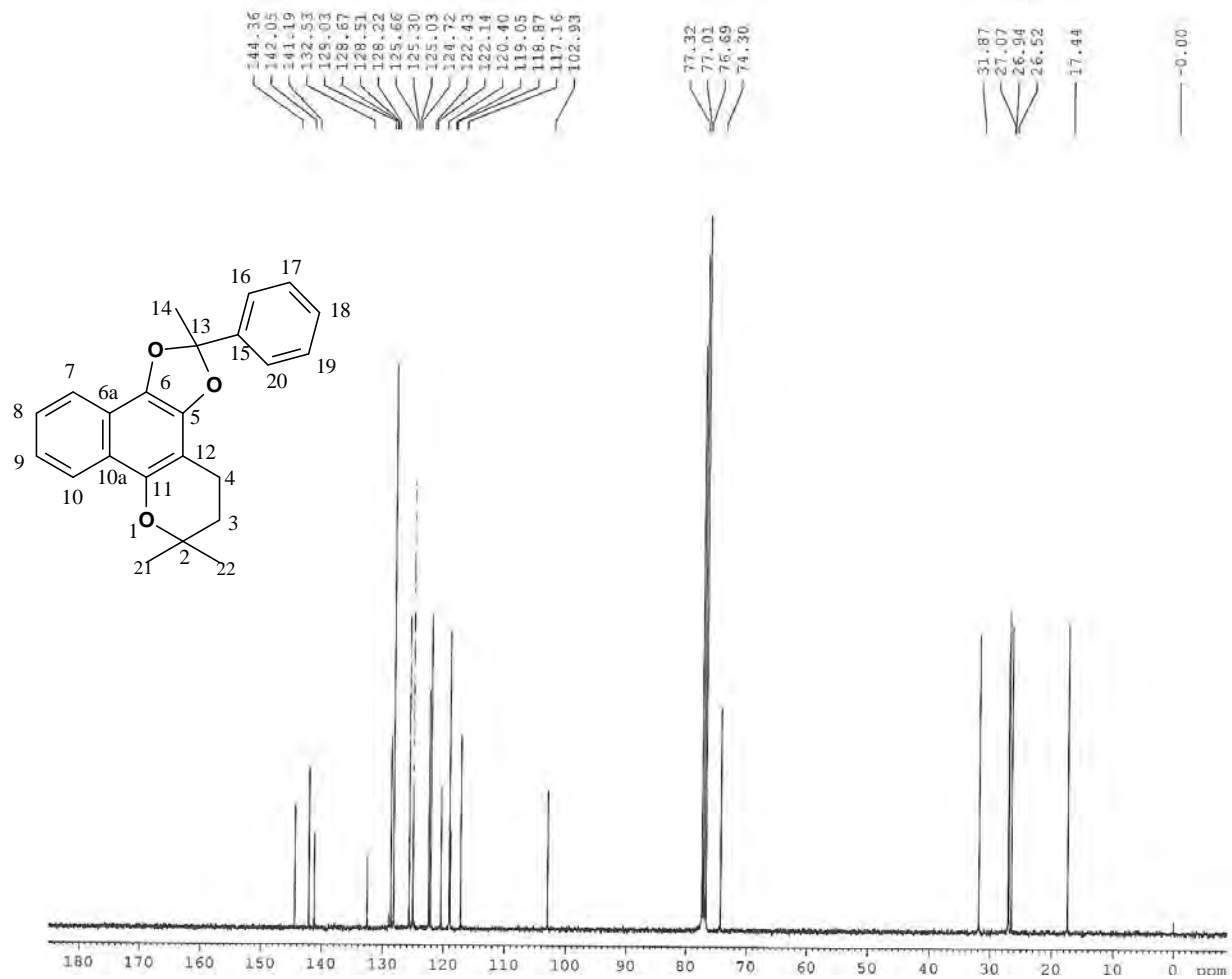
**Espectro 53** – RMN  $^1\text{H}$  (200 MHz) do FMDBL (2,6,6-trimetil-2-fenil-5,6-di-hidro-4H-benzo[h][1,3]dioxolo[4,5-f]cromeno).



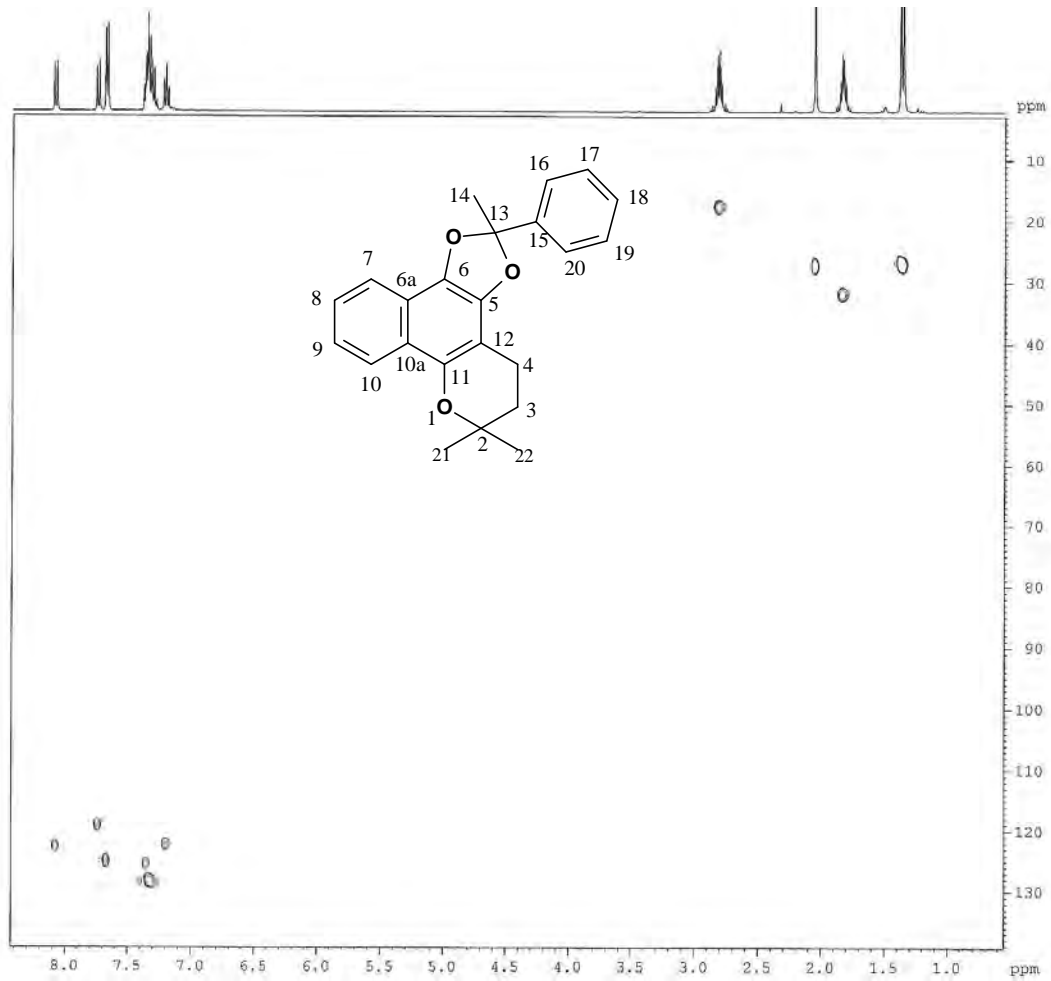
**Espectro 54** – HOMO-COSY  $^1\text{H} \times ^1\text{H}$  de FMDBL (2,6,6-trimetil-2-fenil-5,6-di-hidro-4H-benzo[h][1,3]dioxolo[4,5-f]cromeno).



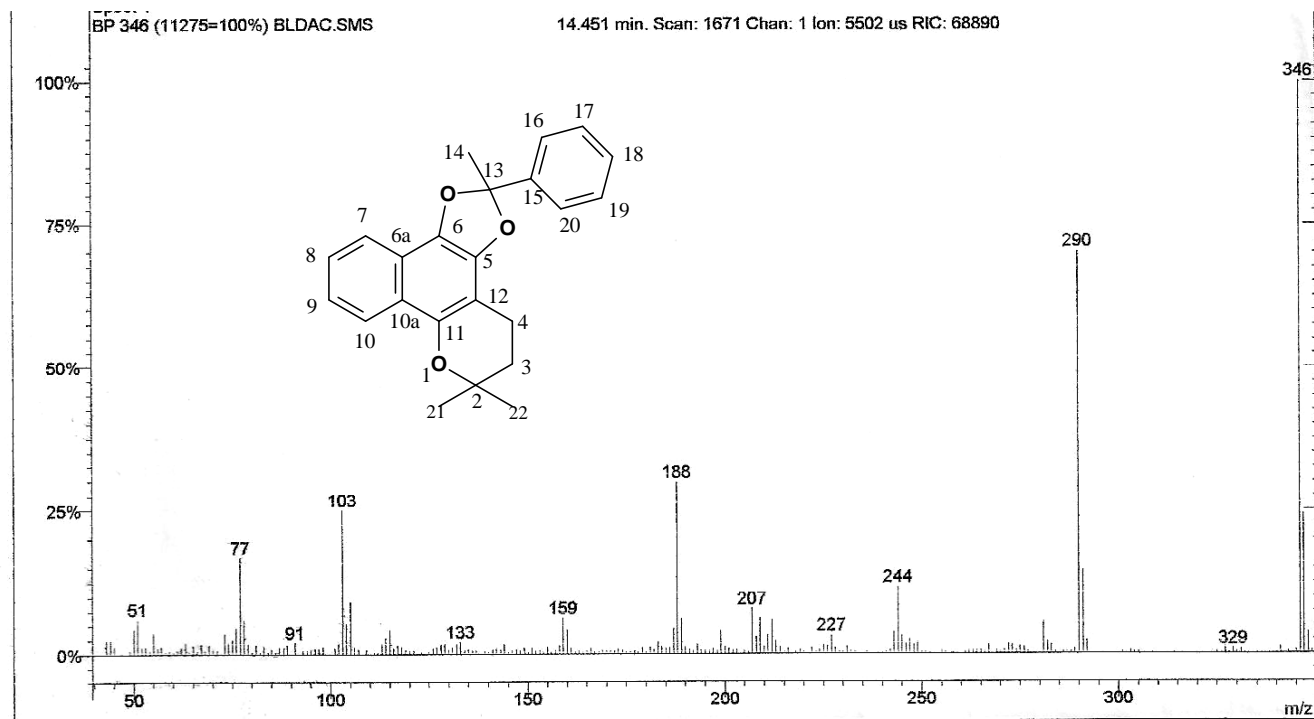
**Espectro 55** – Expansão de HOMOCOSY  $^1\text{H} \times ^1\text{H}$  de FMDBL.



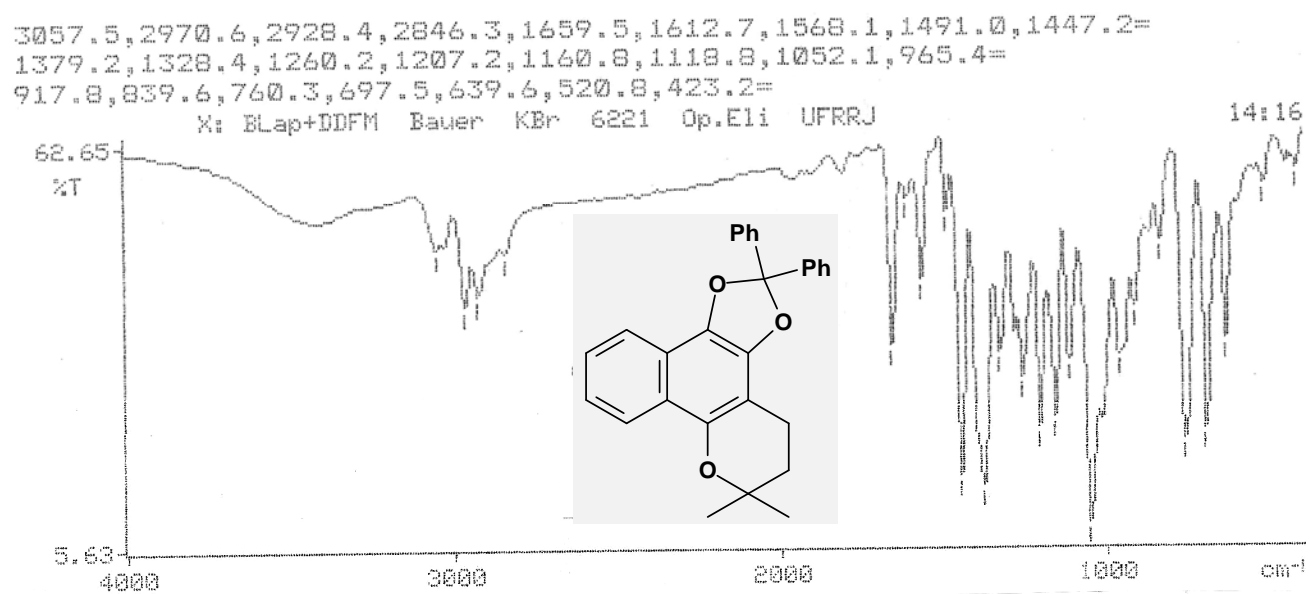
**Espectro 56** – RMN <sup>13</sup>C (50,3 MHz) do FMDBL(2,6,6-trimetil-2-fenil-5,6-di-hidro-4H-benzo[h][1,3]dioxolo[4,5-f]cromeno).



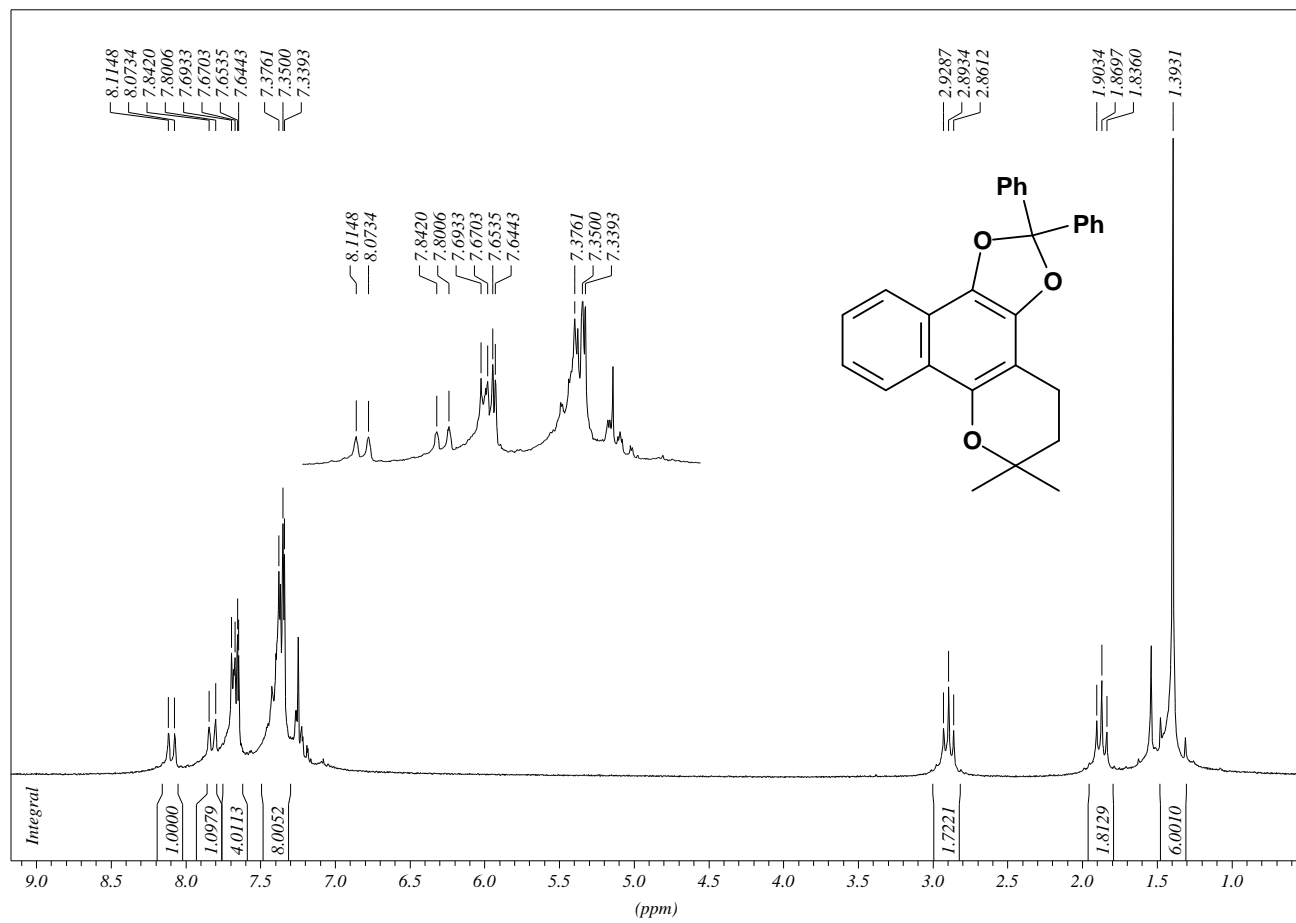
**Espectro 57** – HSQC que é o mesmo de HMQC do FMDBL(2,6,6-trimetil-2-fenil-5,6-di-hidro-4H-benzo[h][1,3]dioxolo[4,5-f]cromeno).



**Espectro 58** – E.M. do FMDBL (2,6,6-trimetil-2-fenil-5,6-di-hidro-4H-benzo[h][1,3]dioxolo[4,5-f]cromeno).

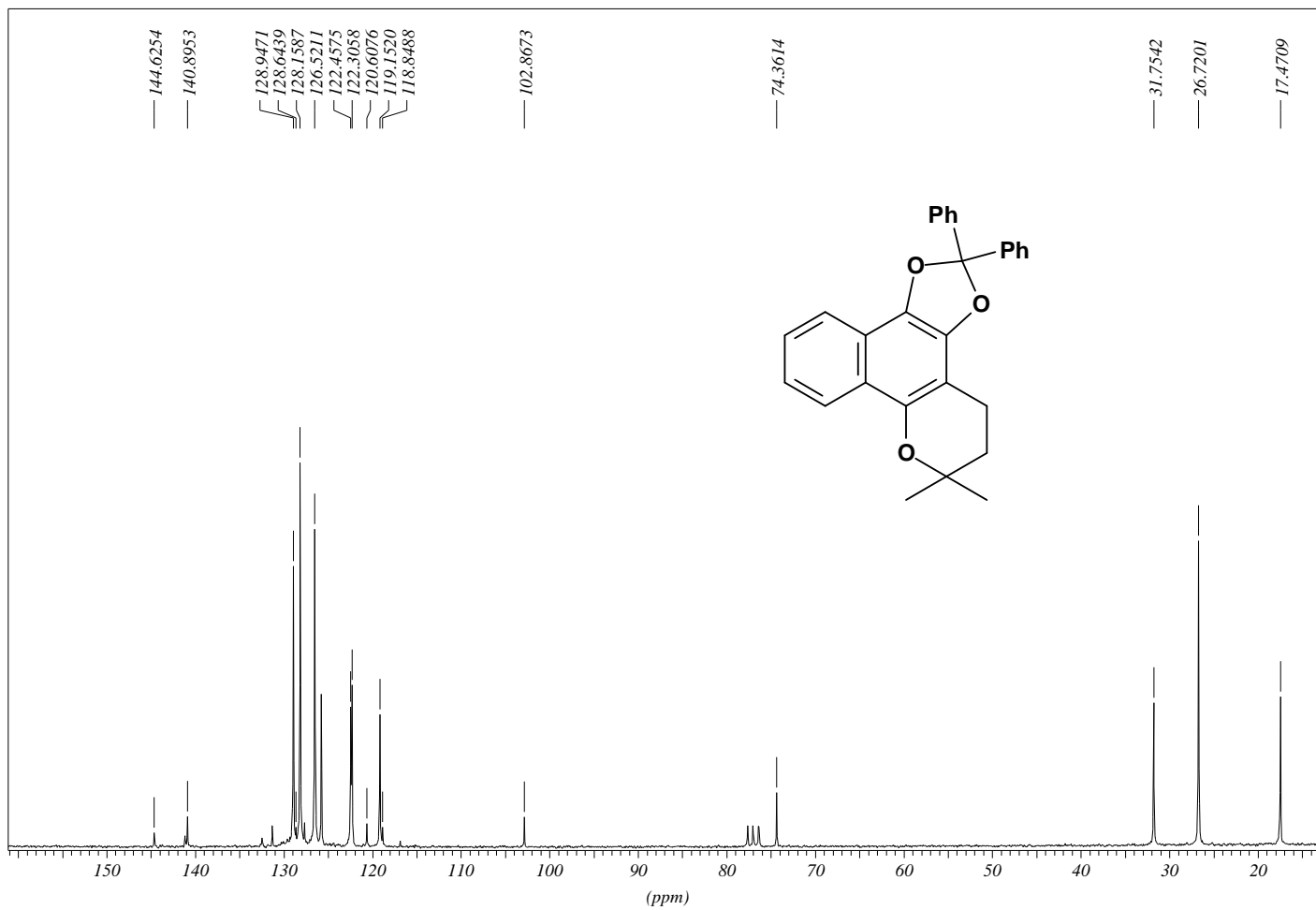


**Espectro 59** – IV do DFDBL (6,6-dimetil-2,2-difenil-5,6-di-hidro-4H-benzo[h][1,3]dioxolo[4,5-f]cromeno).

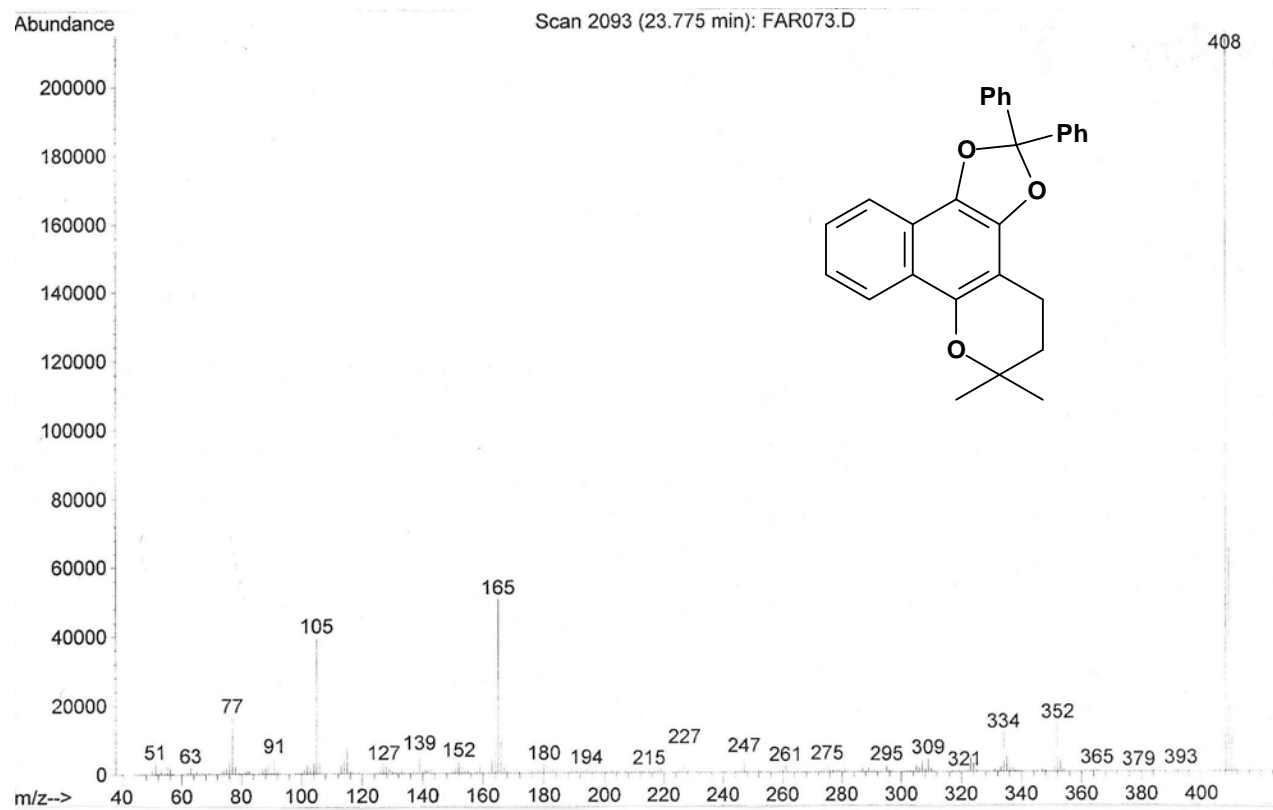


**Espectro 60** – RMN <sup>1</sup>H (200 MHz) do DFDBL (6,6-dimetil-2,2-difenil-5,6-di-hidro-4H-benzo[h][1,3]dioxolo[4,5-f]cromeno).

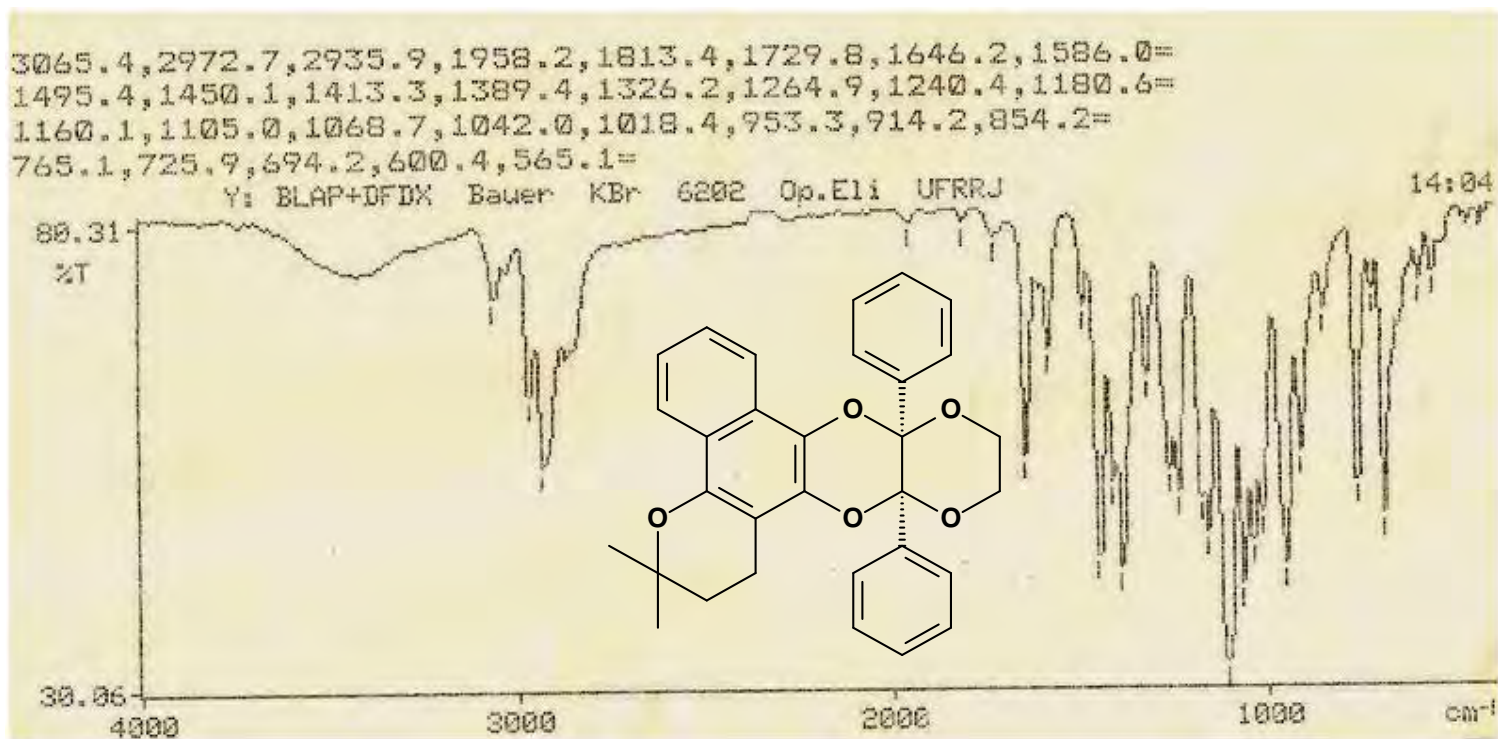




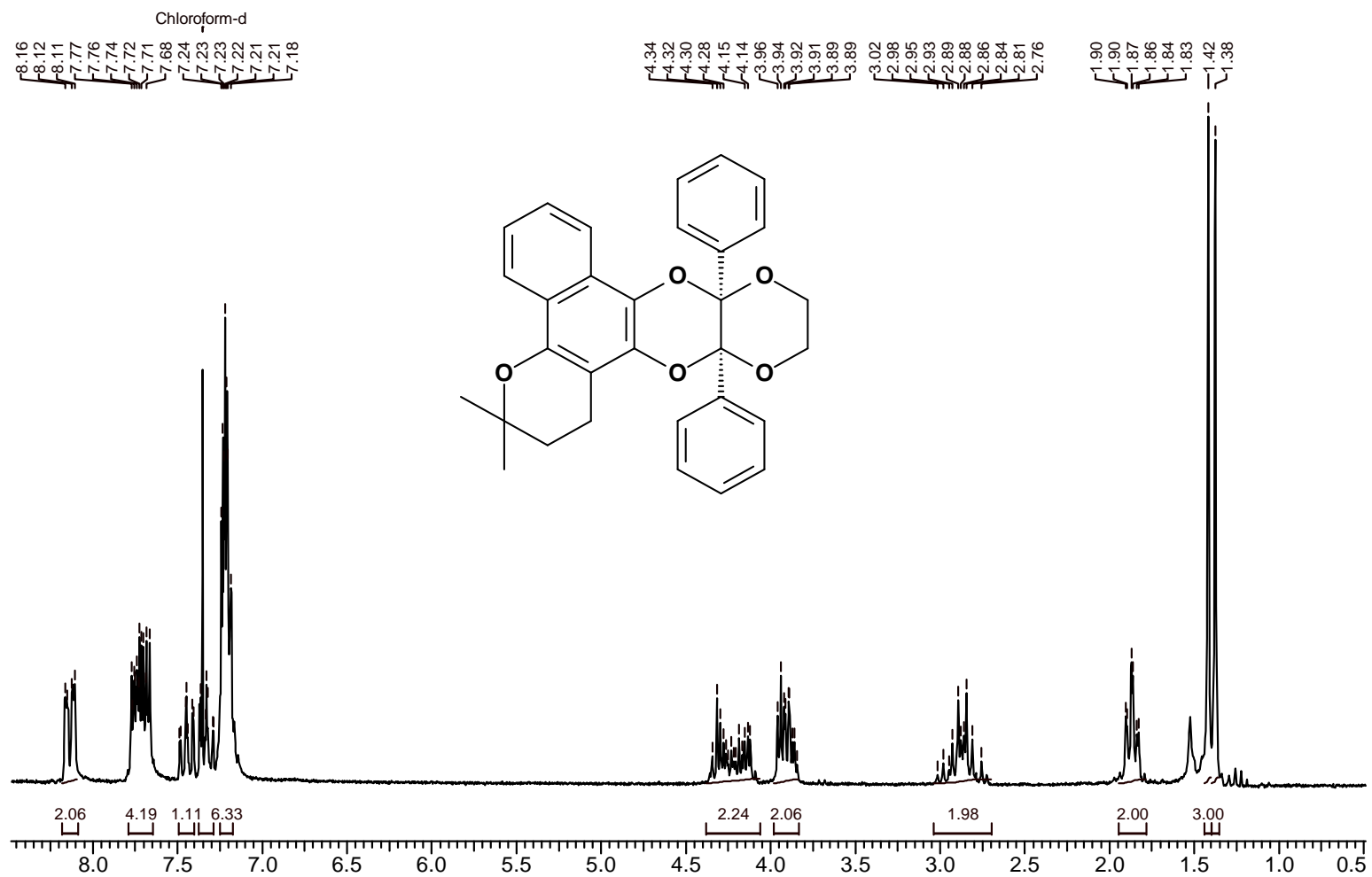
**Espectro 61** – RMN <sup>13</sup>C (50,3 MHz) do DFDBL (6,6-dimetil-2,2-difenil-5,6-di-hidro-4H-benzo[h][1,3]dioxolo[4,5-f]cromeno).



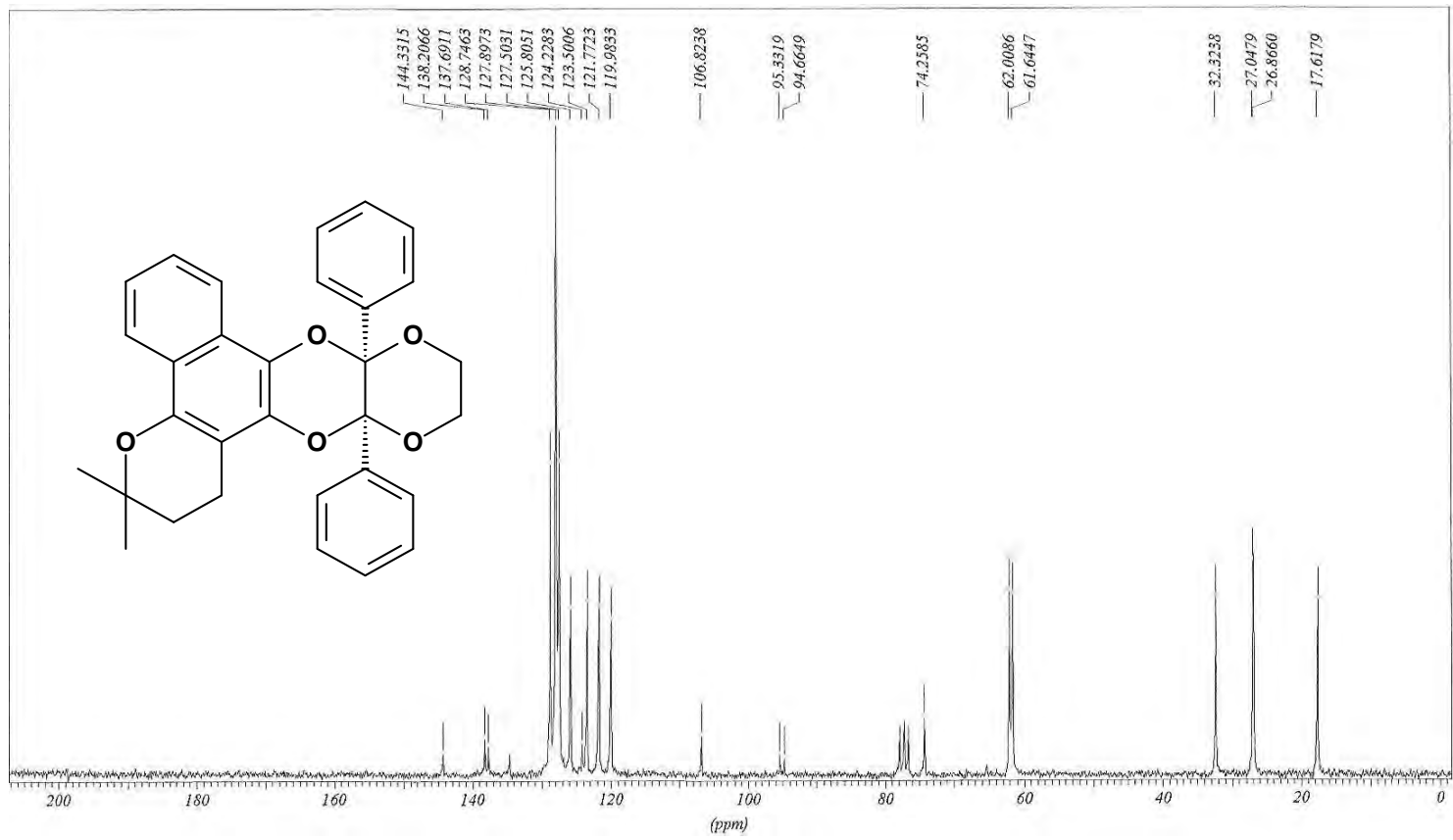
**Espectro 62** – E.M. do DFDBL (6,6-dimetil-2,2-difenil-5,6-di-hidro-4H-benzo[h][1,3]dioxolo[4,5-f]cromeno).



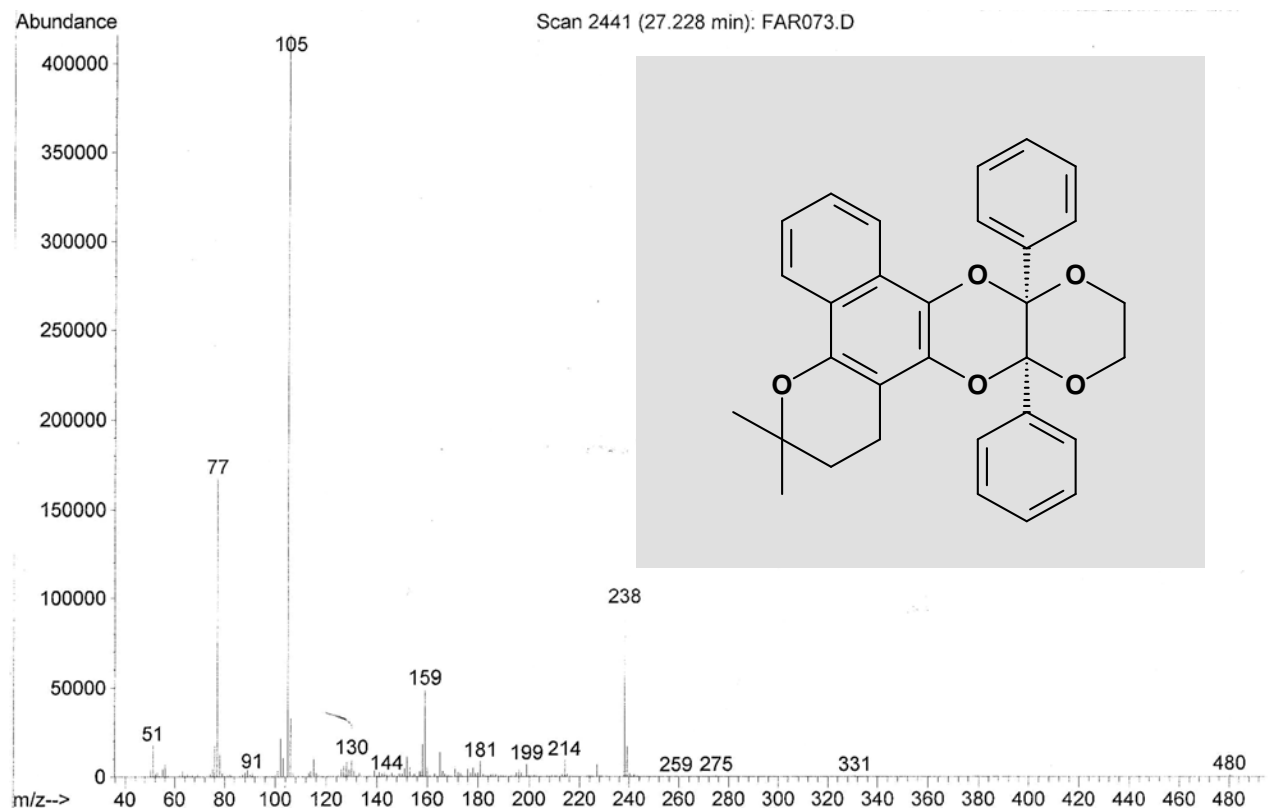
**Espectro 63** – IV do DXBL (3,3-dimetil-9a,13a-difenil-2,3,9a,11,12,13a-hexa-hidro-1H-benzo[h][1,4]dioxino[3',2':5,6][1,4]-dioxino[2,3-f]cromeno).



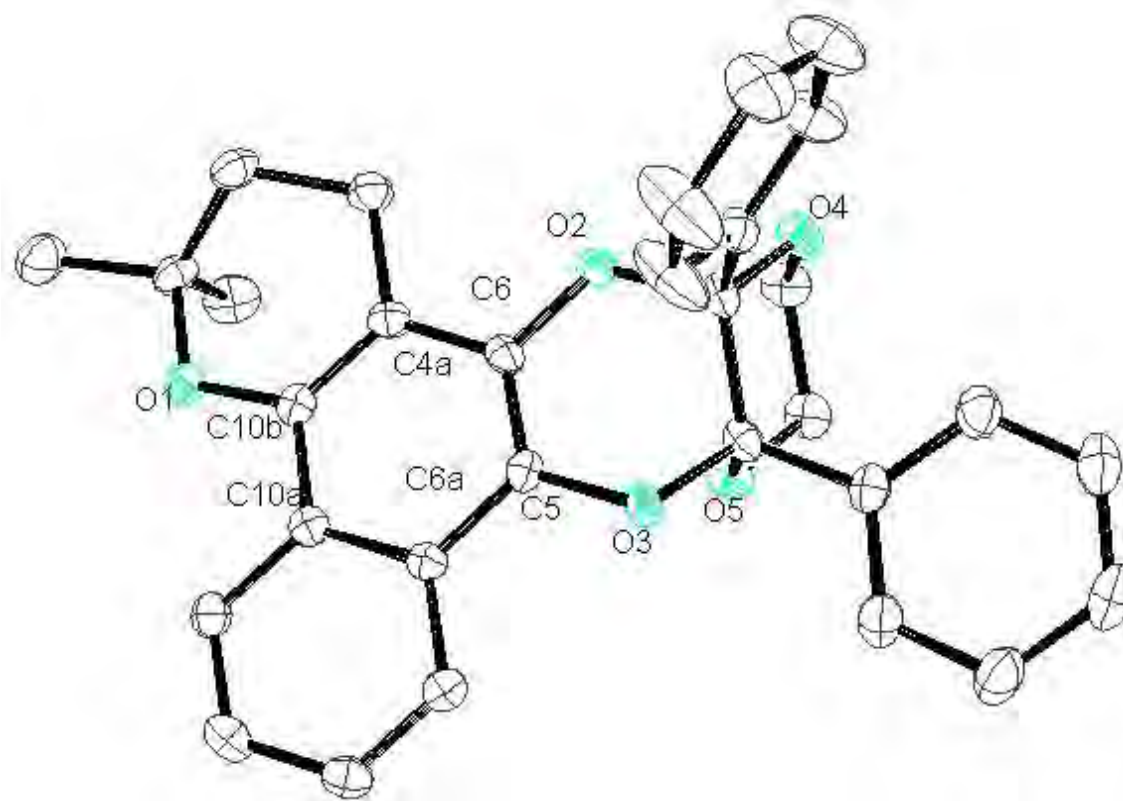
Espectro 64 – RMN <sup>1</sup>H (200 MHz) do DXBL.



Espectro 65 – RMN <sup>13</sup>C (50,3 MHz) do DXBL.



**Espectro 66 – E.M. do DXBL.**



**Espectro 67** – Representação ORTEP do DXBL.

**Tabela 31** – Dados do cristal e refinamento da estrutura.

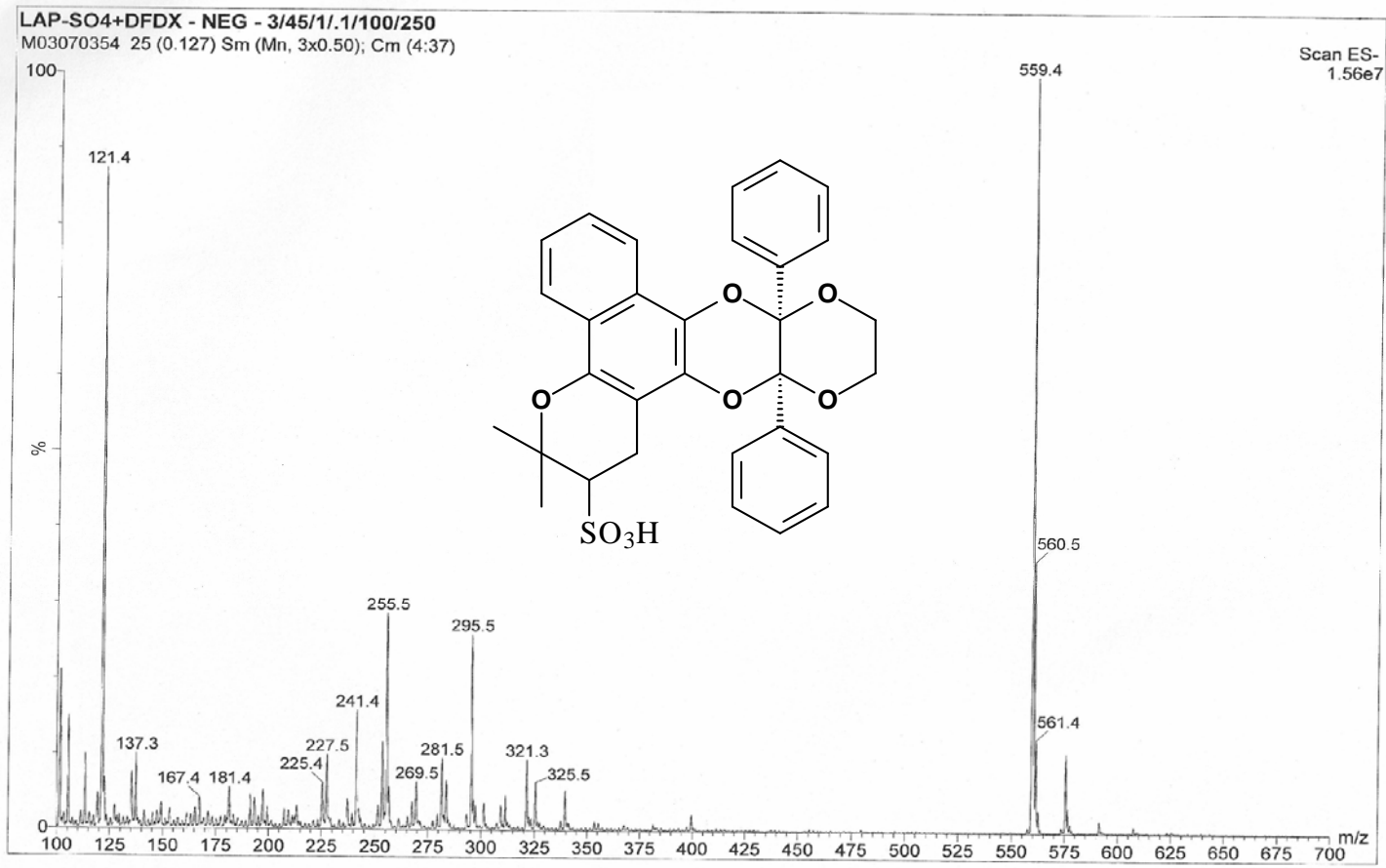
<i>Empirical formula</i>	C <sub>31</sub> H <sub>28</sub> O <sub>5</sub>
<i>Formula weight</i>	480.53 g/mol
<i>Temperature</i>	426(2) K
<i>Wavelength</i>	0.71073 Å
<i>Crystal system</i>	<i>Monoclinic</i>
<i>Space group</i>	P21/n
<i>Unit cell dimensions</i>	a = 15.1335(6)Å, α = 90 deg
	b = 9.6048(2)Å, β = 97.3840(14)deg
	c = 16.9739(6)Å, γ = 90deg
<i>Volume</i>	2446.77(14) Å <sup>3</sup>
<i>Z</i>	4
<i>Density (calculated)</i>	1.304 mg/m <sup>3</sup>
<i>Absorption coefficient</i>	0.088 mm <sup>-1</sup>
<i>F(000)</i>	1016
<i>Crystal size</i>	0.36 x 0.28 x 0.07 mm
<i>Theta range for data collection</i>	3.22 to 27.41 deg.
<i>Index ranges</i>	-15<=h<=19; -12<=k<=12; -21<=l<=21
<i>Reflections collected</i>	23103
<i>Independent reflections</i>	5549 [R(int) = 0.0592]
<i>Reflections observed (&gt;2sigma)</i>	3390
<i>Data Completeness</i>	0.995
<i>Absorption correction</i>	None
<i>Refinement method</i>	Full-matrix least-squares on F <sup>2</sup>
<i>Data / restraints / parameters</i>	5549 / 0 / 325
<i>Goodness-of-fit on F@2</i>	1.014
<i>Final R indices [I&gt;2sigma(I)]</i>	R~1 = 0.0509 wR~2 = 0.1178
<i>R indices (all data)</i>	R~1 = 0.1016 wR~2 = 0.1431
<i>Largest diff. peak and hole</i>	0.251 and -0.288 e.Å <sup>-3</sup>



**Tabela 32 - Ângulos (em graus) e distâncias (em ângstrons) entre os átomos.**

O(1)-C(10B)	1.369(2)	O(1)-C(2)	1.468(2)
O(2)-C(6)	1.374(2)	O(2)-C(13)	1.449(2)
O(3)-C(5)	1.392(2)	O(3)-C(16)	1.415(2)
O(4)-C(13)	1.412(2)	O(4)-C(14)	1.445(2)
O(5)-C(16)	1.420(2)	O(5)-C(15)	1.436(2)
C(2)-C(11)	1.519(3)	C(2)-C(3)	1.522(3)
C(2)-C(12)	1.523(3)	C(3)-C(4)	1.526(2)
C(4)-C(4A)	1.509(2)	C(4A)-C(10B)	1.371(2)
C(4A)-C(6)	1.415(2)	C(5)-C(6)	1.365(2)
C(5)-C(6A)	1.415(2)	C(6A)-C(7)	1.416(2)
C(6A)-C(10A)	1.424(2)	C(7)-C(8)	1.371(2)
C(8)-C(9)	1.405(3)	C(9)-C(10)	1.373(2)
C(10)-C(10A)	1.412(2)	C(10A)-C(10B)	1.429(2)
C(13)-C(17)	1.513(3)	C(13)-C(16)	1.566(2)
C(14)-C(15)	1.498(2)	C(16)-C(23)	1.528(2)
C(17)-C(18)	1.377(3)	C(17)-C(22)	1.385(3)
C(18)-C(19)	1.388(3)	C(19)-C(20)	1.361(3)
C(20)-C(21)	1.374(3)	C(21)-C(22)	1.383(3)
C(23)-C(24)	1.386(3)	C(23)-C(28)	1.398(3)
C(24)-C(25)	1.389(3)	C(25)-C(26)	1.376(3)
C(26)-C(27)	1.386(3)	C(27)-C(28)	1.380(3)
C(10B)-O(1)-C(2)	117.38(13)	C(6)-O(2)-C(13)	118.90(13)
C(5)-O(3)-C(16)	113.33(13)	C(13)-O(4)-C(14)	113.11(13)
C(16)-O(5)-C(15)	113.39(13)	O(1)-C(2)-C(11)	102.65(15)
O(1)-C(2)-C(3)	108.81(15)	C(11)-C(2)-C(3)	112.44(15)
O(1)-C(2)-C(12)	108.82(14)	C(11)-C(2)-C(12)	111.02(17)
C(3)-C(2)-C(12)	112.56(17)	C(2)-C(3)-C(4)	111.46(15)

C(4A)-C(4)-C(3)	109.61(15)	C(10B)-C(4A)-C(6)	117.88(15)
C(10B)-C(4A)-C(4)	121.47(16)	C(6)-C(4A)-C(4)	120.59(15)
C(6)-C(5)-O(3)	121.02(15)	C(6)-C(5)-C(6A)	120.83(15)
O(3)-C(5)-C(6A)	118.16(14)	C(5)-C(6)-O(2)	121.95(15)
C(5)-C(6)-C(4A)	122.21(16)	O(2)-C(6)-C(4A)	115.84(15)
C(5)-C(6A)-C(7)	122.66(16)	C(5)-C(6A)-C(10A)	118.19(15)
C(7)-C(6A)-C(10A)	119.11(15)	C(8)-C(7)-C(6A)	120.51(16)
C(7)-C(8)-C(9)	120.55(16)	C(10)-C(9)-C(8)	120.10(16)
C(9)-C(10)-C(10A)	121.00(16)	C(10)-C(10A)-C(6A)	118.66(15)
C(10)-C(10A)-C(10B)	122.36(16)	C(6A)-C(10A)-C(10B)	118.96(15)
O(1)-C(10B)-C(4A)	123.68(15)	O(1)-C(10B)-C(10A)	114.43(15)
C(4A)-C(10B)-C(10A)	121.88(15)	O(4)-C(13)-O(2)	104.62(14)
O(4)-C(13)-C(17)	108.51(14)	O(2)-C(13)-C(17)	107.76(14)
O(4)-C(13)-C(16)	109.99(14)	O(2)-C(13)-C(16)	109.85(13)
C(17)-C(13)-C(16)	115.52(15)	O(4)-C(14)-C(15)	110.46(15)
O(5)-C(15)-C(14)	110.10(14)	O(3)-C(16)-O(5)	104.13(13)
O(3)-C(16)-C(23)	106.47(14)	O(5)-C(16)-C(23)	110.93(14)
O(3)-C(16)-C(13)	109.83(13)	O(5)-C(16)-C(13)	109.19(14)
C(23)-C(16)-C(13)	115.64(14)	C(18)-C(17)-C(22)	117.87(19)
C(18)-C(17)-C(13)	121.03(17)	C(22)-C(17)-C(13)	120.97(17)
C(17)-C(18)-C(19)	120.9(2)	C(20)-C(19)-C(18)	120.7(2)
C(19)-C(20)-C(21)	119.1(2)	C(20)-C(21)-C(22)	120.5(2)
C(21)-C(22)-C(17)	120.9(2)	C(24)-C(23)-C(28)	118.54(16)
C(24)-C(23)-C(16)	123.44(16)	C(28)-C(23)-C(16)	117.85(16)
C(23)-C(24)-C(25)	120.56(18)	C(26)-C(25)-C(24)	120.33(19)

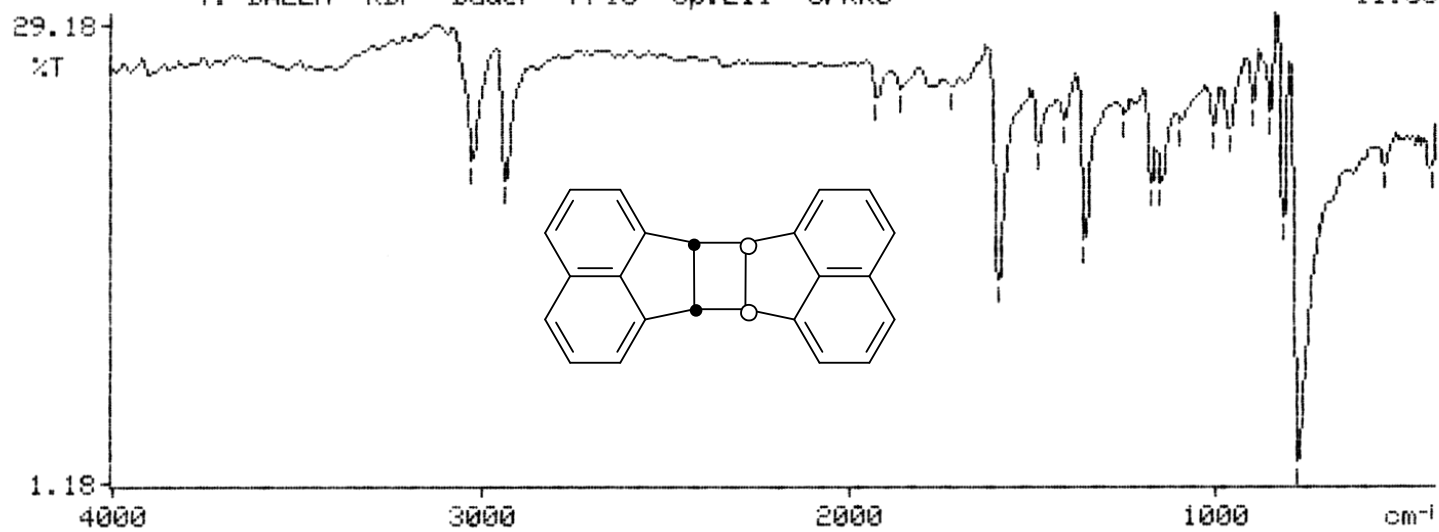


**Espectro 68** – E.M. do produto de irradiação entre 3-sulfo-β-lapachona e difenildioxeno, M.M. = 560.

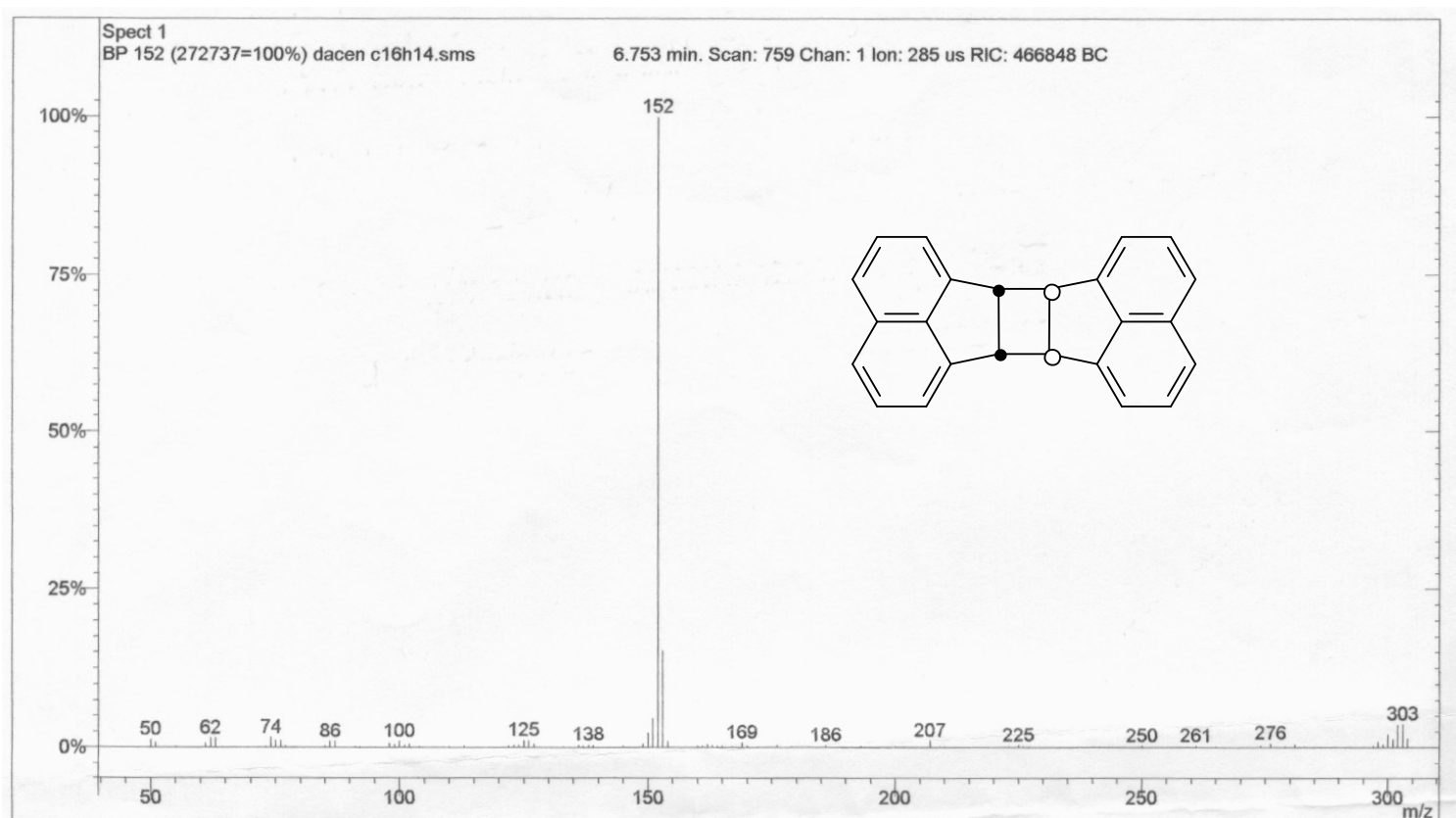
3028.6, 2939.7, 1927.1, 1860.4, 1721.1, 1595.9, 1487.8, 1415.9=  
1359.5, 1251.0, 1179.9, 1150.4, 1098.0, 1009.8, 965.0, 901.1=  
854.5, 818.5, 775.7, 540.7, 411.1=

Y: DALEN KBr Bauer 7710 Op.Eli UFRRJ

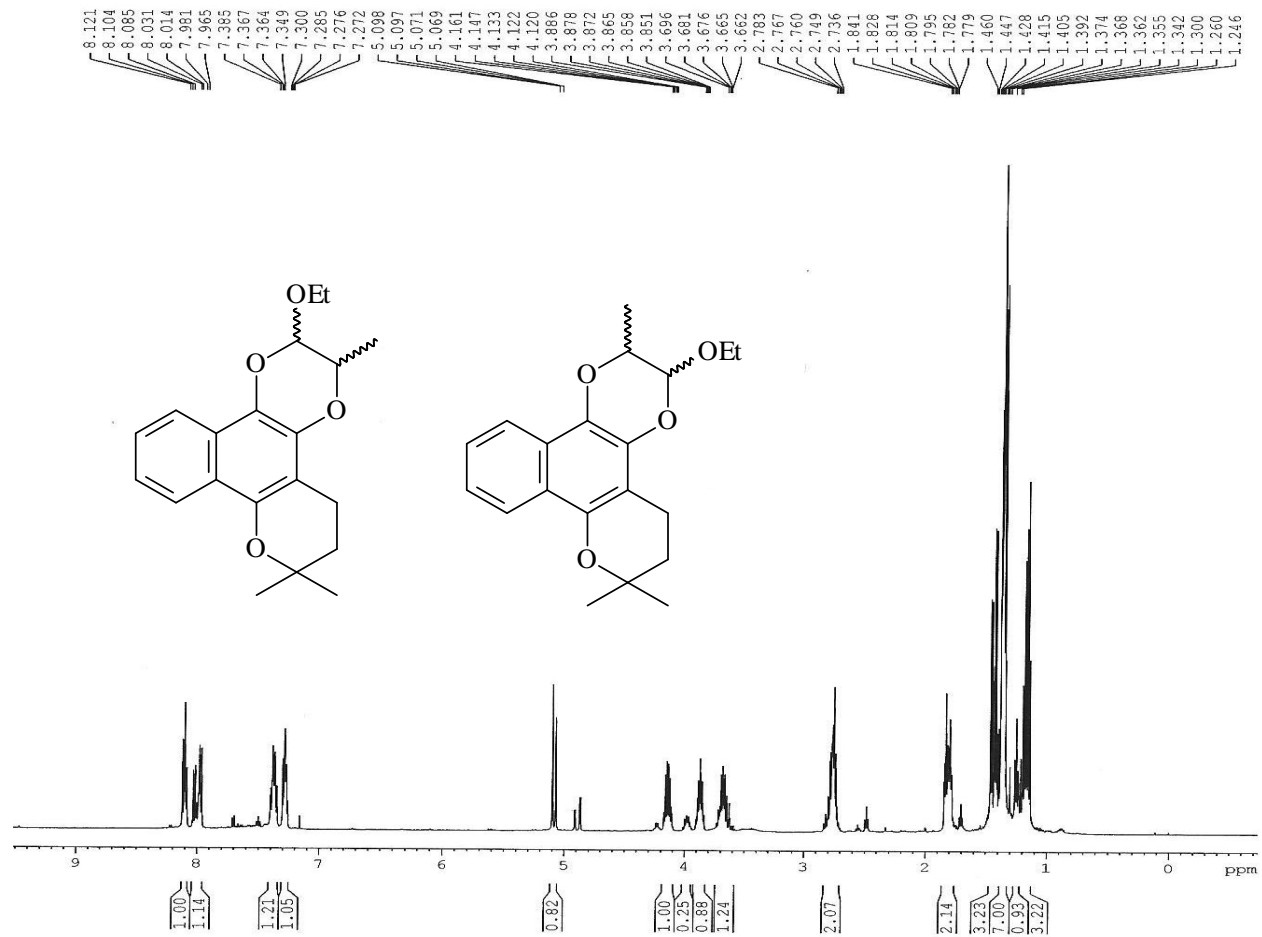
11:35



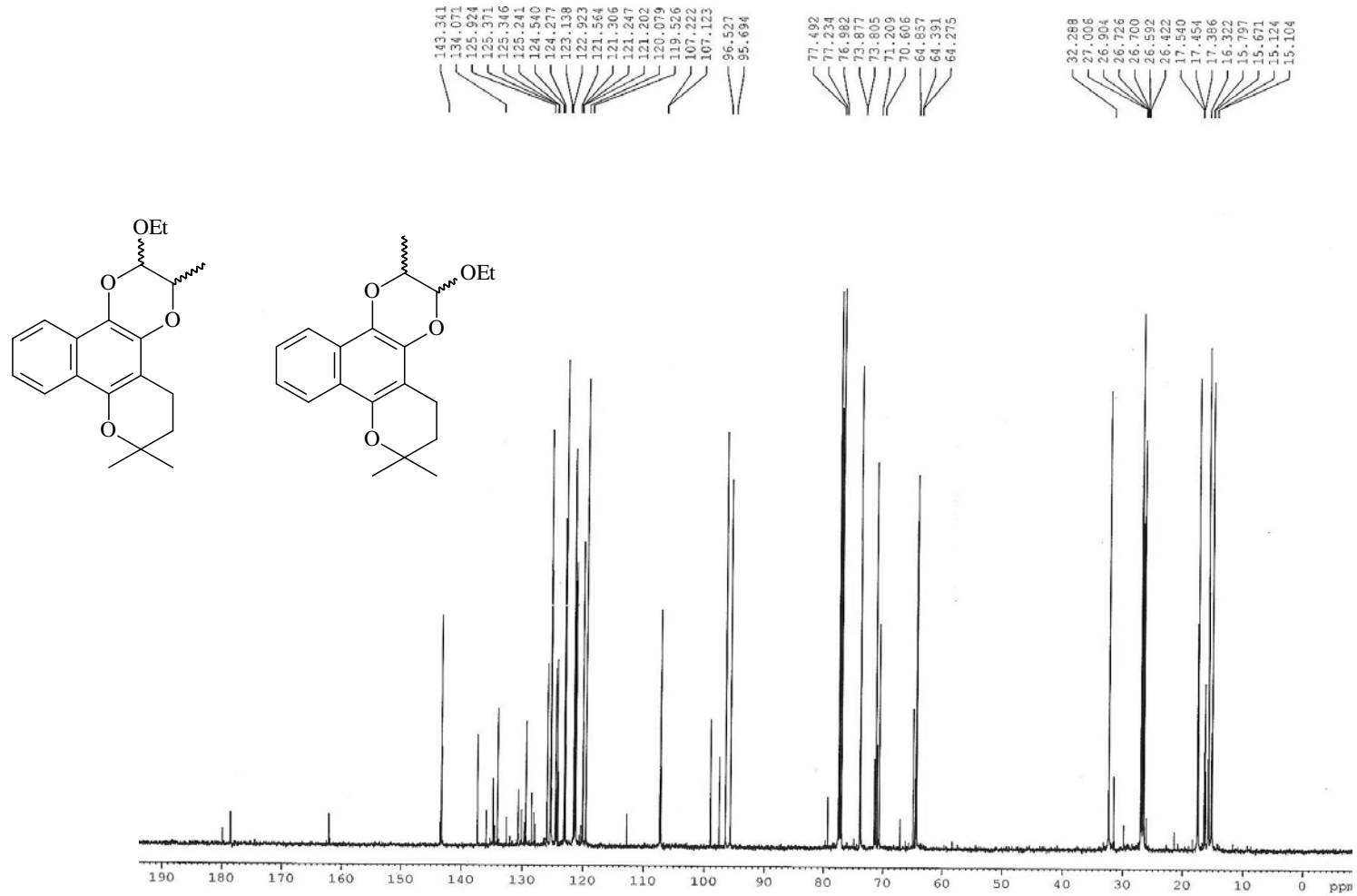
**Espectro 69** – IV do dímero de acenafelino (DACEN).



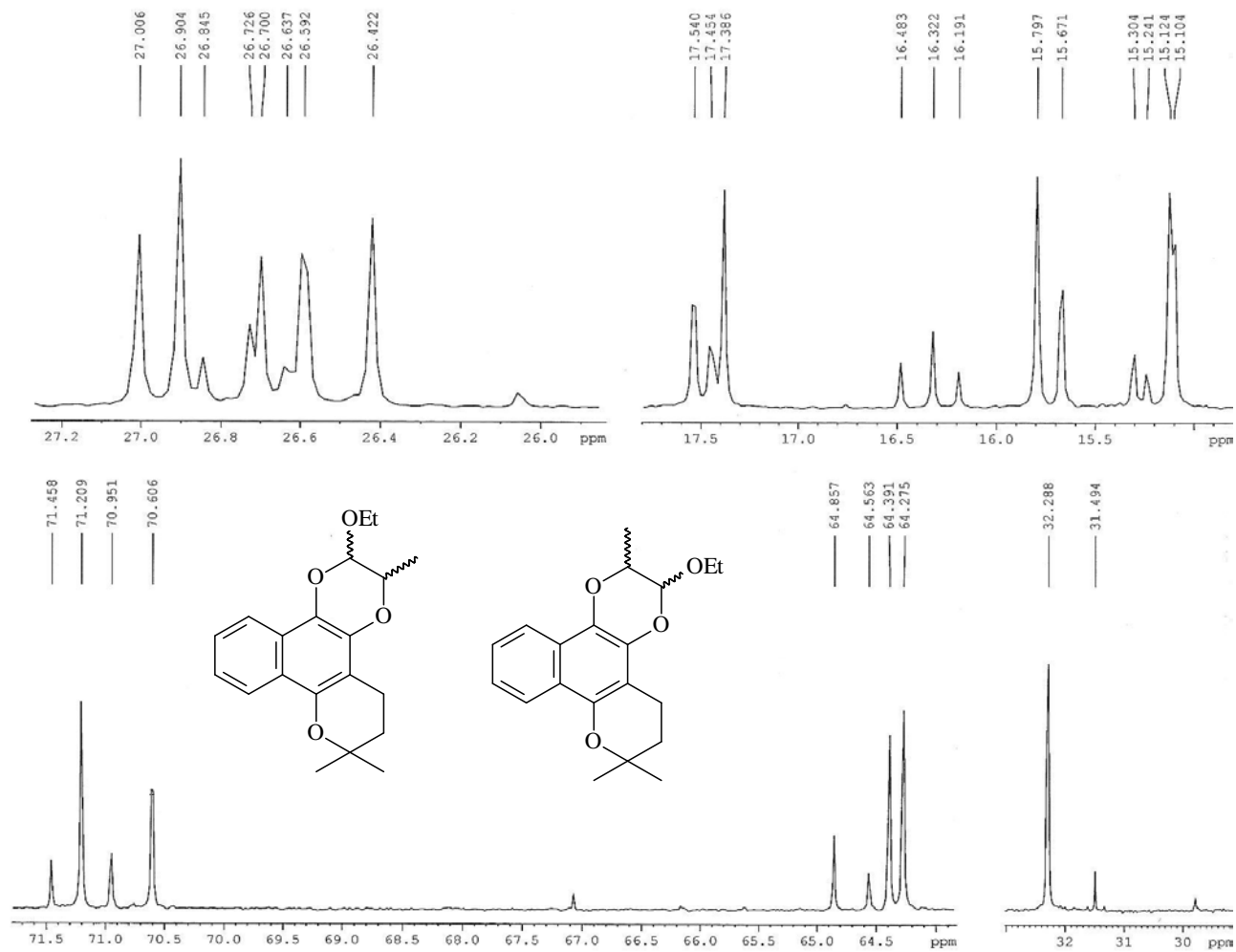
**Espectro 70** - E.M. do dímero de acenaftileno (DACEN).



**Espectro 71**– RMN <sup>1</sup>H (500 MHz) da mistura de isômeros de BLEP, reação fotoquímica entre β-lapachona e 1-etoxipropeno.

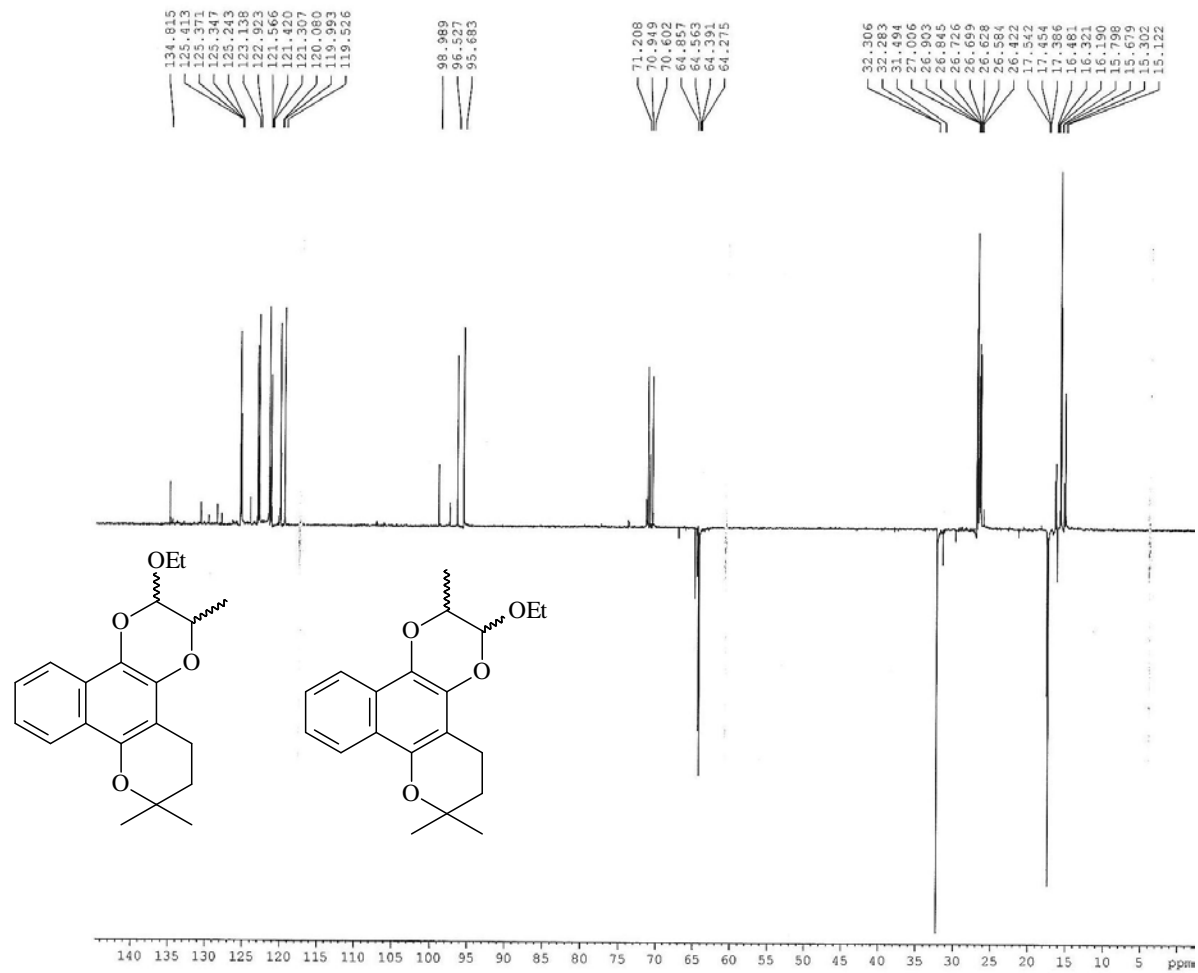


**Espectro 72** – RMN <sup>13</sup>C (125,75 MHz) da mistura isômera de BLEP, reação fotoquímica entre β-lapachona e 1-etoxipropeno.

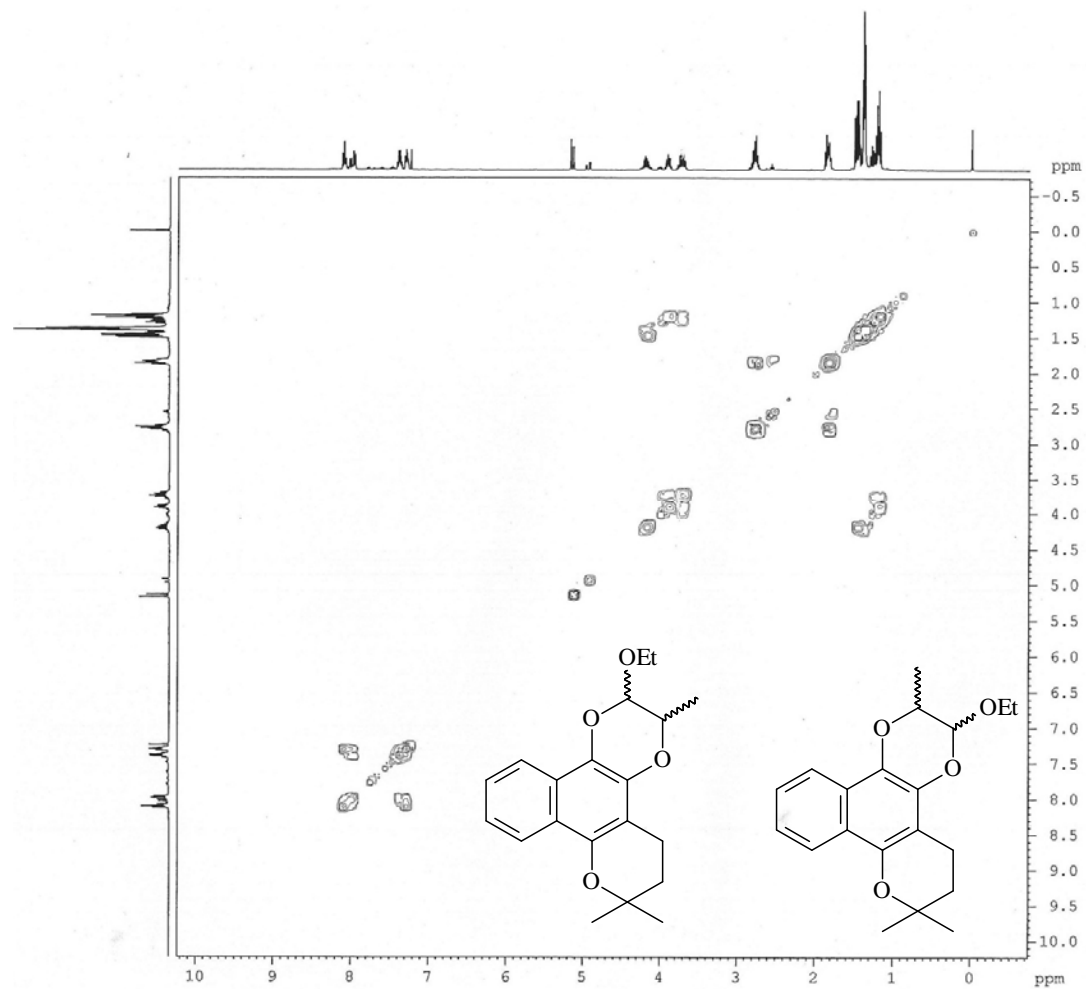


**Espectro 73** – Expansões da RMN  $^{13}\text{C}$  da mistura de isômeros de BLEP, reação fotoquímica entre  $\beta$ -lapachona e 1-etoxipropeno.

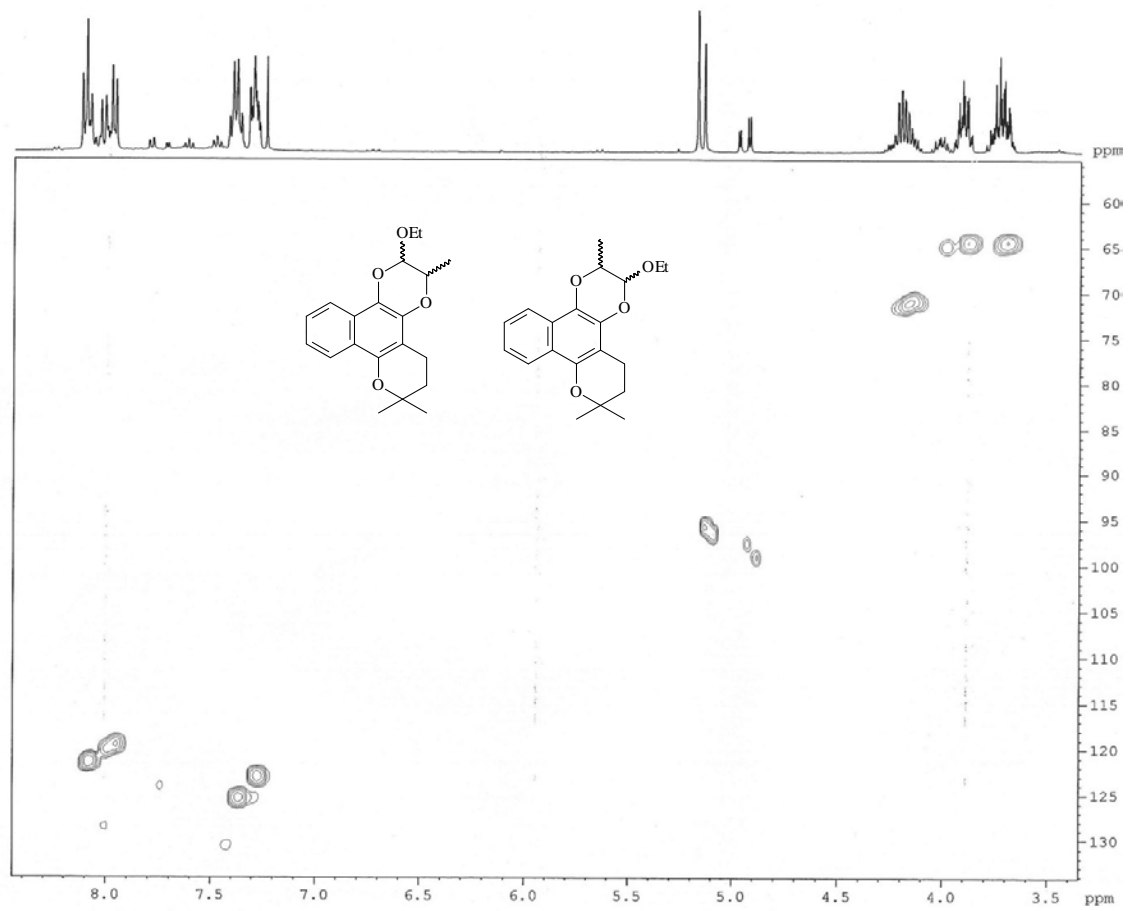




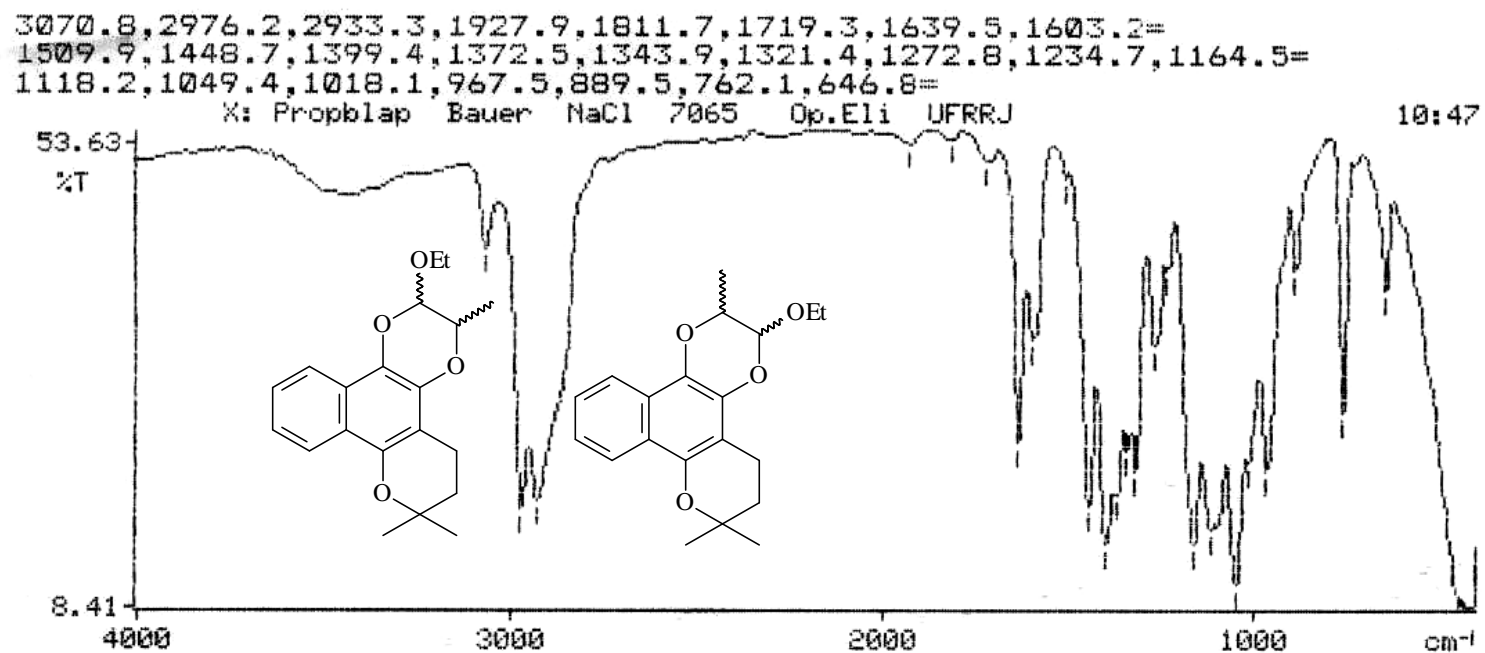
**Espectro 74** – DEPT 135° da mistura de isômeros de BLP, reação fotoquímica entre  $\beta$ -lapachona e 1-etoxipropeno.



**Espectro 75** – Cosy <sup>1</sup>H-<sup>1</sup>H da mistura de BLEP, reação fotoquímica entre β-lapachona e 1-etoxipropeno.

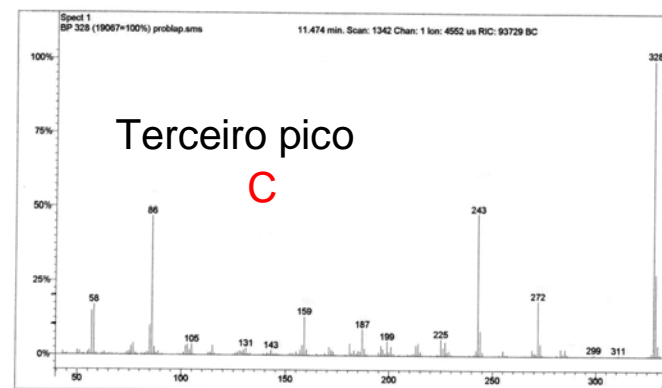
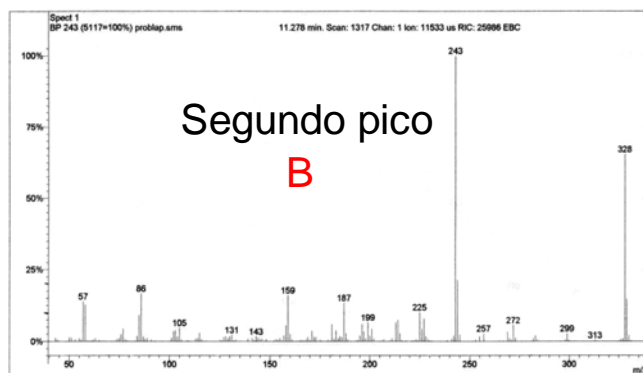
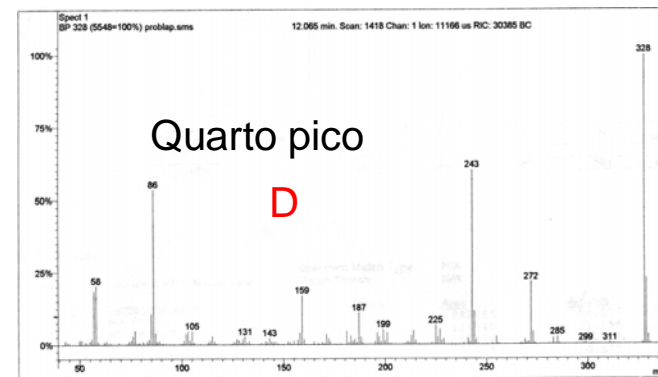
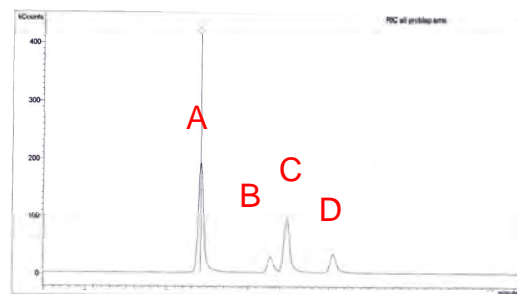
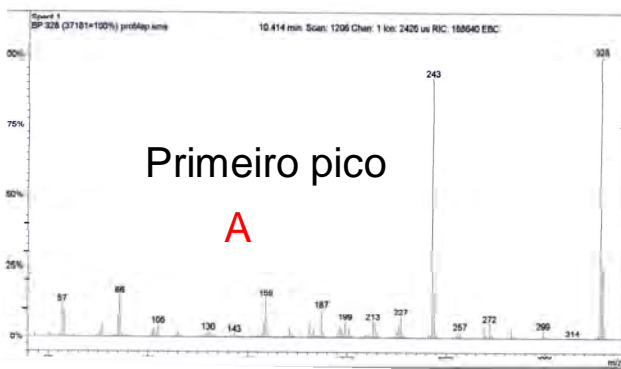


**Espectro 76** - HSQC  $^1\text{H} \times ^1\text{H}$  da mistura de isômeros de BLEP, reação fotoquímica entre  $\beta$ -lapachona e 1-etoxipropeno.

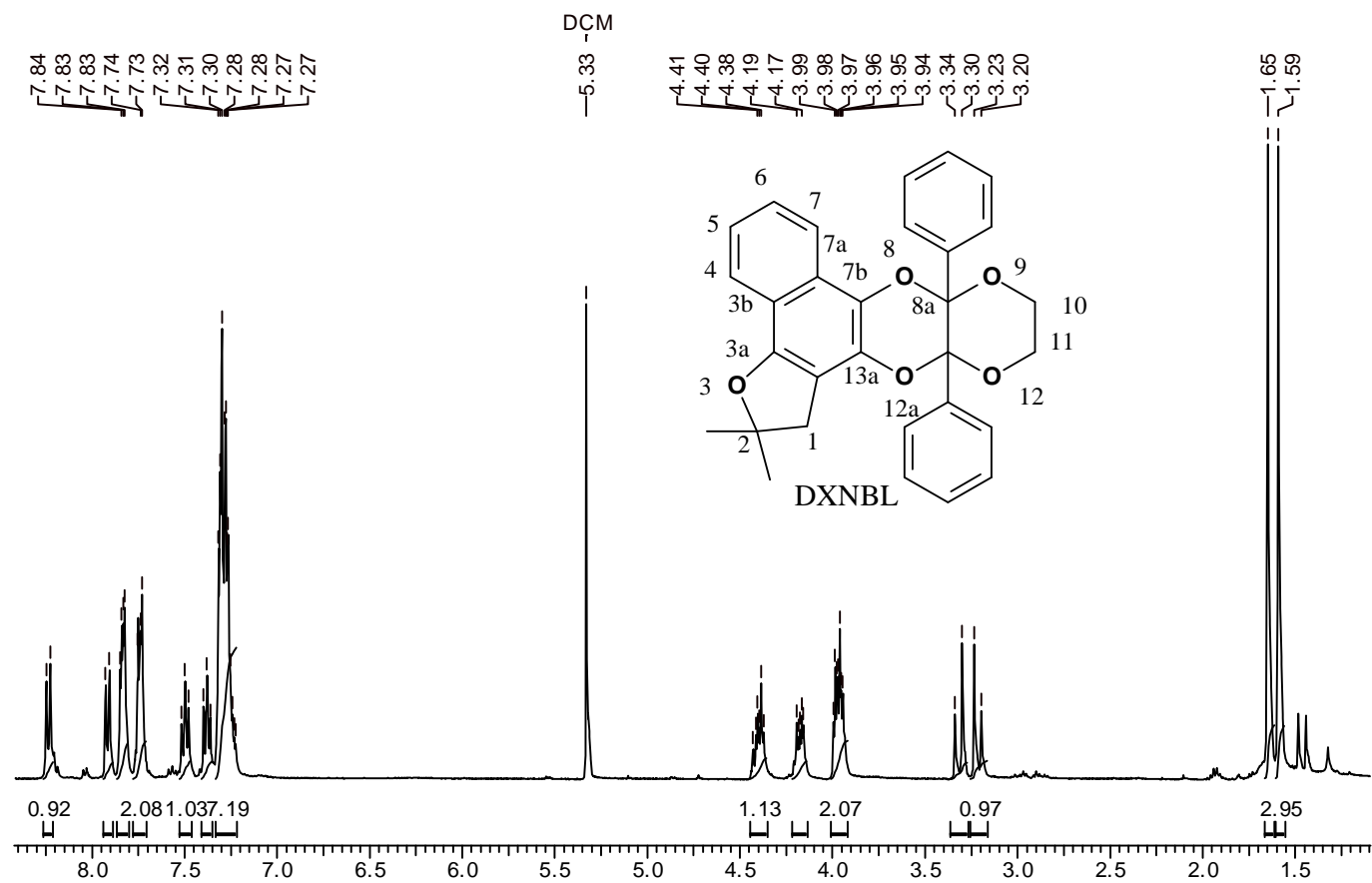


**Espectro 77** – IV da mistura de isômeros de BLEP, reação fotoquímica entre  $\beta$ -lapachona e 1-etoxipropeno.

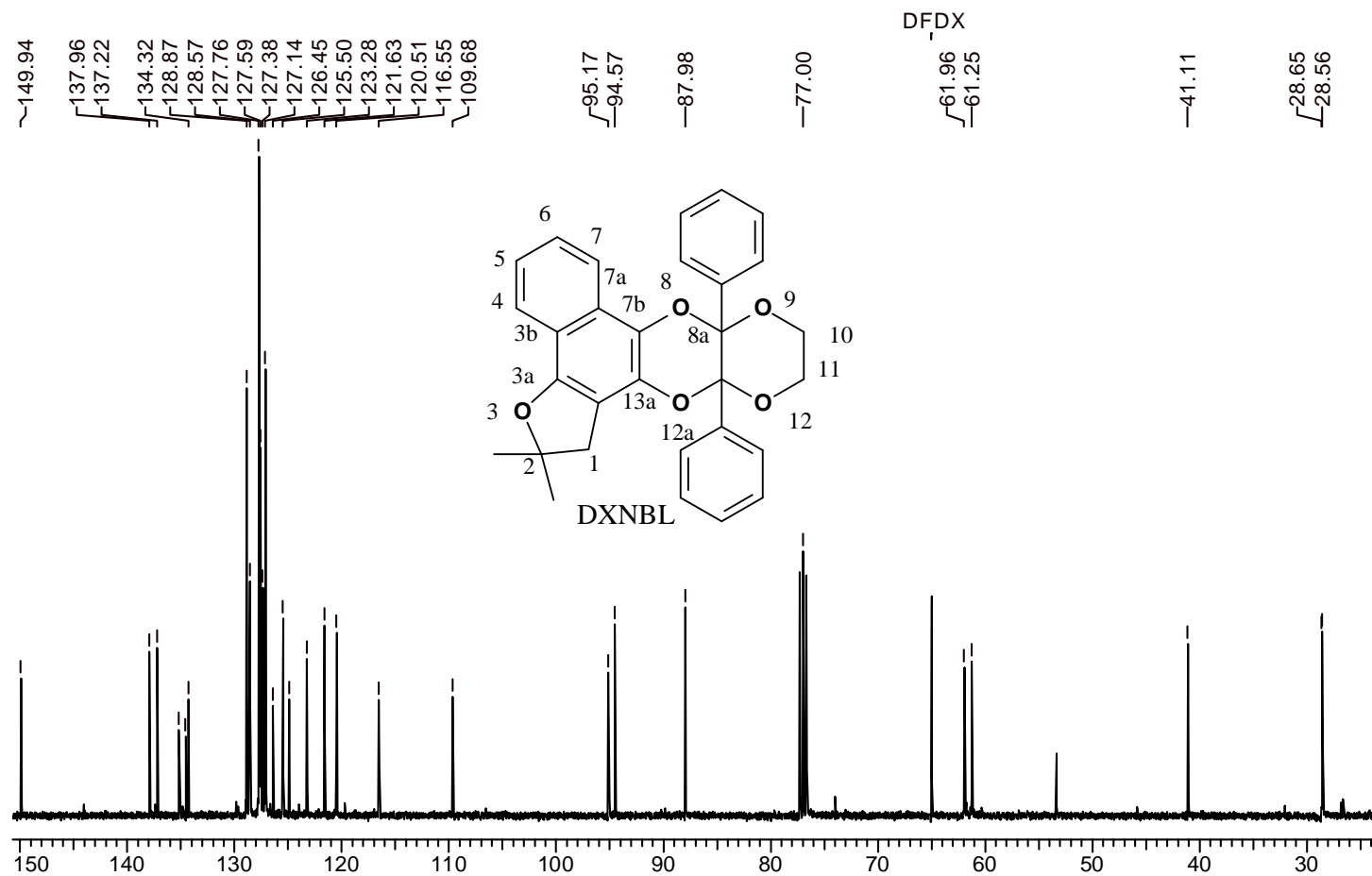
## Cromatograma



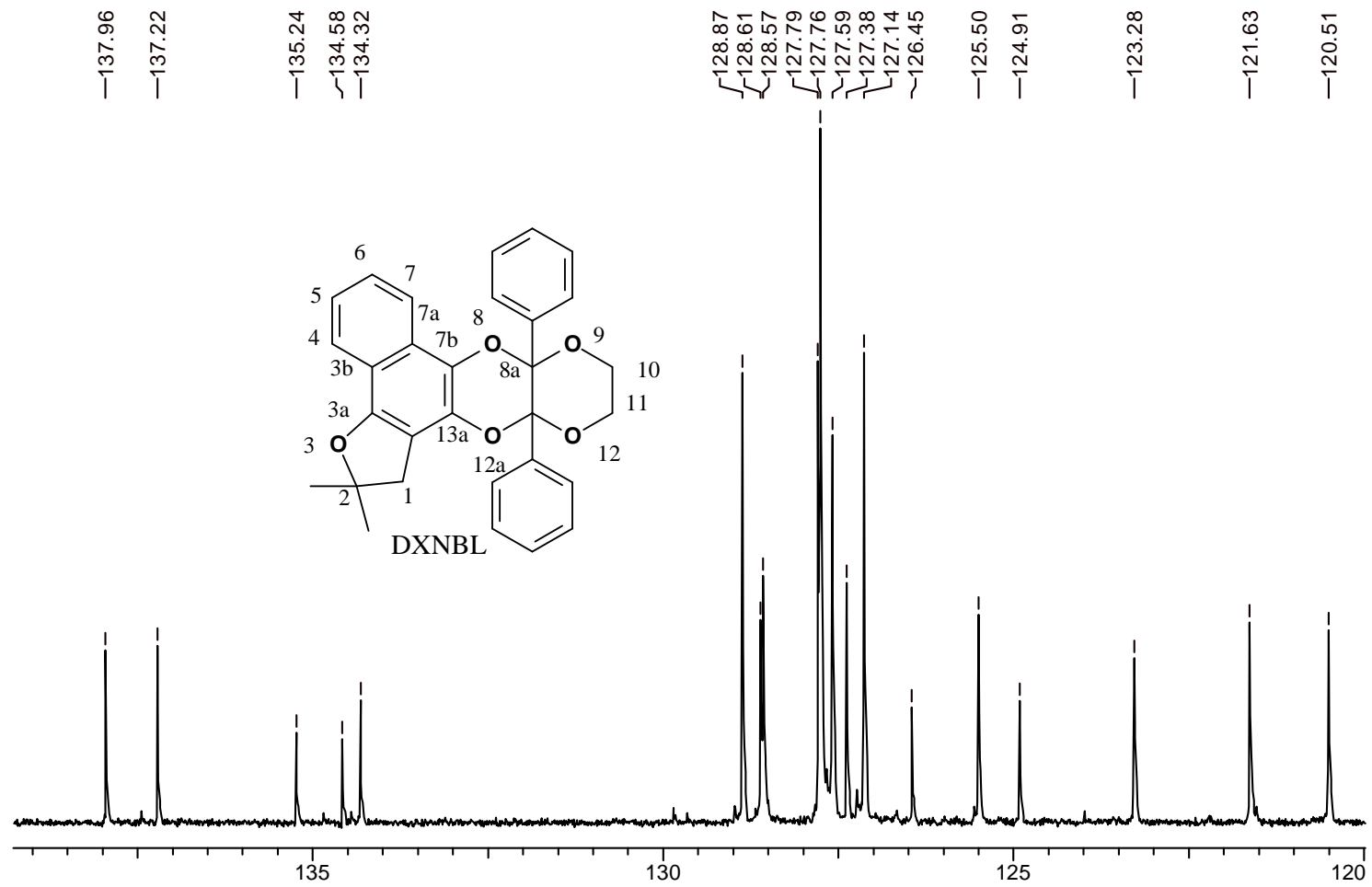
**Espectro 78** - EM da mistura de isômeros de BLEP, reação fotoquímica entre  $\beta$ -lapachona e 1-etoxipropeno, ao centro o cromatograma com os quatro produtos obtidos.



**Espectro 79** – RMN <sup>1</sup>H (400 MHz) do DXNBL, 2,2-dimetil-8a,12a-difenil-1,2,8a,10,11,12a-hexaidro[1,4]dioxino[2,3-*b*]furo[3',2':3,4]nafto[1,2-*e*][1,4]dioxina.

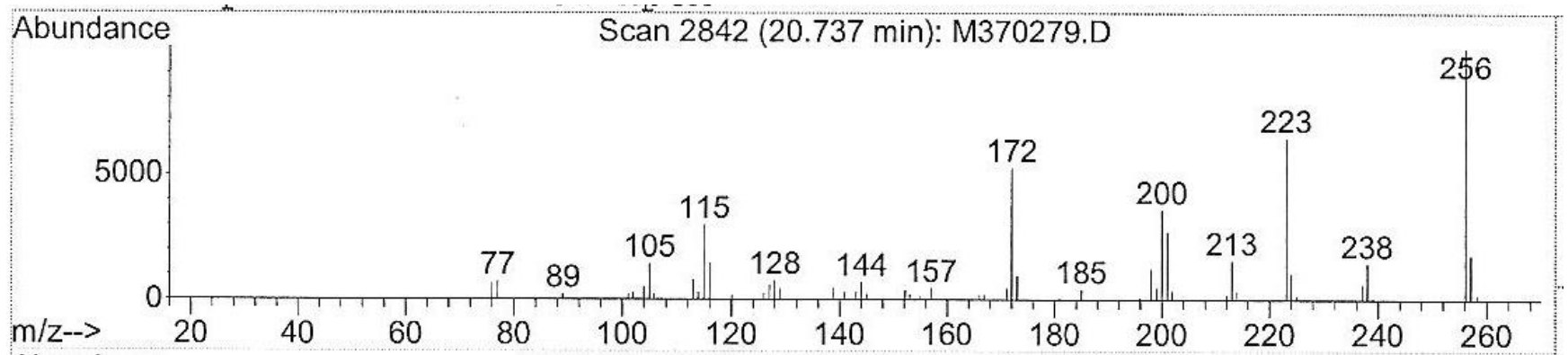
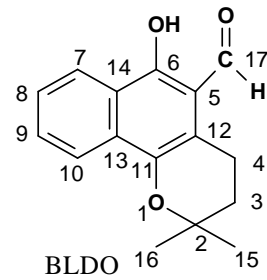


**Espectro 80** – RMN  $^{13}\text{C}$  (100,6 MHz) de DXNBL (2,2-dimetil-8a,12a-difenil-1,2,8a,10,11,12a-hexaidro[1,4]dioxino[2,3-*b*]furo[3',2':3,4]naftho[1,2-*e*][1,4]dioxina).

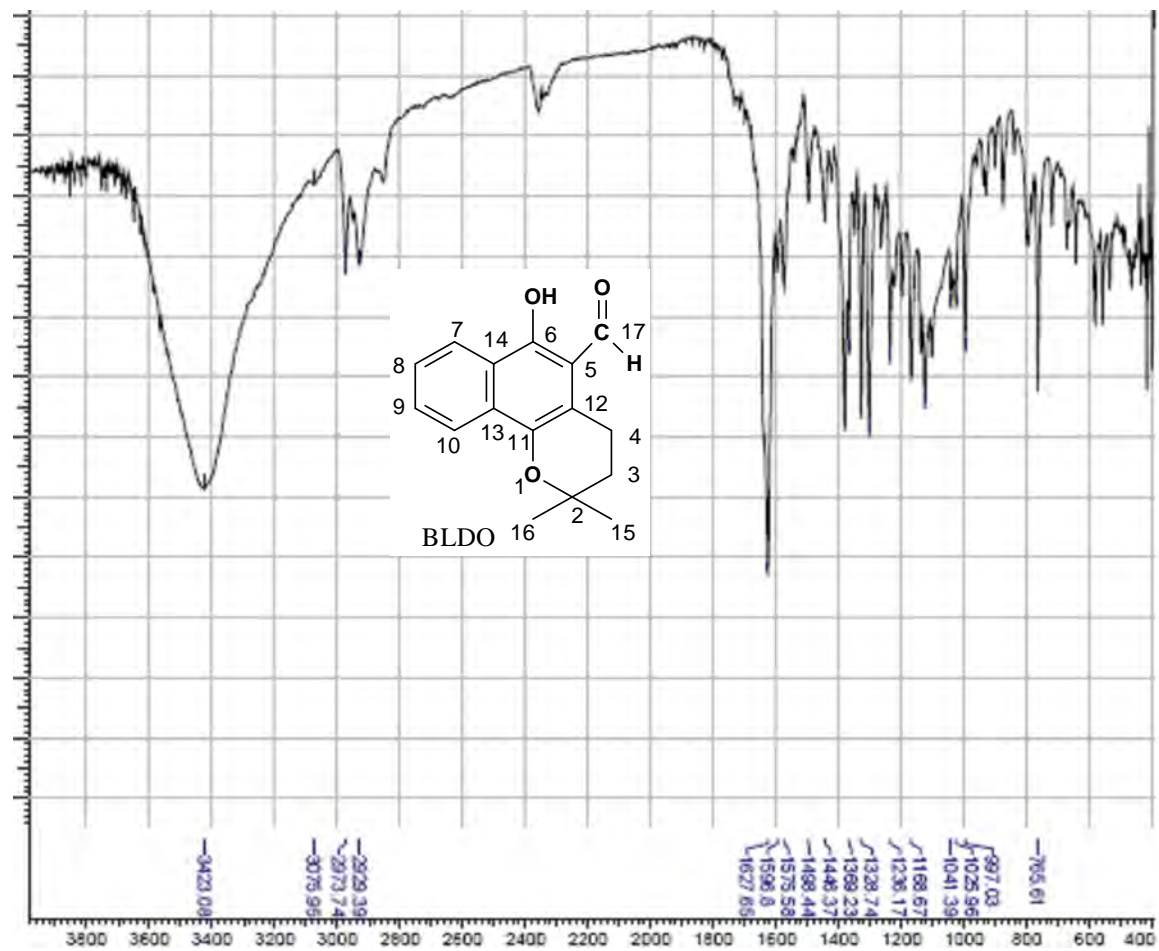


**Espectro 81** – Ampliação do espectro de RMN <sup>13</sup>C de DXNBL (2,2-dimetil-8a,12a-difenil-1,2,8a,10,11,12a-hexaidro[1,4]dioxino[2,3-*b*]furo[3',2':3,4]nafto[1,2-*e*][1,4]dioxina).

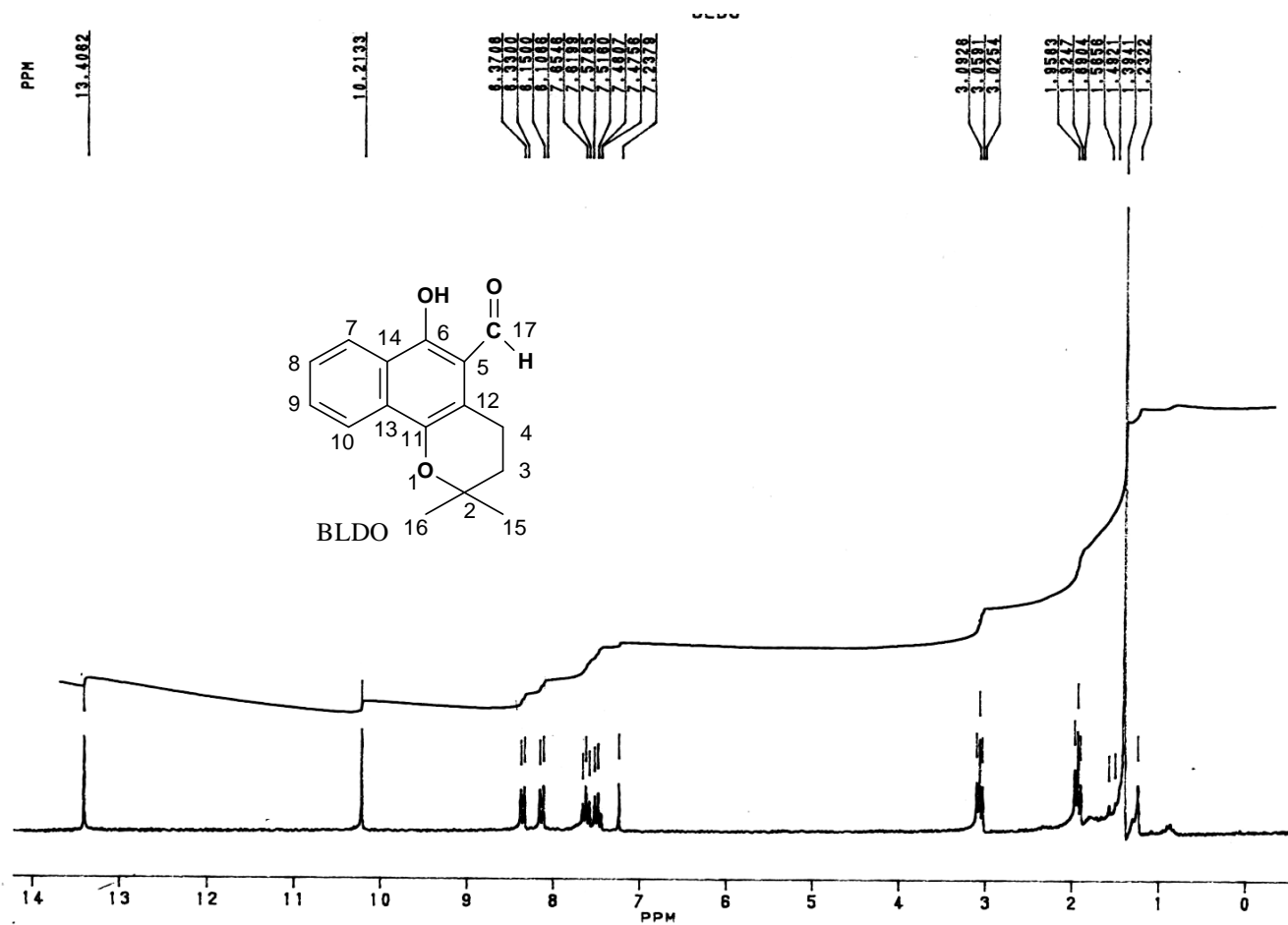




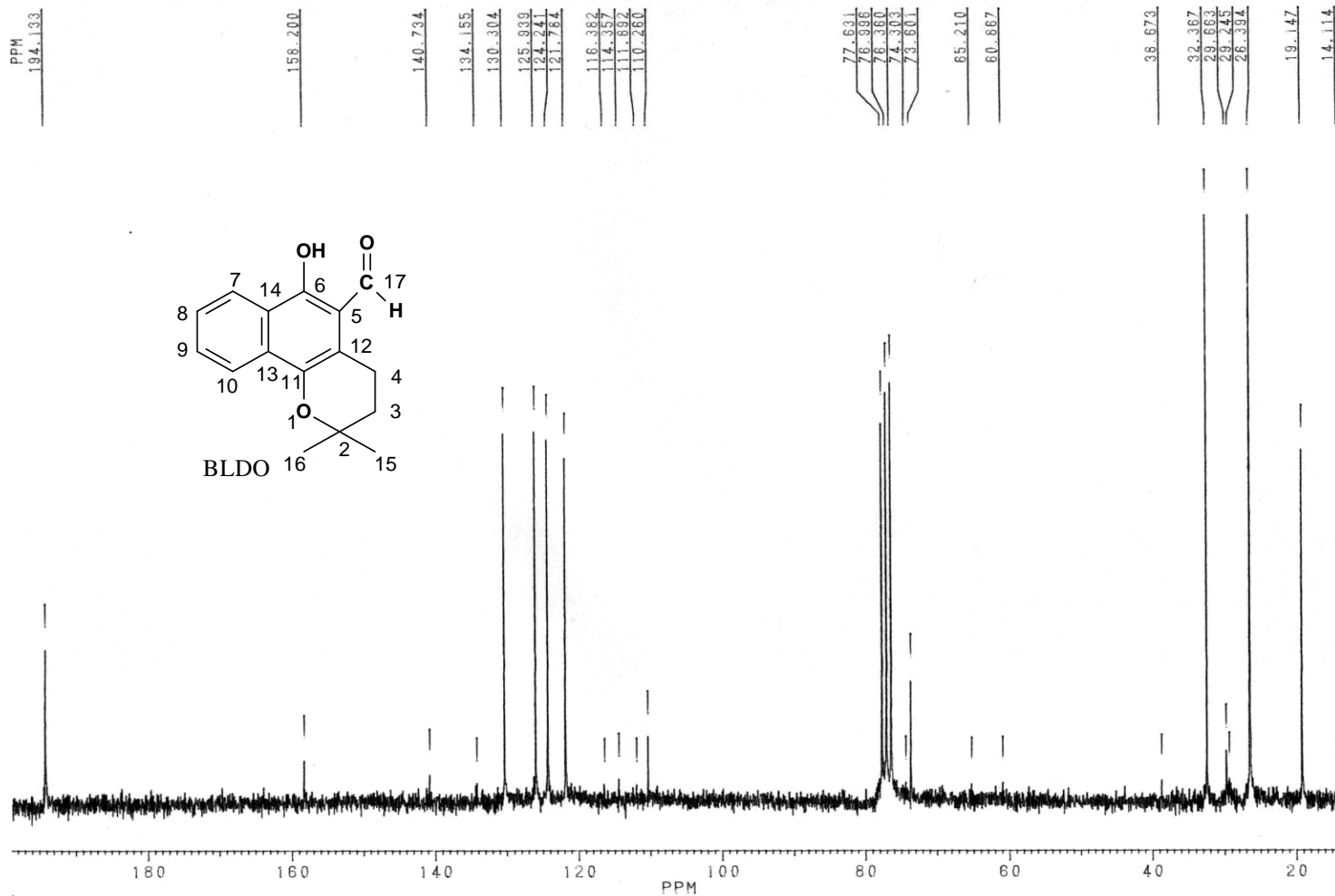
**Espectro 82** – EM do BLDO (10-hidroxi-6,6-dimetil-5,6,7,8-tetraidrofenantreno-9-carbaldeído).



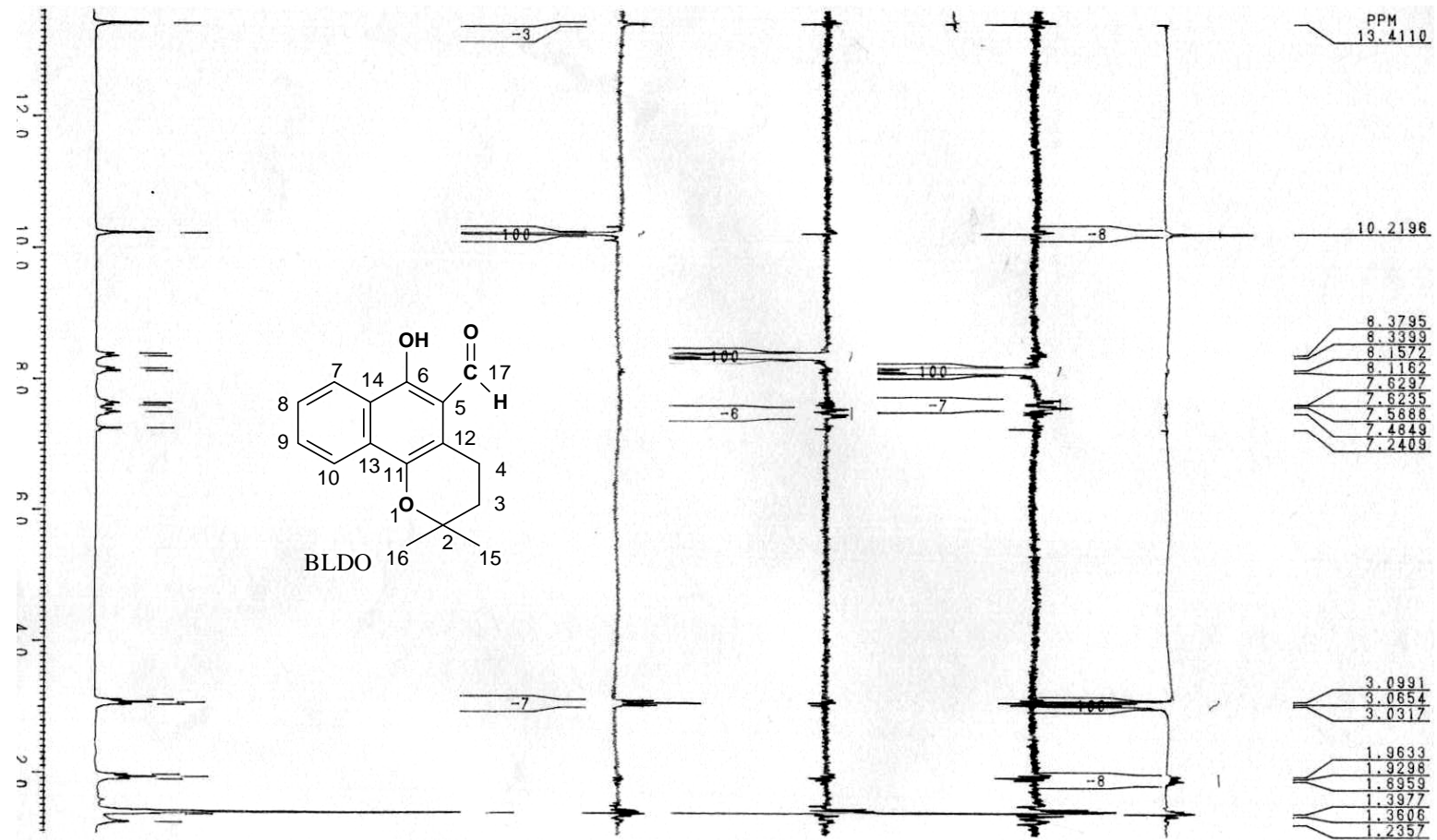
**Espectro 83 – IV do BLDO (10-hidroxi-6,6-dimetil-5,6,7,8-tetraidrofenantreno-9-carbaldeído).**



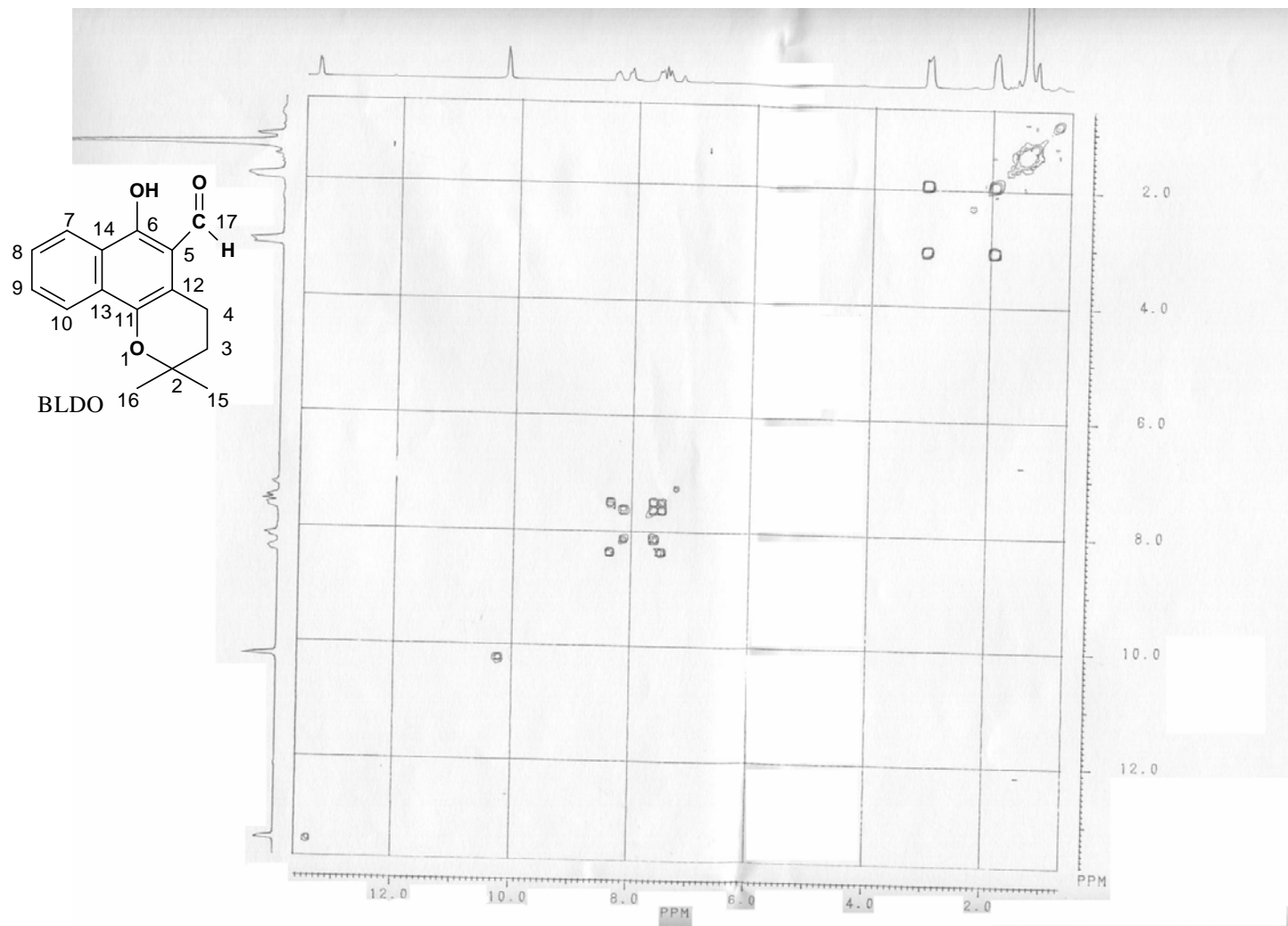
Espectro 84 – RMN <sup>1</sup>H (200 MHz) do BLDO (10-hidroxi-6,6-dimetil-5,6,7,8-tetraidrofenantreno-9-carbaldeído).



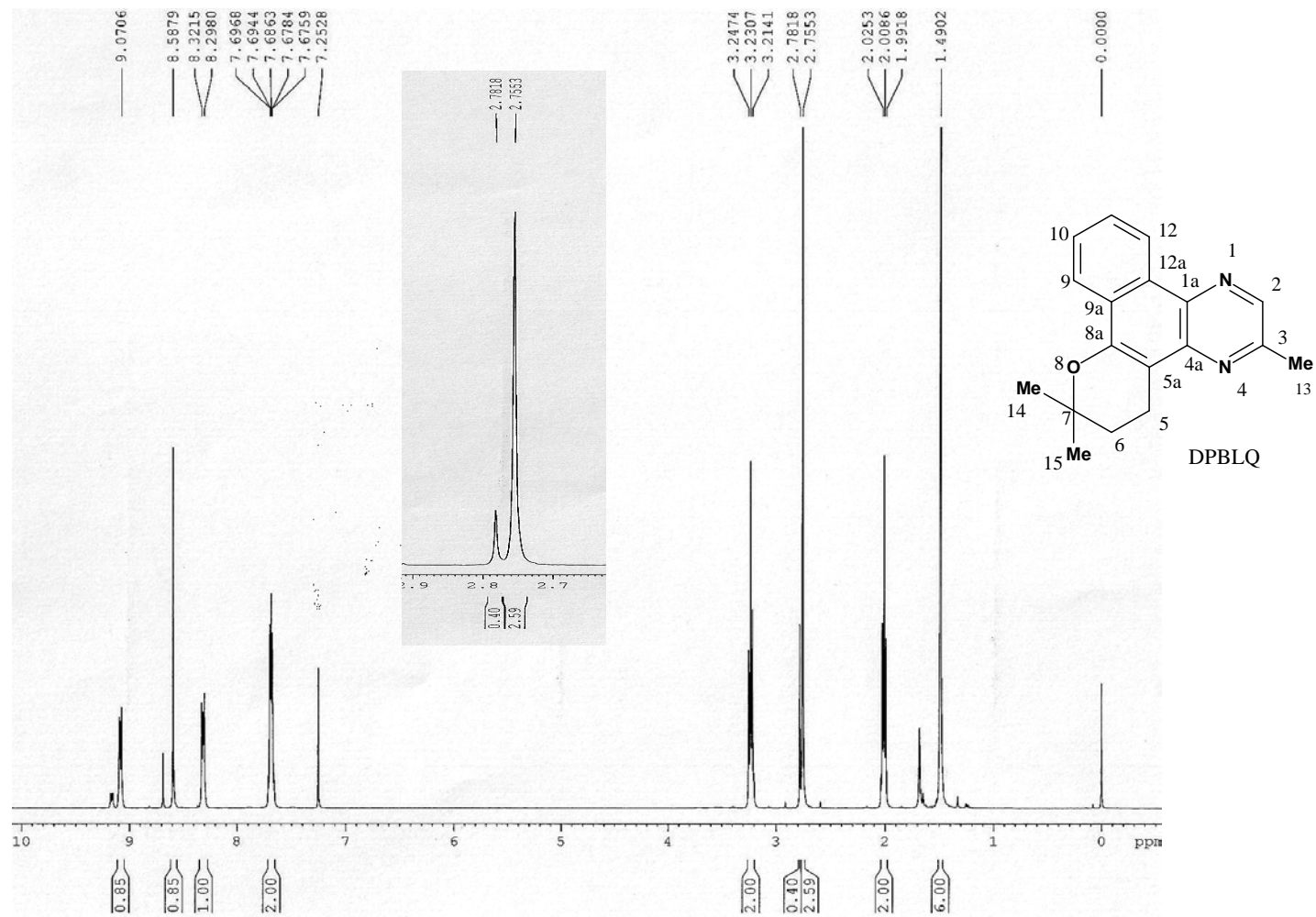
Espectro 85 – RMN <sup>13</sup>C (50,3 MHz) do BLDO (10-hidroxi-6,6-dimetil-5,6,7,8-tetraidrofenantreno-9-carbaldeído)..



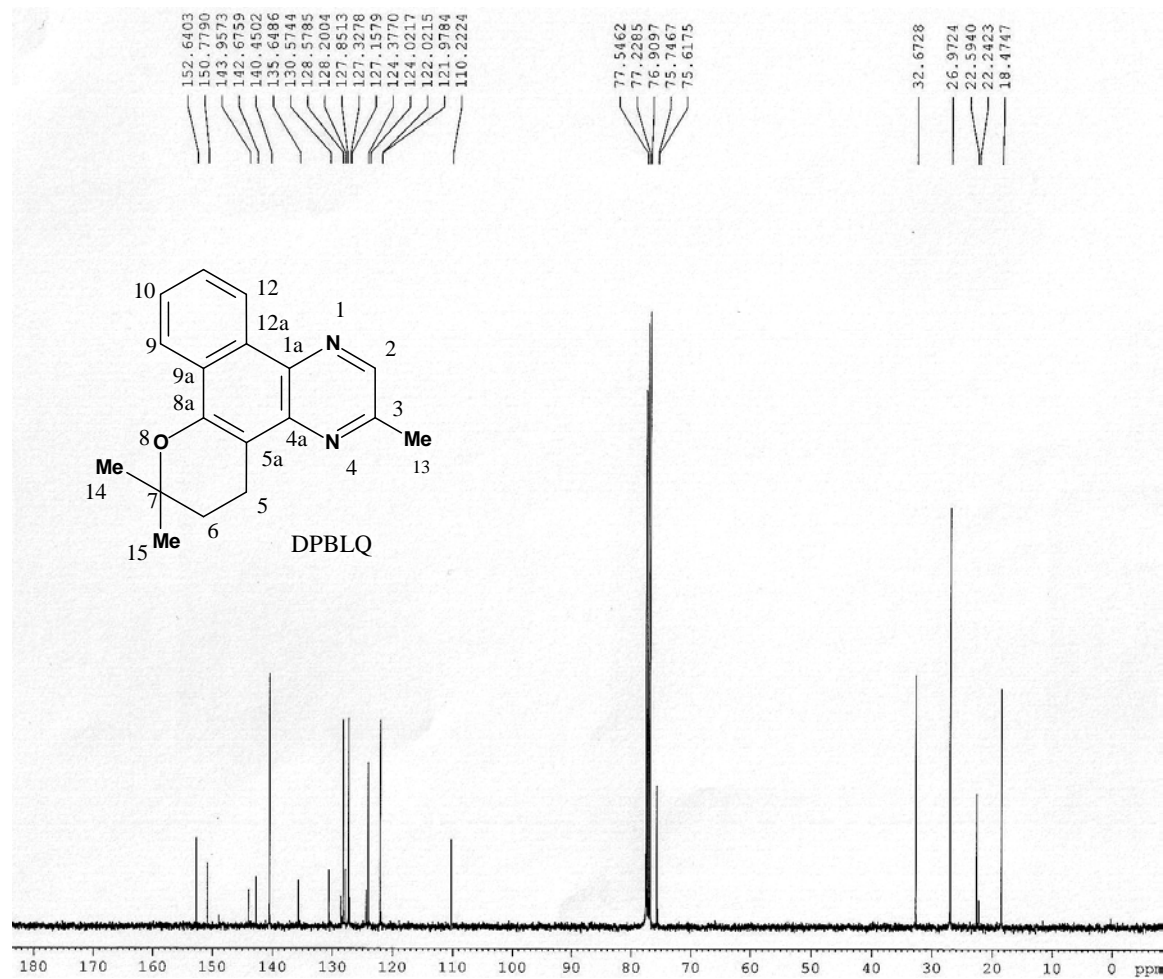
Espectro 86 - NOE do BLDO (10-hidroxi-6,6-dimetil-5,6,7,8-tetraidrofenantreno-9-carbaldeído).



**Espectro 87** – HOMOCOSY  $^1\text{H}$ - $^1\text{H}$  do BLDO (10-hidroxi-6,6-dimetil-5,6,7,8-tetraidrofenantreno-9-carbaldeído).

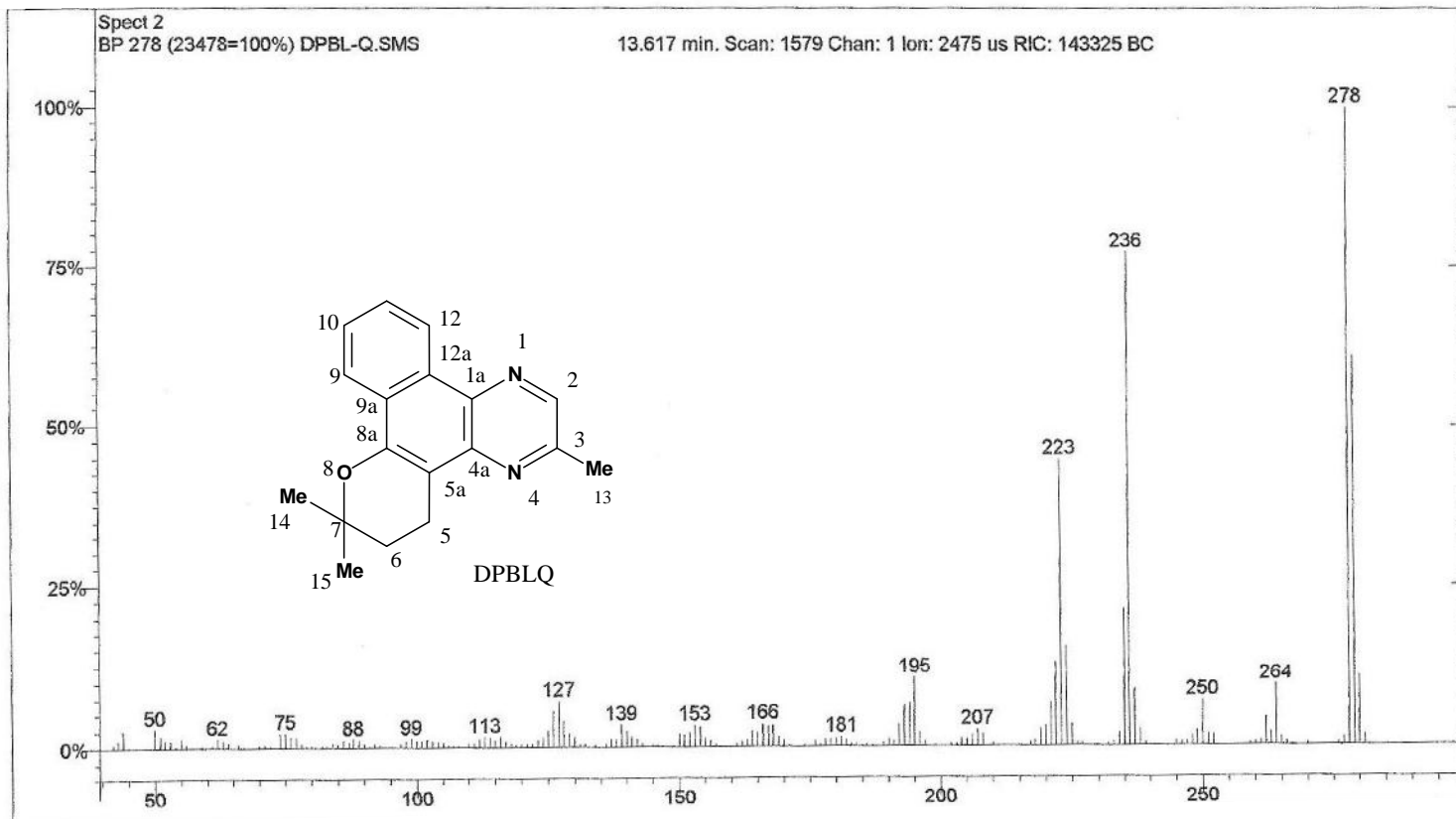


**Espectro 88** – RMN <sup>1</sup>H do DPBLQ (400 MHz) (3,7,7-trimetil-6,7-di-hidro-5H-benzo[f]pirano[2,3-h]quinoxalina).



**Espectro 89** – RMN  $^{13}\text{C}$  do de DPBLQ (100,6 MHz) (3,7,7-trimetil-6,7-di-hidro-5H-benzo[f]pirano[2,3-h]quinoxalina).



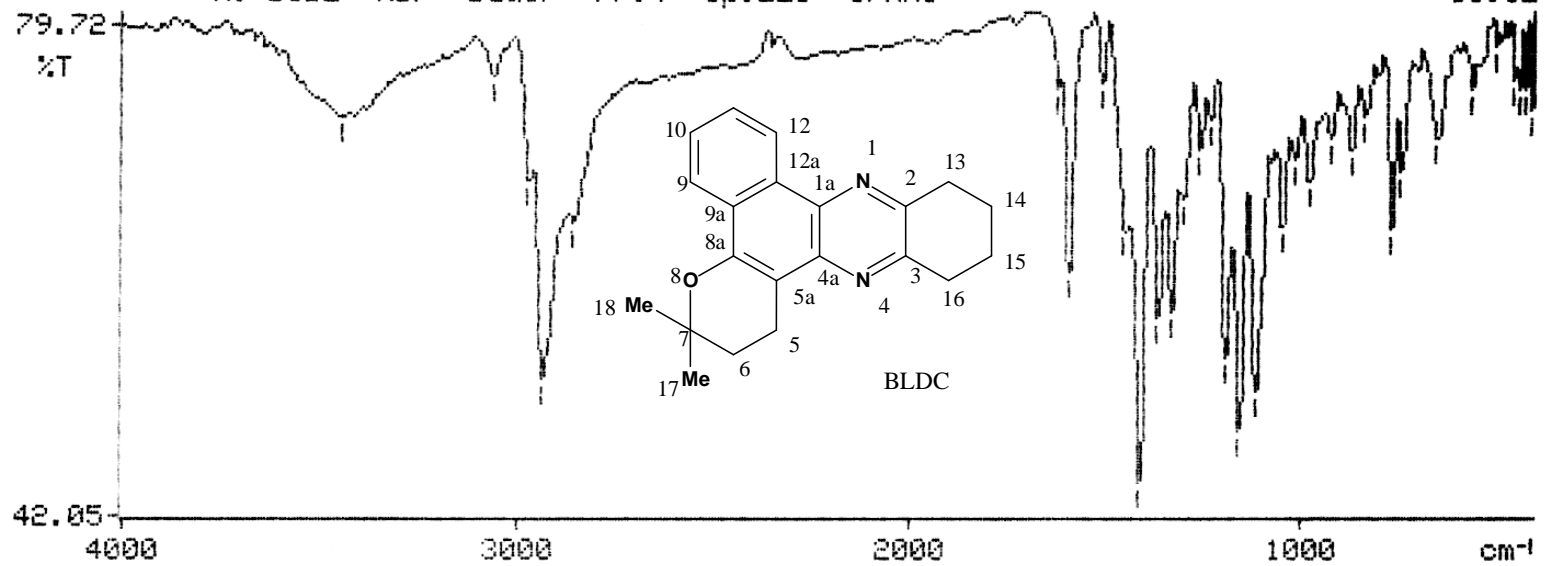


Espectro 90 – EM do DPBLQ (3,7,7-trimetil-6,7-di-hidro-5H-benzo[*f*]pirano[2,3-*h*]quinoxalina).

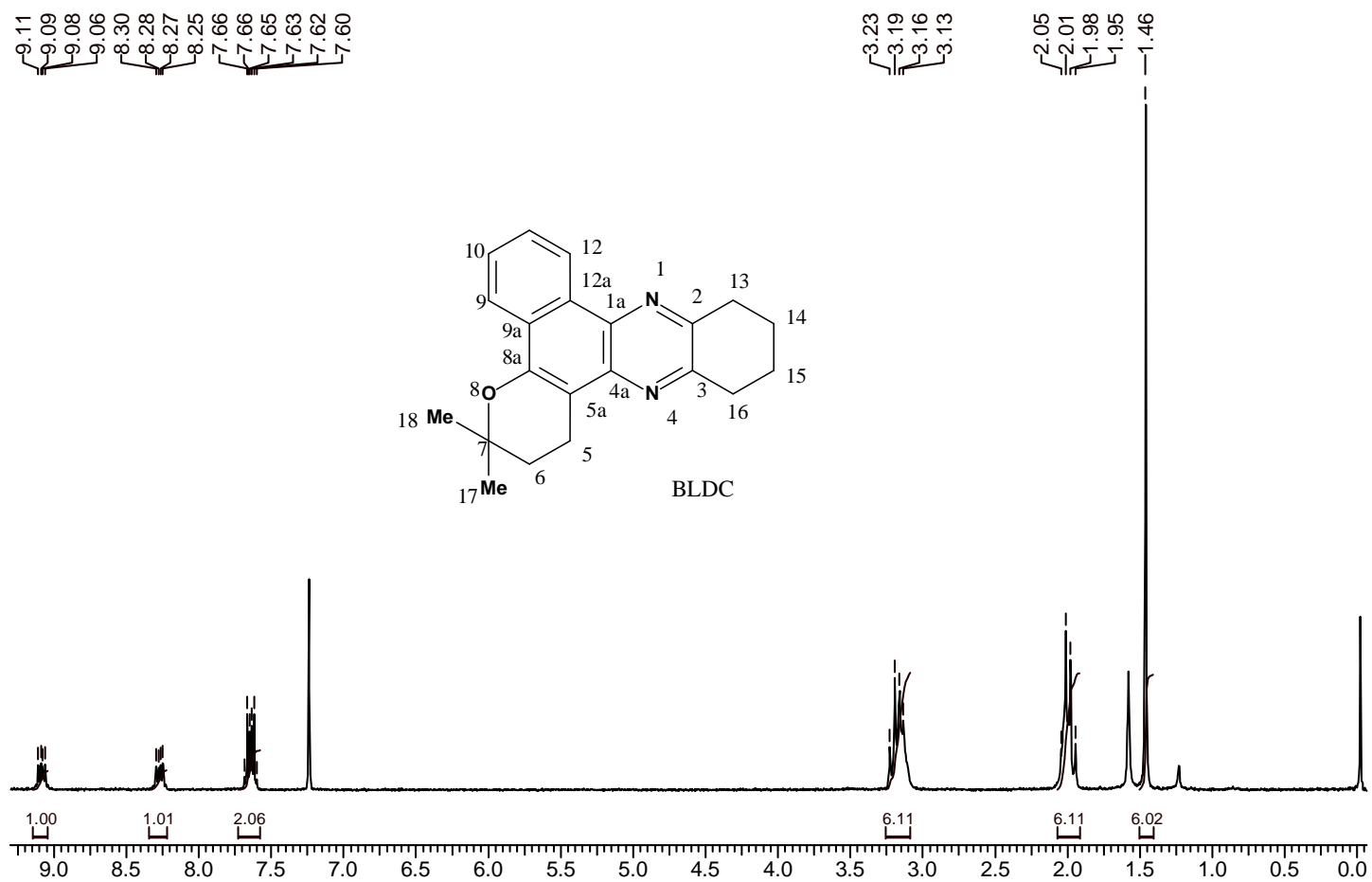
3447.9, 3064.8, 2973.5, 2939.7, 2860.8, 1621.0, 1595.9, 1510.1=  
 1450.3, 1412.8, 1366.5, 1333.5, 1302.4, 1259.6, 1233.9, 1195.6, 1158.4=  
 1118.4, 1050.0, 1016.0, 980.6, 924.6, 872.8, 838.5, 769.6, 744.4=  
 650.5, 562.4, 500.6, 453.8, 440.2, 424.0, 408.5=

X: DCBL KBr Bauer 7794 Op.ELI UFRRJ

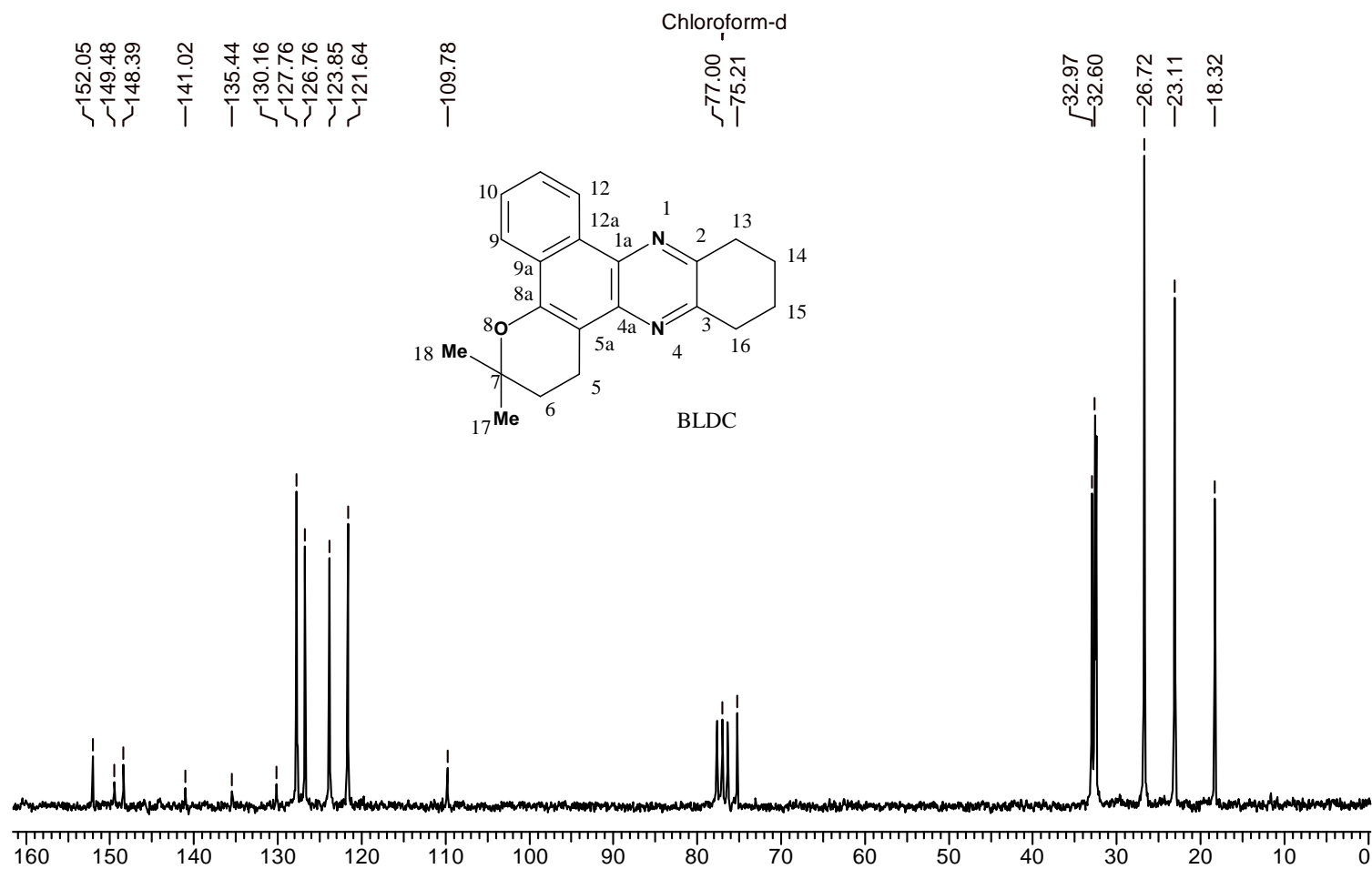
15:32



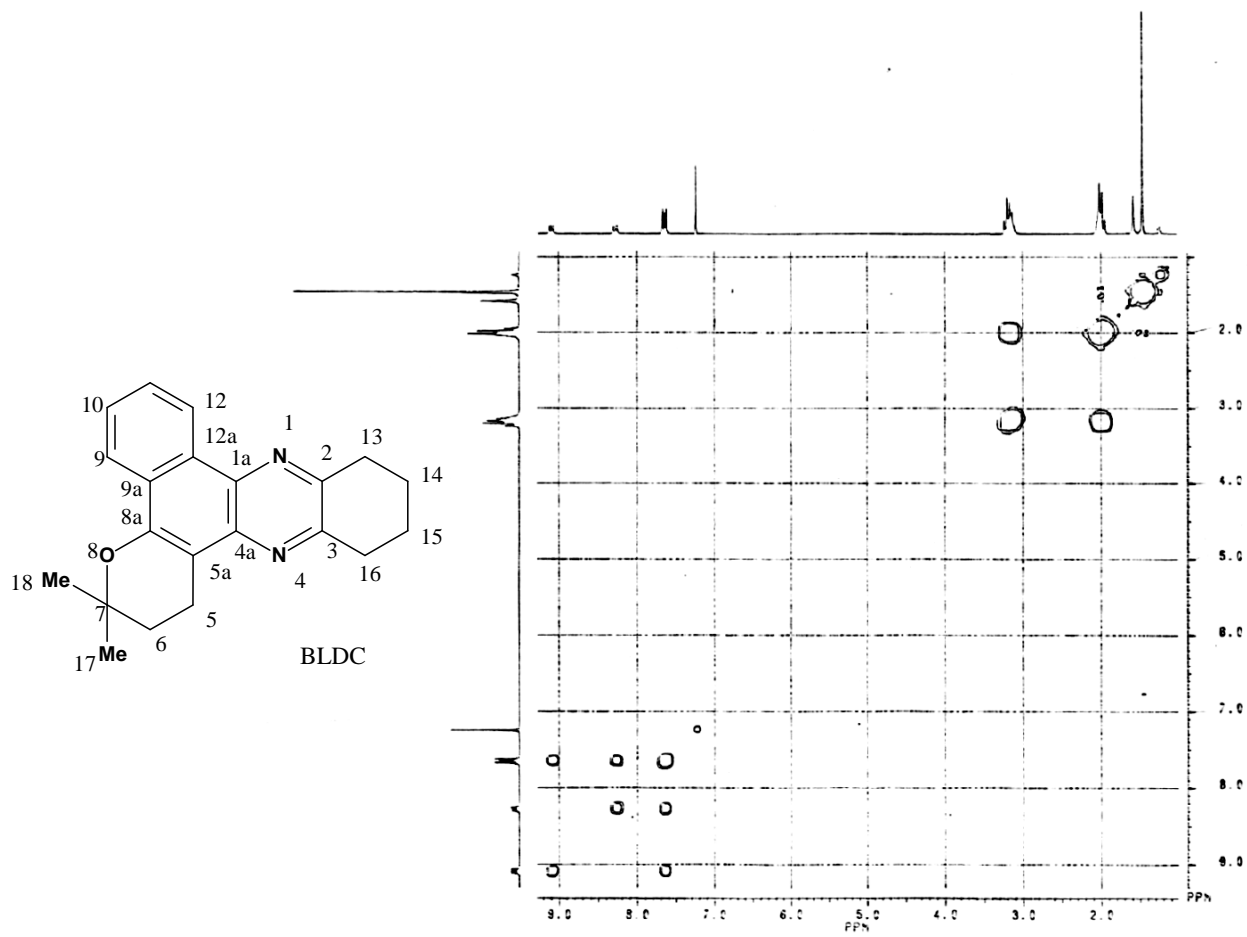
**Espectro 91 - IV** do BLDC (3,3-dimetil-2,3,10,11,12,13-hexaidro-1H-benzo[a]pirano[2,3-c]fenazina).



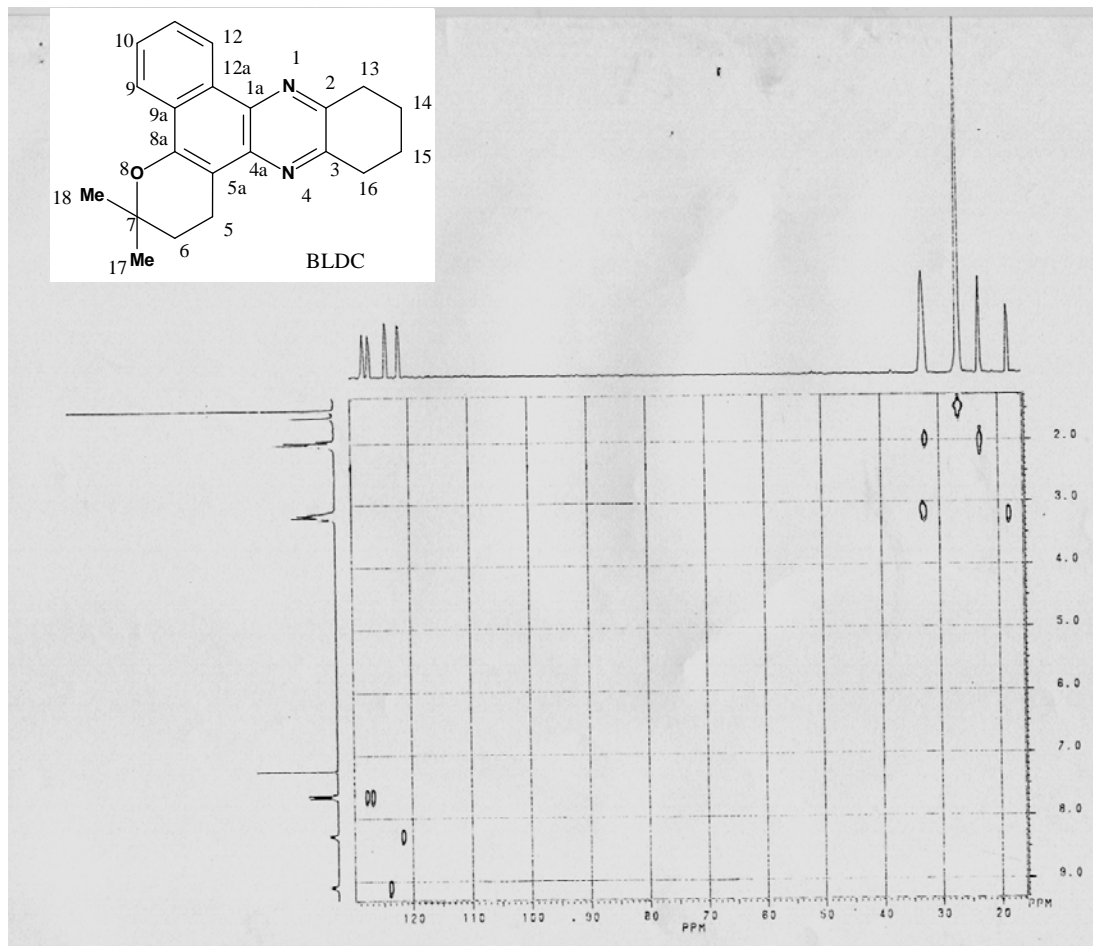
**Espectro 92** – RMN <sup>1</sup>H (200 MHz) do BLDC (3,3-dimetil-2,3,10,11,12,13-hexaidro-1H-benzo[a]pirano[2,3-c]fenazina).



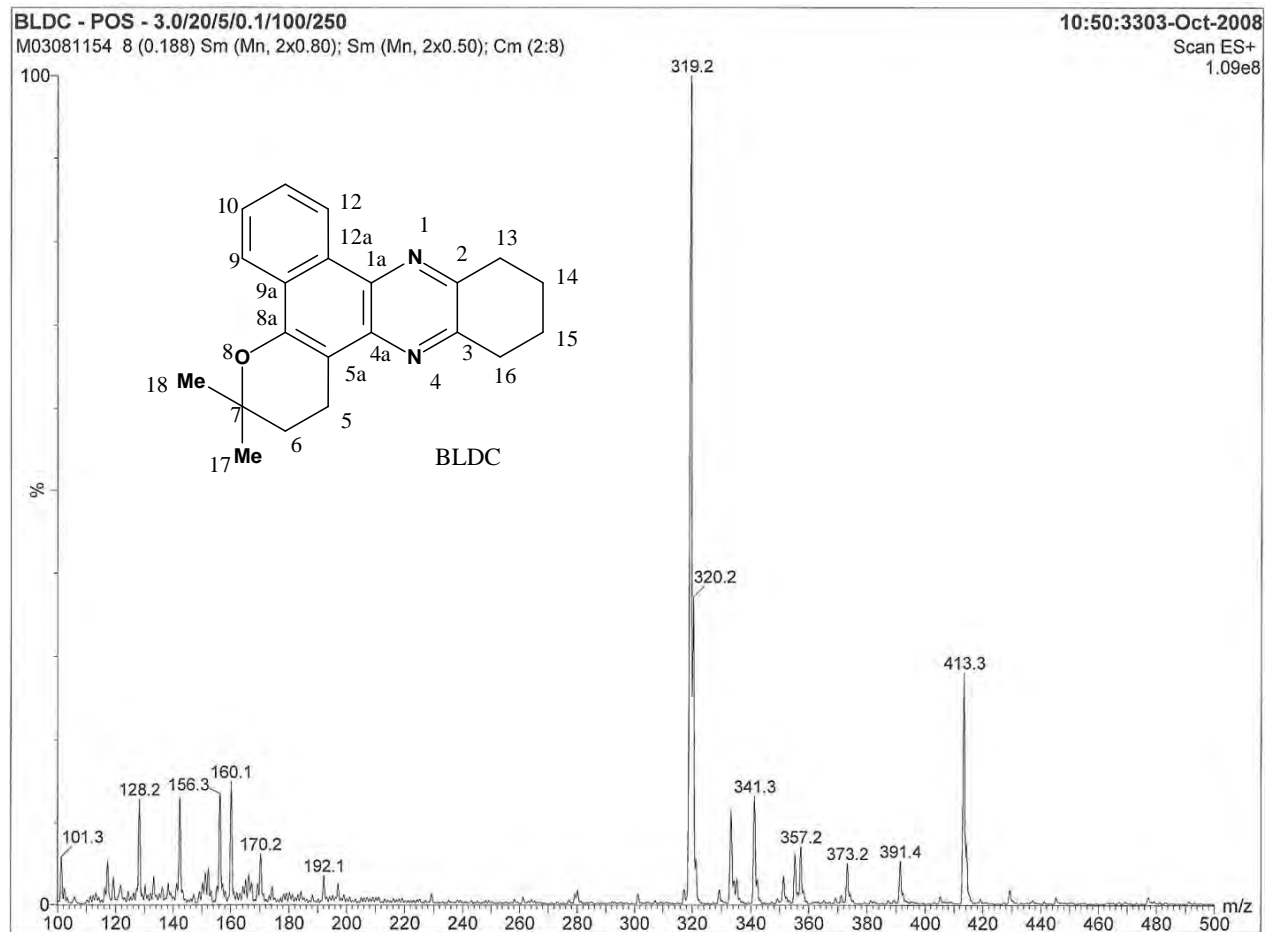
Espectro 93 – RMN  $^{13}\text{C}$  (50,3 MHz) do BLDC (3,3-dimetil-2,3,10,11,12,13-hexaidro-1*H*-benzo[*a*]pirano[2,3-*c*]fenazina).



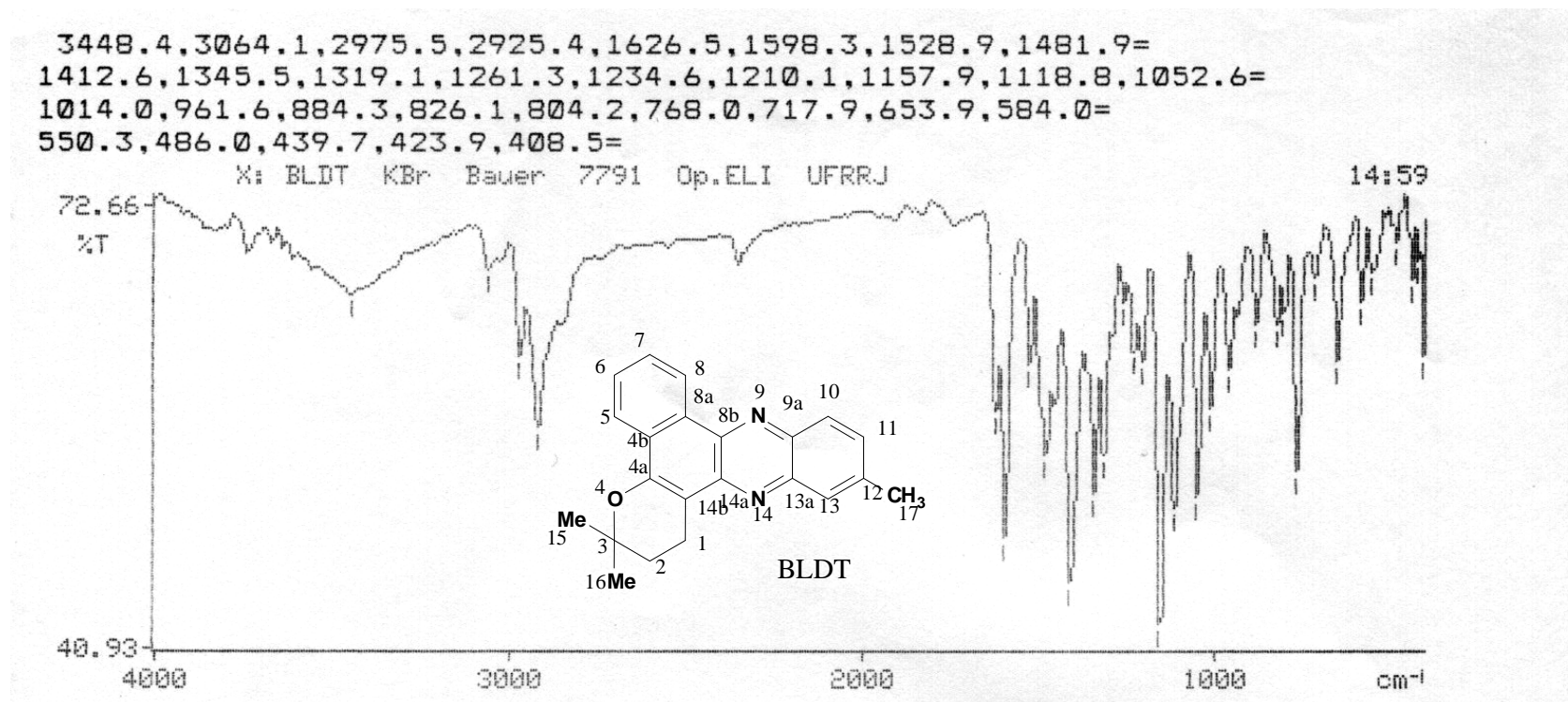
Espectro 94 – HOMOCOSY do BLDC.



**Espectro 95** – HETCOSY  $^{13}\text{C}$ - $^1\text{H}$  ( $^1J$ ) de BLDC (3,3-dimetil-2,3,10,11,12,13-hexaidro-1H-benzo[a]pirano[2,3-c]fenazina).

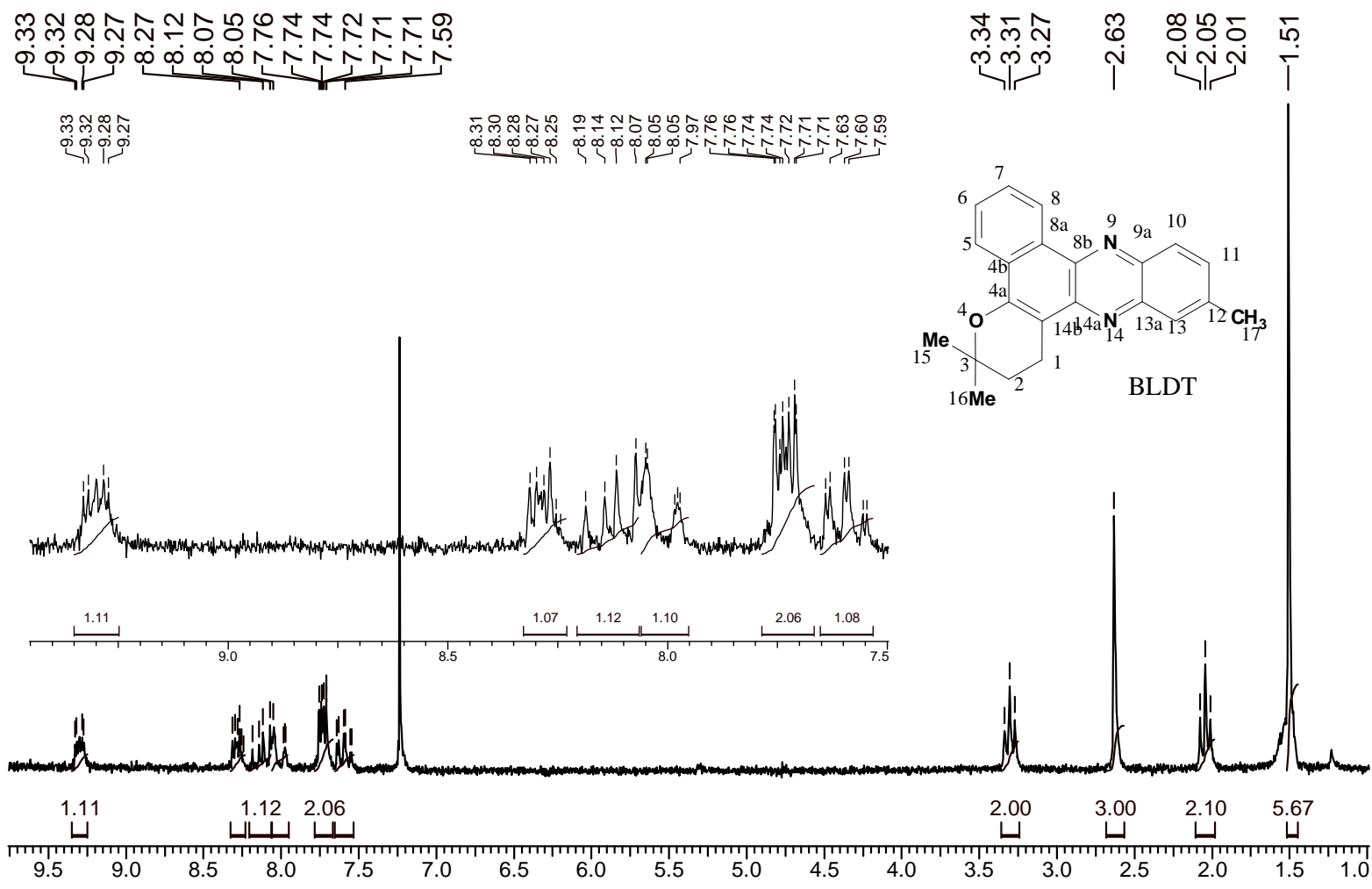


**Espectro 96** – EM por nebulização de elétrons (ES) do BLDC , onde temos  $[M+1]^+ = 319,2$  e  $[M+23]^+ = 341,3$  sendo ( $M = 318 \text{ g mol}^{-1}$ ).

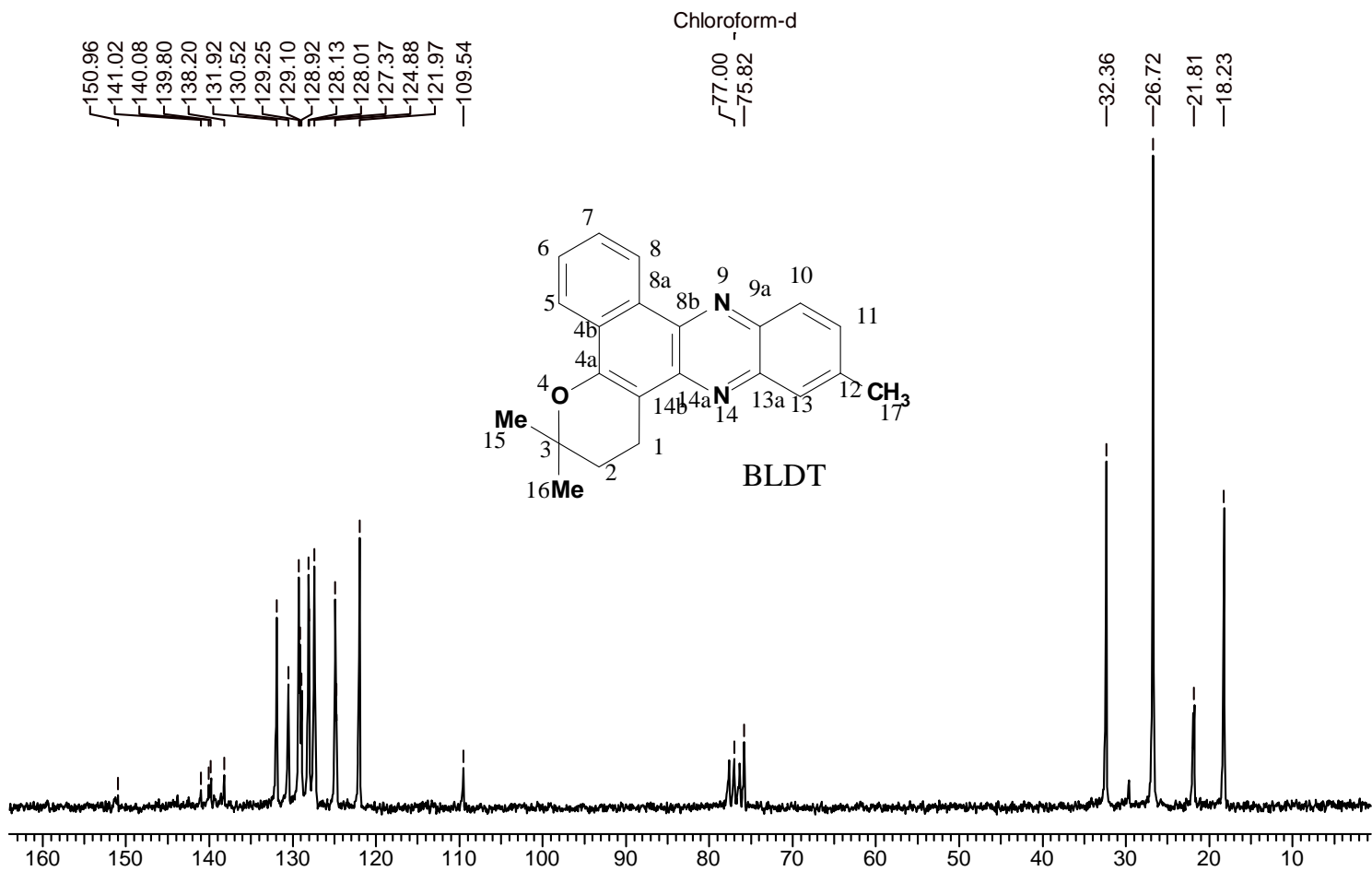


**Espectro 97 – IV** do BLDT (3,3,12-trimetil-2,3-di-hidro-1*H*-benzo[*a*] pirano[2,3-*c*]fenazina).

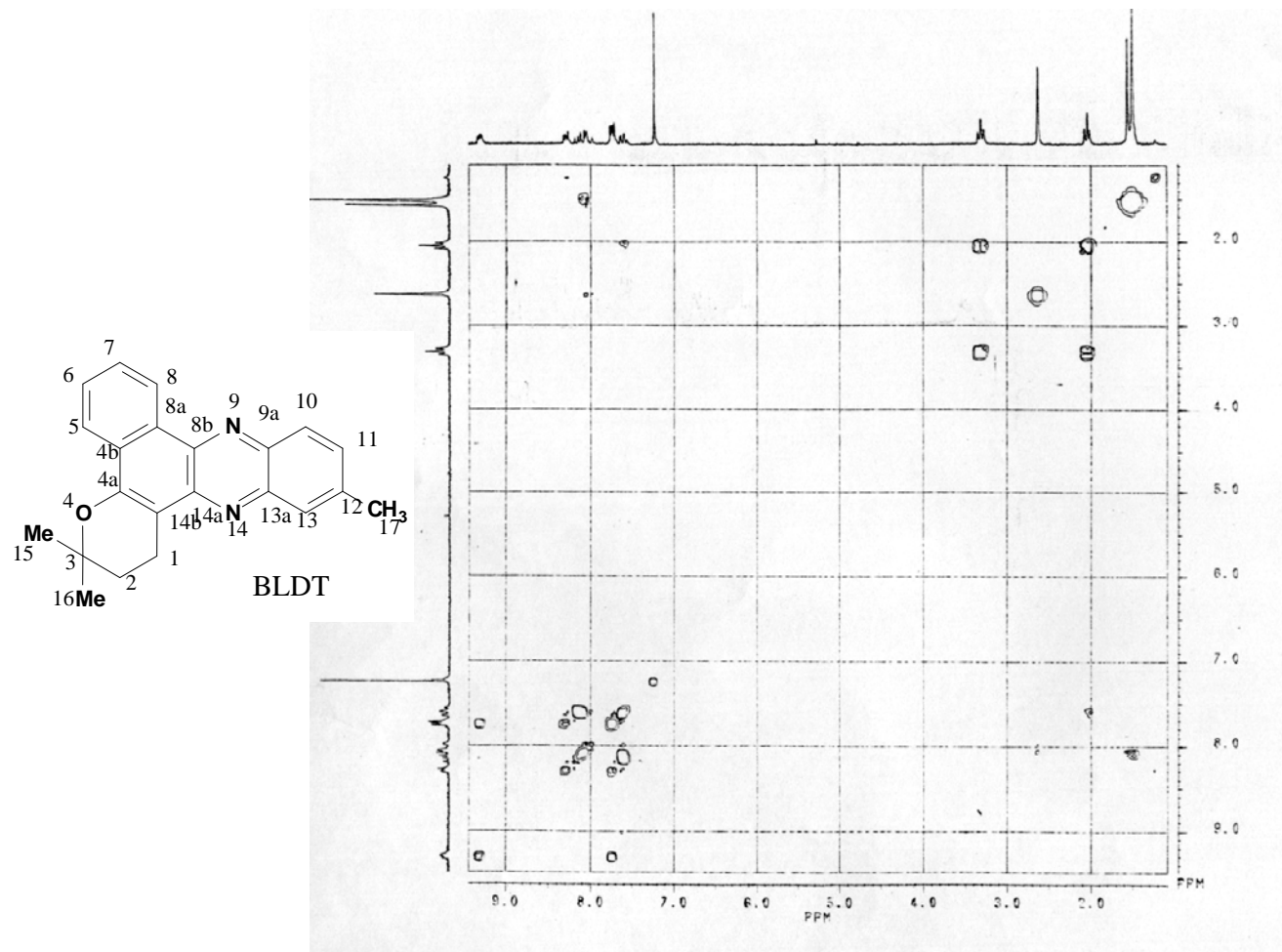




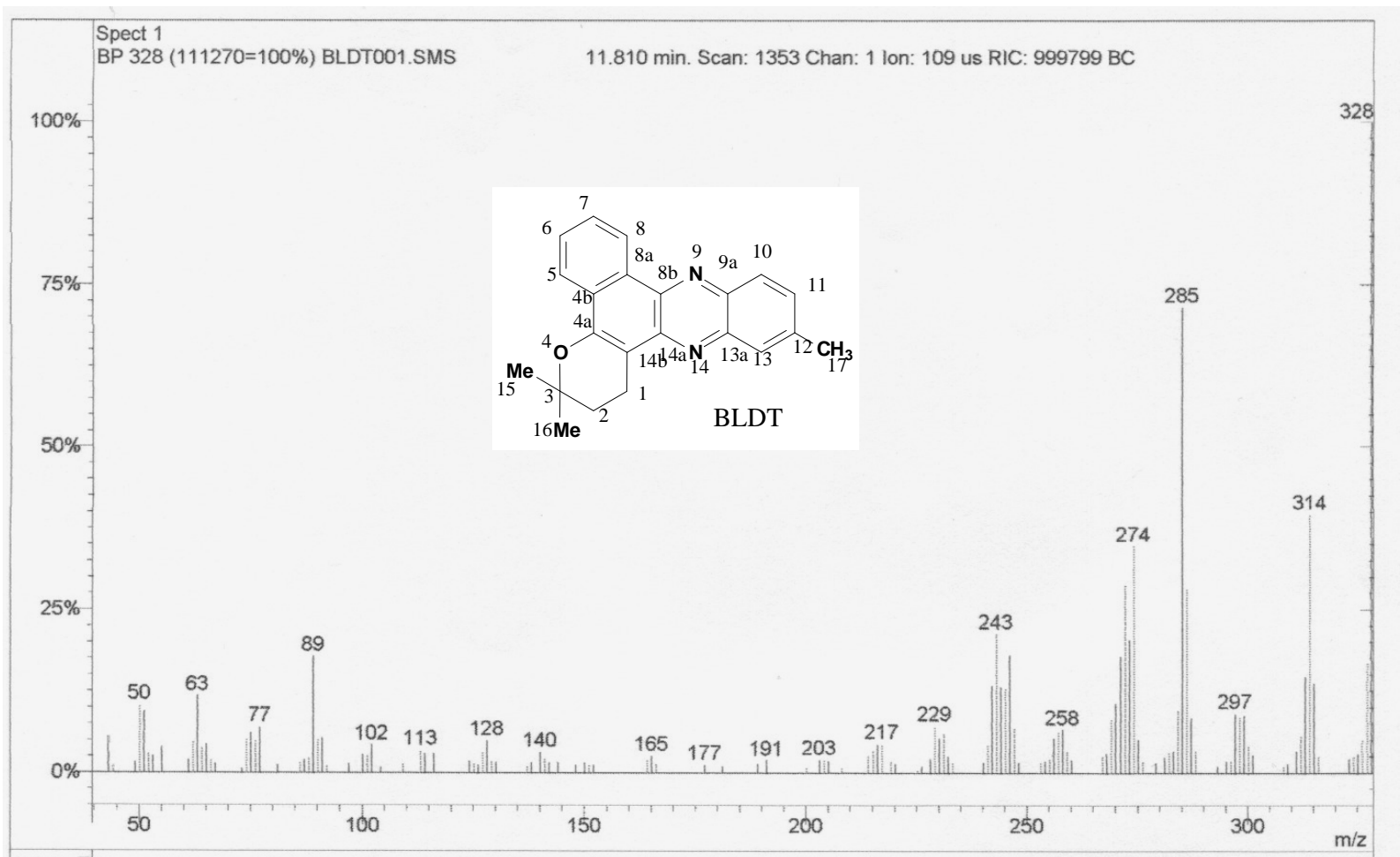
Espectro 98 – RMN <sup>1</sup>H (200 MHz), com ampliação da região aromática, do BLDT(3,3,12-trimetil-2,3-di-hidro-1H-benzo[a] pirano[2,3-c]fenazina).



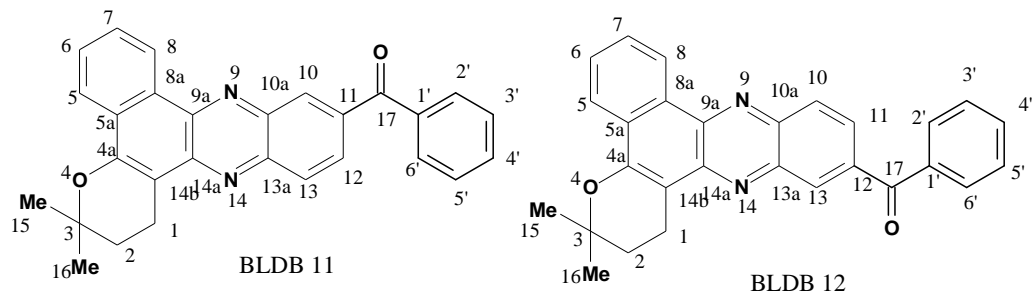
**Espectro 99** – RMN <sup>13</sup>C (50,3 MHz) do BLDT (3,3,12-trimetil-2,3-di-hidro-1H-benzo[*a*] pirano[2,3-*c*]fenazina).



**Espectro 100** – COSY  $^1\text{H}$ - $^1\text{H}$  do BLDT (3,3,12-trimetil-2,3-di-hidro-1*H*-benzo[*a*] pirano[2,3-*c*]fenazina).

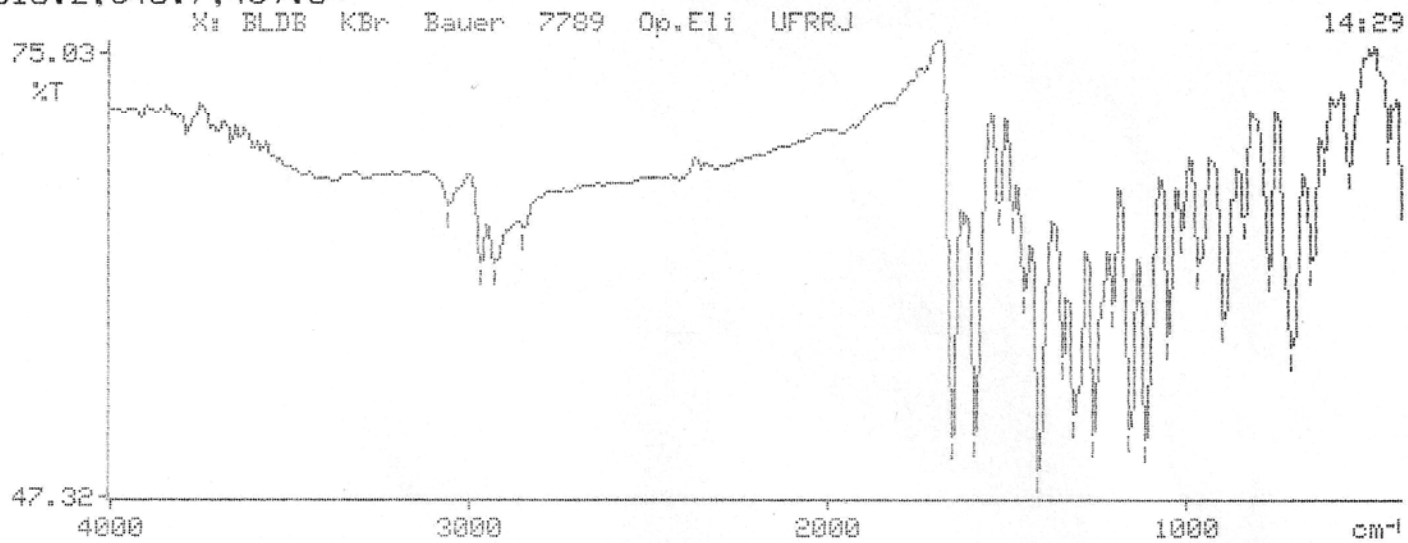


**Espectro 101** –E.M. do BLDT (3,3,12-trimetil-2,3-di-hidro-1H-benzo[a] pirano[2,3-c]fenazina).

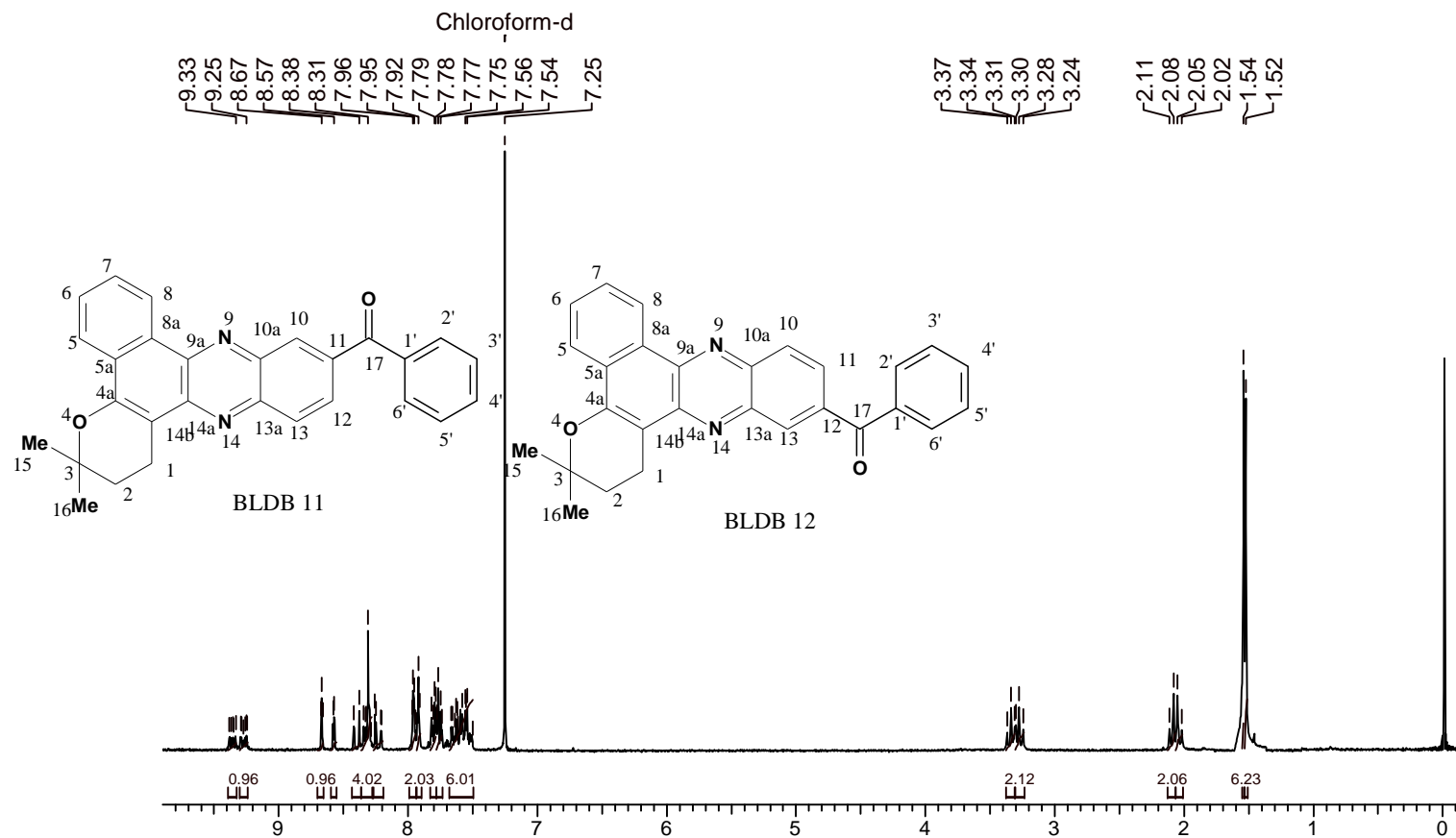


3060.0, 2971.1, 2930.9, 2853.8, 1655.1, 1592.5, 1526.5, 1487.9=  
 1453.8, 1413.9, 1347.5, 1317.6, 1261.5, 1208.2, 1158.4, 1117.5=  
 1053.4, 1016.1, 969.0, 896.5, 842.0, 771.6, 704.9, 650.7=  
 618.2, 548.7, 439.6=

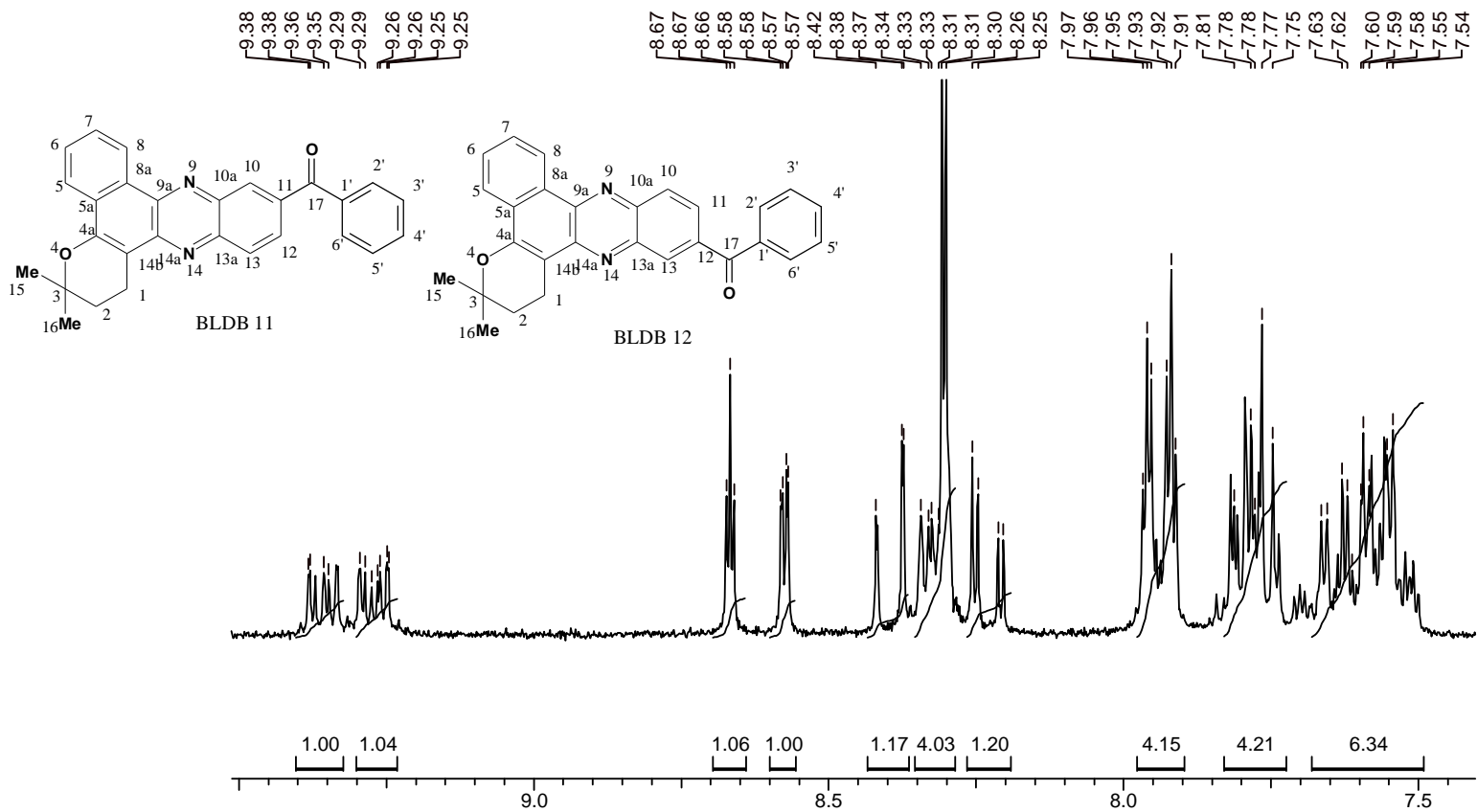
X: BLDB KBr Bauer 7789 Op.Eli UFRRJ



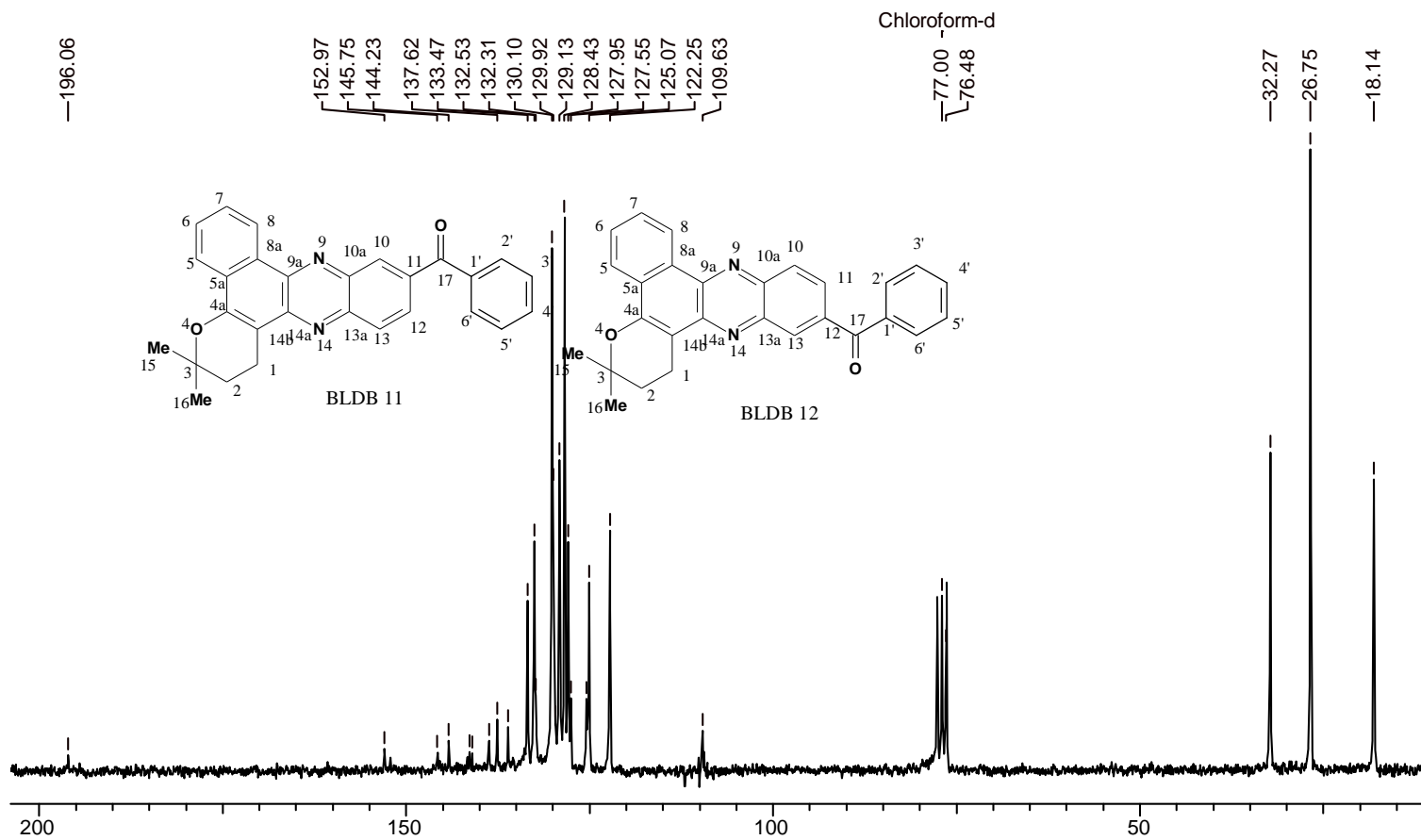
Espectro 102 – IV, em cm<sup>-1</sup>, da mistura de isômeros do BLDB .



Espectro 103 – RMN <sup>1</sup>H (200 MHz) da mistura de isômeros do BLDB.

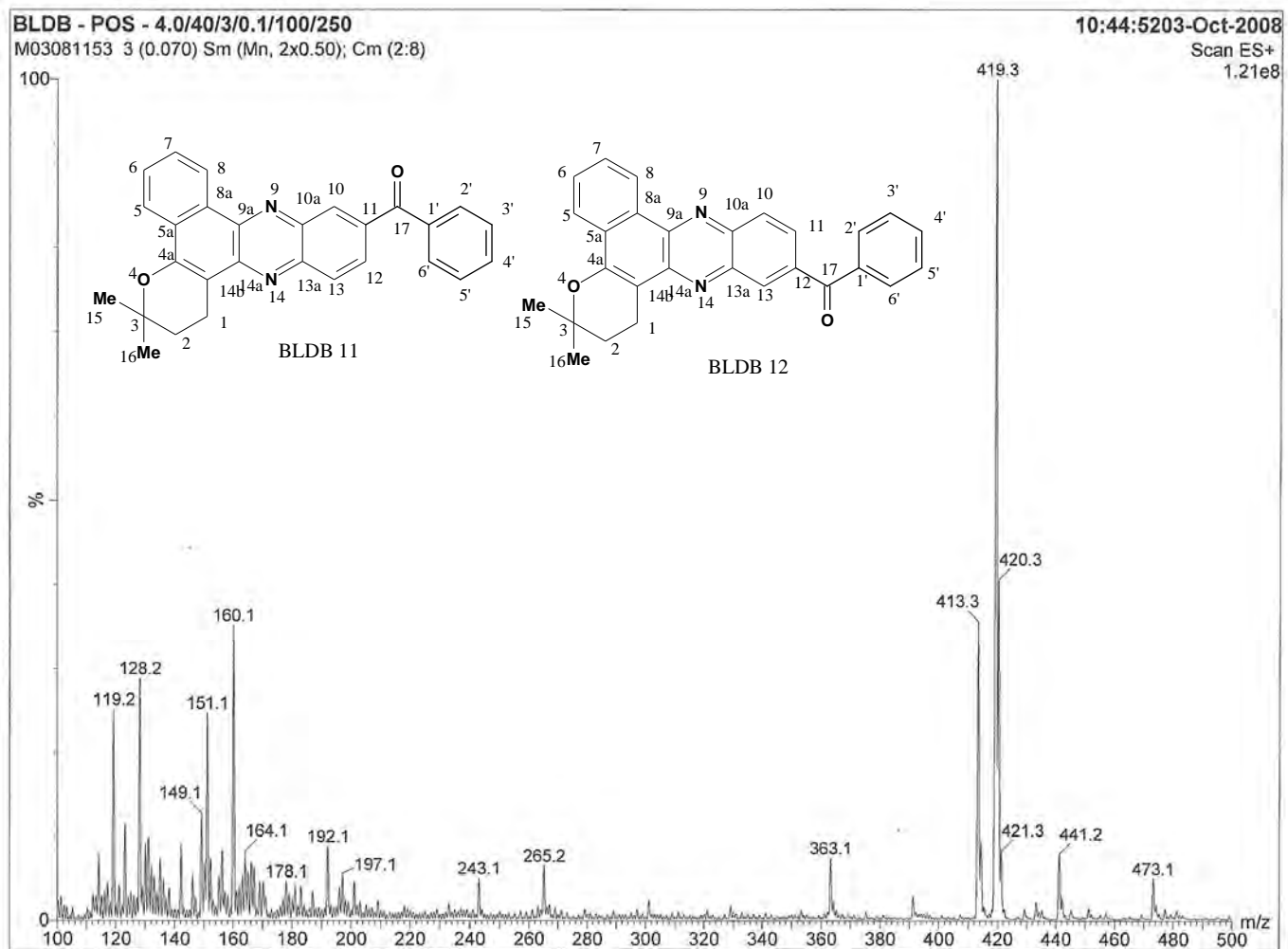


**Espectro 104** – Ampliação da região aromática do espectro de RMN <sup>1</sup>H da mistura de isômeros do BLDB.

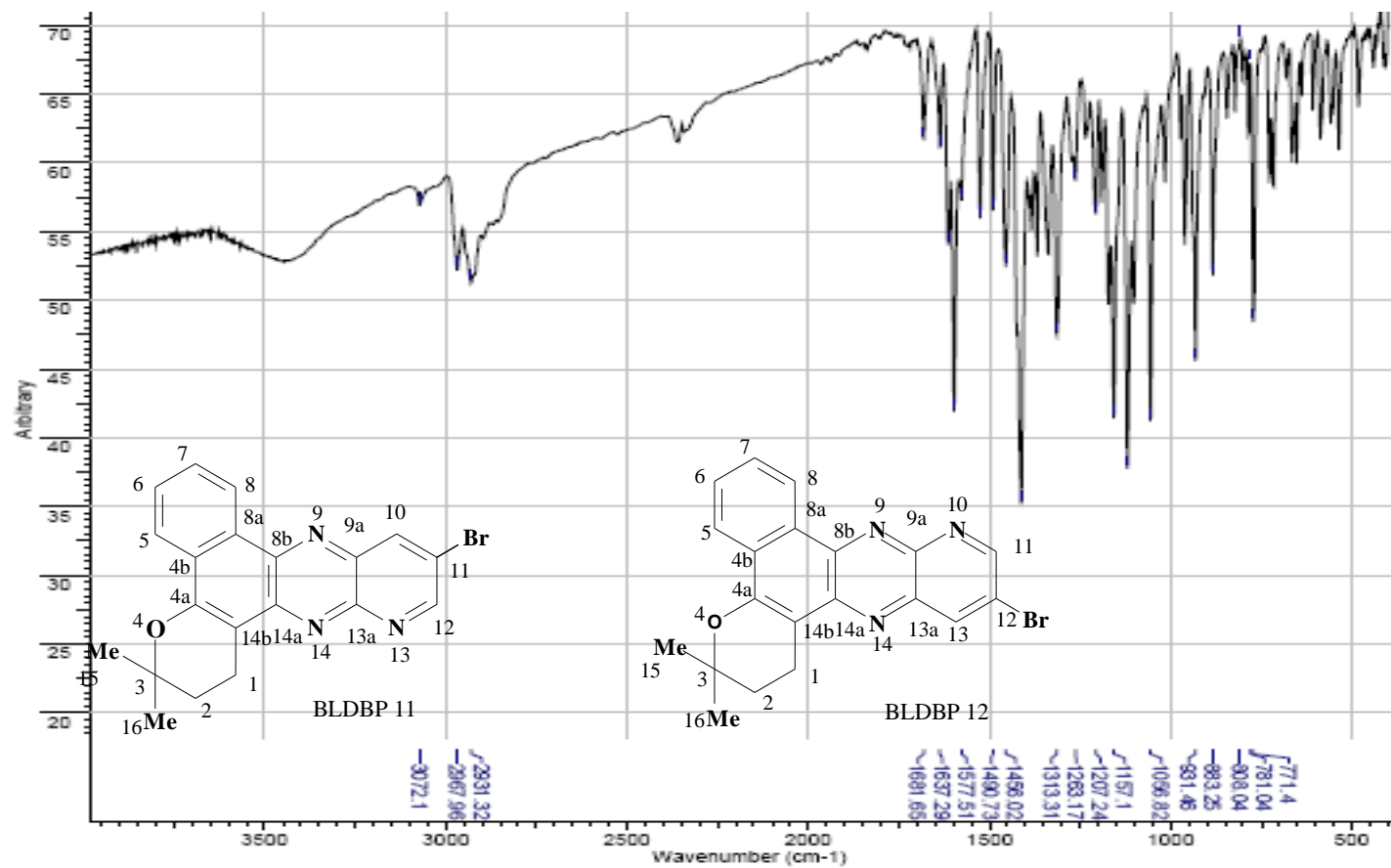


**Espectro 105** – RMN  $^{13}\text{C}$  (50,3 MHz) do BLDB da mistura de isômeros do BLDB.



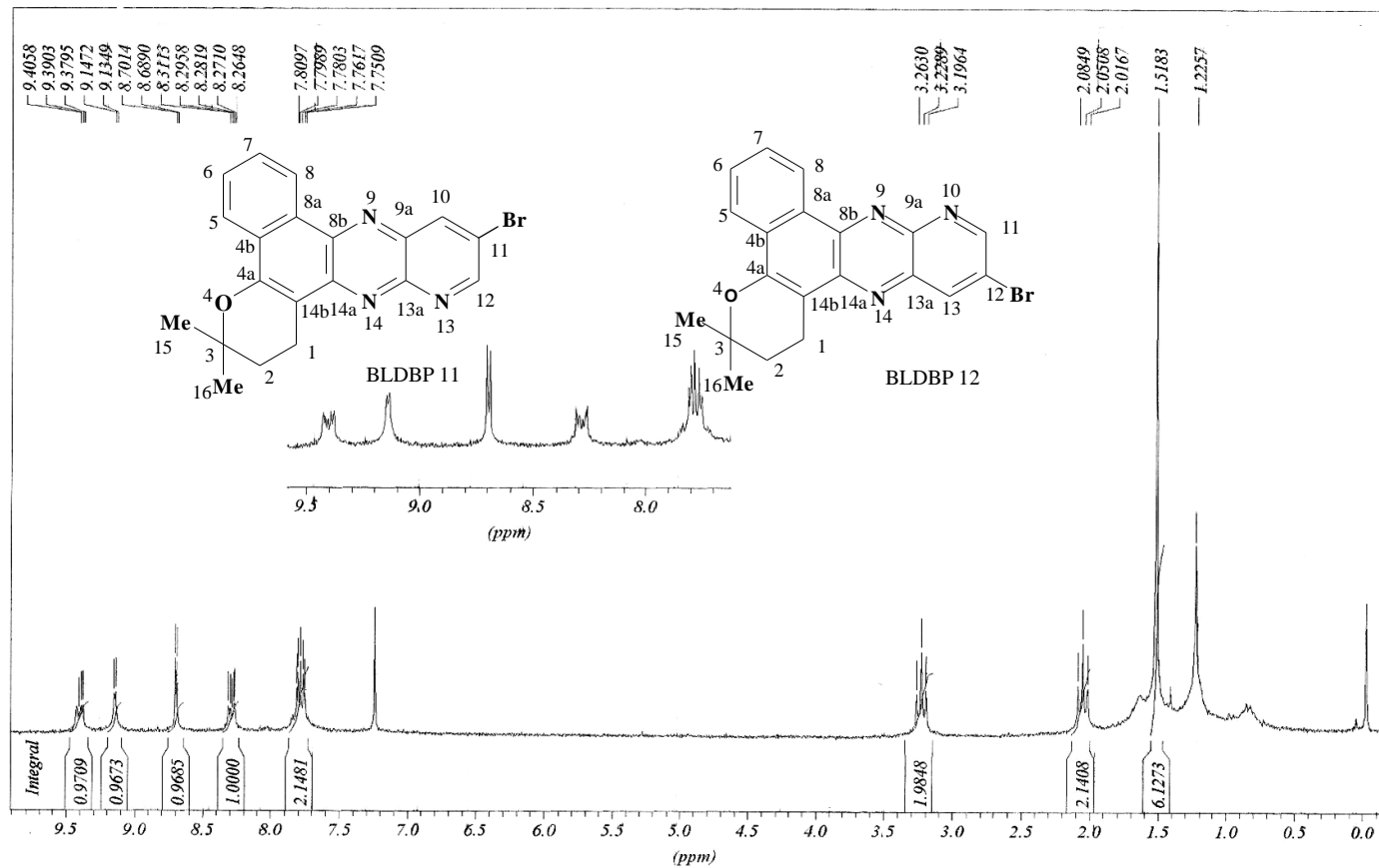


**Espectro 106** – E.M. por nebulização de elétrons (ES) de BLDB, sendo  $MM = 418 \text{ g mol}^{-1}$ , onde  $[M+1] = 419,3$  e  $[M+23] = 441,2$ .



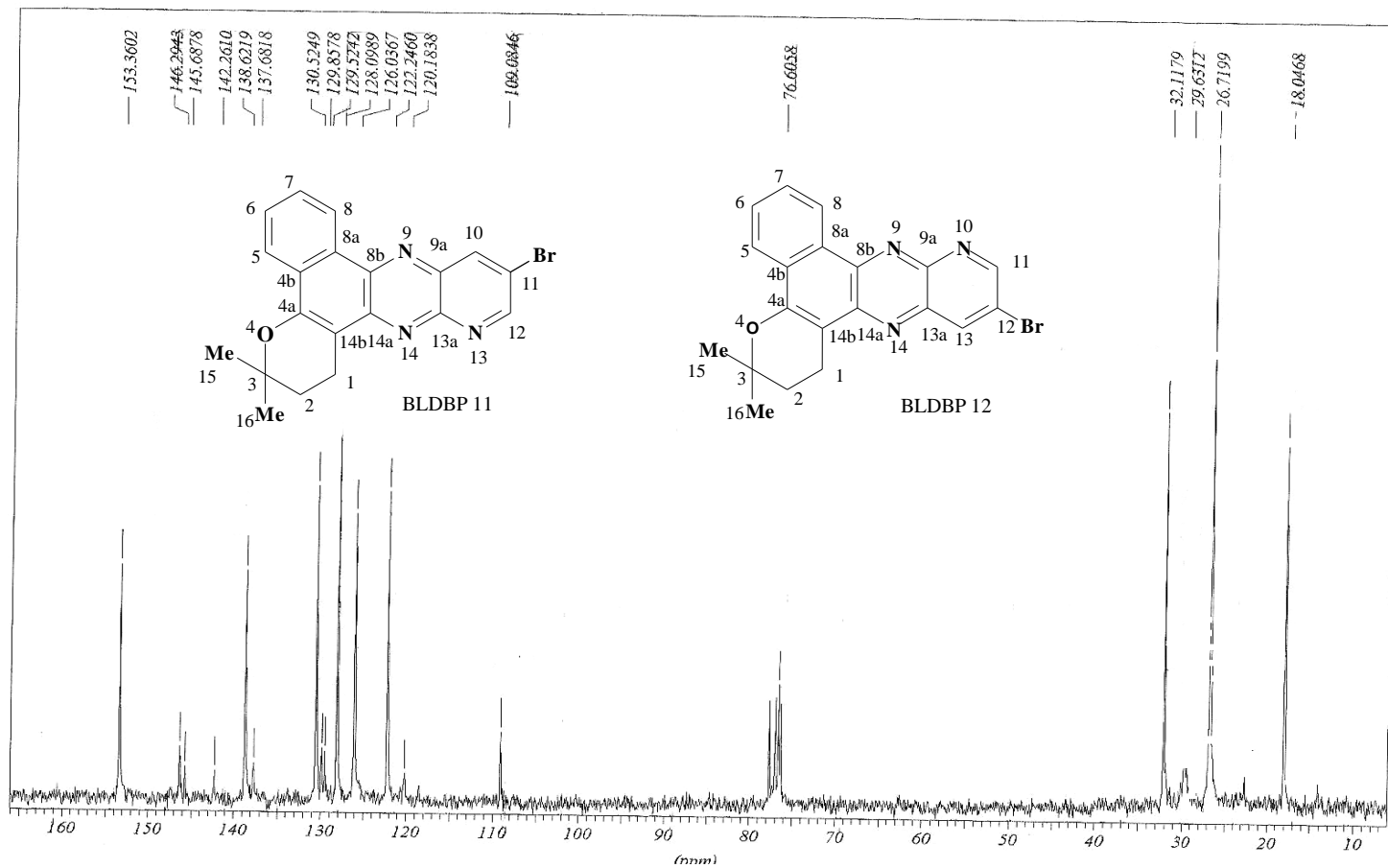
Espectro 107 – IV da primeira fração de BLDBP, composto mais apolar.

F1 BLDBP

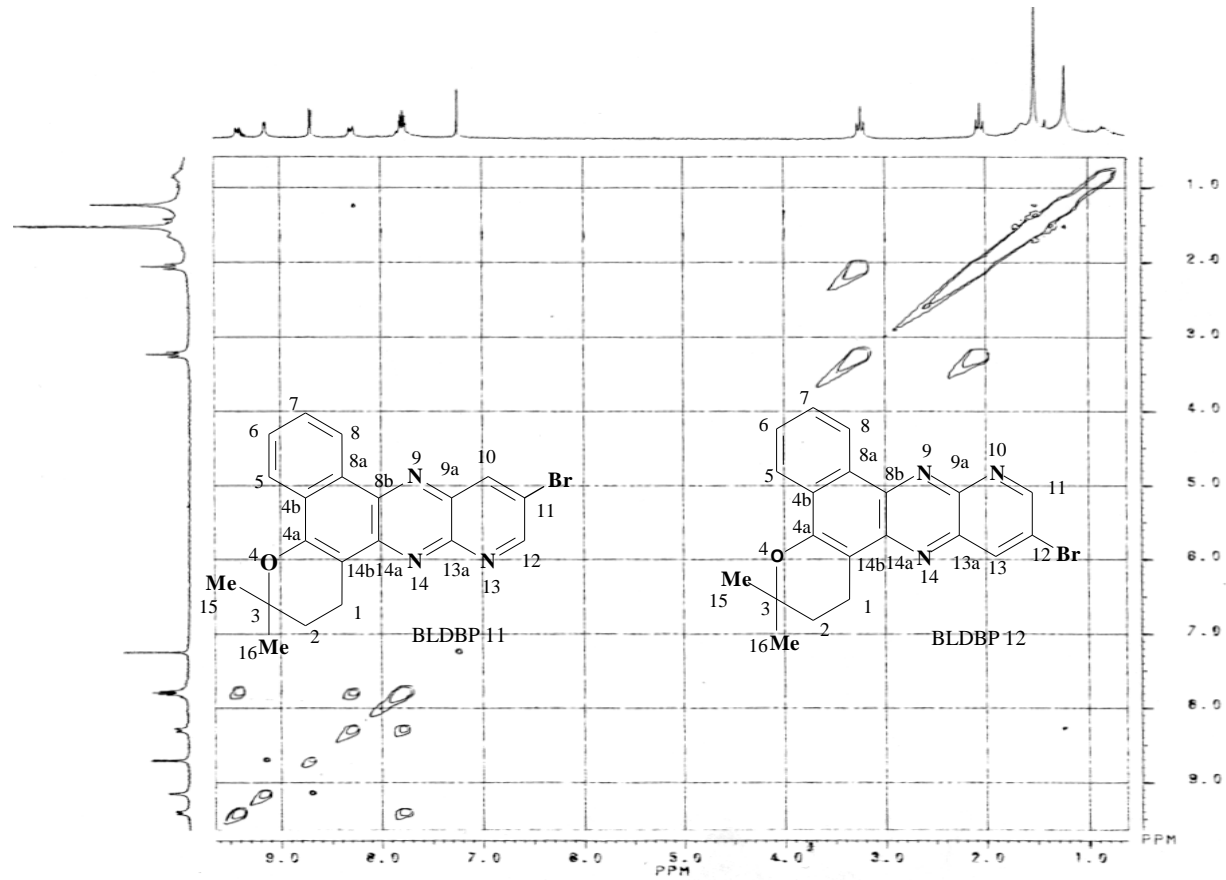


Espectro 108 - RMN  $^1\text{H}$  (200 MHz) da primeira fração de BLDBP, composto mais apolar.

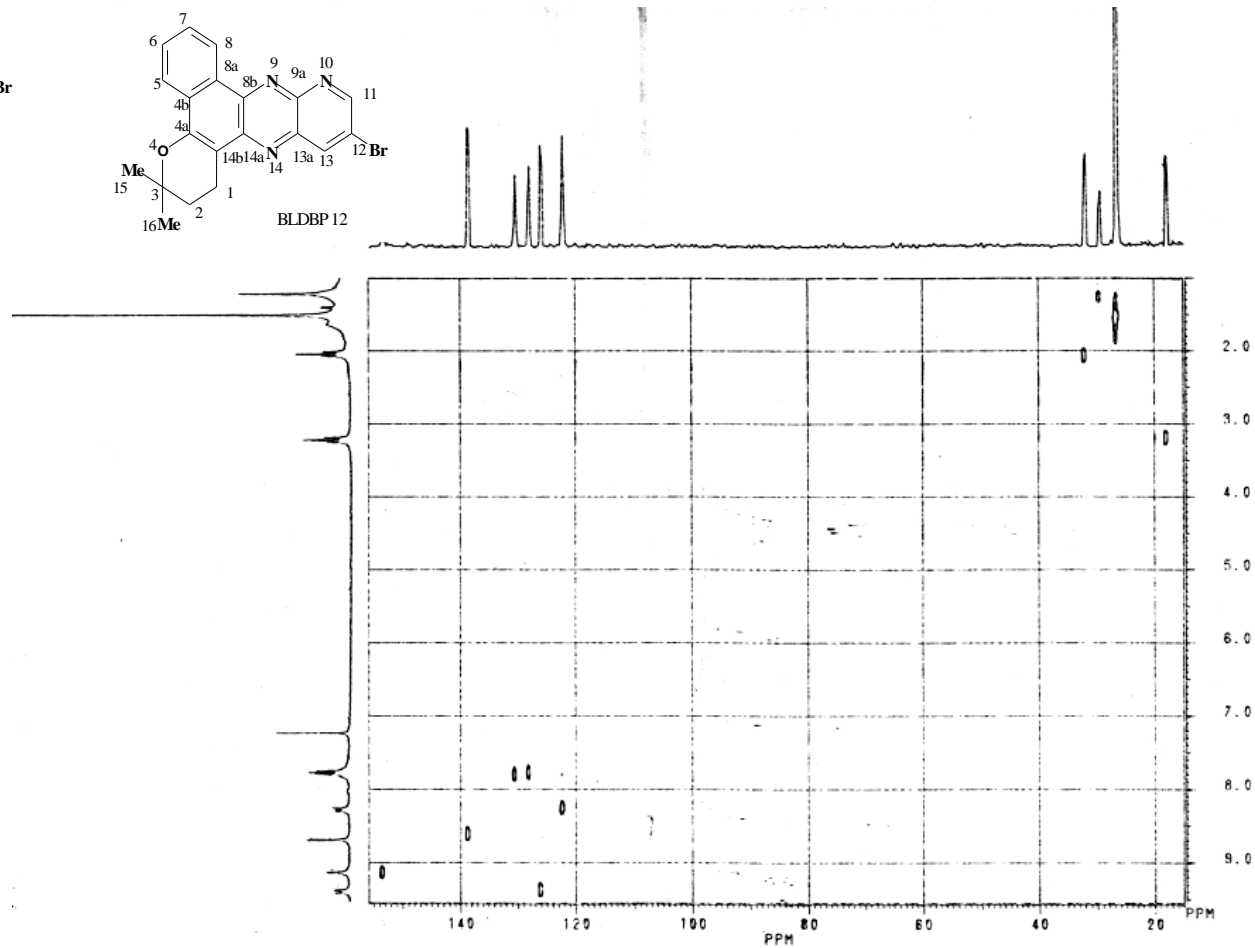
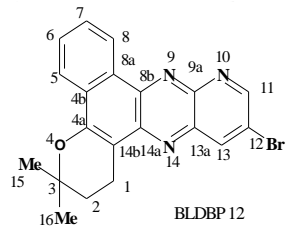
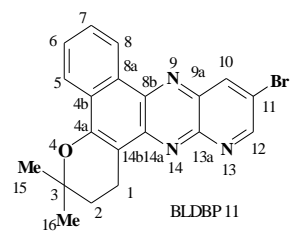
F1 BLDBP



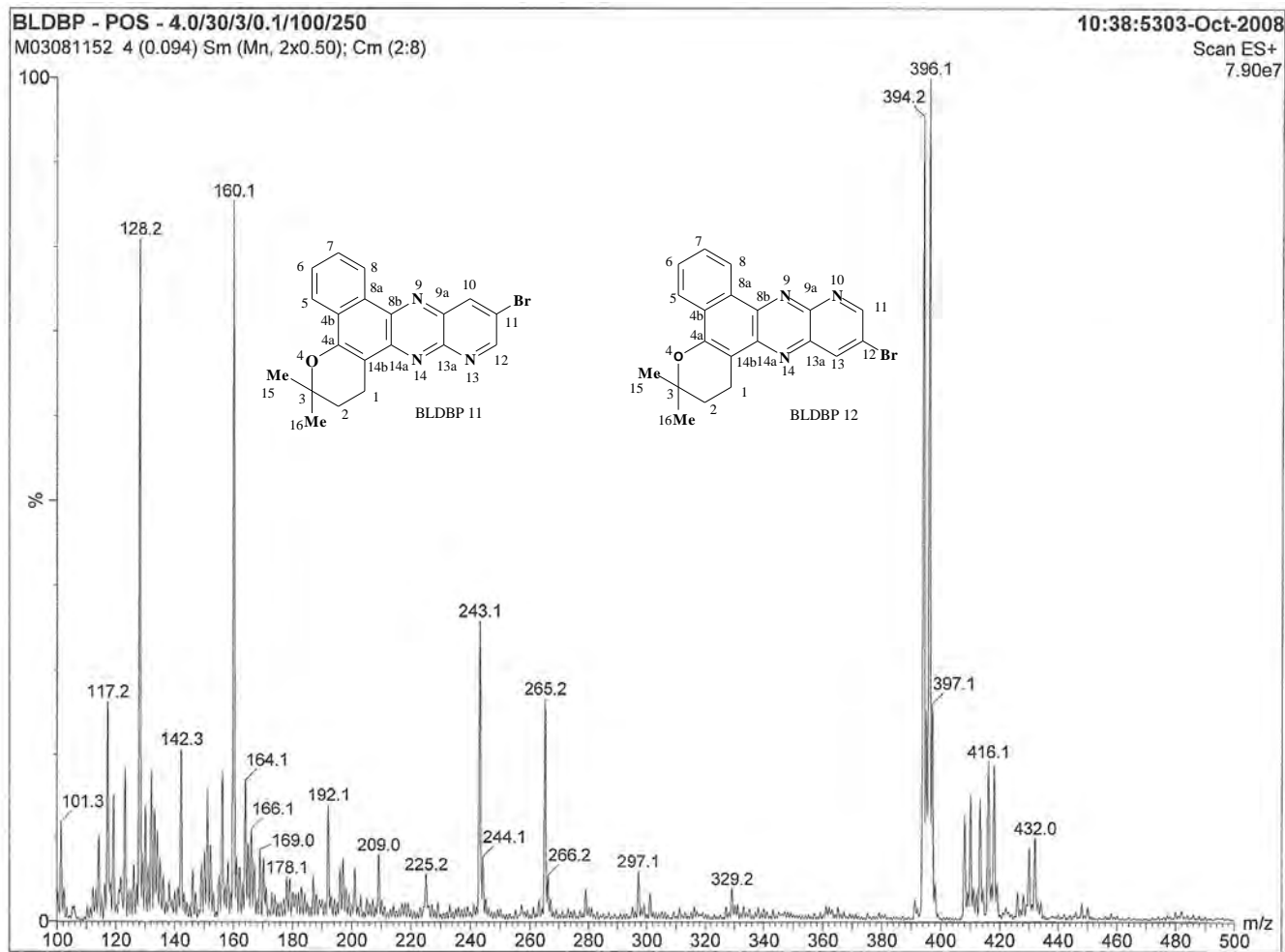
**Espectro 109** - RMN  $^{13}\text{C}$  (50,3 MHz) da primeira fração de BLDBP, composto mais apolar.



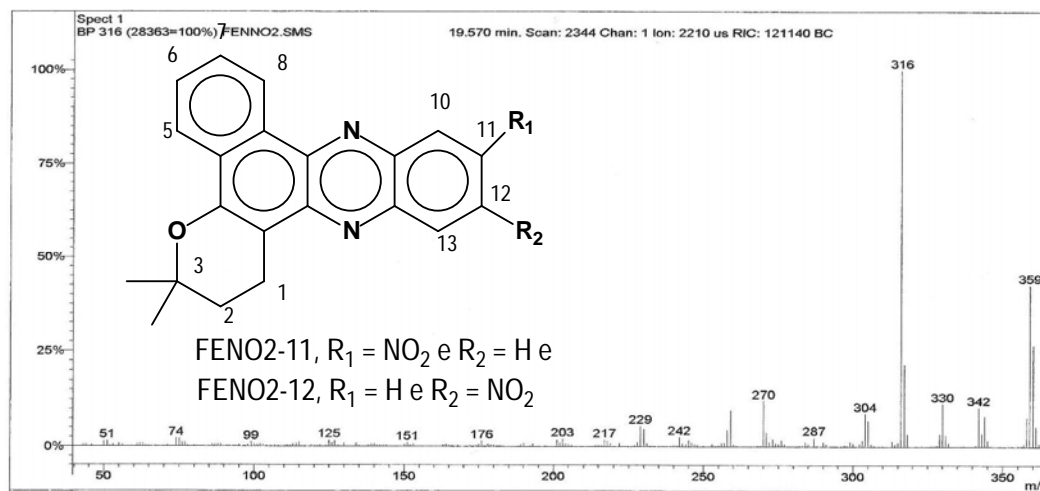
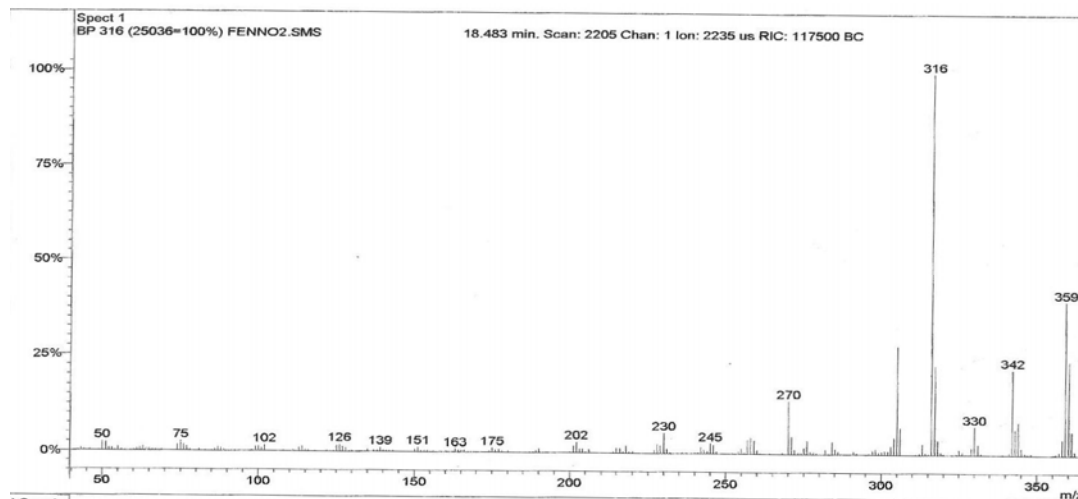
**Espectro 110** - HOMO-COSY  $^1\text{H}$ - $^1\text{H}$  da primeira fração de BLDBP, composto mais apolar.



**Espectro 111** - HETCOR  $^{13}\text{C}$ - $^1\text{H}$  ( $^1J$ ) da primeira fração de BLDBP, composto mais apolar.

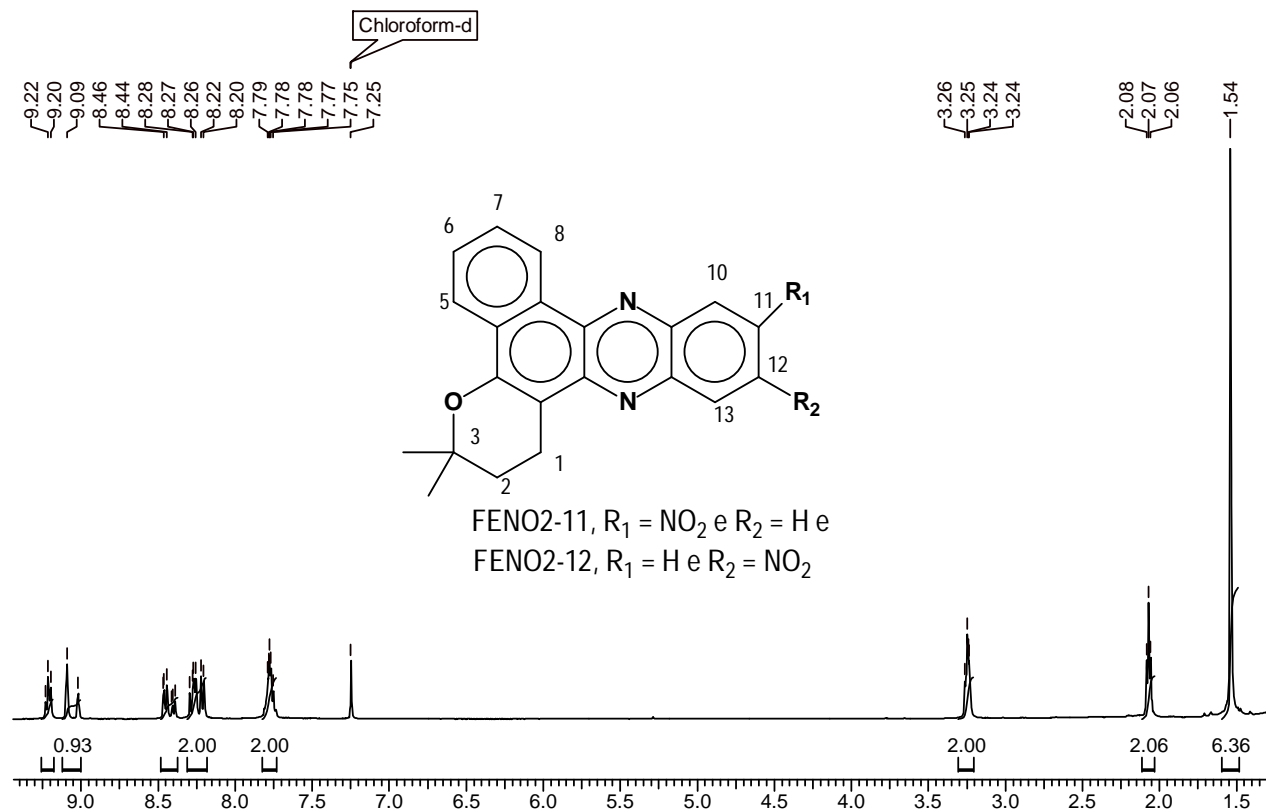


**Espectro 112** – EM por *electrospray* da primeira fração de BLDBP, composto mais apolar (MM=393-395).

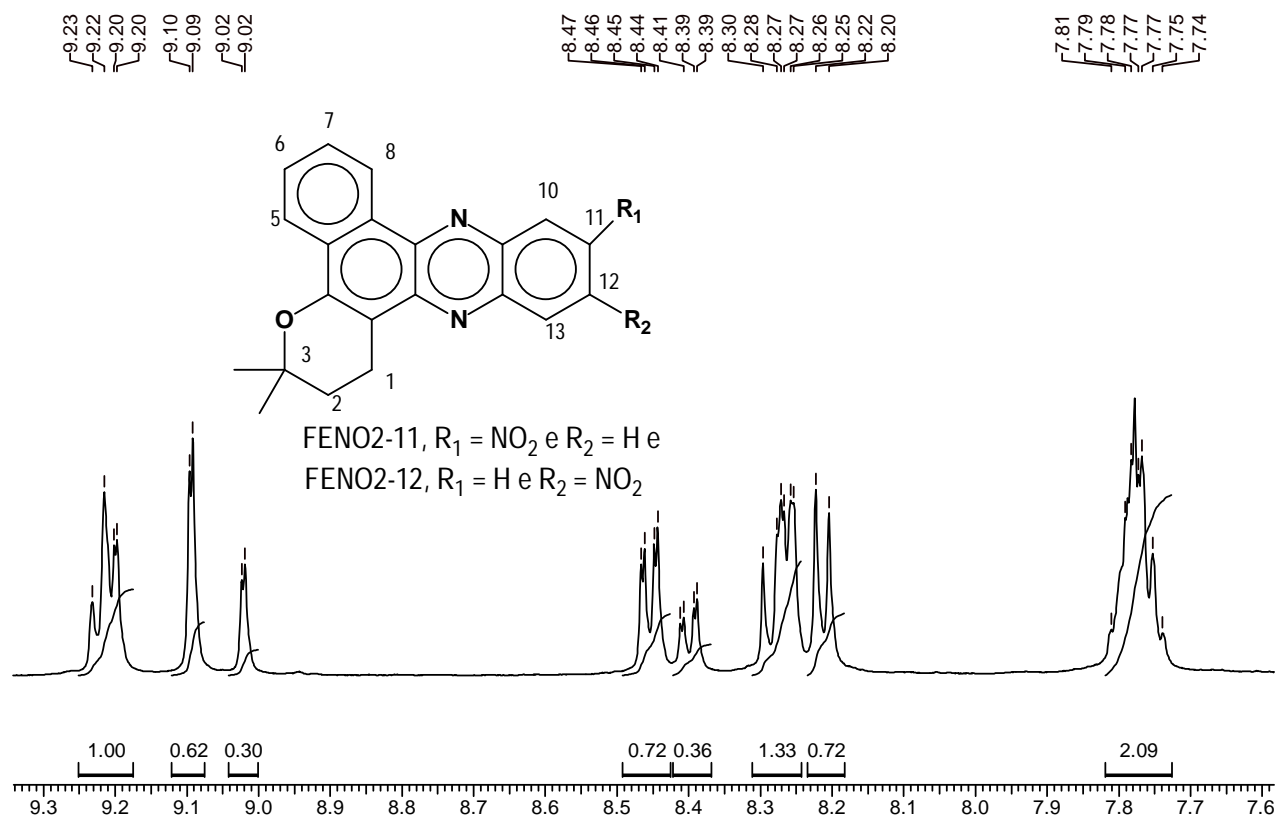


**Espectro 113** - EM das fenazinas obtidas de  $\beta$ -lapachona com 3,4-diamino-nitrotolueno (FENO2). Acima com menor Rt e abaixo com maior Rt.

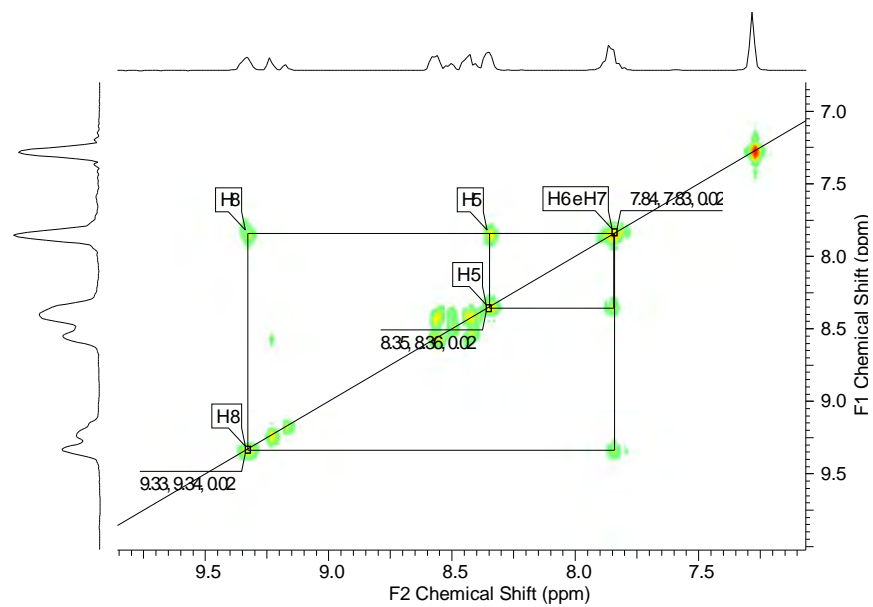
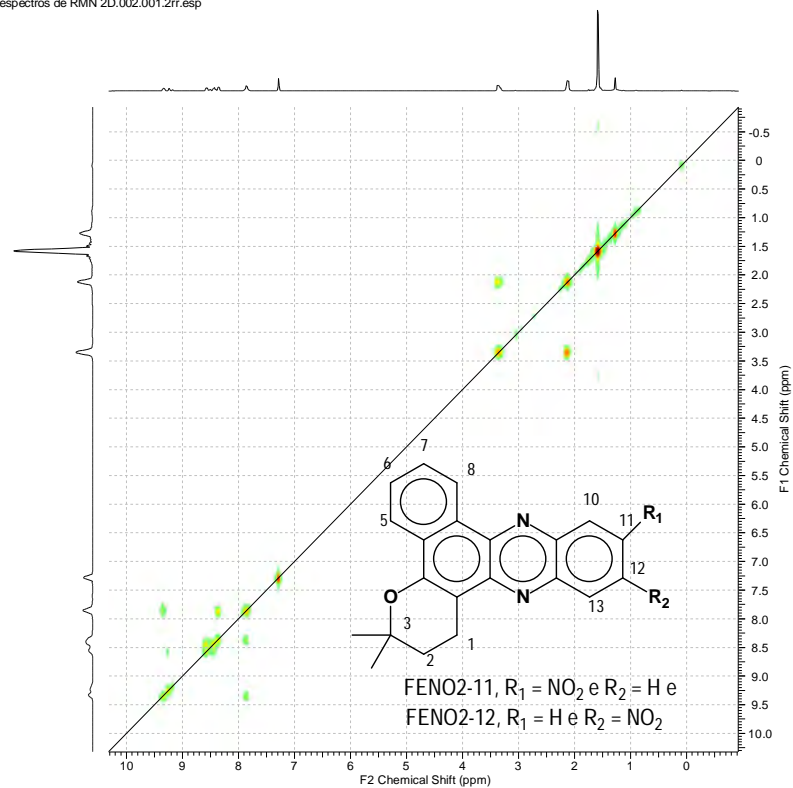




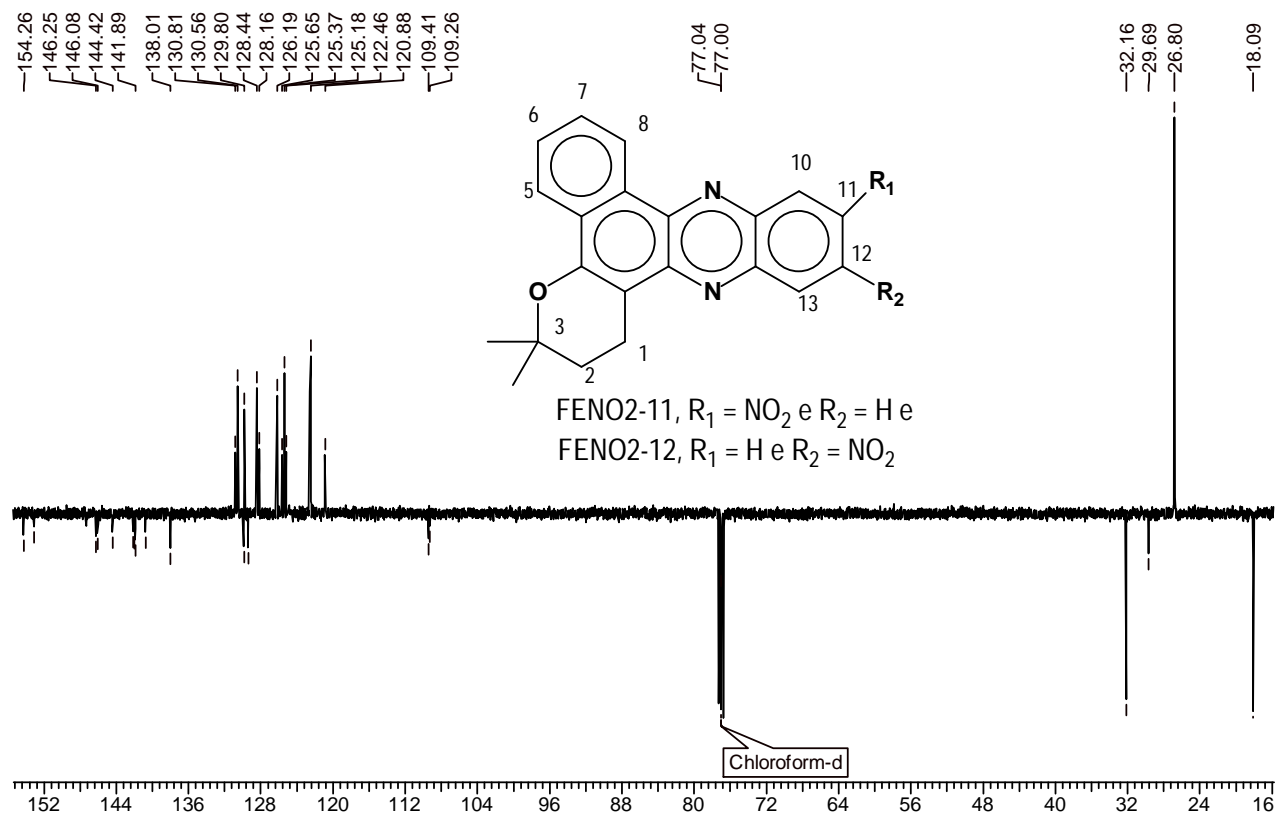
**Espectro 114** – RMN <sup>1</sup>H (500 MHz) da mistura de fenazinas (FENO2-11 e FENO2-12).



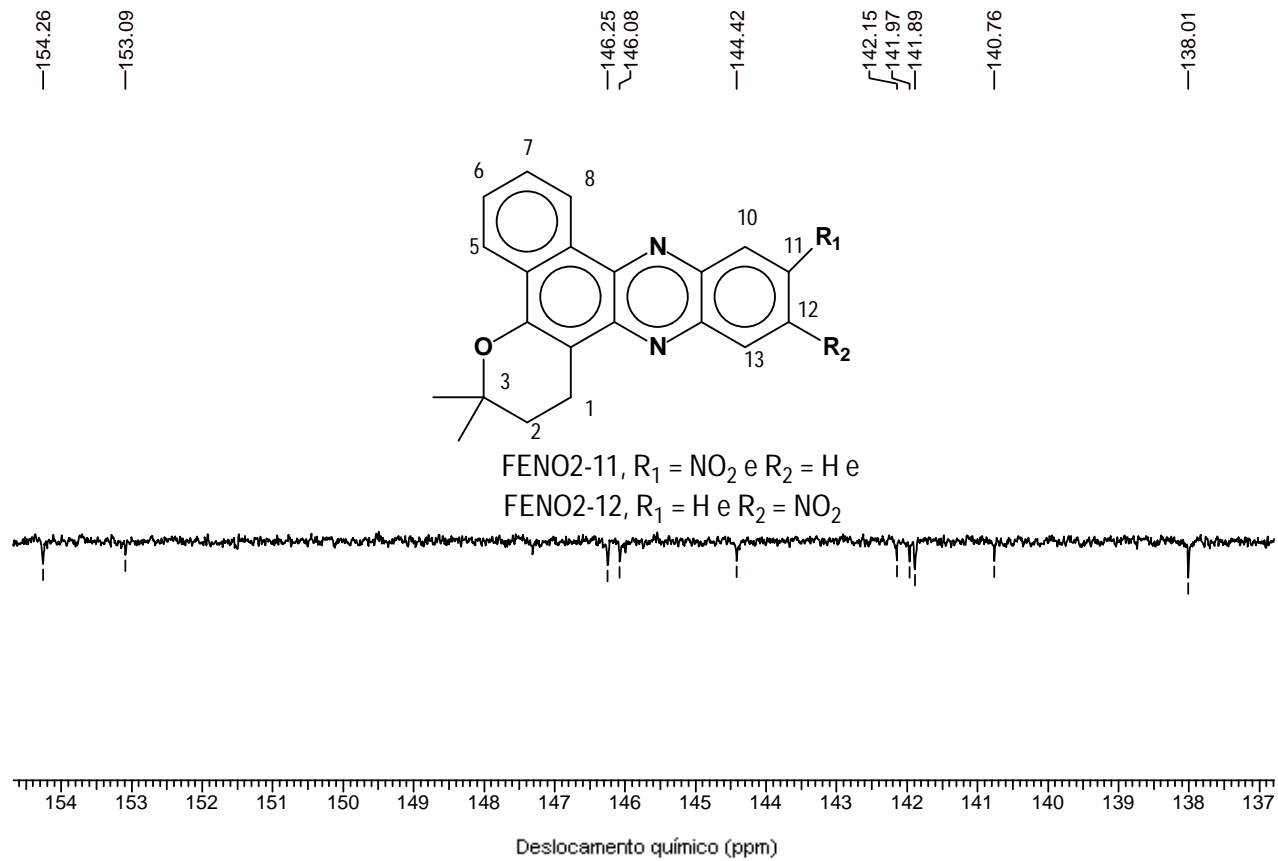
**Espectro 115** – Ampliação da região aromática do espectro de RMN  $^1\text{H}$  da mistura das fenazinas FENO2-11 e FENO2-12.



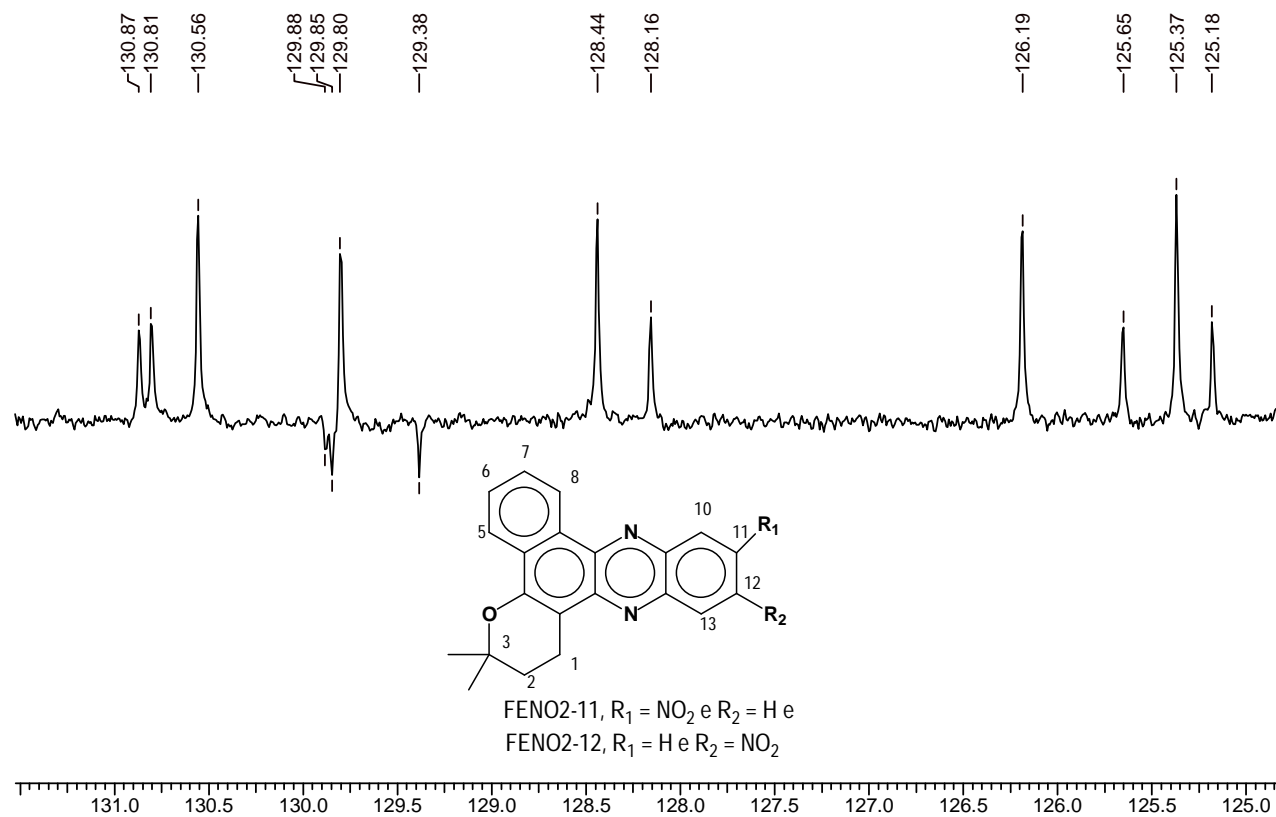
**Espectro 116** – HOMOCOSY de  $^1\text{H}$ - $^1\text{H}$  da mistura de FENO2, figura a direita do espectro completo e a direita de ampliação na região aromática.



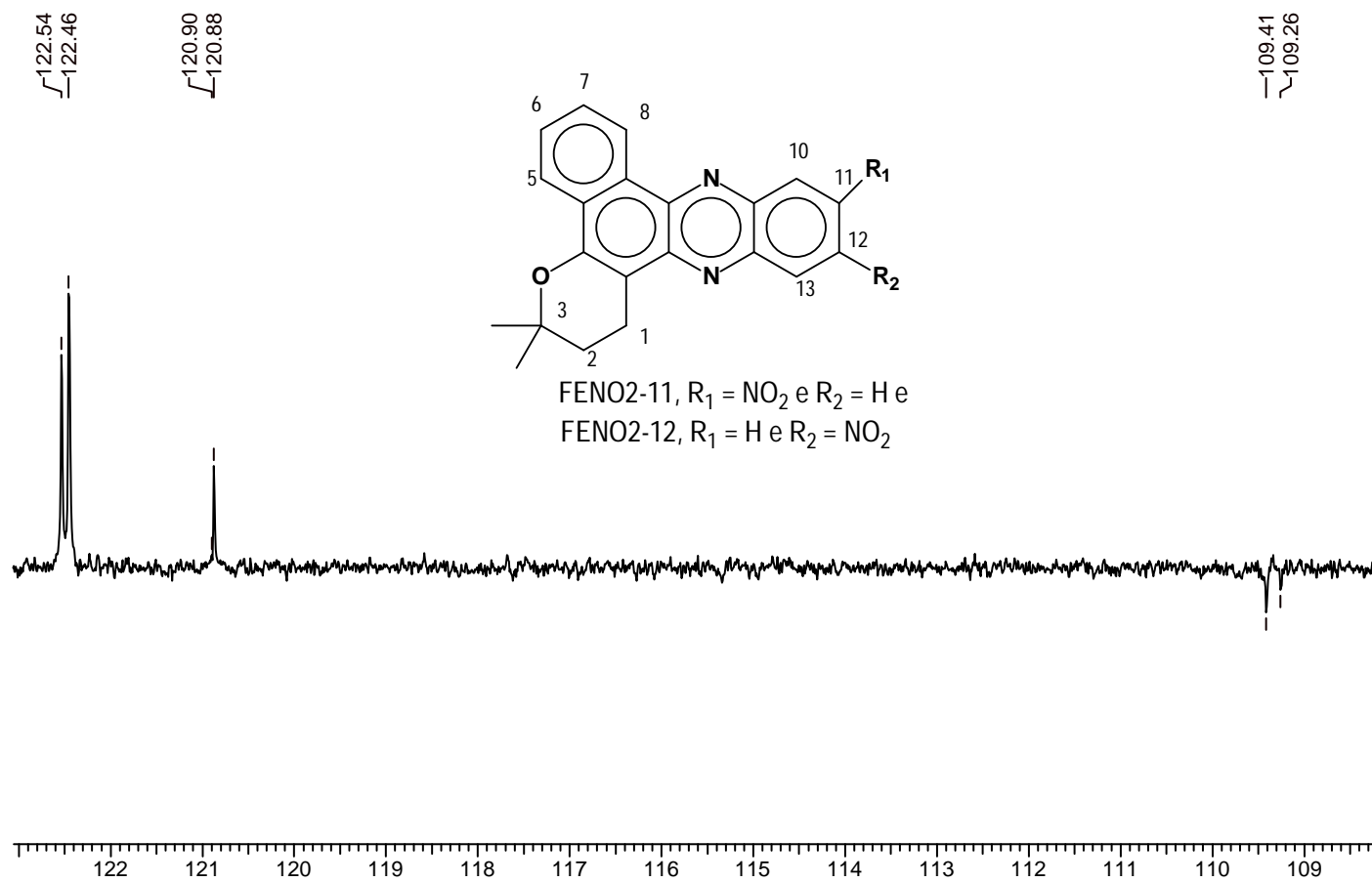
**Espectro 117** – DEPT Q (125,8 MHz) da mistura das fenazinas FENO2.



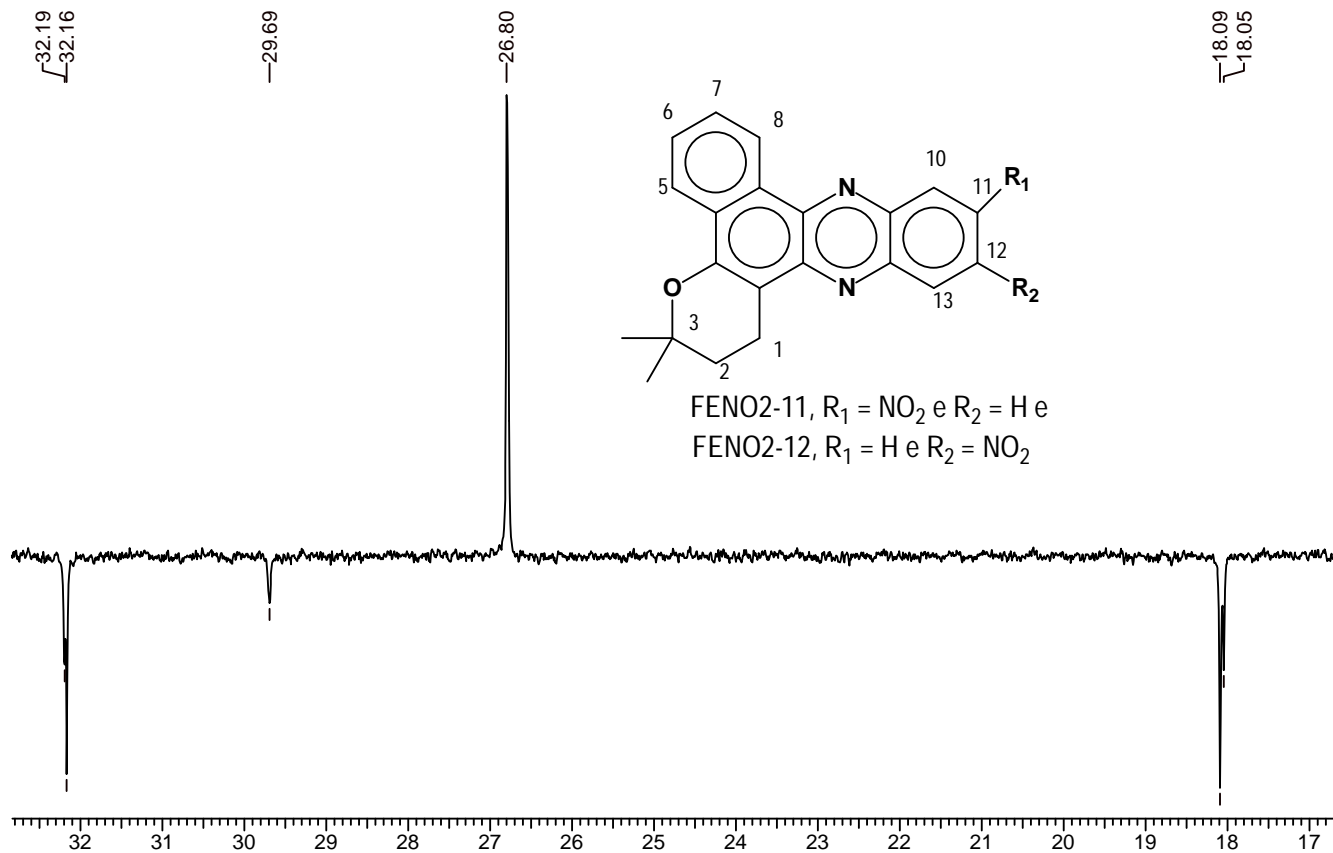
**Espectro 118** – Ampliação do espectro DEPT Q, entre 137 e 155 ppm, das fenazinas FENO2.



**Espectro 119** – Ampliação do espectro DEPT Q, entre 125 e 131 ppm, das fenazinas FENO2..

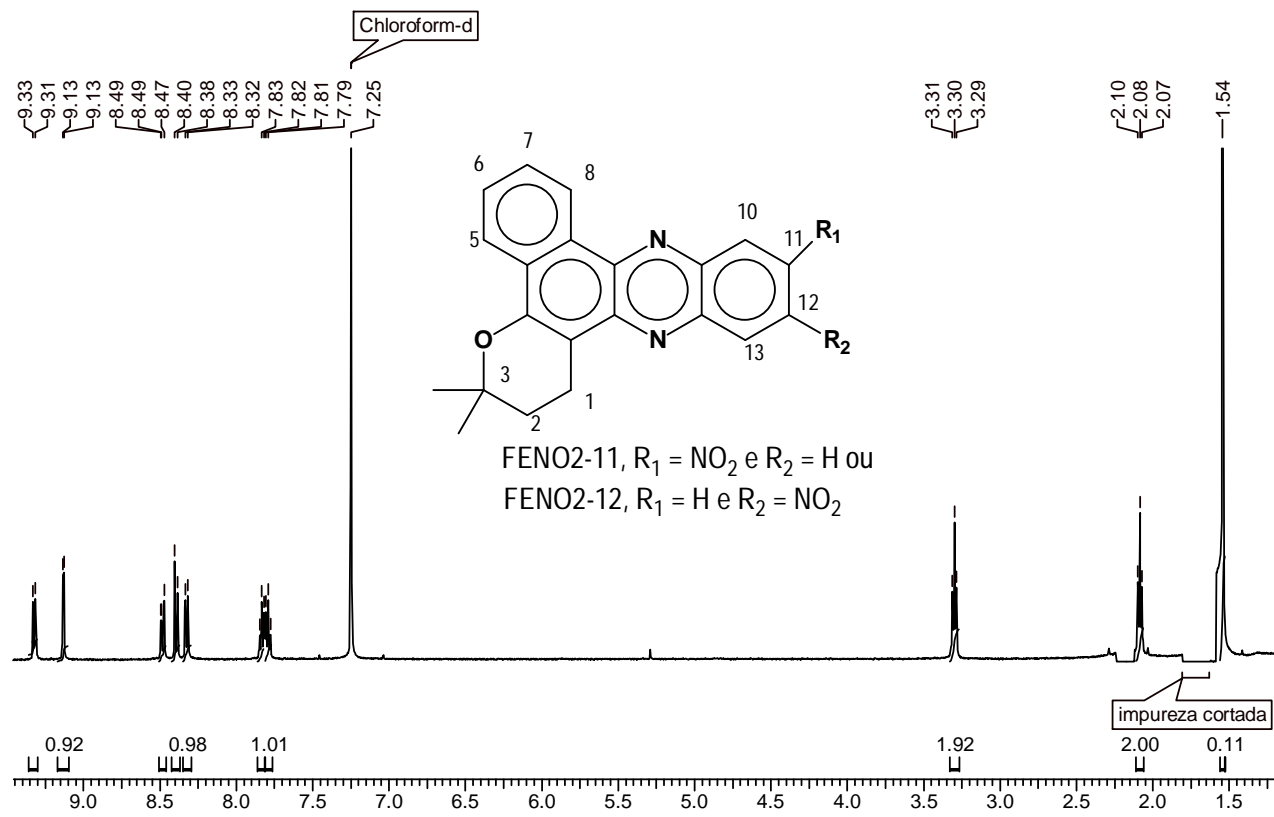


**Espectro 120** – Ampliação do espectro DEPT Q, entre 108 e 123 ppm, das fenazinas FENO2.

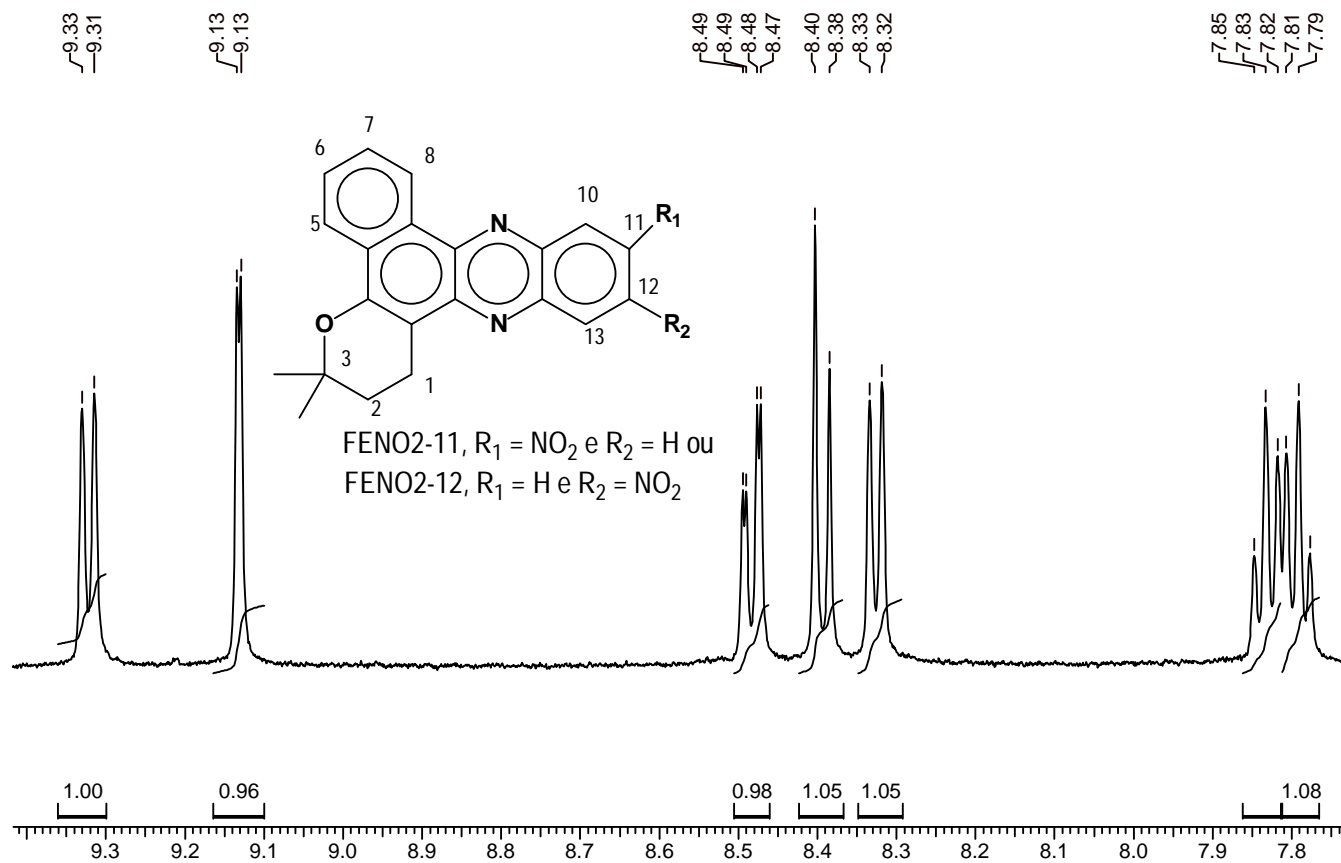


**Espectro 121** – Ampliação, entre 17 e 33 ppm, do espectro DEPT Q das fenazinas FENO2.





**Espectro 122** - RMN <sup>1</sup>H (500 MHz) da fenazina menos polar FENO2, provável isômero 12-nitro.



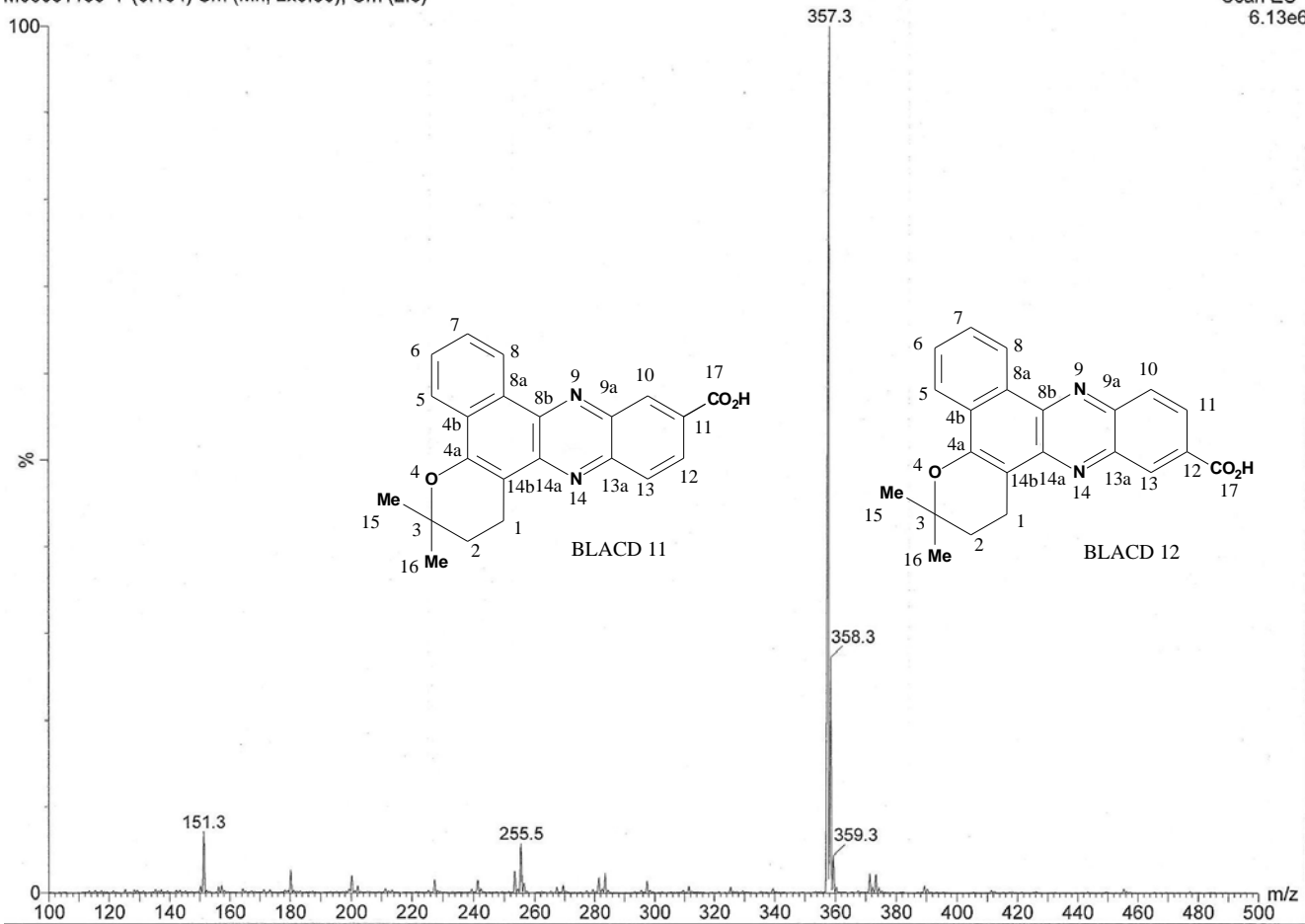
**Espectro 123** – Ampliação do espectro de RMN <sup>1</sup>H da fenazina menos polar FENO2, provável isômero 12-nitro.

BLACD - NEG - 3.0/20/1/0.1/100/250

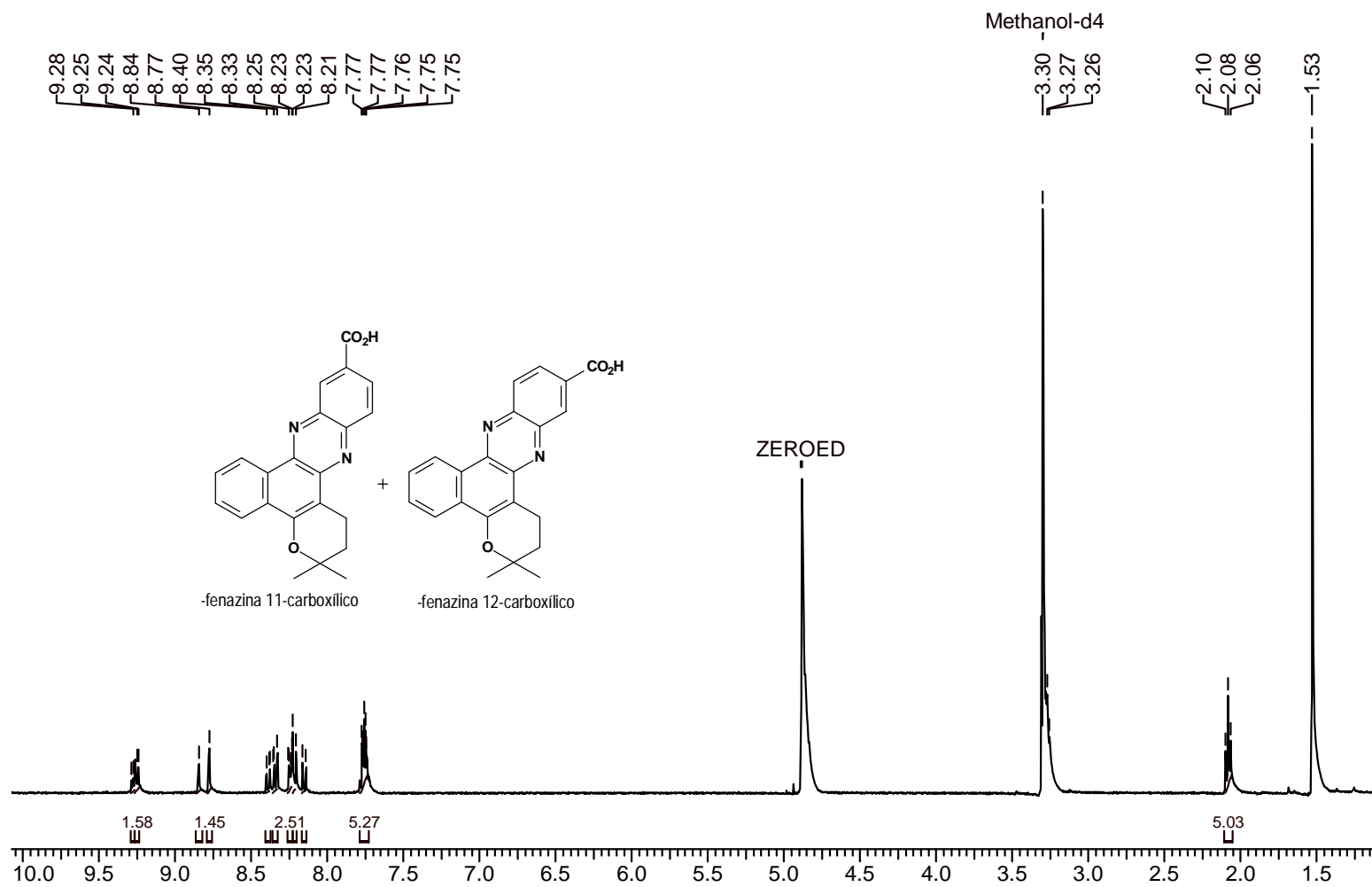
M03081155 7 (0.164) Sm (Mn, 2x0.80); Cm (2:8)

10:59:5503-Oct-2008

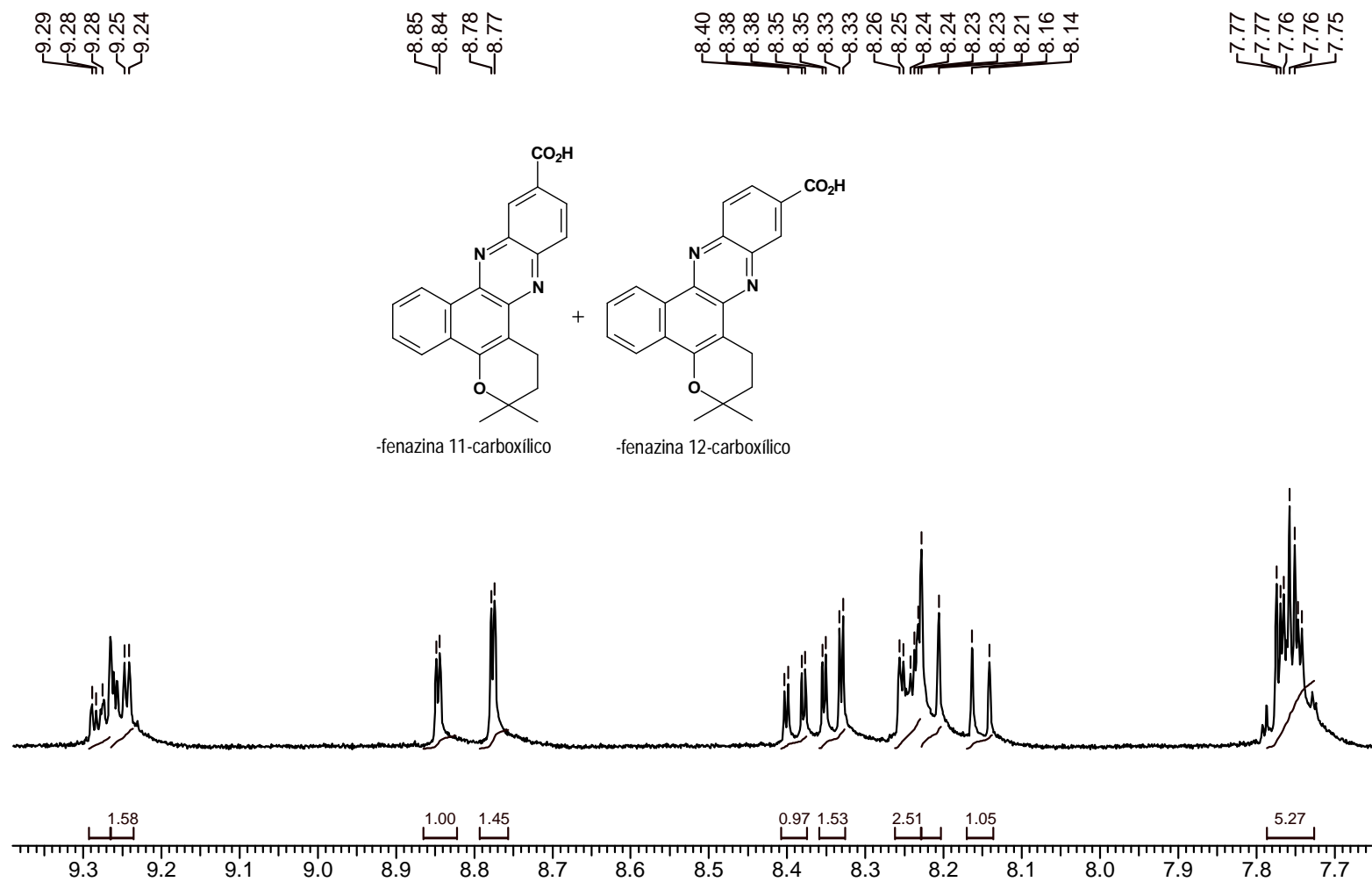
Scan ES-  
6.13e6



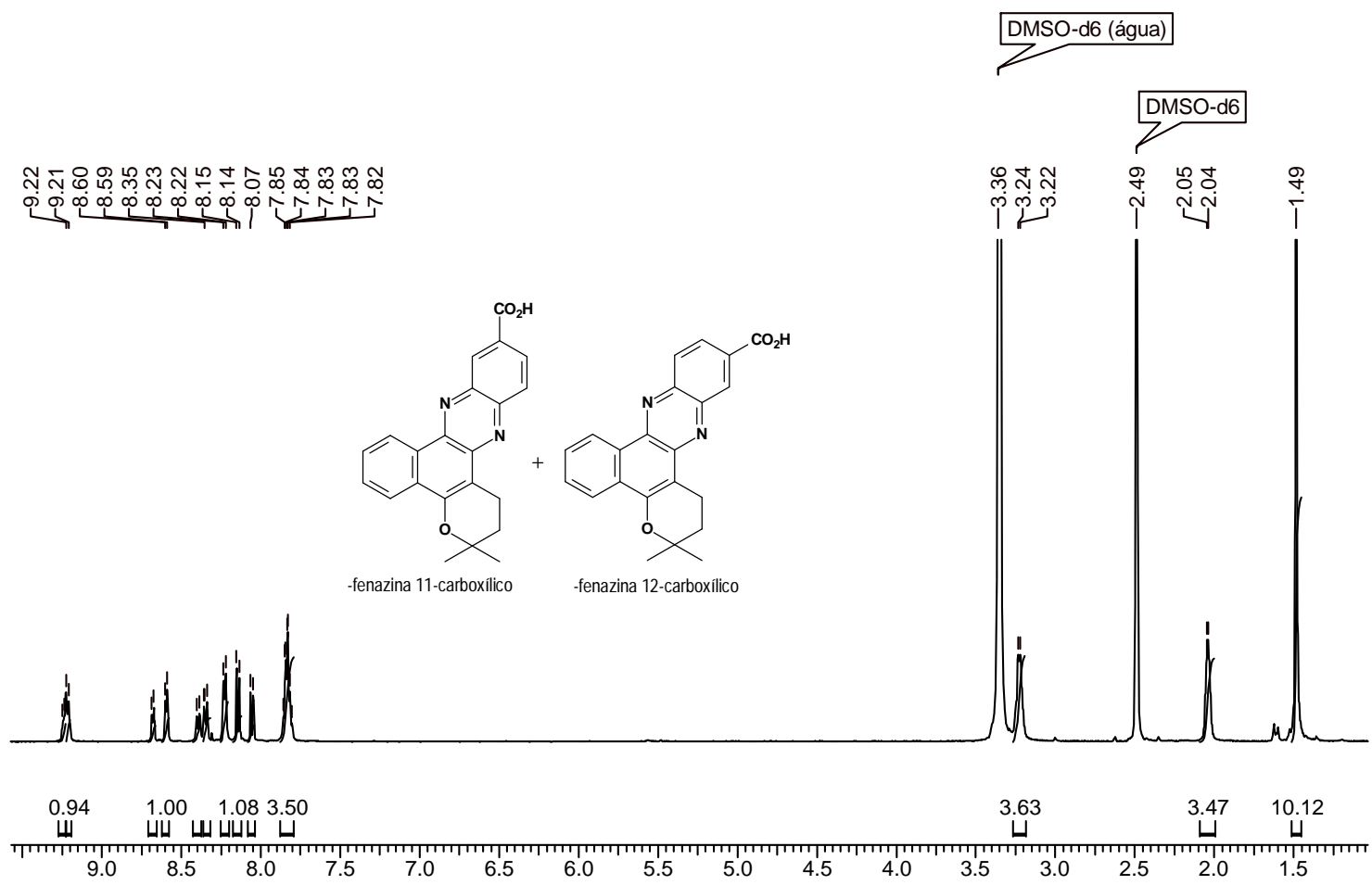
**Espectro 124** – EM por “*electron-spray*” (ES) da mistura da fenazina BLACD, (MM=358).



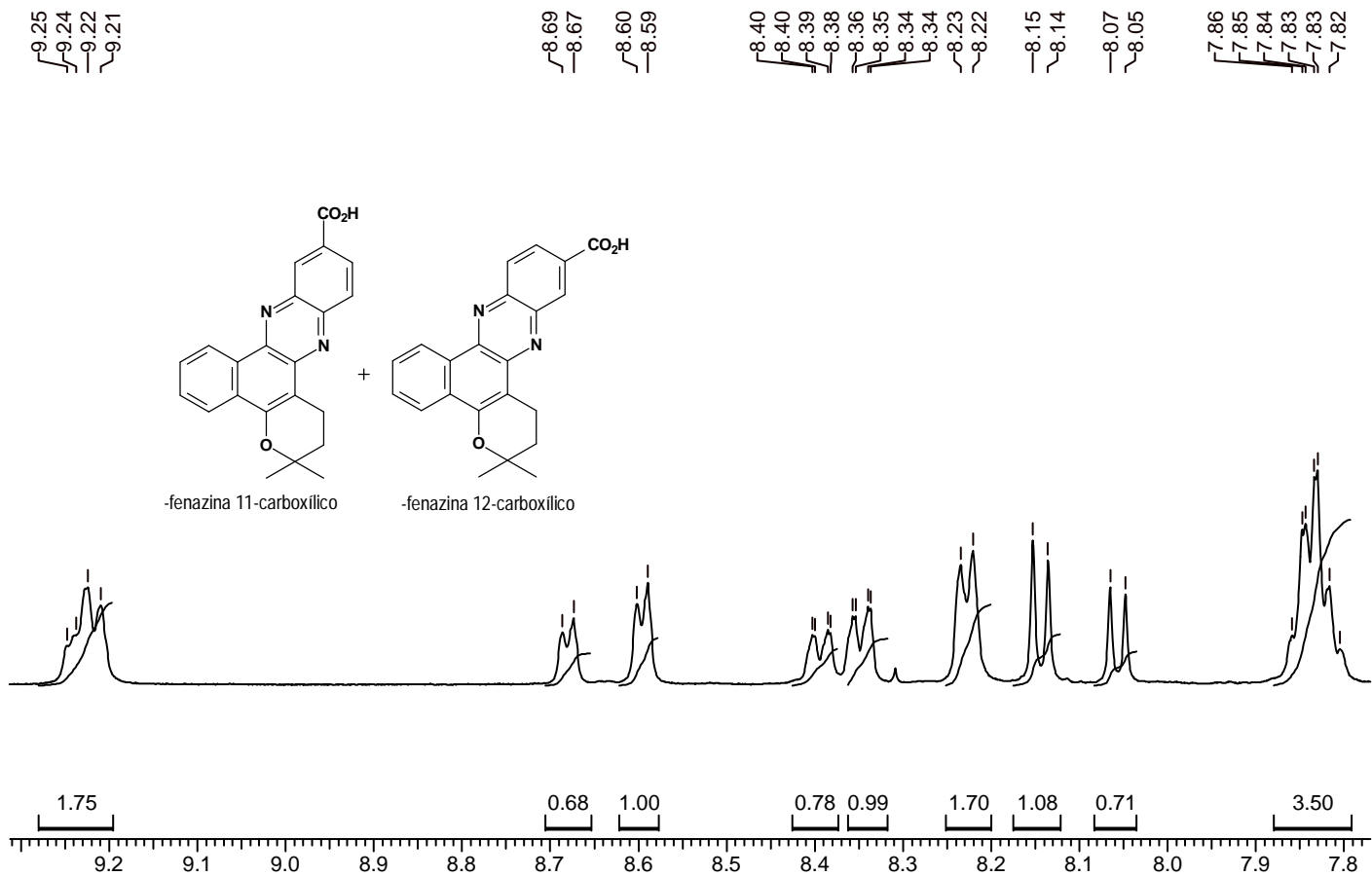
**Espectro 125** - RMN  $^1\text{H}$  (400 MHz) da mistura da fenazina BLACD, em metanol.



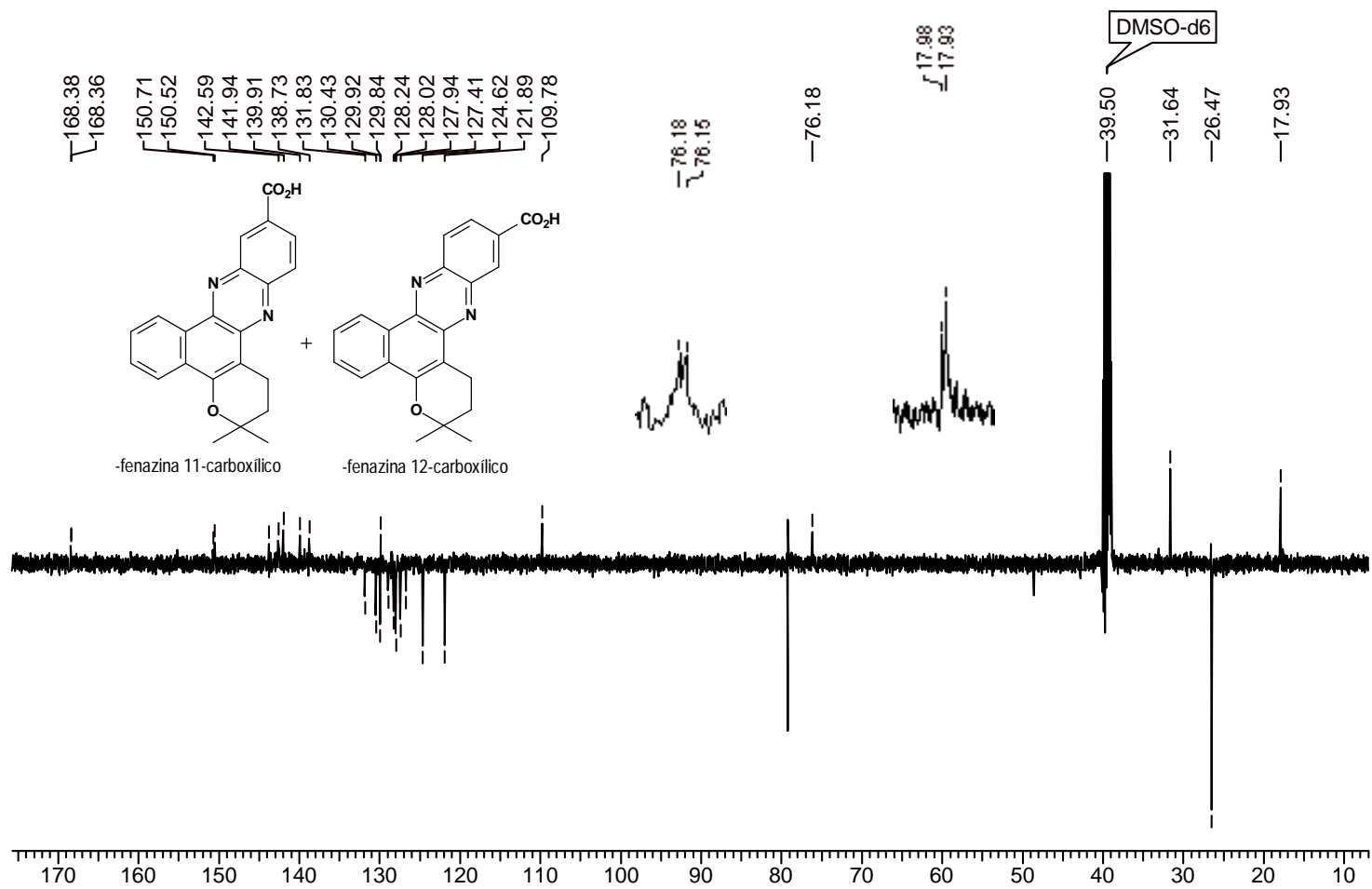
**Espectro 126** – Expansão da região aromática do espectro de RMN <sup>1</sup>H das fenazinas de BLACD, em metanol.



**Espectro 127 - RMN <sup>1</sup>H (500 MHz) das fenazinas BLACD, em DMSO-d6.**

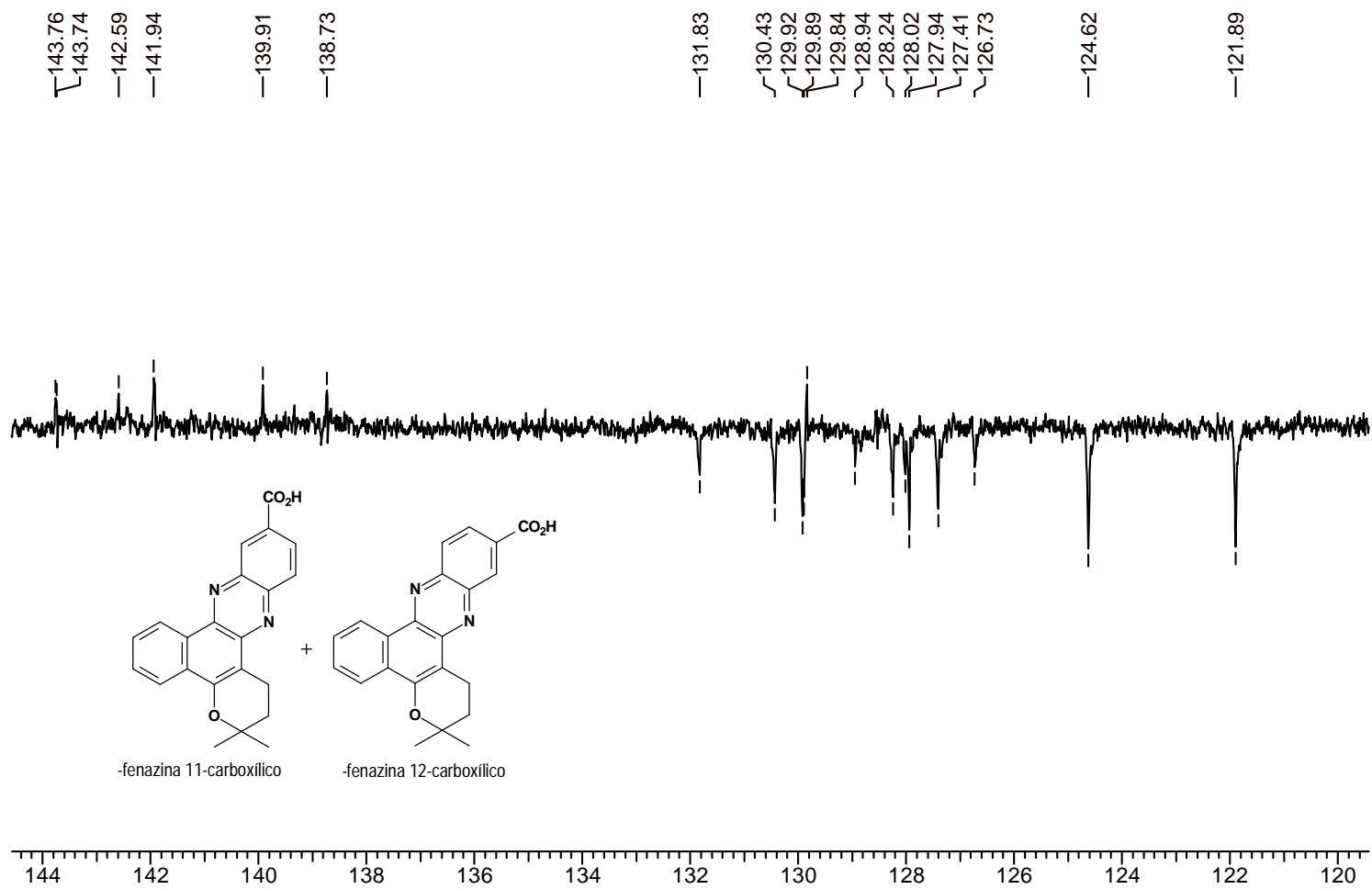


**Espectro 128** - Ampliação da região aromática do espectro de RMN  $^1\text{H}$  das fenazinas BLACD, em DMSO- $d_6$ .

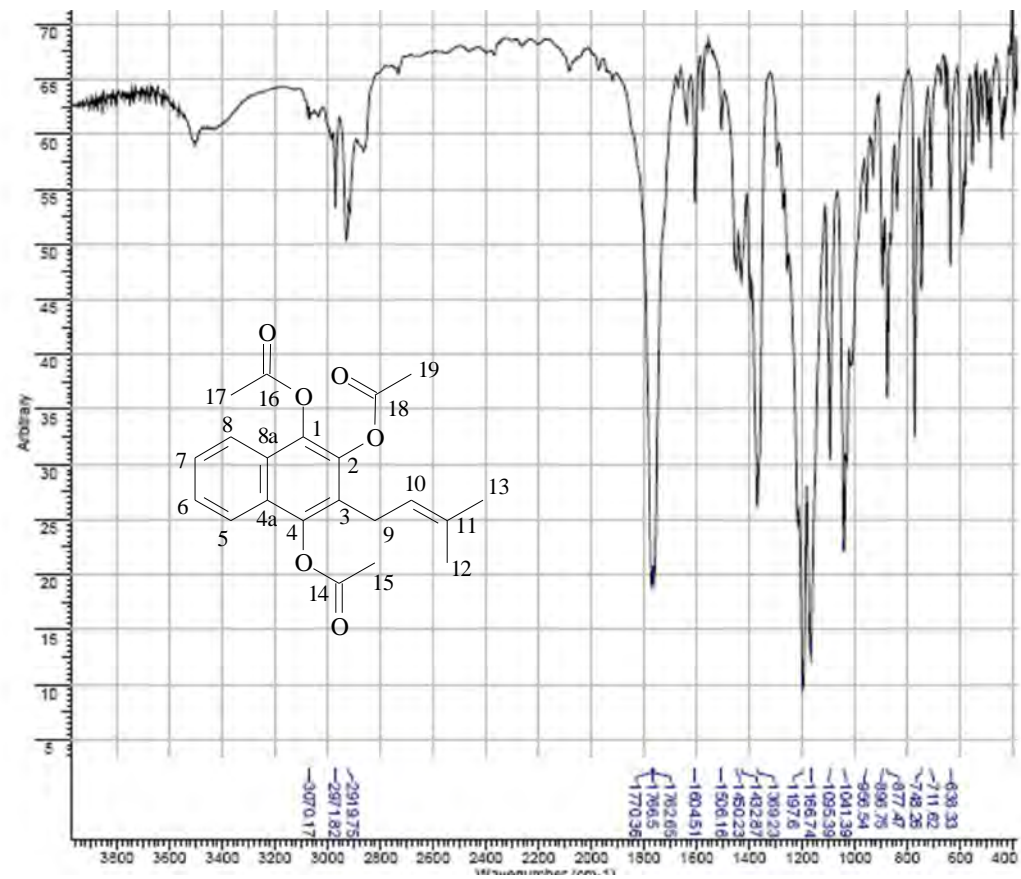


**Espectro 129** – DEPT Q (125,8 MHz) da mistura de fenazina BLACD, em DMSO-d6, em destaque sinais próximos.

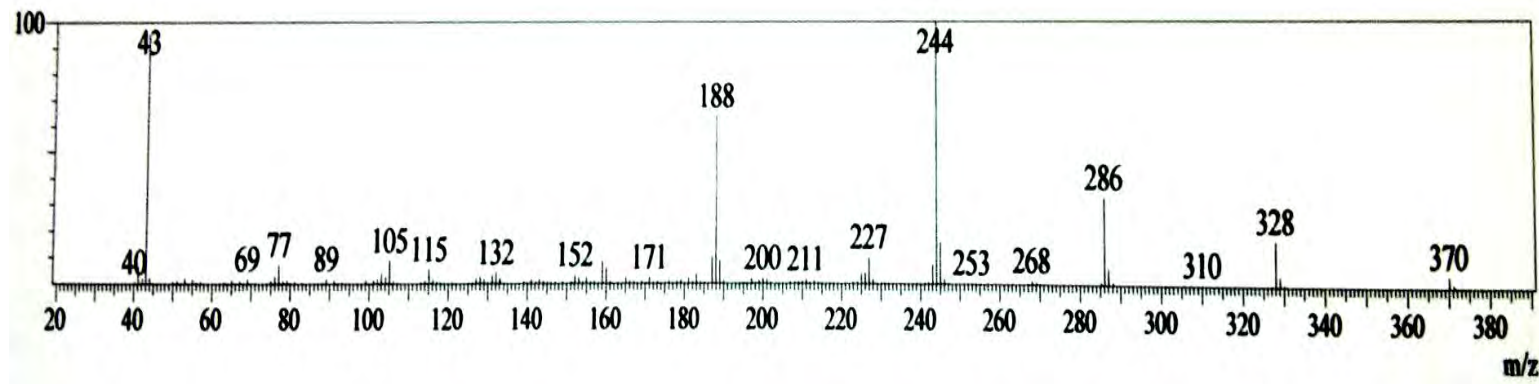
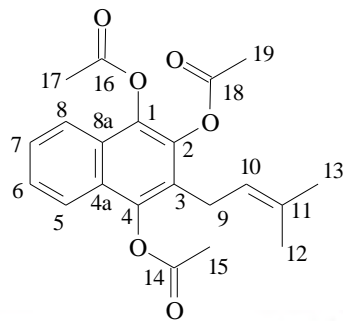




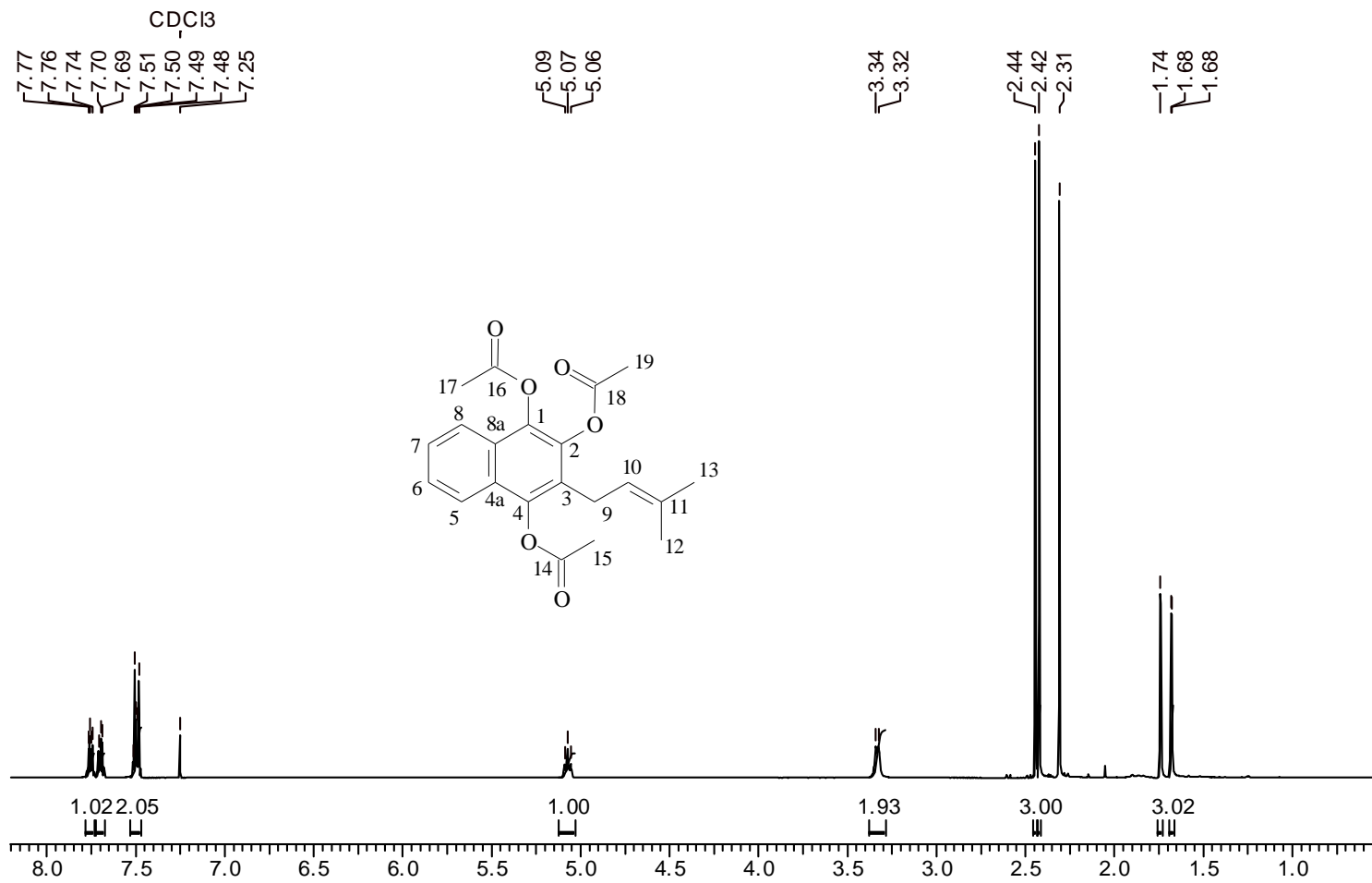
**Espectro 130** – Ampliação, entre 120 e 144 ppm do espectro de DEPT Q da mistura das fenazina de BLACD, em DMSO-d<sub>6</sub>.



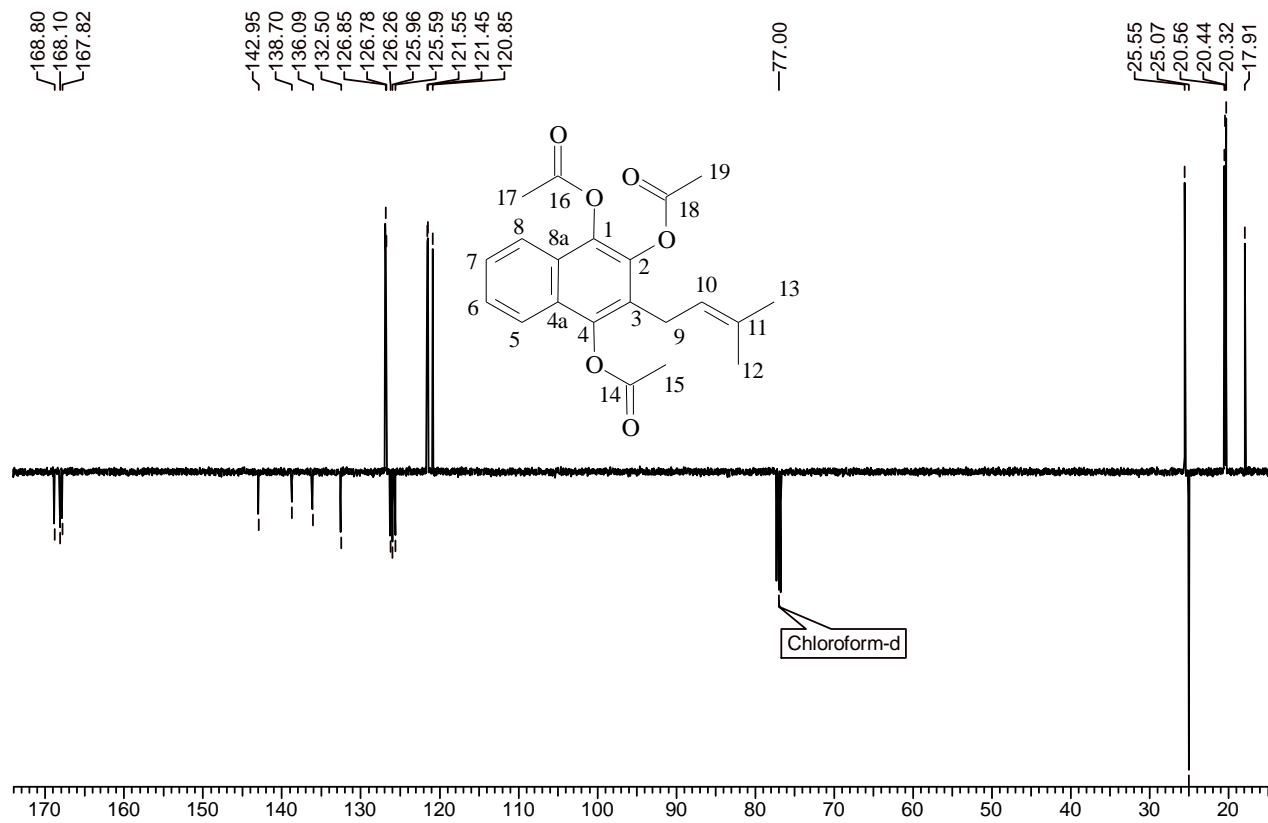
**Espectro 131** - IV do TriAclap, lapachol triacetilado (acetato de [1,4-bis(acetoxi)-3-(3-metilbut-2-enil)] 2-naftila).



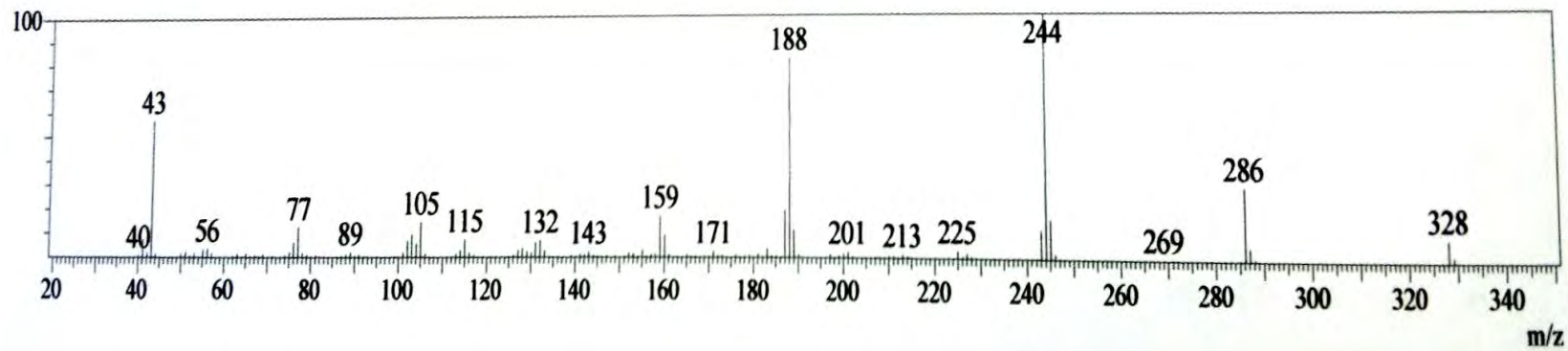
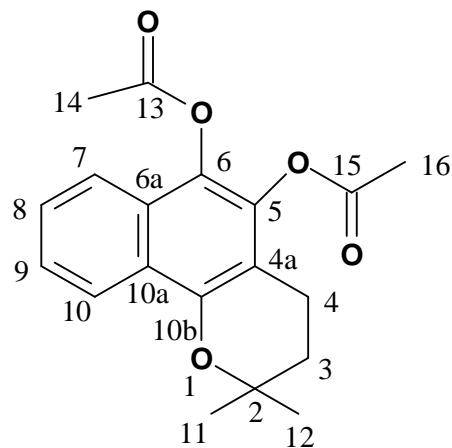
**Espectro 132** – E.M. do TriAcclap, lapachol triacetilado (acetato de [1,4-bis(acetoxi)-3-(3-metilbut-2-enil)] 2-naftila).



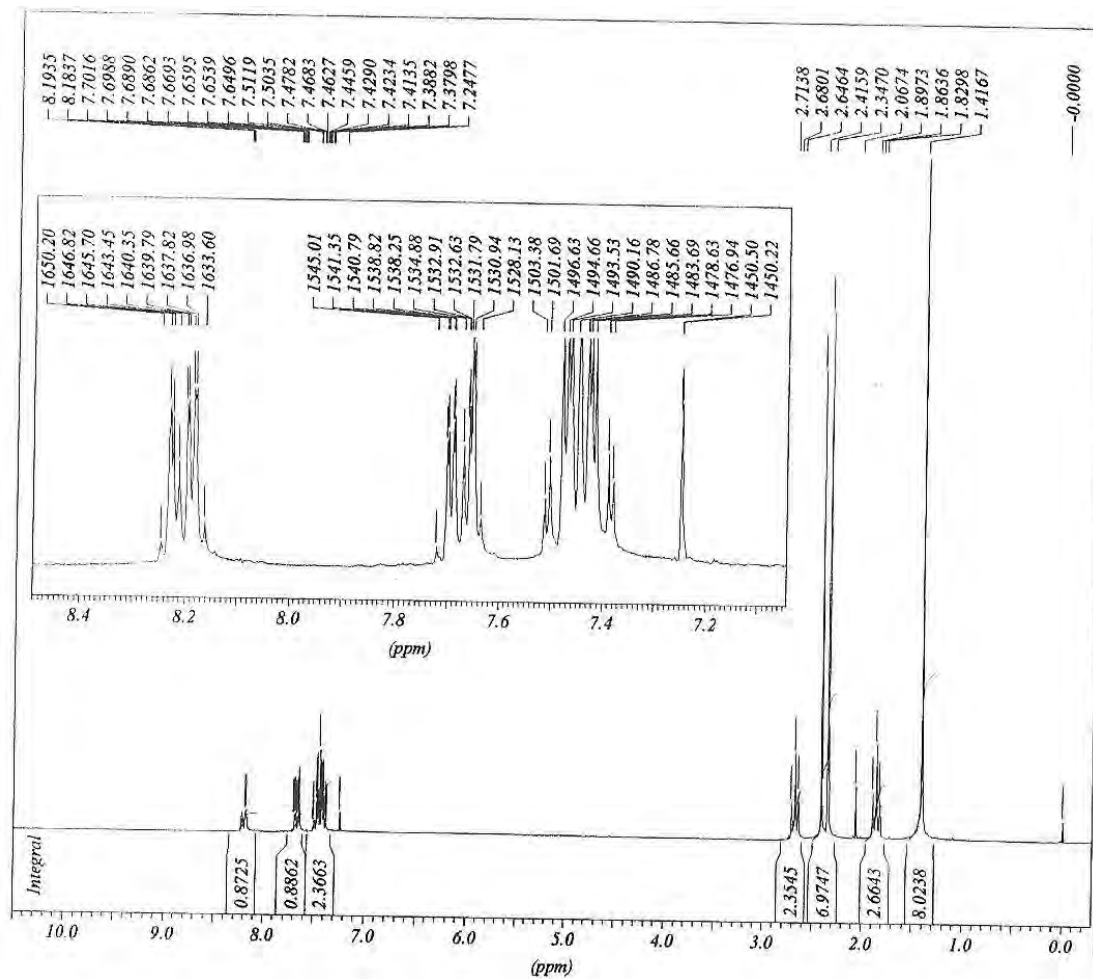
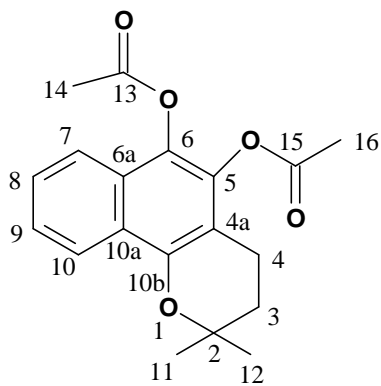
**Espectro 133** - RMN <sup>1</sup>H (400 MHz) do TriAcIap, lapacol triacetilado (acetato de [1,4-bis(acetoxi)-3-(3-metilbut-2-enil)] 2-naftila).



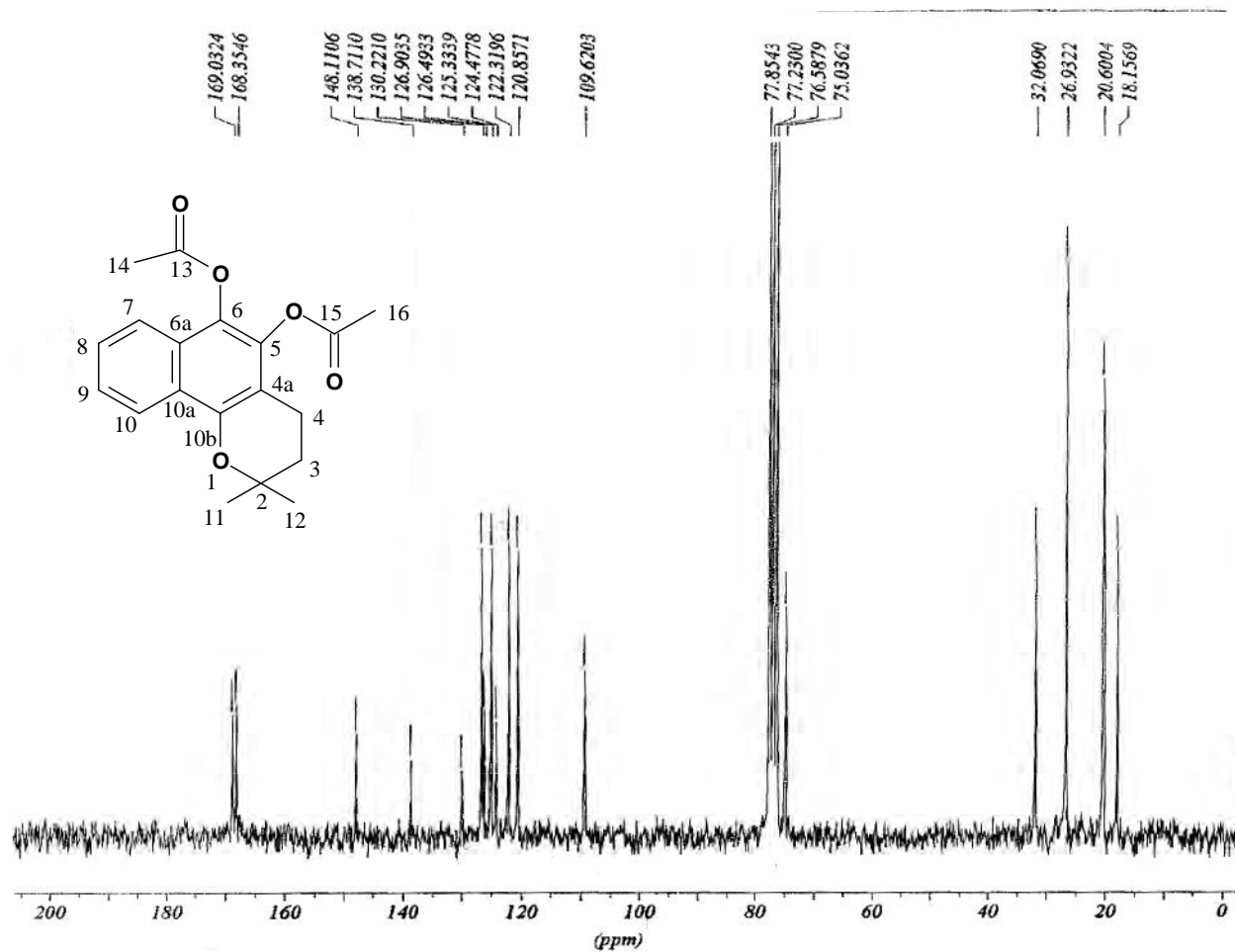
**Espectro 134** – DEPT Q (125,8 MHz) do TriAcIap, lapachol triacetilado (acetato de [1,4-bis(acetoxi)-3-(3-metilbut-2-enil)] 2-naftila).



**Espectro 135** – E.M. da Ac-blap,  $\beta$ -lapachona acetilada (acetato de 5-(acetoxi)-2,2-dimethyl-3,4-di-hidro-2*H*-benzo[*h*]cromen-6-ila).

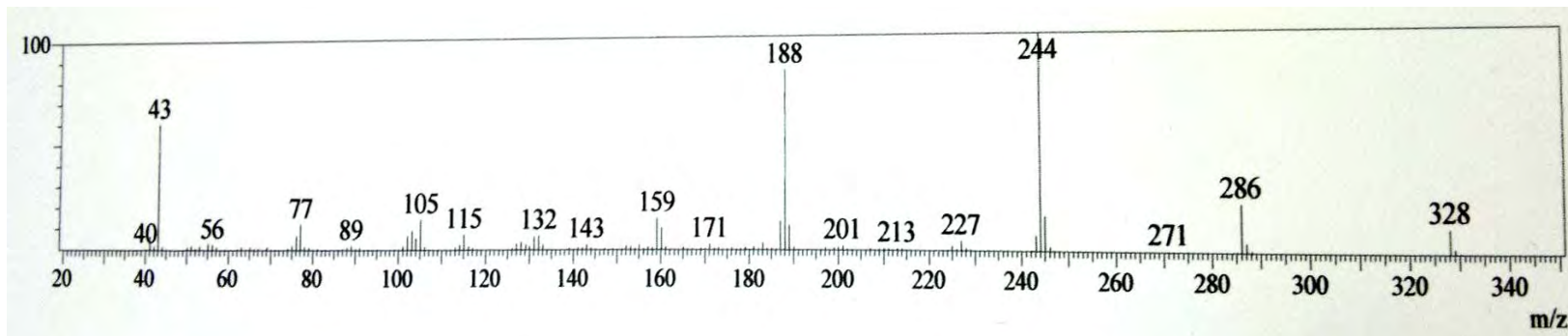
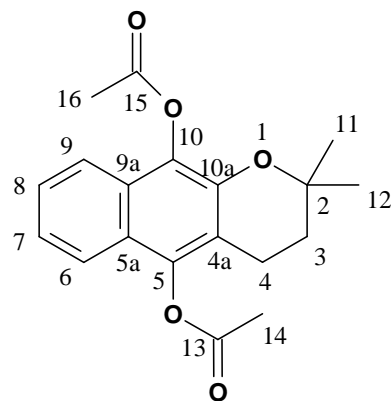


**Espectro 136** - RMN <sup>1</sup>H (200 MHz) da Ac-blap, β-lapachona acetilada (acetato de 5-(acetoxi)-2,2-dimethyl-3,4-di-hidro-2H-benzo[h]cromen-6-ila).

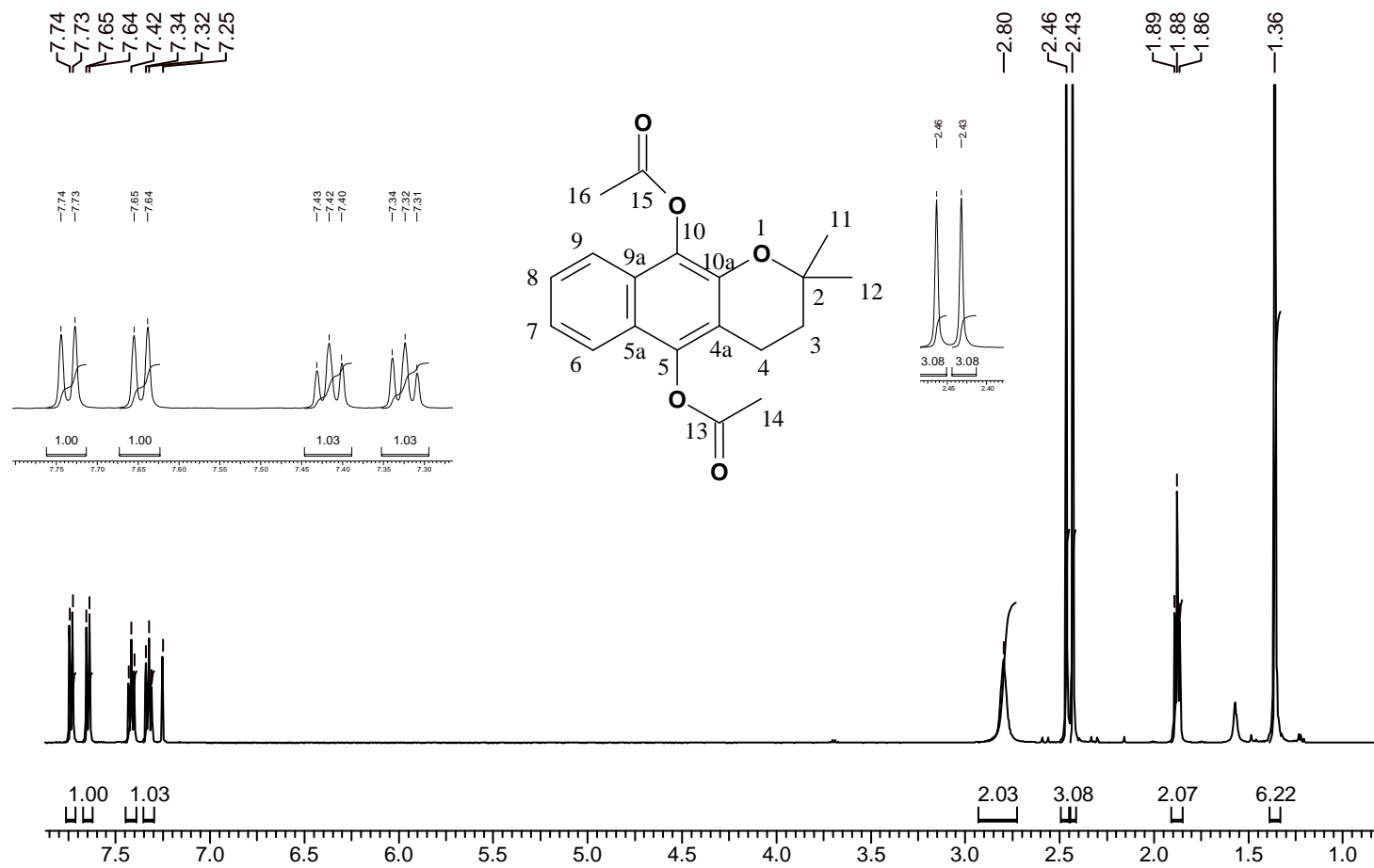


**Espectro 137** - RMN  $^{13}\text{C}$  (50,3 MHz) da Ac-blap,  $\beta$ -lapachona acetilada (acetato de 5-(acetoxi)-2,2-dimethyl-3,4-di-hidro-2H-benzo[h]cromen-6-ila)..

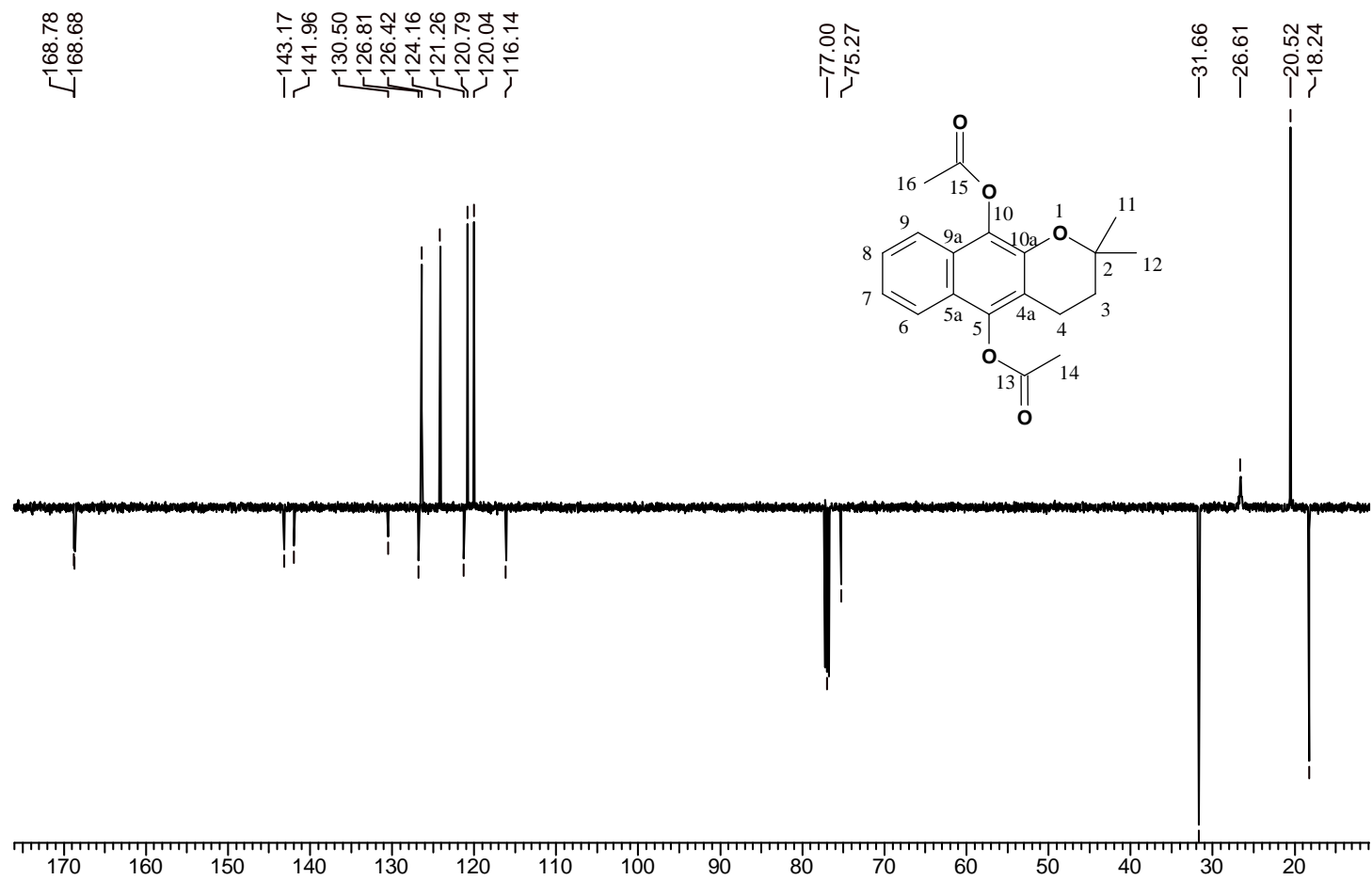




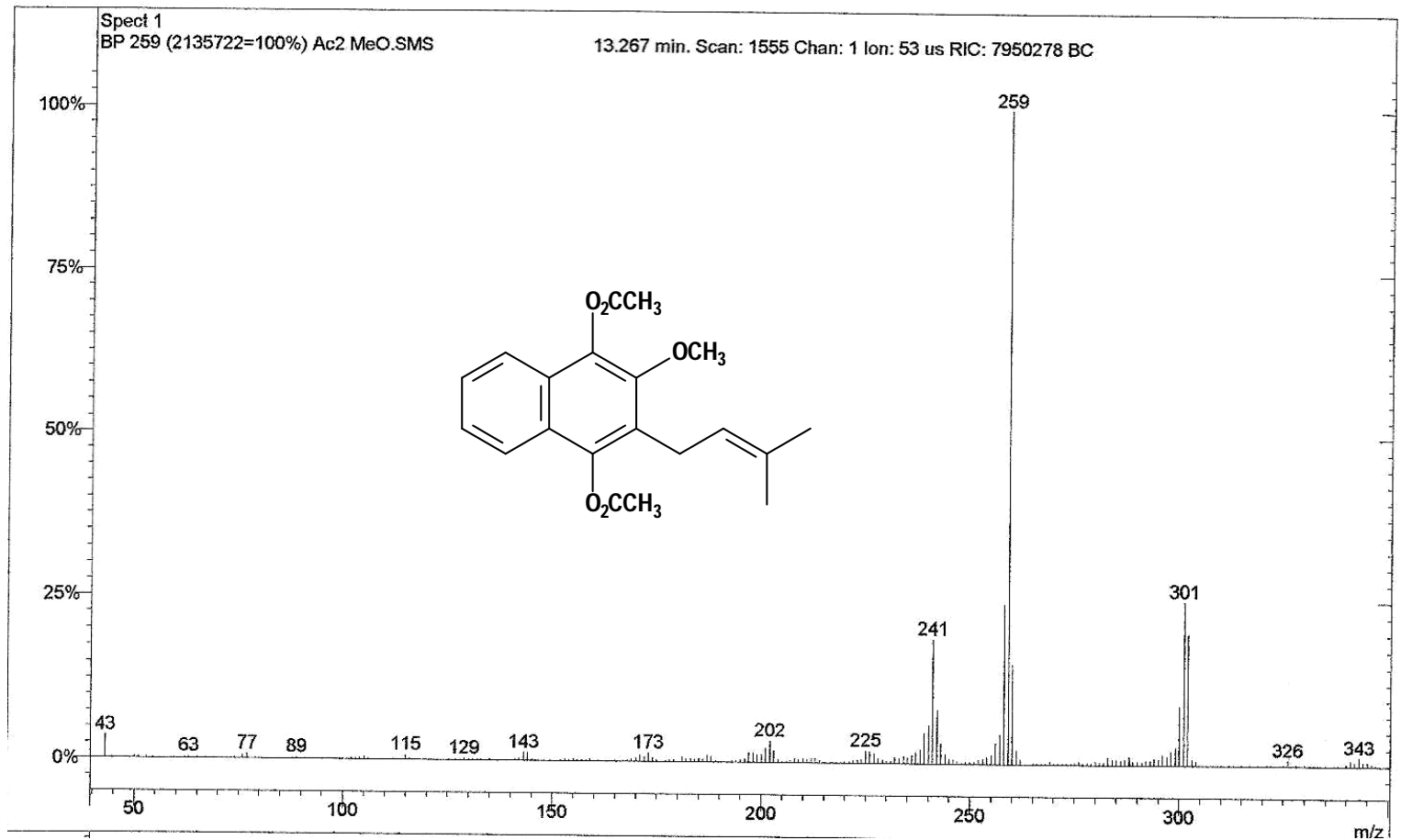
**Espectro 138** – E.M. da Acalap,  $\alpha$ -lapachona acetilada (acetato de 10-(acetoxi)-2,2-dimetil-3,4-di-hidro-2H-benzo[g]cromen-5-ila).



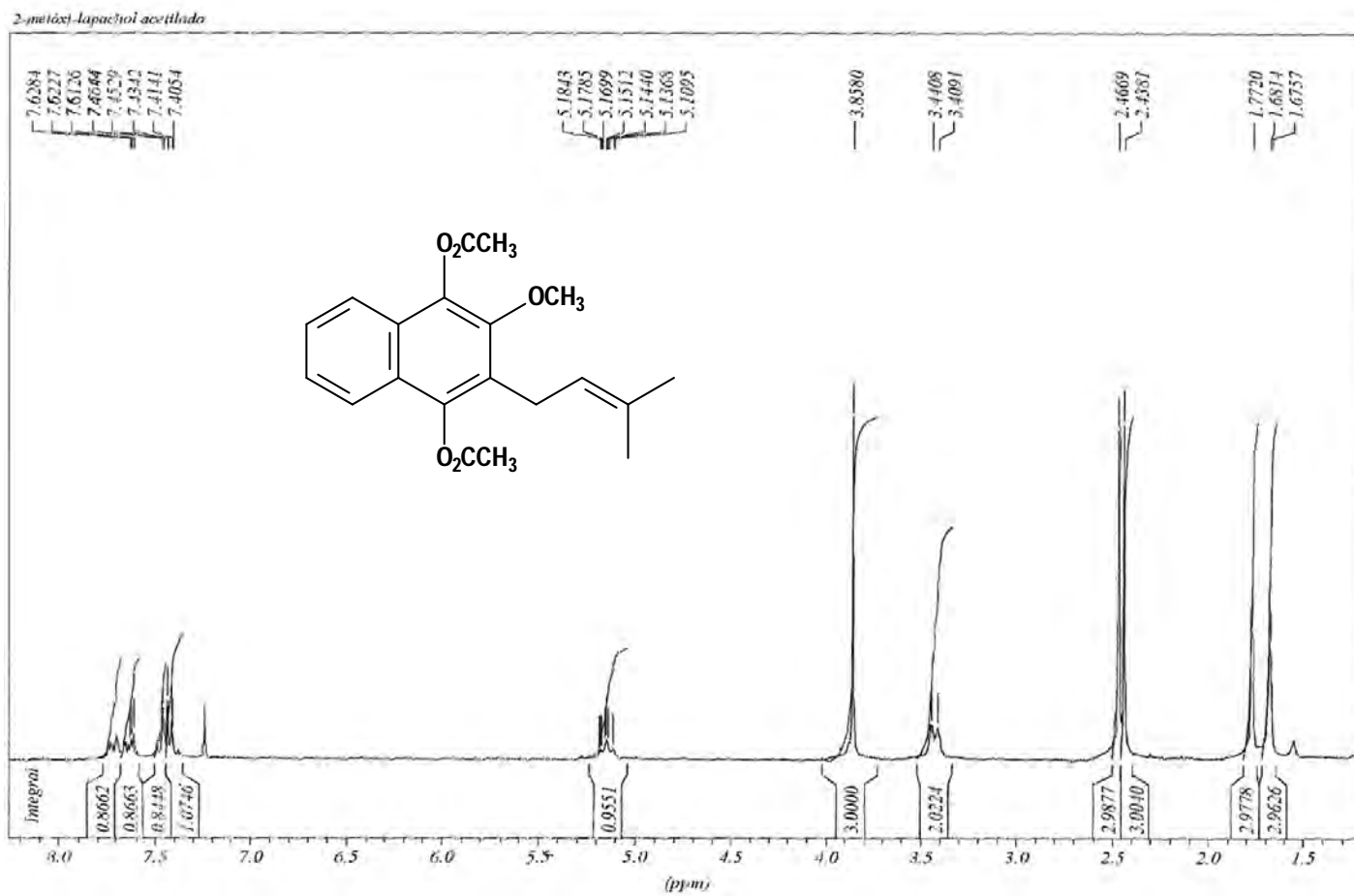
**Espectro 139** - RMN <sup>1</sup>H (500 MHz) da Acalap, α-lapachona acetilada (acetato de 10-(acetoxi)-2,2-dimetil-3,4-di-hidro-2*H*-benzo[*g*]cromen-5-ila).



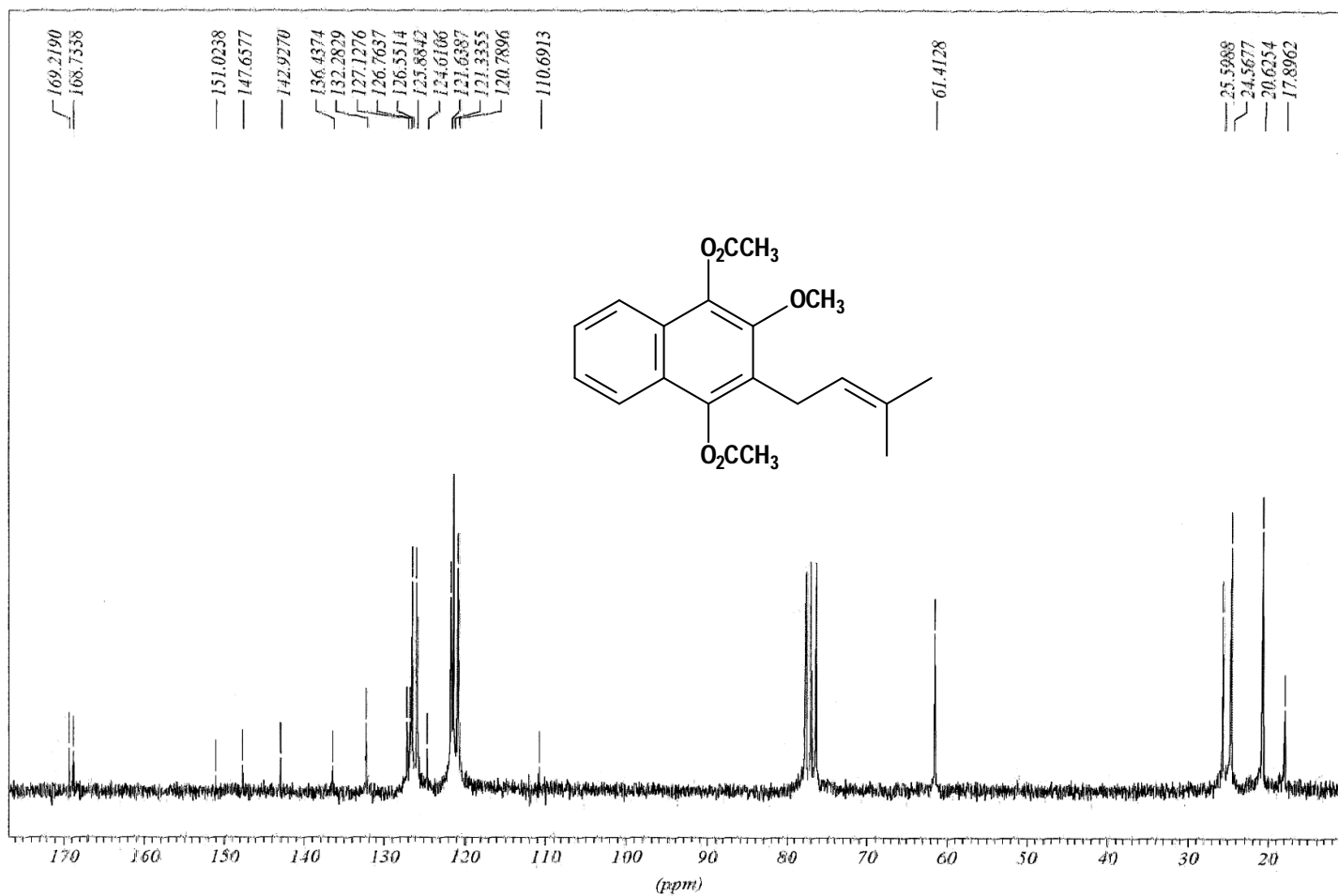
**Espectro 140** – DEPT-Q (125,8 MHz) da Acalap,  $\alpha$ -lapachona acetilada (acetato de 10-(acetoxi)-2,2-dimetil-3,4-di-hidro-2H-benzo[g]cromen-5-ila).



**Espectro 141** - EM do Ac-2-MeO (acetato de 4-acetoxi-2-metóxi-3-(3-metilbut-2-enil)-1-naftil).



**Espectro 142** - RMN <sup>1</sup>H (200 MHz) do Ac-2-MeO (acetato de 4-acetoxi-2-metóxi-3-(3--metilbut-2-enil)-1-naftil).

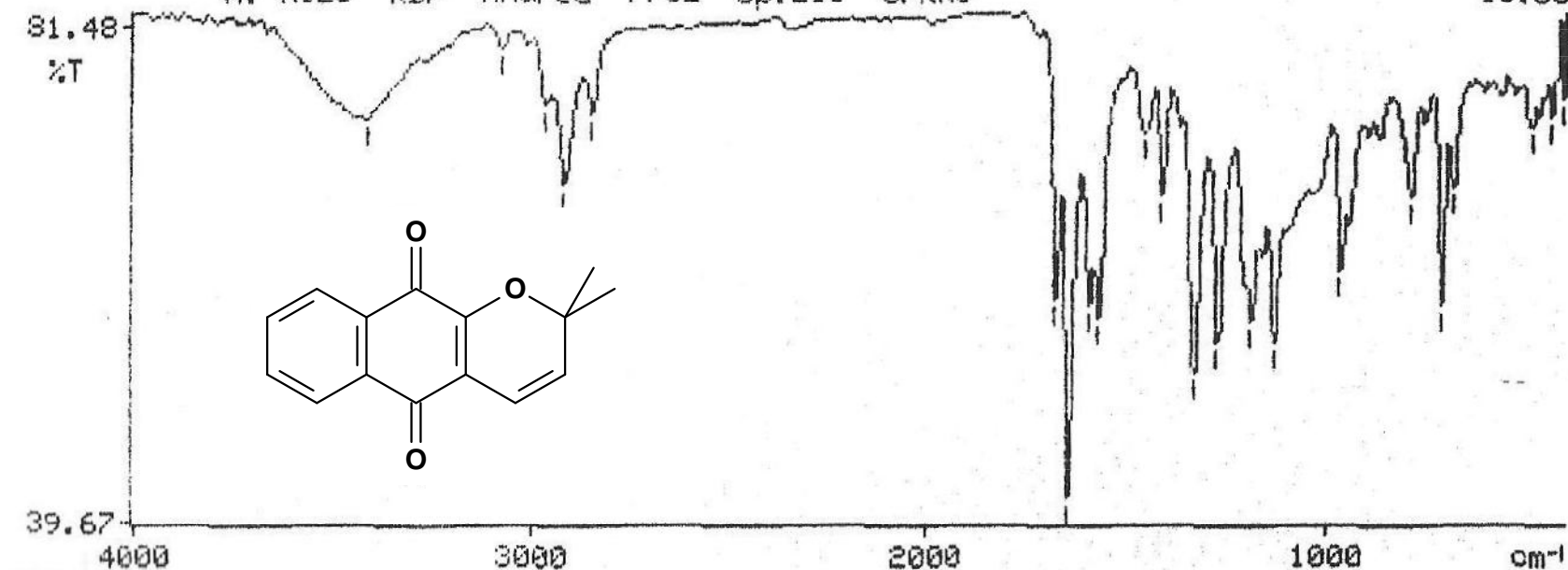


**Espectro 143** - RMN  $^{13}\text{C}$  (50,3 MHz) do Ac-2-MeO (acetato de 4-acetoxi-2-metóxi-3-(3--metilbut-2-enil)-1-naftil).

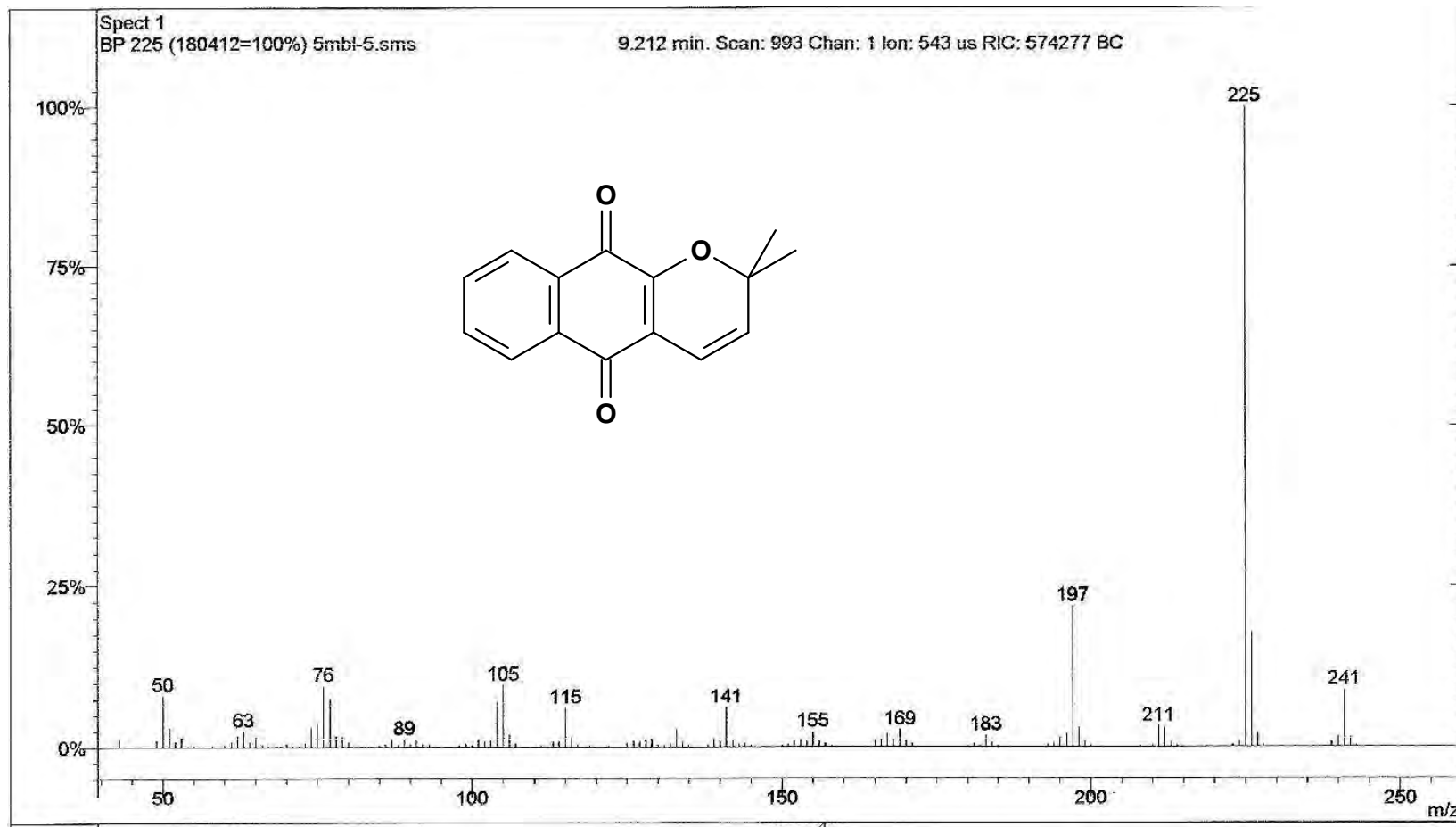
3418.0, 3077.0, 2968.7, 2921.3, 2852.2, 1675.4, 1645.4, 1593.2, 1569.4=  
1453.1, 1413.8, 1334.0, 1273.6, 1189.8, 1133.9, 967.5, 794.5=  
717.1, 687.2, 488.1, 439.5, 408.6=

X: XILO KBr Andrea 7782 Op.Eli UFRRJ

13:08



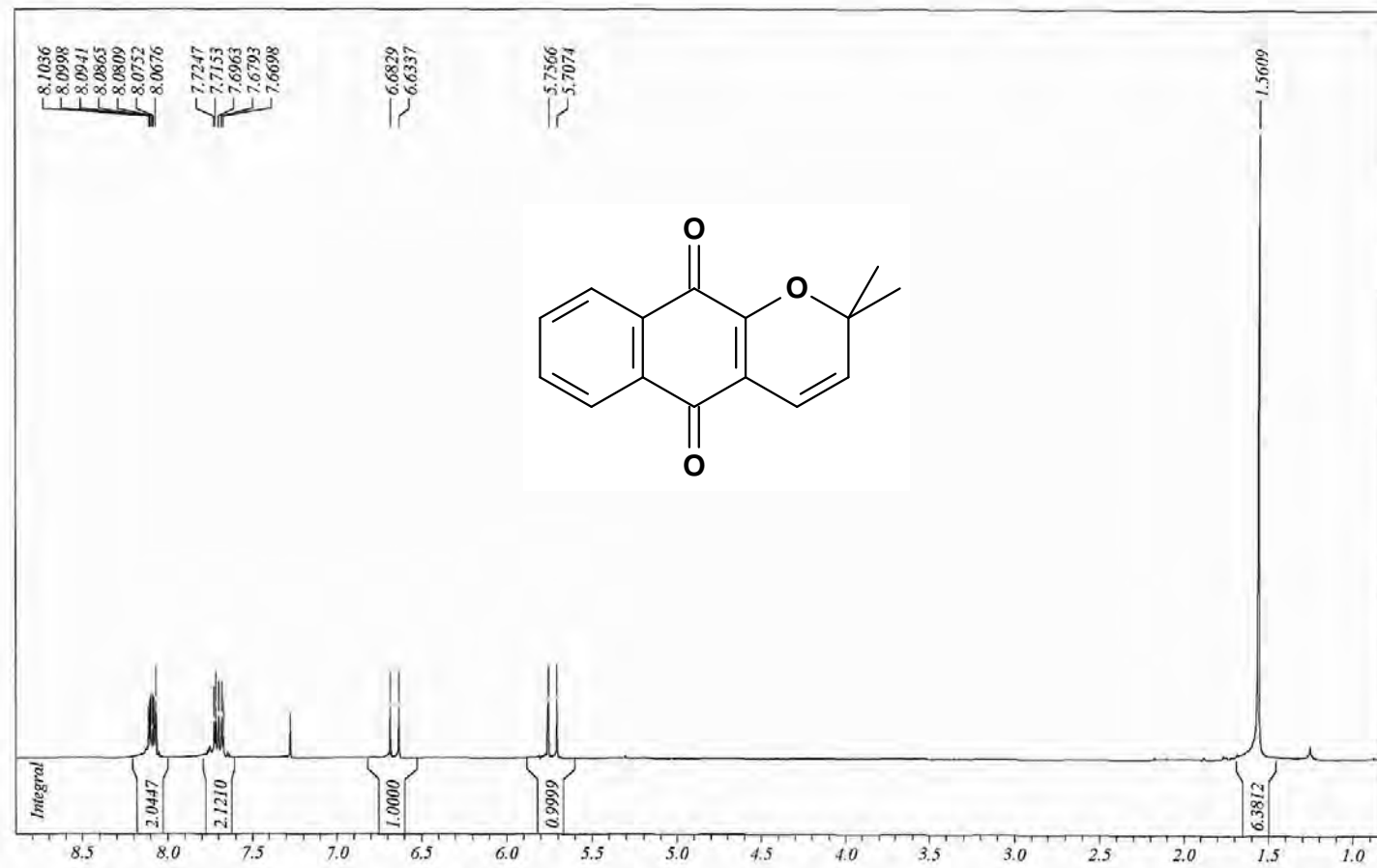
**Espectro 144** - IV da xiloidona (2,2-dimetil-2H-benzo[g]cromeno-5,10-diona).



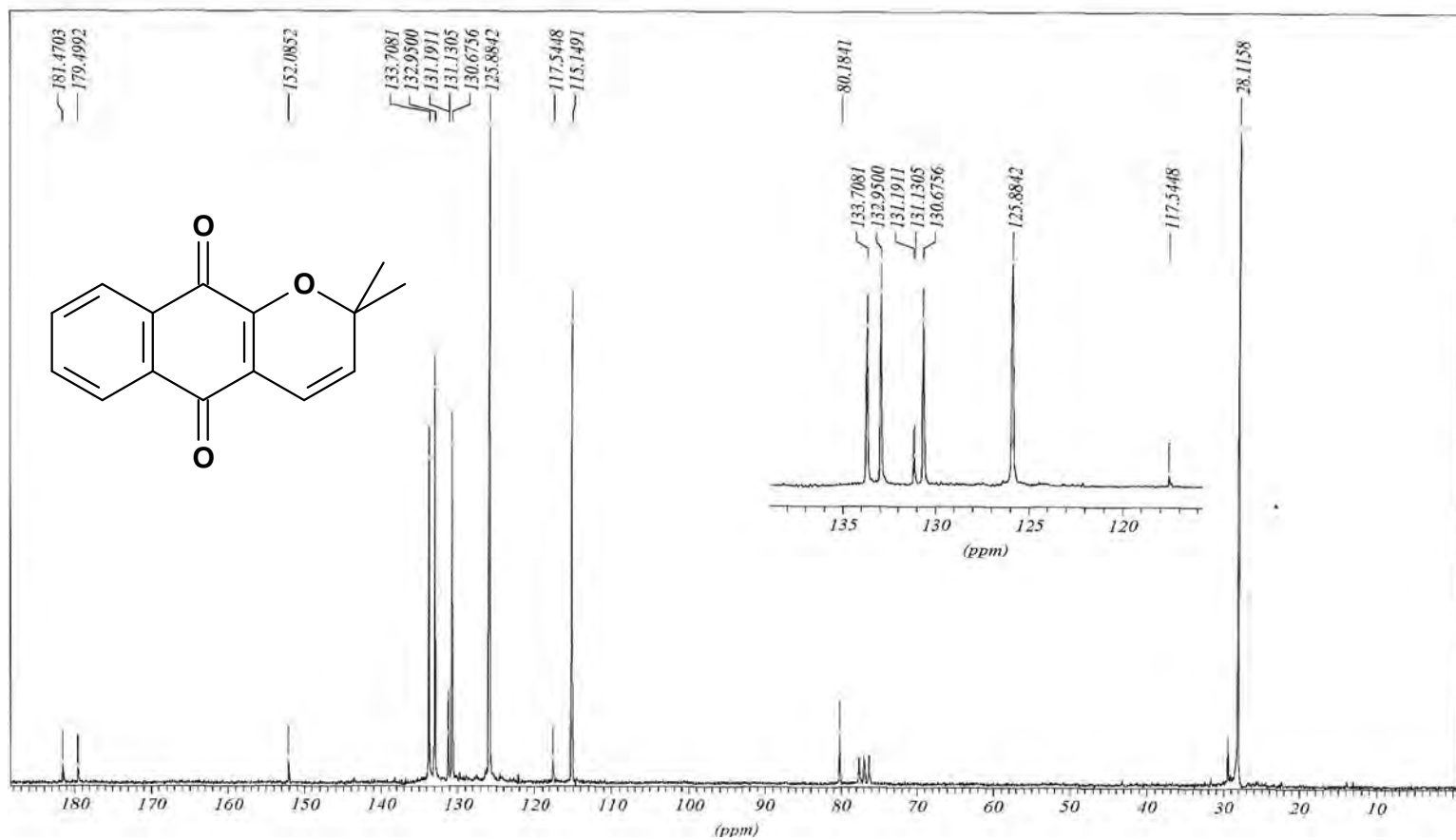
Espectro 145 – EM da xiloidona (2,2-dimetil-2H-benzo[g]cromeno-5,10-diona).



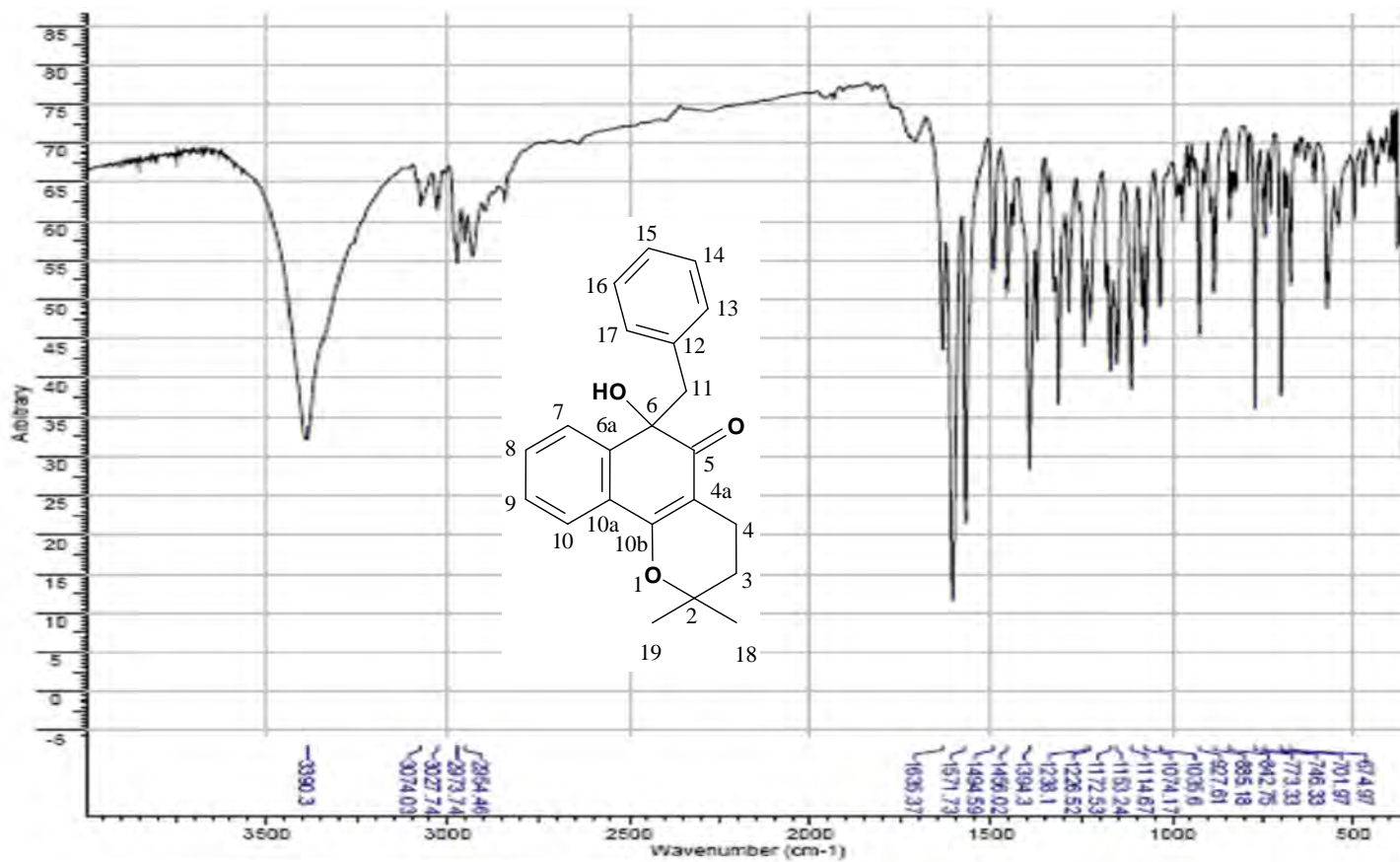
5MBL-5



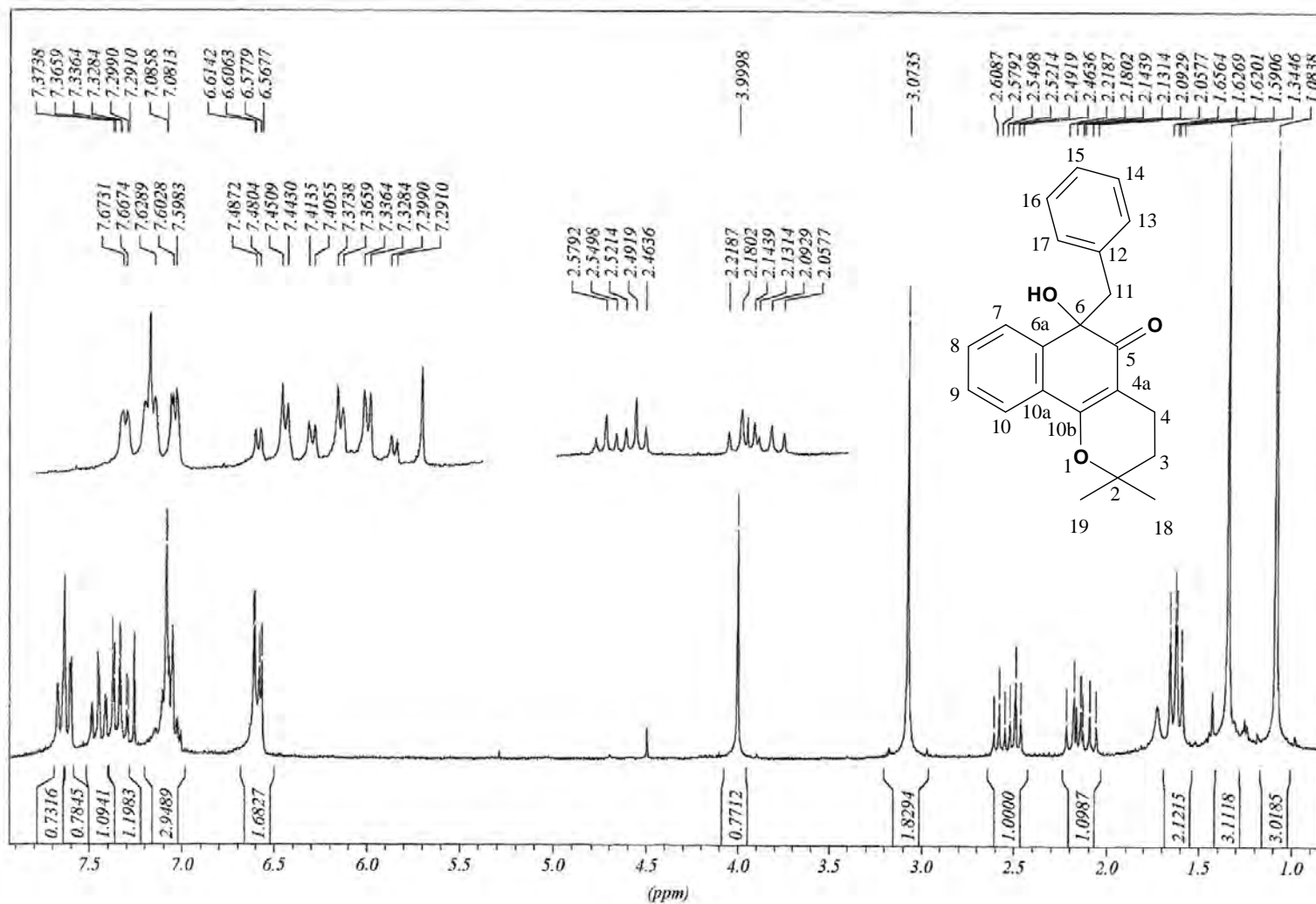
Espectro 146 - RMN <sup>1</sup>H (200MHz) da α-xiloidona (2,2-dimetil-2H-benzo[g]cromeno-5,10-diona).



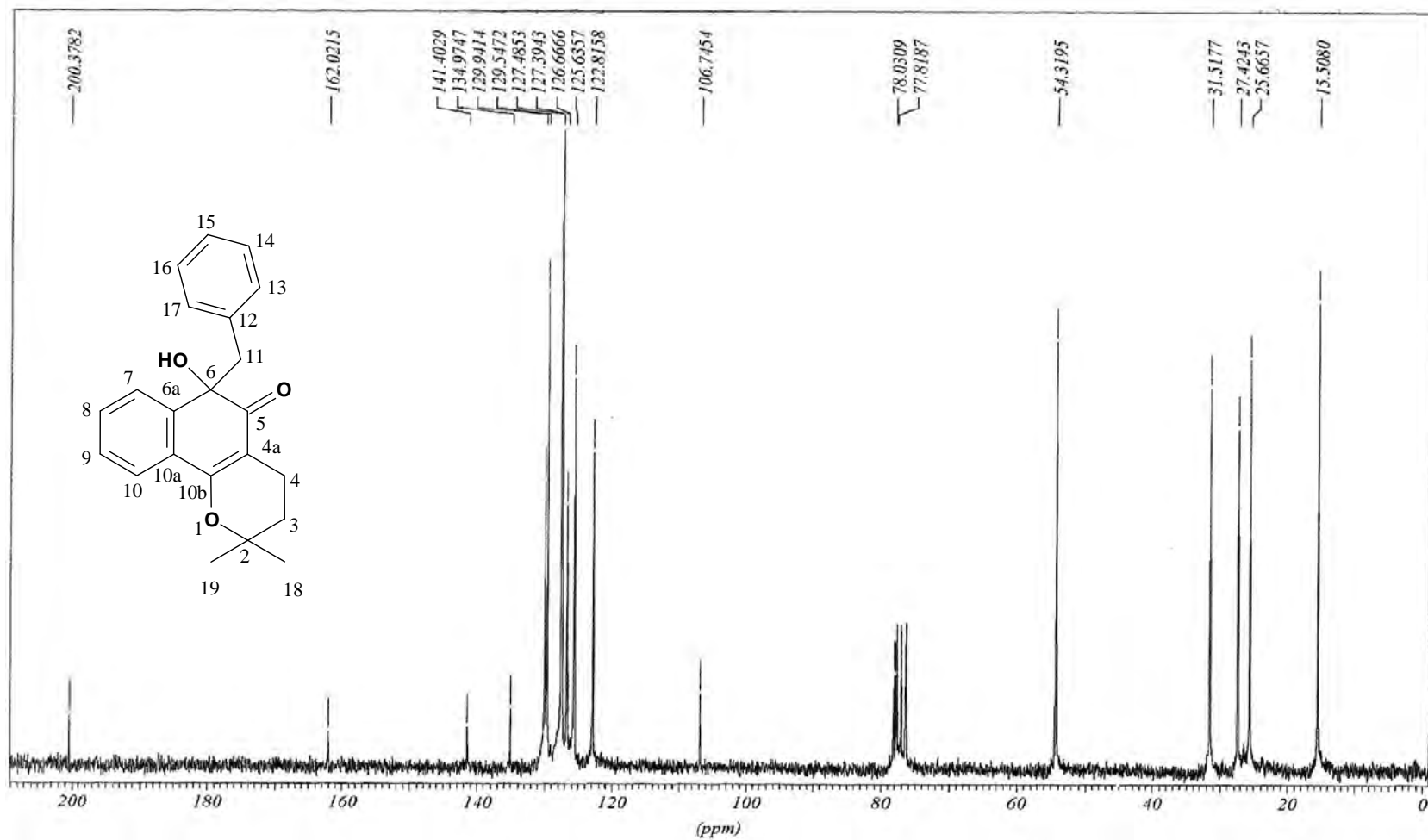
**Espectro 147** - RMN  $^{13}\text{C}$  (50,3 MHz) de  $\alpha$ -xiloidona (2,2-dimetil-2H-benzo[g]cromeno-5,10-diona).



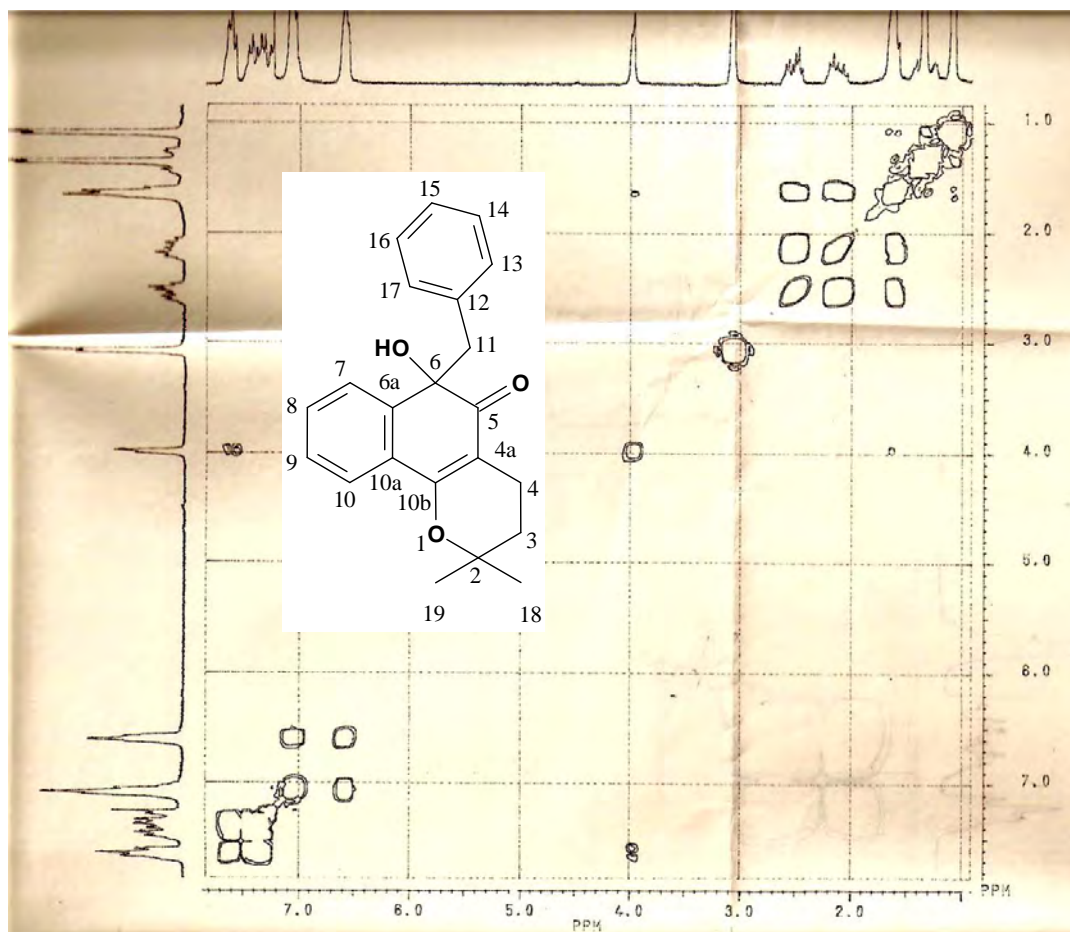
**Espectro 148** - IV do BALE (6-benzil-6-hidroxi-2,2-dimetil-2,3,4,6-tetra-hidro-5H-benzo[h] cromen-5-ona).



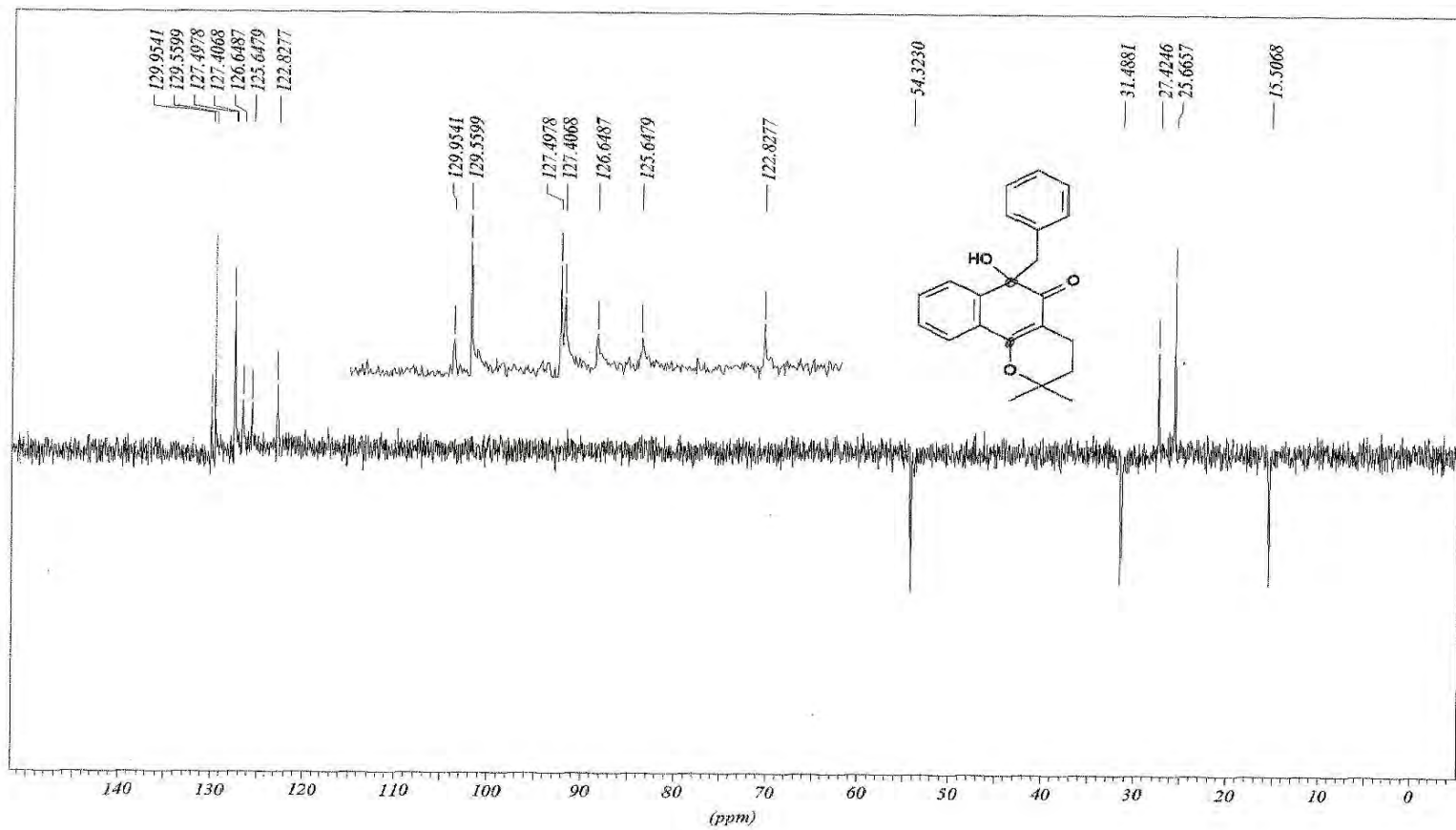
**Espectro 149** - RMN <sup>1</sup>H (200 MHz) do BALE (6-benzil-6-hidroxi-2,2-dimetil-2,3,4,6-tetra-hidro-5H-benzo[h] cromen-5-ona).



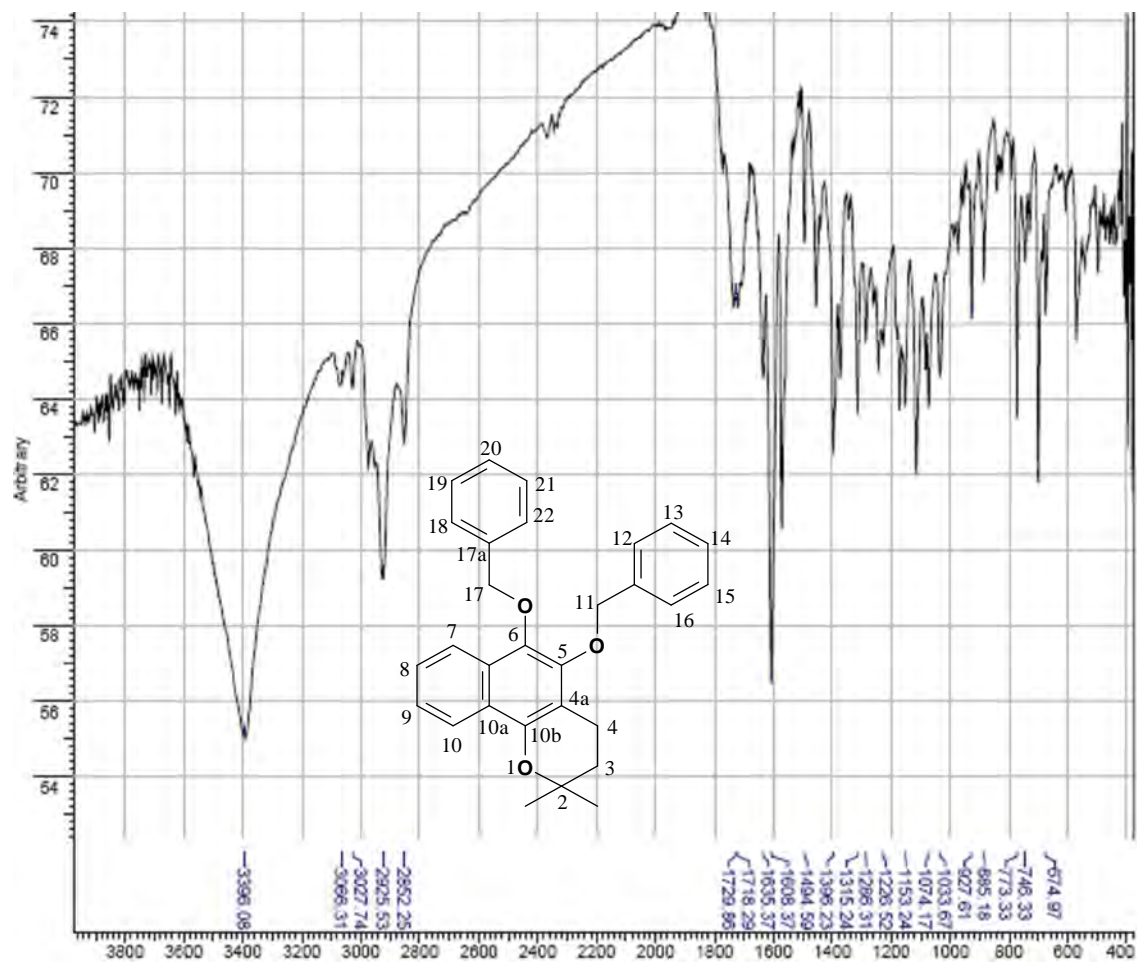
**Espectro 150** - RMN  $^{13}\text{C}$  (50,3 MHz) do BALE (6-benzil-6-hidroxi-2,2-dimetil-2,3,4,6-tetra-hidro-5H-benzo[h] cromen-5-ona).



**Espectro 151** - HOMOCOSY  $^1\text{H} \times ^1\text{H}$  do BALE (6-benzil-6-hidroxi-2,2-dimetil-2,3,4,6-tetra-hidro-5H-benzo[h] cromen-5-ona).

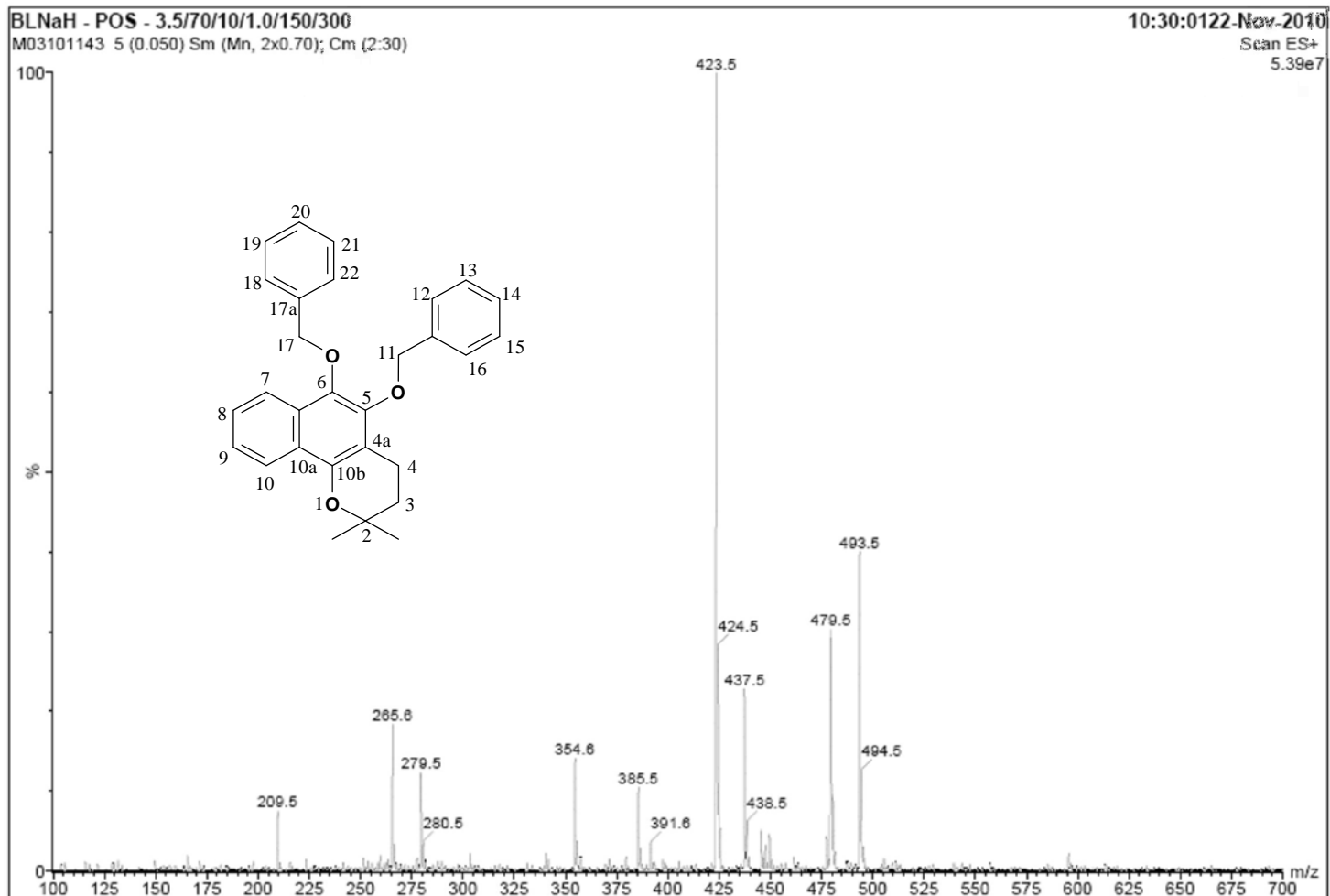


**Espectro 152** - DEPT 135° do BALE (6-benzil-6-hidroxi-2,2-dimetil-2,3,4,6-tetra-hidro-5H-benzo[h] cromen-5-ona).

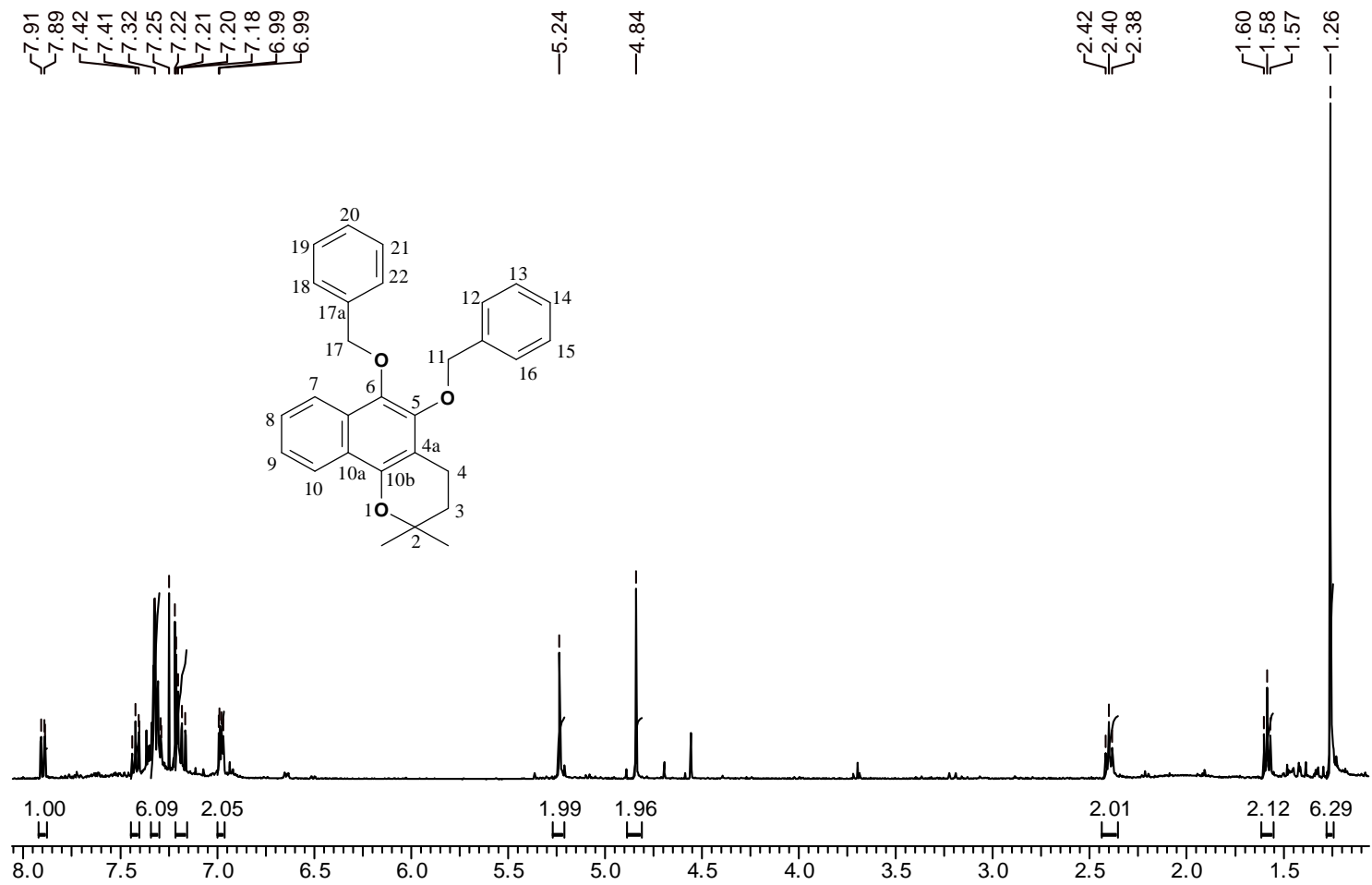


**Espectro 153** – IV do BLNaH (5,6-bis(benziloxi)-2,2-dimetil-3,4-di-hidro-2H-benzo[h]cromeno).

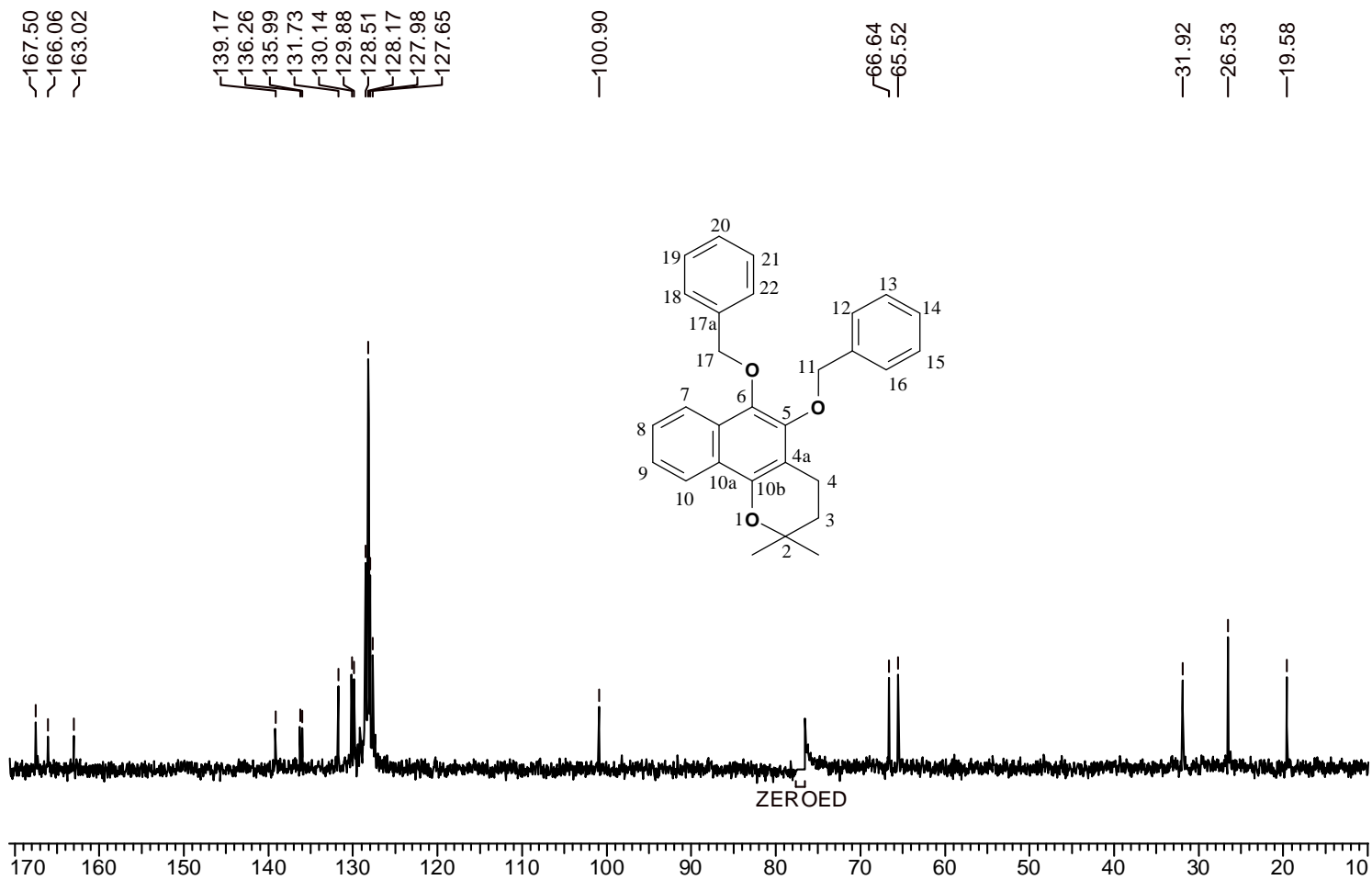




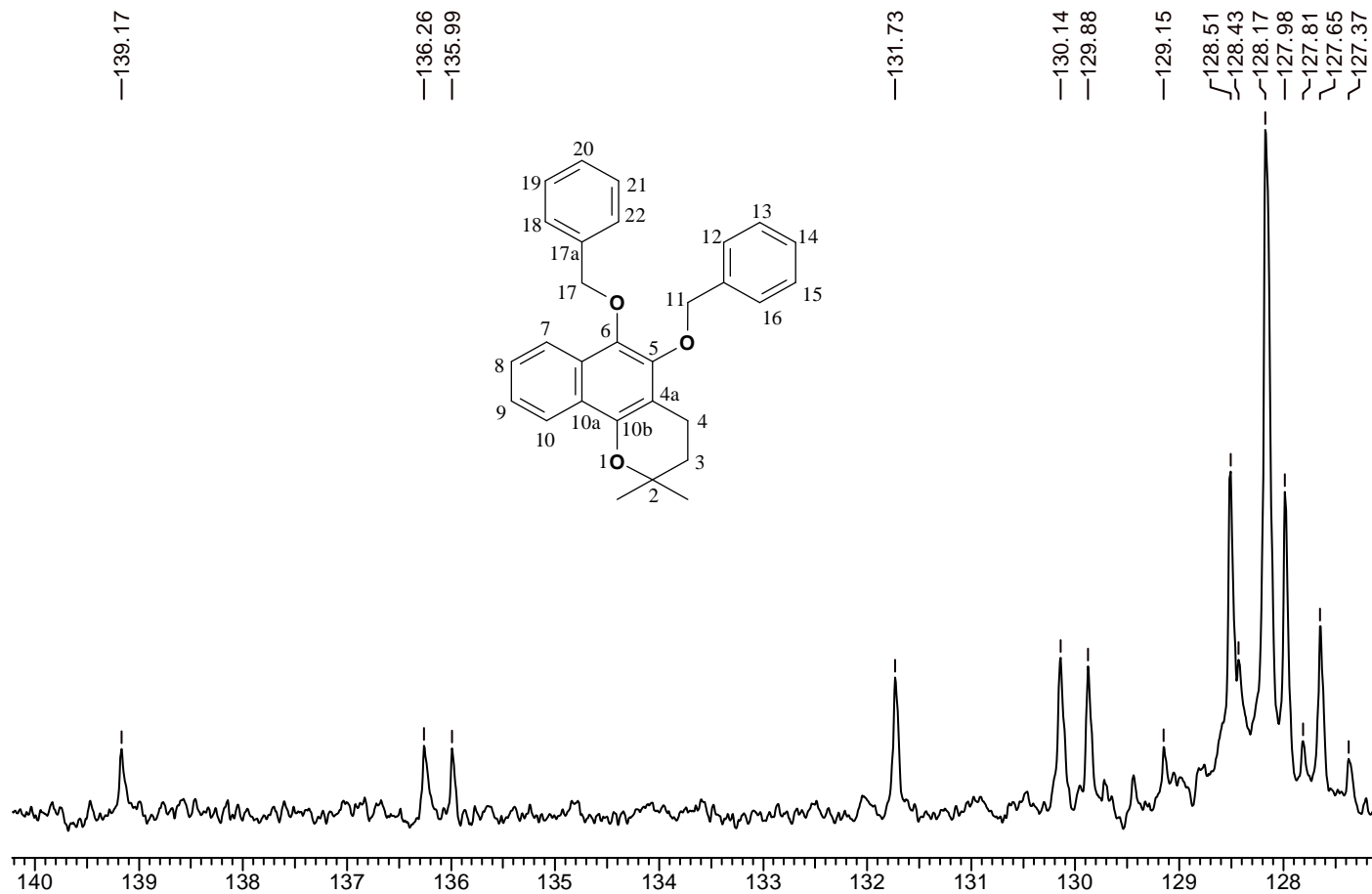
**Espectro 154** – LCMS de BLNaH (5,6-bis(benziloxi)-2,2-dimetil-3,4-di-hidro-2H-benzo[h]cromeno).



**Espectro 155** - RMN <sup>1</sup>H (400 MHz) do BLNaH, (5,6-bis(benziloxi)-2,2-dimetil-3,4-di-hidro-2H-benzo[h]cromeno).



**Espectro 156** - RMN  $^{13}\text{C}$  (100,6 MHz) do BLNaH (5,6-bis(benziloxi)-2,2-dimetil-3,4-di-hidro-2H-benzo[h]cromeno).

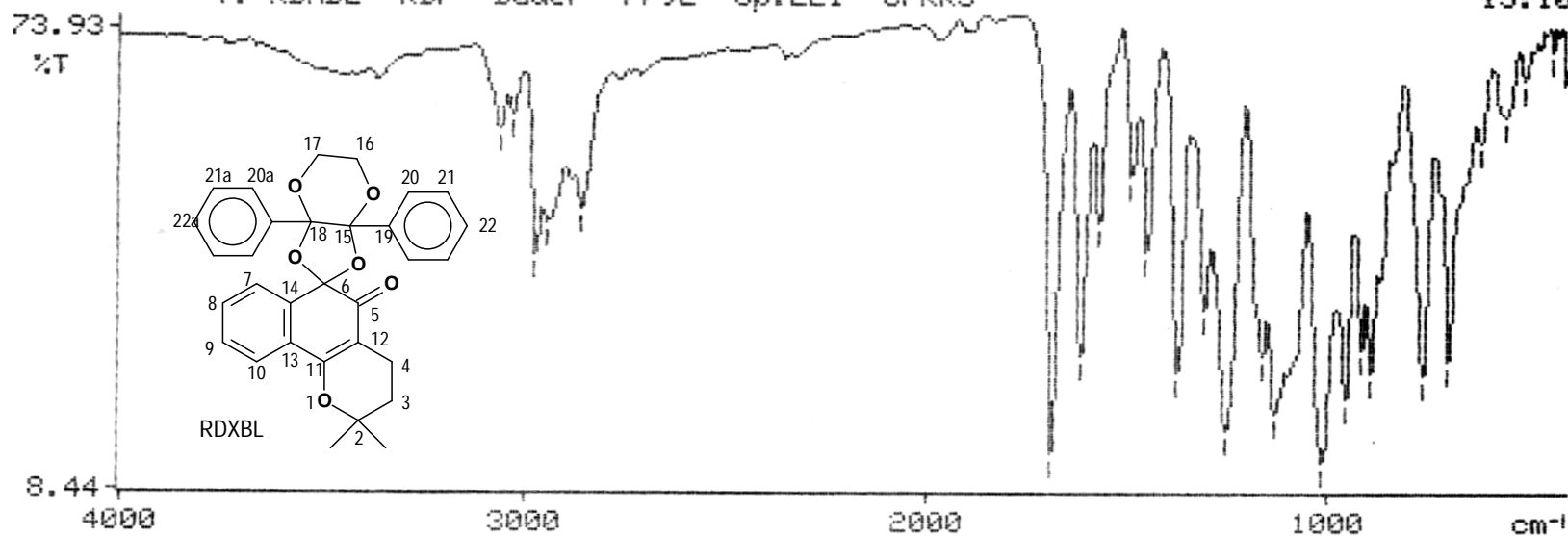


**Espectro 157** – Ampliação, entre 126 e 140 ppm, do espectro de RMN  $^{13}\text{C}$  do BLNaH (5,6-bis(benziloxi)-2,2-dimetil-3,4-di-hidro-2H-benzo[h]cromeno).

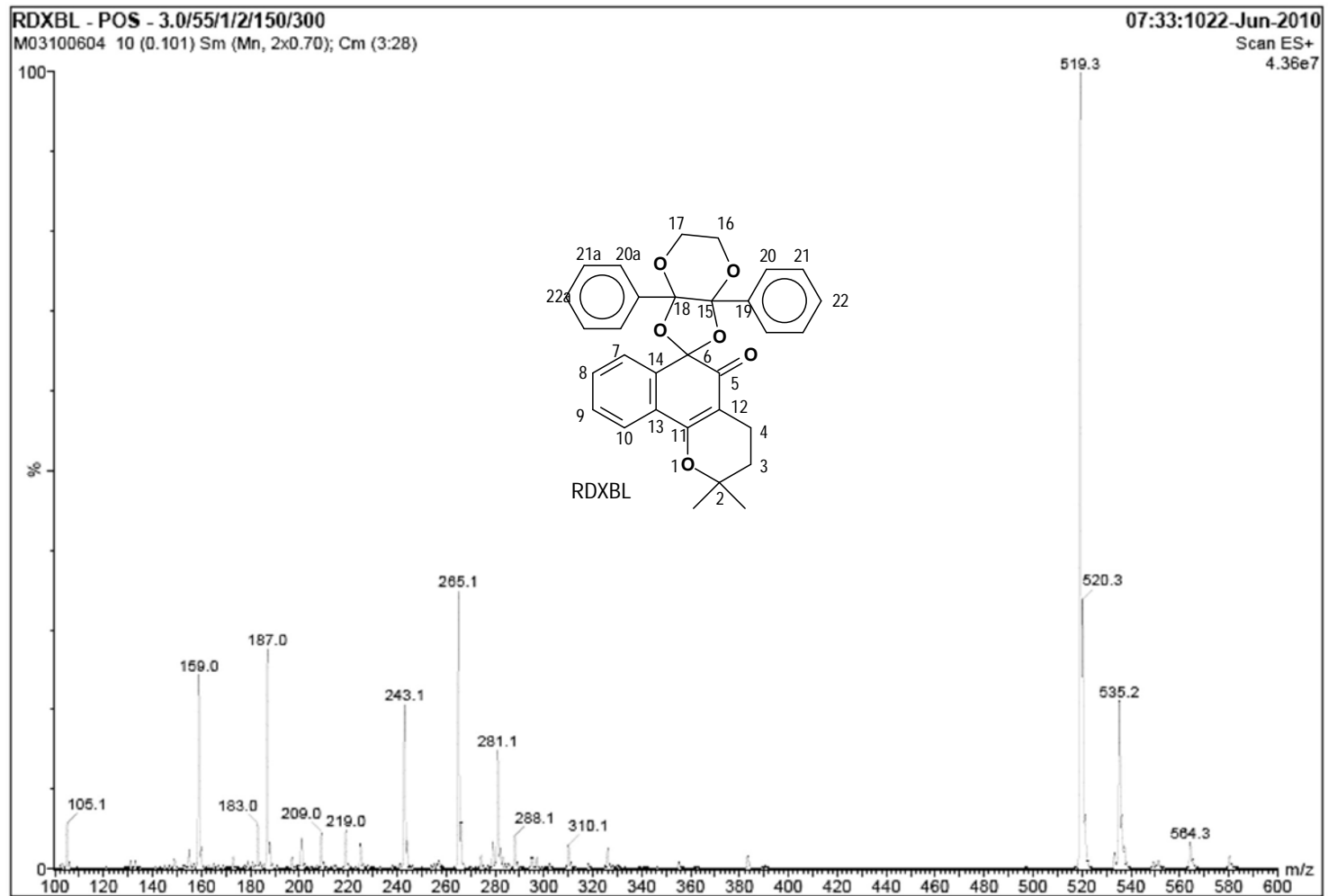
3064.5, 3032.5, 2975.2, 2944.6, 2862.4, 1691.2, 1619.1, 1572.6, 1489.9=  
1451.0, 1375.5, 1310.0, 1255.8, 1164.7, 1134.0, 1012.5, 956.3, 917.7=  
893.4, 764.1, 698.3, 618.8, 552.1, 511.0, 439.4=

Y: RDXBL KBr Bauer 7792 Op.ELI UFRRJ

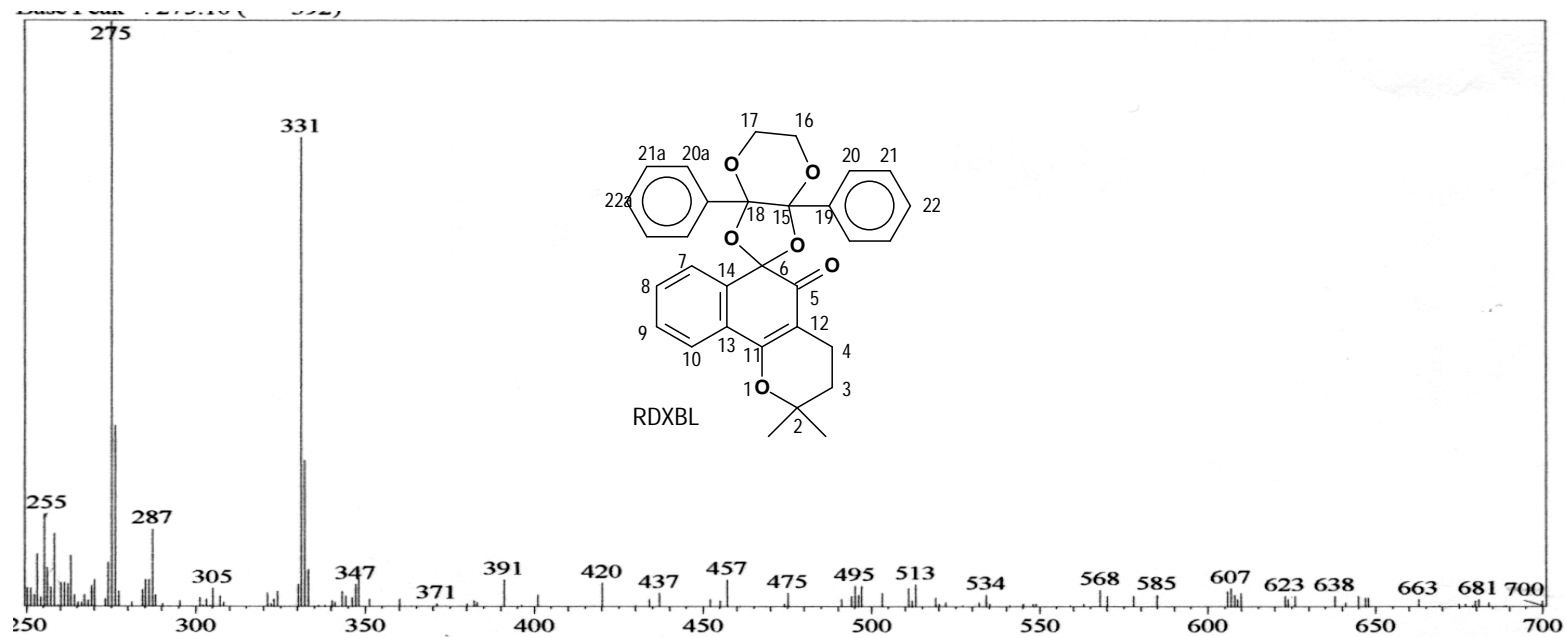
15:10



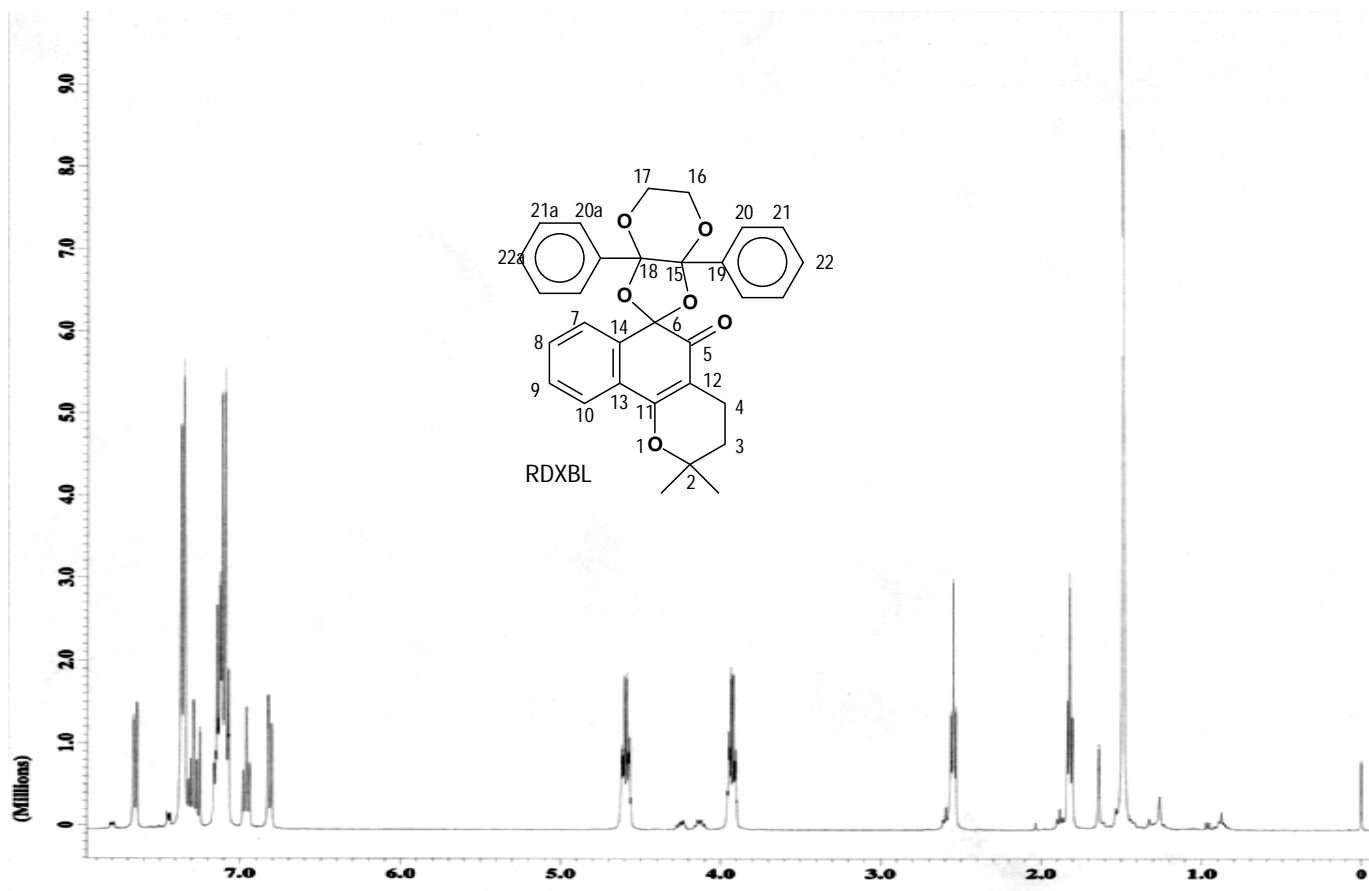
Espectro 158 - IV do RDXBL.



**Espectro 159 – LCMS de RDXBL.**

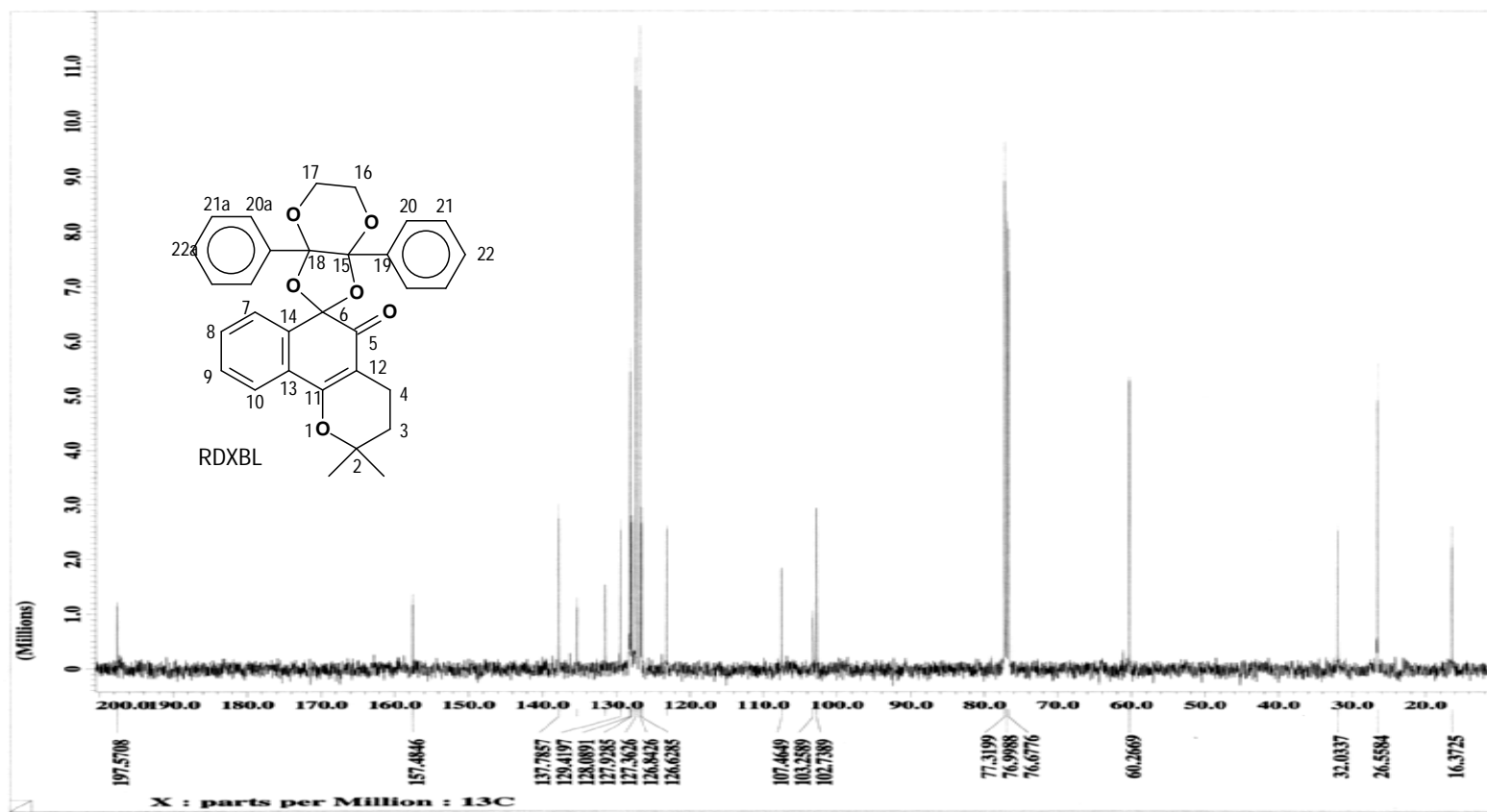


**Espectro 160** – EM do RDXBL (2,2-dimetil-3a',7a'-di-fenil-3,3a',4,5',6',7a'-hexa-hidro-2H,5H-espiro[benzo[h]cromeno-6,2'-[1,3]dioxolo[4,5-b][1,4]dioxin]-5-ona).

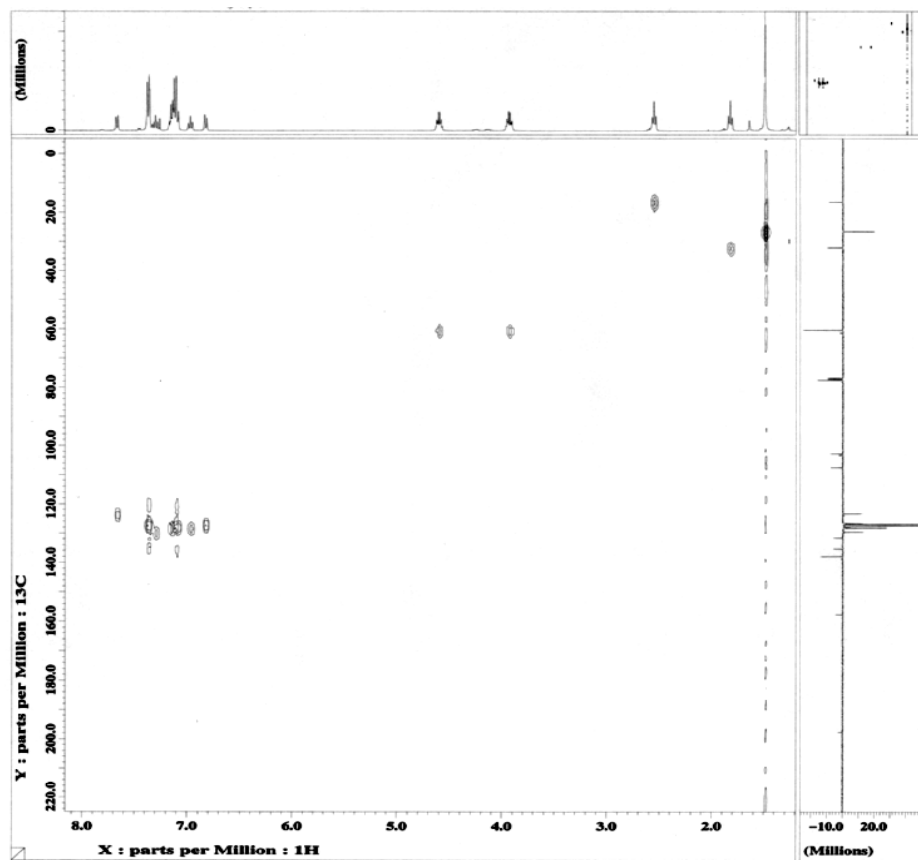
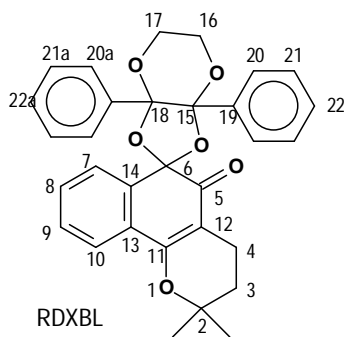


**Espectro 161** - RMN <sup>1</sup>H (200 MHz) do RDXBL(2,2-dimetil-3a',7a'-di-fenil-3,3a',4,5',6',7a'-hexa-hidro-2*H*,5*H*-espiro[benzo[*h*]cromeno-6,2'-[1,3]dioxolo[4,5-*b*][1,4]dioxin]-5-ona).

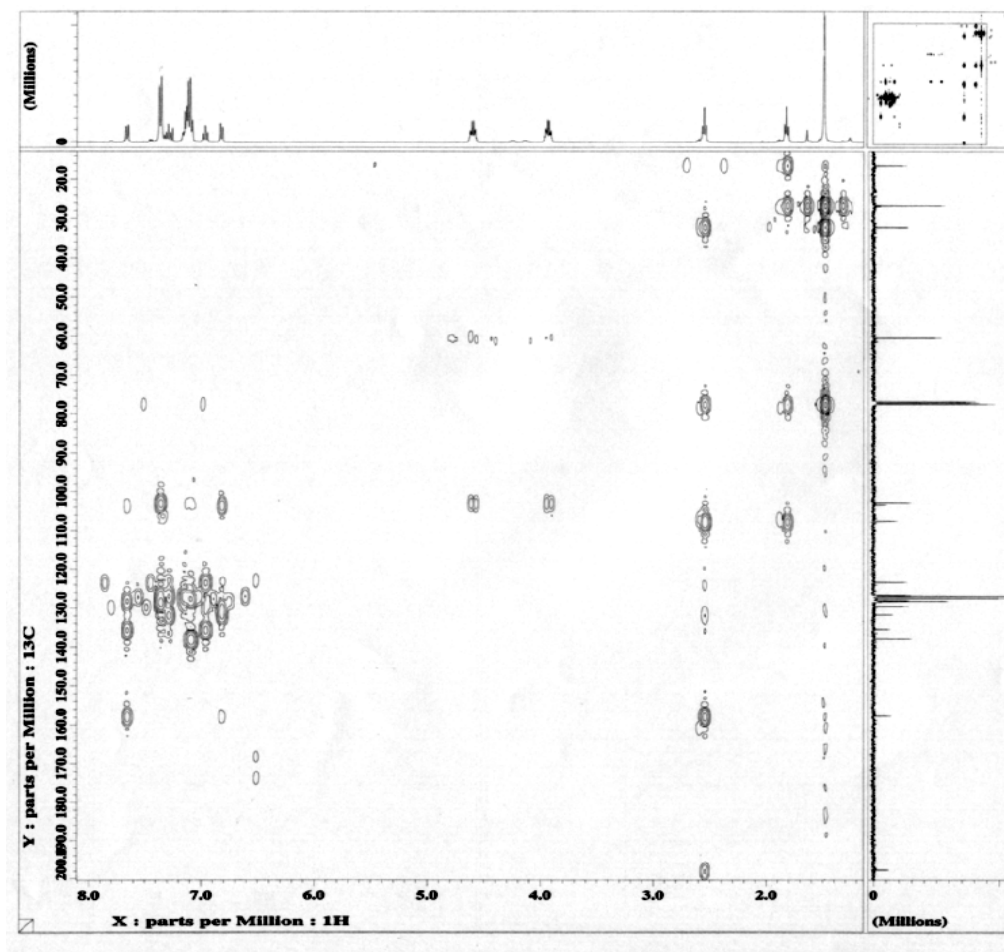
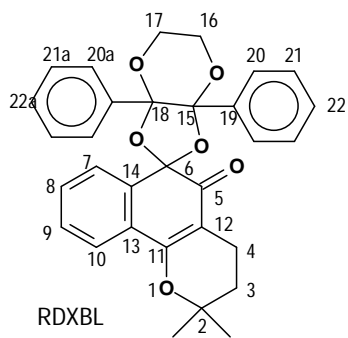




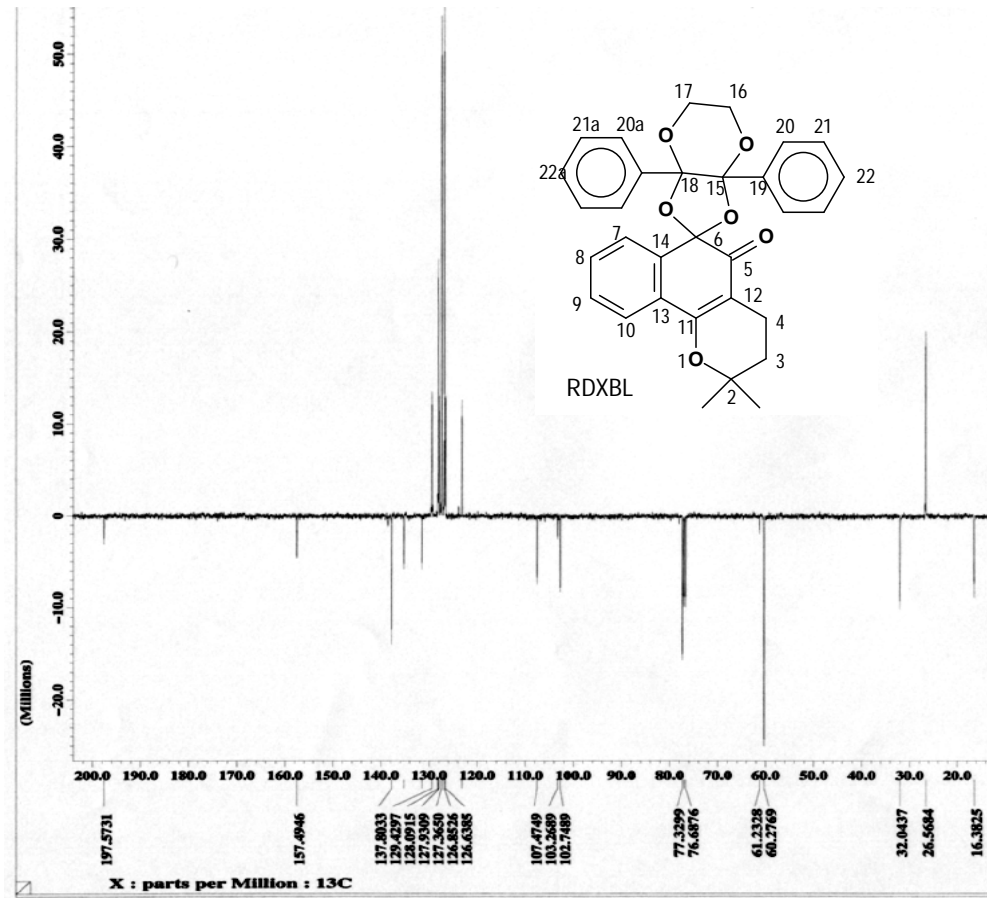
**Espectro 162** - RMN <sup>13</sup>C (100,6 MHz) do RDXBL (2,2-dimetil-3a',7a'-di-fenil-3,3a',4,5',6',7a'-hexa-hidro-2H,5H-espiro[benzo[h]cromeno-6,2'-[1,3]dioxolo[4,5-b][1,4]dioxin]-5-ona).



**Espectro 163** - HMQC do RDXBL (2,2-dimetil-3a',7a'-di-fenil-3,3a',4,5',6',7a'-hexa-hidro-2*H*,5*H*-espiro[benzo[*h*]cromeno-6,2'-[1,3]dioxolo[4,5-*b*][1,4]dioxin]-5-ona).



**Espectro 164** - HMBC do RDXBL (2,2-dimetil-3a',7a'-di-fenil-3,3a',4,5',6',7a'-hexa-hidro-2*H*,5*H*-espiro[benzo[*h*]cromeno-6,2'-[1,3]dioxolo[4,5-*b*][1,4]dioxin]-5-ona).



**Espectro 165** – Experimento teste do próton ligado (APT) do RDXBL (2,2-dimetil-3a',7a'-di-fenil-3,3a',4,5',6',7a'-hexa-hidro-2H,5H-espiro[benzo[h]cromeno-6,2'-[1,3]dioxolo[4,5-b][1,4]dioxin]-5-ona).